

(NASA-CR-184948) INVESTIGATION OF A  
FREE-TIP ROTOR CONFIGURATION FOR RESEARCH ON  
SPANWISE LIFT DISTRIBUTIONS AND WAKE  
VELOCITY SURVEYS OF A SEMI-SPAN WING WITH A  
DISCONTINUOUS TWIST Final Report (Kansas

N89-20963

Unclas  
G3/02 0201500

The logo for CRINC (The University of Kansas Center for Research, Inc.) is displayed in a large, bold, black, sans-serif font. The letters 'C', 'R', and 'I' are significantly larger and more stylized than the 'N' and 'C'.

**THE UNIVERSITY OF KANSAS CENTER FOR RESEARCH, INC.**

2291 Irving Hill Drive-Campus West

Lawrence, Kansas 66045

**FINAL REPORT**

**COOPERATIVE AGREEMENT #NCC 2-175**

**entitled**

**INVESTIGATION OF A FREE-TIP  
ROTOR CONFIGURATION**

**for research on**

**Spanwise Life Distributions and Wake  
Velocity Surveys of a Semi-Span Wing  
with a Discontinuous Twist**

**by**

**Hiroyuki Kumagai  
Principal Researcher**

**April 1989**

**Paul Fortin  
Principal Investigator  
Director  
ME/DE Program**

**Supported by:**

**National Aeronautics and Space Agency  
Ames Research Center**

# **Spanwise Lift Distributions and Wake Velocity Surveys of a Semi-Span Wing with a Discontinuous Twist**

**Hiroyuki Kumagai**

**The University of Kansas Center for Research, Inc  
2291 Irving Hill Drive  
Lawrence, KS 66045-2969**

## **Summary**

A wind tunnel test was conducted in the NASA Ames 7- by 10-Foot Wind Tunnel to investigate the lift distribution on a semi-span wing with a discontinuous change in spanwise twist. The semi-span wing had a tip with an adjustable pitch angle independent on the inboard section pitch angle simulating the free-tip rotor blade when its free-tip is at a deflected position. The spanwise lift distribution over the wing and the tip were measured and three-component velocity surveys behind the wing were obtained with a three-dimensional laser doppler velocimeter (LV) with the wing at one angle of attack and the tip deflected at different pitch angles. A six-component internal strain gage balance was also used to measure total forces and moments on the tip. The three-dimensional lift was computed from the two dimensional lift distributions obtained from the LV and from the strain gage balance. The results from both experimental methods are shown to be in agreement with predictions made by a steady, three-dimensional panel code, VSAERO.

## NOMENCLATURE

$c$	closed integral path around the airfoil
$c_l$	sectional lift coefficient
$C_L$	three-dimensional lift coefficient
$\bar{C}_L$	mean three-dimensional lift coefficient from strain gage balance
$c_0$	root chord length
$c_l$	sectional lift coefficient
$l$	dimensional sectional lift
$q$	dynamic pressure
$\vec{q}$	local velocity vector
$U_\infty$	free stream velocity
$u$	streamwise component of the local velocity
$w$	vertical component of the local velocity
$x, y, z$	wind tunnel coordinate system
$\bar{x}, \bar{y}, \bar{z}$	wind tunnel coordinate system normalized by the root chord length, $c_0$
$\delta_{C_L}$	standard deviation of $C_L$ from the strain gage balance
$\Gamma$	circulation strength
$\theta_{tip}$	tip pitch angle in deg. in wind tunnel coordinate system
$\Delta\theta$	differential pitch angle between the tip and inboard sections, positive when the tip leading edge is up relative to the inboard section

## 1. Introduction

A previous numerical study indicated that a helicopter rotor blade equipped with a free-tip, which is structurally decoupled from the inboard section, has a very strong secondary trailing vortex shed from the junction between the inboard section and the free-tip due to a large discontinuity in the bound vorticity at the junction (Reference 1). A small scale helicopter rotor wind tunnel test also showed a large power reduction when the rotor was equipped with a free-tip (Reference 2). It was hypothesized that this secondary trailing vortex results in strong upwash at the tip, which has a significant effect on the tip pitch attitude and the lift distribution on the tip, which may contribute to induced drag reduction on the tip, causing a drastic reduction of power requirements of the rotor system (Figure 1).

In order to prove the above stated hypothesis, an investigation of the flow field around a rotor blade with a deflected tip was necessary. Although the ideal situation is to take velocity measurements in the rotor flow field, a semi-span fixed wing configuration was chosen for the wind tunnel test because of its simplicity. It was assumed that the generation of the tip vortex at the wing/tip junction and the magnitude of its effect on the spanwise lift distribution were the same for a fixed wing as for a rotor blade.

## 2. Test Apparatus

### 2.1 Test Facility

The test was conducted in the 7- by 10-Foot Wind Tunnel at NASA Ames Research Center. This wind tunnel is a closed-circuit facility with test section velocities in the range of 0 to 160 *m/sec*. The flow was regulated to yield a dynamic pressure of  $0.2155 \times 10^4 \text{ N/m}^2$  throughout the test.

### 2.2 Model Description

The semi-span wing with a tip, whose pitch angle is adjustable, was mounted horizontally in the test section. Figure 2 shows the location of the wing in the test section relative to the laser doppler velocimeter (LV) as well as the location of the velocity scan planes. The actual installation is shown in Figure 3.

The inboard and tip sections both have the same airfoil, V23010-1.58 with  $0.0^\circ$  deflection tab at the trailing edge. The inboard section has a constant chord of  $0.209 \text{ m}$  and a span of  $1.524 \text{ m}$ , however, its effective span was reduced to  $1.076 \text{ m}$  due to the splitter plate. The splitter plate

was installed in order to minimize the wind tunnel wall boundary effects. The adjustable tip section was mounted on a six-component internal strain gage balance (Task Corp. Mk. XXIX-A, Figure 4) at 1/4-chord. A gap of about 2 mm exists between the inboard section and the tip section. The data from this strain gage balance were acquired and processed with the NASA Ames Standard Wind Tunnel System (SWTS).

Two planforms were used for the tip section, rectangular and swept / tapered. Both planforms are shown in Figure 5. The swept / tapered planform is identical to the one used in the rotor wind tunnel test reported in Reference 2. Figure 6 shows the swept / tapered tip installed on the inboard section. The pitch angle of the tip could be manually adjusted to a pre-designated angle, indexed by the balance / tip adaptor and remained fixed during each tunnel run.

The coordinate system used has its origin on the leading edge of the metric break. The x-axis coincides with the free stream velocity vector, y-axis is oriented toward the inboard section and z-axis upward. All coordinates were normalized with the wing chord length.

All data acquired were steady. The only unsteady behavior observed was the turbulence level of the ambient flow, which is presented in terms of the standard deviation of the steady mean velocity. The previous study described in Reference 3 indicates that the turbulence level in the empty test section is approximately 0.26 % and 0.76 % of the free stream velocity in the axial and transverse directions, respectively.

### 2.3 Laser Velocimeter

A three-dimensional laser doppler velocimeter (LV) was used to measure the flow velocities around the wing. The LV system uses the three most powerful lines of an 8-Watt argon laser (wave lengths 514.5, 488.0, 476.5 nm respectively). It is a dual-beam backscatter type and simultaneously measures two orthogonal velocity components, streamwise and vertical, and the non-orthogonal cross-flow component. Zoom optics enables the LV system to translate the focal volume of all three channels in the cross flow direction, and the optical table translation mechanism positions the LV focal volume in the streamwise and vertical directions. The non-orthogonal channel has a weak coupling with the vertical component channel with coupling angles of 10° to 28°, depending on the focal volume location in the cross stream direction. The semi-major axis of the focal volume of all three channels combined is approximately 5 mm.

The zoom optics and the translation mechanism were controlled by an HP 1000 computer. The data acquisition, including the LV sample size, was automated to achieve a predetermined velocity confidence interval (95% confidence,  $\pm 0.1$  m/sec). Mineral oil was used to seed the tunnel flow and the oil was injected downstream of the test section in order to achieve more uniform particle size and distribution in the test section.

## 2.4 Test Conditions

All data were acquired under the following conditions;

Test section dynamic pressure,  $q = 0.2155 \times 10^4 \text{ N/m}^2$

Test section Reynolds' number  $= 0.845 \times 10^6$

Test section Mach number  $= 0.17$

Inboard section pitch angle  $= 6.6^\circ$

The pitch angle of the tip section and the its planform gives the following test matrix.

For spanwise lift measurement,

$\theta_{tip}$	$\Delta\theta$	Swept/Tapered	Rectangular
$7.3^\circ$	$0.6^\circ$	y	y
$2.3^\circ$	$-4.3^\circ$	y	
$-2.1^\circ$	$-8.7^\circ$	y	y
$-5.8^\circ$	$-12.4^\circ$	y	

For wake velocity scans,

$\theta_{tip}$	$\Delta\theta$	Swept/Tapered	Rectangular
$7.3^\circ$	$0.6^\circ$	y	
$2.3^\circ$	$-4.3^\circ$	y	
$-2.1^\circ$	$-8.7^\circ$	y	
$-5.8^\circ$	$-12.4^\circ$	y	

## 3. Laser Velocimeter Data Acquisition and Reduction Methods

The spanwise distribution of the sectional lift was calculated from the velocity distribution around a wing section by the circulation box method.

$$\begin{aligned} c_l &= \frac{l}{q c_0} \\ &= \frac{\rho U_\infty \Gamma}{q c_0} \end{aligned} \tag{1}$$

where the circulation  $\Gamma$  is defined as

$$\Gamma = \oint_c \vec{q} \cdot d\vec{s} \quad (2)$$

Note that the integral path in equation (2) is defined in the clockwise direction. Since the velocity measurements were taken in a rectangular path indicated in Figure 7, for an infinitely thin wake equation (2) can be rewritten as

$$\Gamma = \int_{x_1}^{x_2} u \, dx \Big|_{z=z_2} + \int_{z_2}^{z_1} w \, dz \Big|_{x=x_2} + \int_{x_2}^{x_1} u \, dx \Big|_{z=z_1} + \int_{z_1}^{z_2} w \, dz \Big|_{x=x_1} \quad (3)$$

Each integral was evaluated with Simpson's formula on a real-time basis. The number of data points on each side is determined in the following manner; The circulation measurement was first conducted with a large number of points, 21 points on both horizontal and vertical sides. The resulting sectional lift coefficient was assumed to be a true value for the purpose of establishing the baseline. The number of points was then decreased in order to minimize the data acquisition time as long as the contribution of the vertical sides and horizontal side to the sectional lift coefficient did not deviate from that of the baseline for more than 2%. It was determined that fifteen points on the horizontal side and seven points on the vertical side met the requirement at most of the spanwise stations where the LV focal volume did not intersect the vortex core or the viscous wake. The vortex core could be detected by a sharp change in mean velocity, accompanied by a large turbulence level. A large turbulence level with a loss in mean velocity indicated a viscous wake. When such a phenomenon was observed, the circulation measurement was repeated with an increased number of data points along the entire rectangular path until a more accurate result was obtained

Since the circulation box computation required only the horizontal and vertical components, the cross-flow channel of the LV was disabled during the sectional lift measurement.

Three-component velocity surveys were also acquired behind the wing at the streamwise locations of  $\bar{x} = 1.05$  and  $\bar{x} = 3.50$ . The velocity survey plane is in the range of  $-2.5 \leq \bar{y} \leq 1.5$  and  $-0.5 \leq \bar{z} \leq 0.5$  with an increment of 0.25 in both directions.

The total forces and moments on the tip section were also measured with the internal strain gage balance. For each run, ten measurements were taken and average values were obtained.



#### **4. Computation with VSAERO Analysis**

A steady, subsonic three-dimensional panel method was used to predict the lift behavior on the tip. Two different methods were attempted to panel the wind tunnel model. The first method treats the inboard section and the tip as one unit, with a short segment where a rapid transition in twist takes place. This method ignores the existence of the gap between the two sections and replaces it with a "flexible" section, which changes its shape depending on the pitch angle of the tip section. This can be seen as having a "rubber boot" between the inboard and tip sections. The second method treats the two sections as separate components. Although this model seems more realistic, two surfaces in close proximity are required to simulate the gap between the two sections. Since VSAERO is a discretized model, this can cause a control point to be too close to a singularity and may result in numerical instability. In order to avoid such numerical problem, the gap must be widened when the instability occurs.

Although the two paneling methods have different effects on the lift distribution on the inboard and tip sections near the junction, it has been determined that the inaccuracies introduced by both the flexible section or the wider gap (two to three times larger than reality) have little effect on the total three-dimensional lift on the inboard section or the tip. For the purpose of three-dimensional lift comparison presented in this paper, the first paneling method was selected for its numerical stability and simplicity in paneling.

A more detailed discussion on the paneling methods and their effects is given in Reference 4.

#### **5. Results**

The tabulated data for the spanwise lift distribution are presented in Appendix B. One table represents a one complete circulation box. The horizontal and vertical components of the local velocity vector, as well as their standard deviations, are printed for each measurement point. Each table also contains the resulting lift coefficient for the given section. Appendix C shows the wake velocity measurements with all three velocity components. All velocity data are presented in nondimensional form, normalized for the free stream velocity.

##### **5.1 Spanwise Lift Distribution by Circulation Method**

A typical velocity distribution along a circulation box is shown in Figure 8. The standard deviation of the mean velocity value, depicted as an error bar in the figure is the turbulence level measured by the LV. It was observed that the turbulence level increases when the LV focal volume is in the viscous wake of the wing.

Figures 9 and 10 show a spanwise distribution of the sectional lift for the swept / tapered tip and rectangular tip, respectively, computed by the circulation method for each tip pitch angle. When the tip pitch angle,  $\theta_{tip}$  is set to  $-2.1^\circ$  ( $\Delta\theta = -8.7^\circ$ ), positive lift is observed on the inboard part of the tip. This clearly suggests a presence of the upwash created by the secondary trailing vortex shed from the inboard / tip junction. When  $\theta_{tip}$  is very small, the lift distribution is smooth due to the lack of strong vortex, except for the effect of the gap between two sections. Theoretically, the lift at the gap should be zero, simply because there is no lifting surface. However, the LV data indicate the presence of circulation over the gap because the focal volume tends to sense the circulation from both sides of the gap. Other factors, such as the spanwise length of the LV focal volume being approximately twice the size of the gap, existence of spanwise component of turbulence in the ambient flow, or a boundary layer effect in the gap, also have some contributions. No attempt was made to quantify each contribution to this phenomenon.

The sectional lift was integrated to yield a three-dimensional lift coefficient for each configuration and compared with the same lift coefficient obtained from the internal strain gage balance. Although the strain gage balance is designed to provide six-component of forces and moments, the particular balance used in this test had a problem with one of six strain gages and it has determined that only the lift component data are reliable. Therefore other components are not presented. The results of the lift coefficient,  $\bar{C}_L$  and its standard deviation,  $\delta_{C_L}$  measured by the strain gage balance are presented in Table 1. Linear interpolation / extrapolation of the balance data suggests that the zero lift pitch angles are  $-2.4^\circ$  and  $-2.3^\circ$  for the swept / tapered tip and rectangular tip, respectively. Since the sectional zero lift angle of attack for the V23010 is about  $+0.4^\circ$  for the given test condition (Reference 5), this also indicates the effect of the secondary trailing vortex and its upwash acting on the tip.

The three-dimensional lift coefficient obtained from the LV, as well as the strain gage balance had a good agreement with the numerical prediction made by the lifting surface method, VSAERO. Figures 11 and 12 show three-dimensional lift coefficients as a function of differential tip pitch angle, obtained by the above three methods.

## 5.2 Velocity Survey Behind the Wing

Three-dimensional velocity surveys were obtained behind the wing to further substantiate the existence of the upwash and the relative strength of each vortex. The survey planes are located at  $\bar{x} = 1.05$ . Figure 13 shows a typical velocity distribution in a survey line. A velocity vector map in  $y-z$  plane was then generated to show a section of the trailing vortices in the wake. Velocity vector maps are shown in Figure 14 for different tip pitch angles for the swept / tapered tip. Note that the spanwise location of metric break is at 0.0 and the tip at -1.48.

In Figure 14(a), the difference in pitch angles between the tip and inboard section is small. A

conventional tip vortex can be observed and there is no apparent secondary vortex shed from the metric break can be seen. In Figure 14(b), the tip pitch angle was reduced to  $2.3^\circ$ . The tip is still carrying positive lift and is still generating a tip vortex in the same direction as before, although it is less prominent. The tip pitch angle was further reduced to  $-2.1^\circ$  in Figure 14(c). The three dimensional lift on the tip is approximately zero. As indicated in Figure 9, however, the outboard section of the tip is carrying negative lift. This behavior can be seen as reversed direction of the tip vortex. This negative lift on the outboard tip is cancelled by the positive lift carried on the inboard portion of the tip, created by the upwash shown in the figure. The secondary vortex from the tip / inboard section junction becomes prominent. The secondary vortex becomes very apparent in Figure 14(d) where a large discontinuity in bound vorticity exists at the metric break.

It was observed that the required number of samples to satisfy the 95 % confidence level of  $\pm 0.1$  m/sec increases significantly when the focal volume is in the proximity of the viscous wake or the vortex core. Due to the weak coupling with the orthogonal channels, the non-orthogonal channel, which yields the spanwise velocity component, tends to produce erroneous results when the turbulence level is high. The cross flow component in such areas presented in Figure 14 may contain a large amount of error for this reason. No attempt was made to correct this error.

## 6. Concluding Remarks

The spanwise lift distribution measurements and the velocity surveys around the semi-span wing have shown that the discontinuous twist near the wing tip can indeed create an upwash at the tip strong enough to generate a positive lift when the pitch angle of the tip is substantially negative, thus, contributing to the local drag reduction on the tip.

A more detailed analysis is required to further understand the aerodynamic environment of the rotor tip when such a discontinuous twist is applied to the rotor blade. Since numerical methods for a rotating rotor are still in an infant stage, a numerical method developed for a fixed wing is still a primary analysis tool for a rotor blade. The lift distribution and velocity data generated in this study should serve as a database to validate numerical results.

This type of drag reduction may also be applied to a fixed wing aircraft, and the tip extension with a discontinuous twist may be considered as an alternative to a winglet addition. Further investigations of the drag acting on the combined inboard and tip sections are suggested.

## 7. Reference

- 1) Kumagai, H. *Parametric Analysis of a Passive Cyclic Control Device for Helicopters*, NASA CR 166608, October 1984.
- 2) Stroub, R.H., Kumagai, H., Keys, C. *Wind Tunnel Test of a Model Rotor with a Free-Tip*, AIAA 86-1781, AIAA 4th Applied Aerodynamics Conference, San Diego, California, June 1986, AIAA CP865, pp 97.
- 3) Soderman, P.T. *Turbulence Measurements in the 7- by 10-Foot Wind Tunnel No. 1*, NASA FSA TM 19, April, 1979.
- 4) Martin, D. M., Fortin, E. P. *VSAERO Analysis of Tip Planforms for the Free-Tip Rotor*, NASA CR 177487, June, 1988.
- 5) U. S. Army, *U. S. Army Helicopter Design Datcom*, USAAMRLD CR 76-2, 1976.

**Appendix A**  
**Tables and Figures**

$\Delta\theta$	$\bar{C}_L$	$\delta_{C_L}$	$C_L(LV)$
0.6°	0.5011	0.0101	0.5006
-4.3°	0.2721	0.0068	0.2504
-8.7°	0.0205	0.0102	0.0067
-12.4°	-0.2091	0.0182	-0.2158

(a) Swept/Tapered Tip

$\Delta\theta$	$\bar{C}_L$	$\delta_{C_L}$	$C_L(LV)$
0.6°	0.4638	0.0079	0.4697
-8.7°	0.0115	0.0047	0.0107

(b) Rectangular Tip

Table 1 Three dimensional lift, Task balance and LV

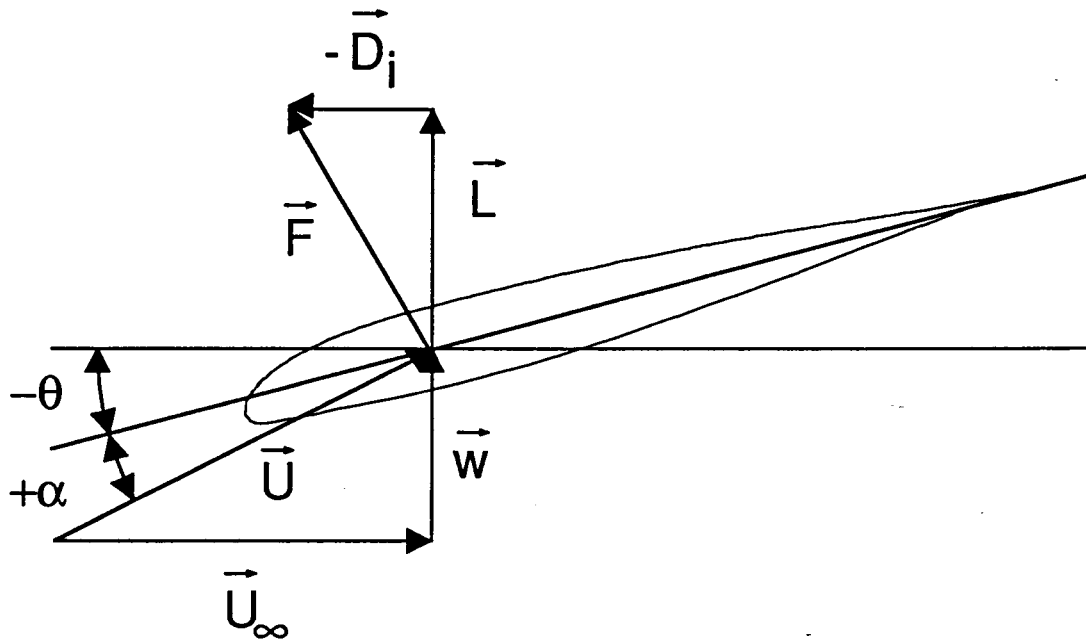


Figure 1 Drag reduction due to upwash

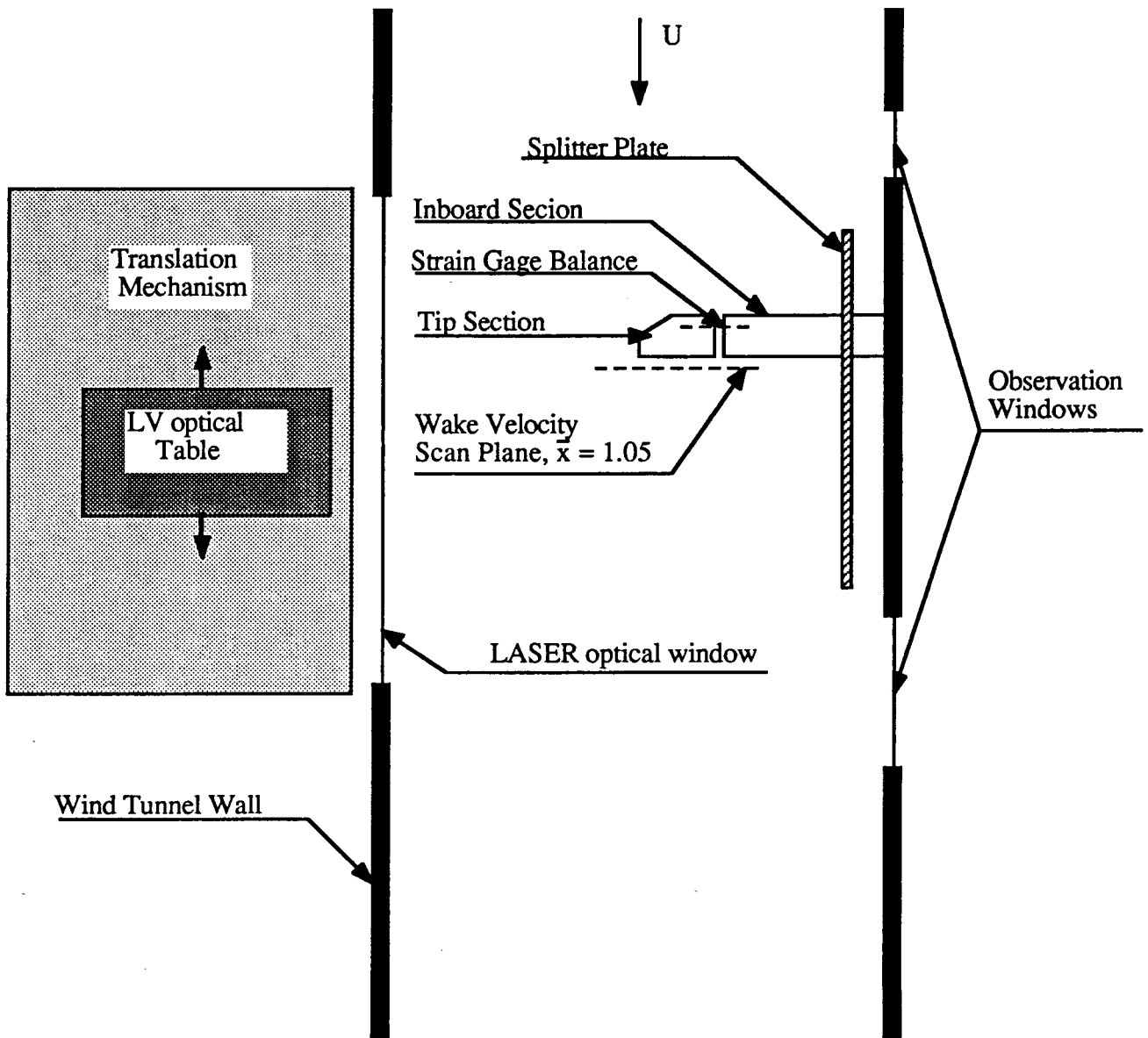


Figure 2 Model Set up in 7- by 10-ft Wind Tunnel



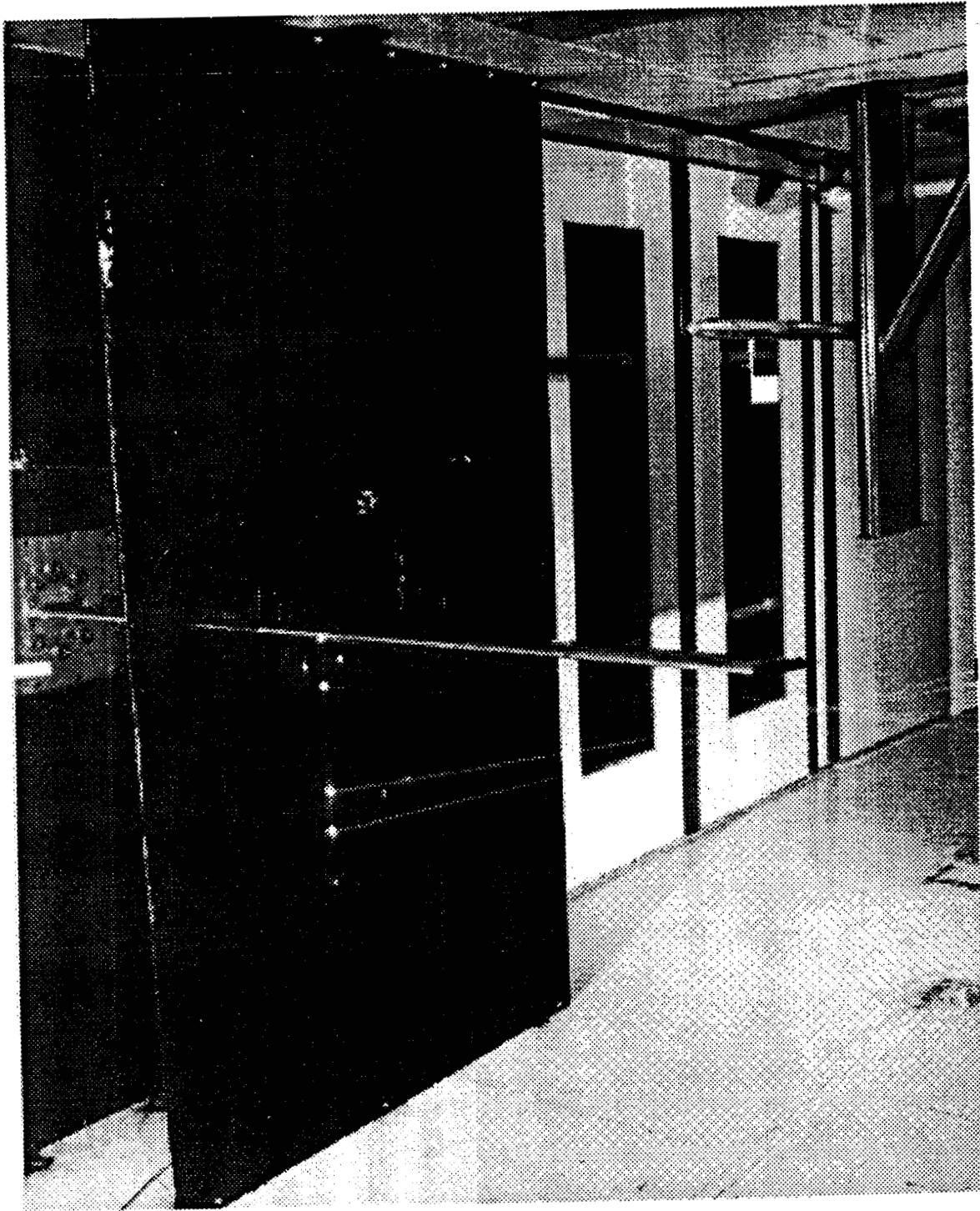


Figure 3 Model Installation in the Test Section

ORIGINAL PAGE IS  
OF POOR QUALITY

ORIGINAL PAGE IS  
OF POOR QUALITY

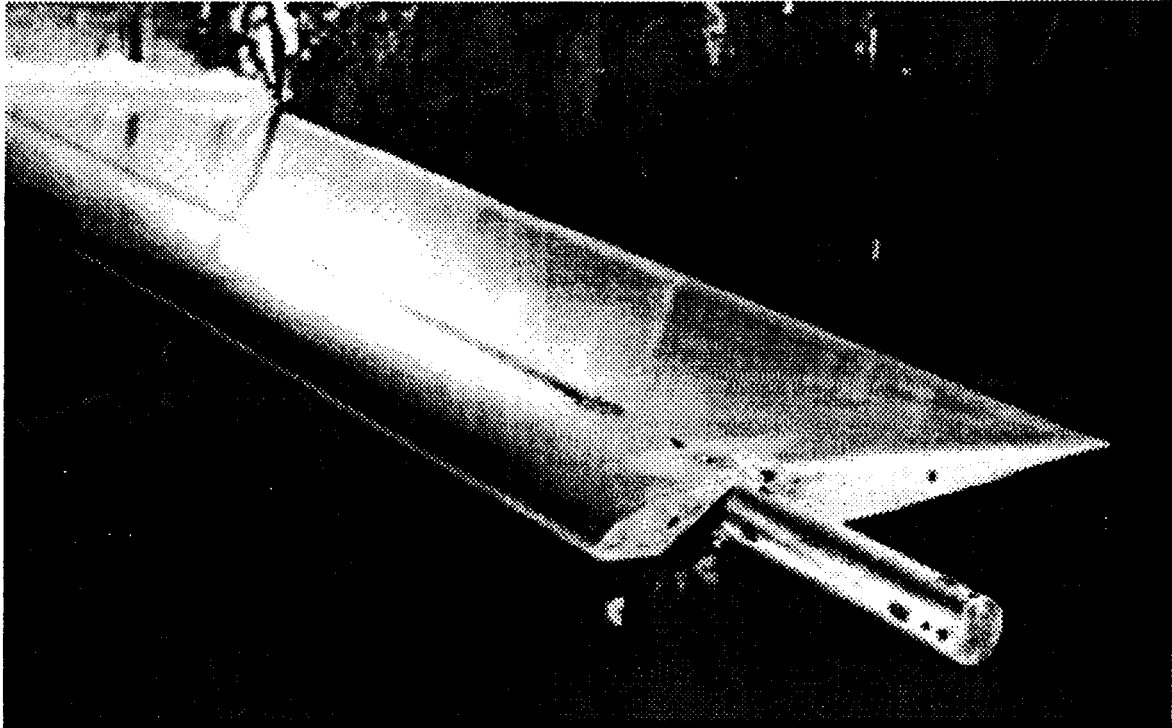
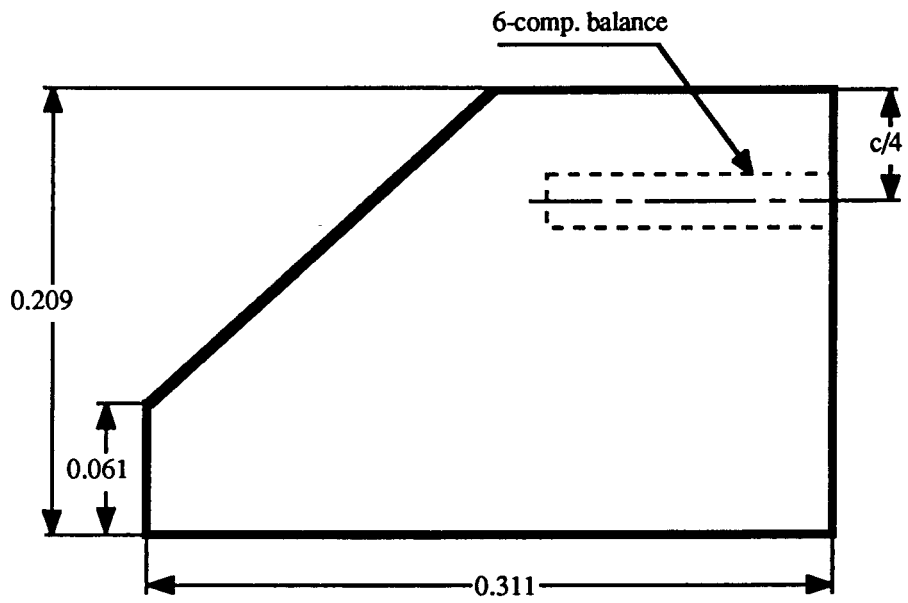
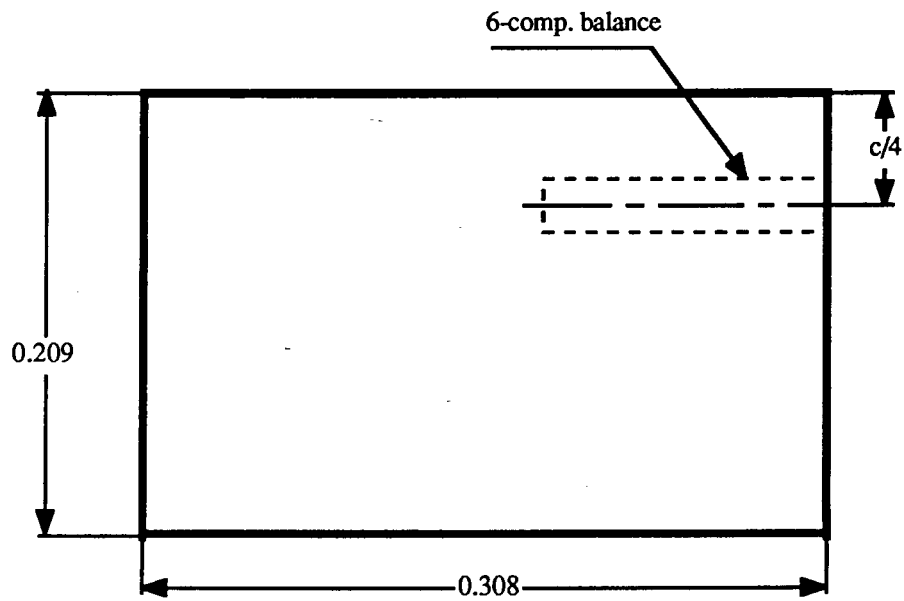


Figure 4 Internal Strain Gage Balance -



(a) Swept, tapered tip



(b) Rectangular tip

Figure 5 Tip Planforms

ORIGINAL PAGE IS  
OF POOR QUALITY

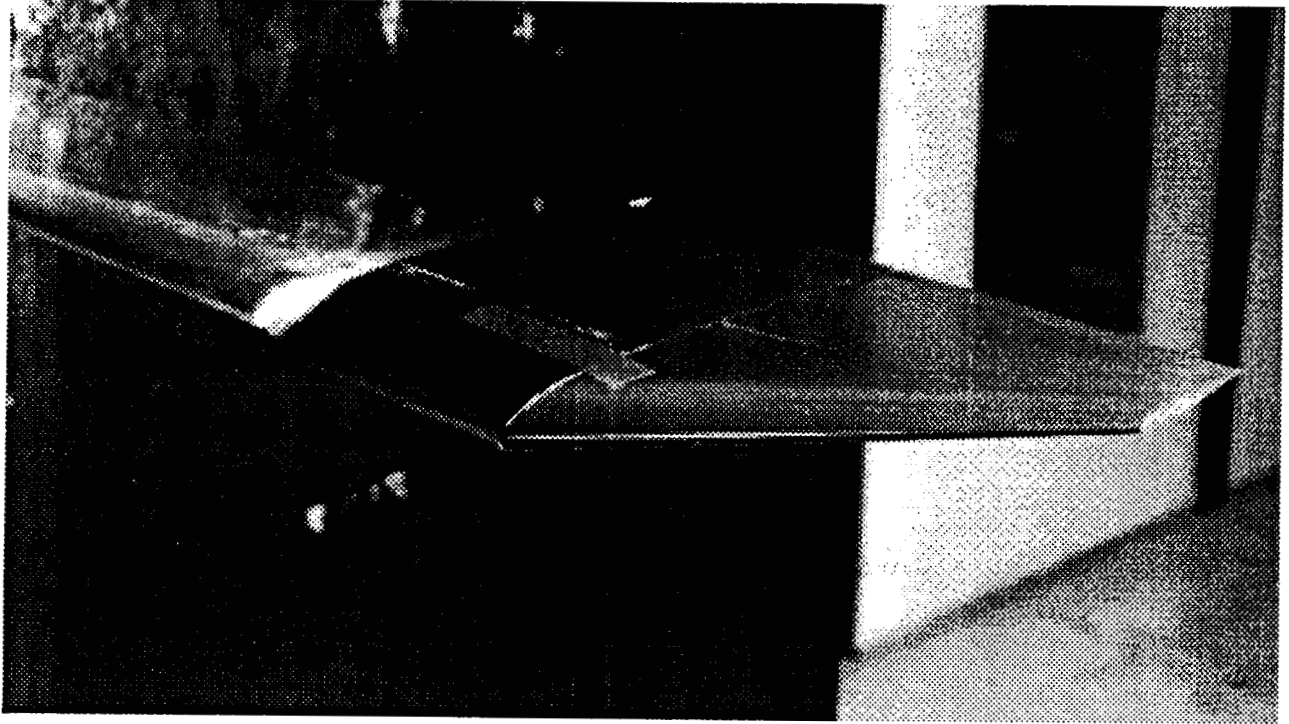


Figure 6 Swept / Tapered Tip Installation

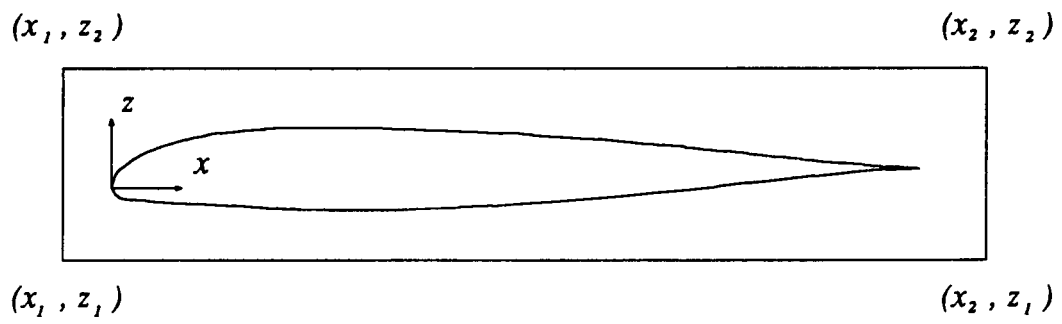
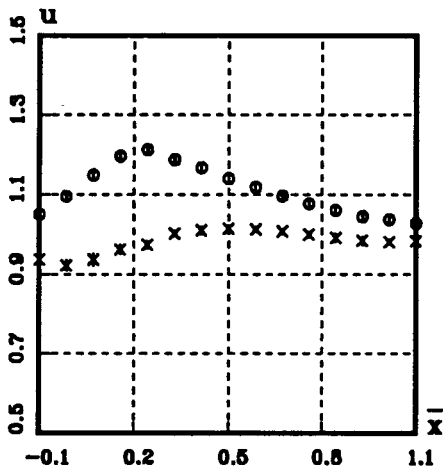


Figure 7 Circulation Box Coordinates

# LIFT COEFFICIENT BY CIRCULATION METHOD

$$c_l = 0.463 \quad \bar{y} = -0.498 \quad n_h = 15 \quad n_v = 7 \quad \theta_t = -7.3^\circ \quad \theta_i = -6.7^\circ$$



- = S1, leading edge  
S1 = 0.075
- = S2, upper surface  
S2 = 2.677
- △ = S3, trailing edge  
S3 = 0.070
- × = S4, lower surface  
S4 = -2.359

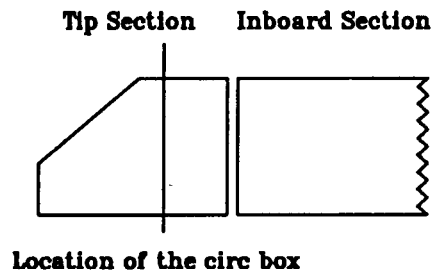
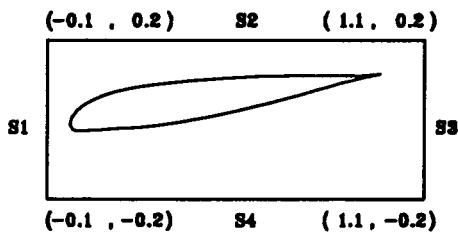
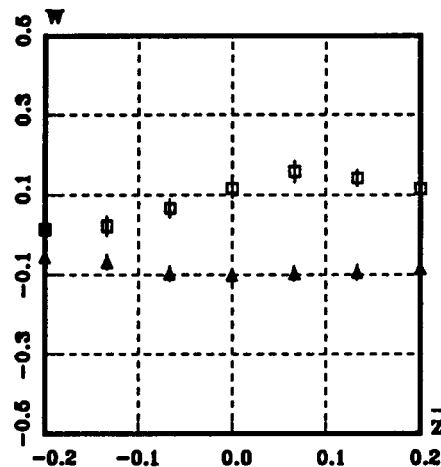


Figure 8 A typical circulation box measurement

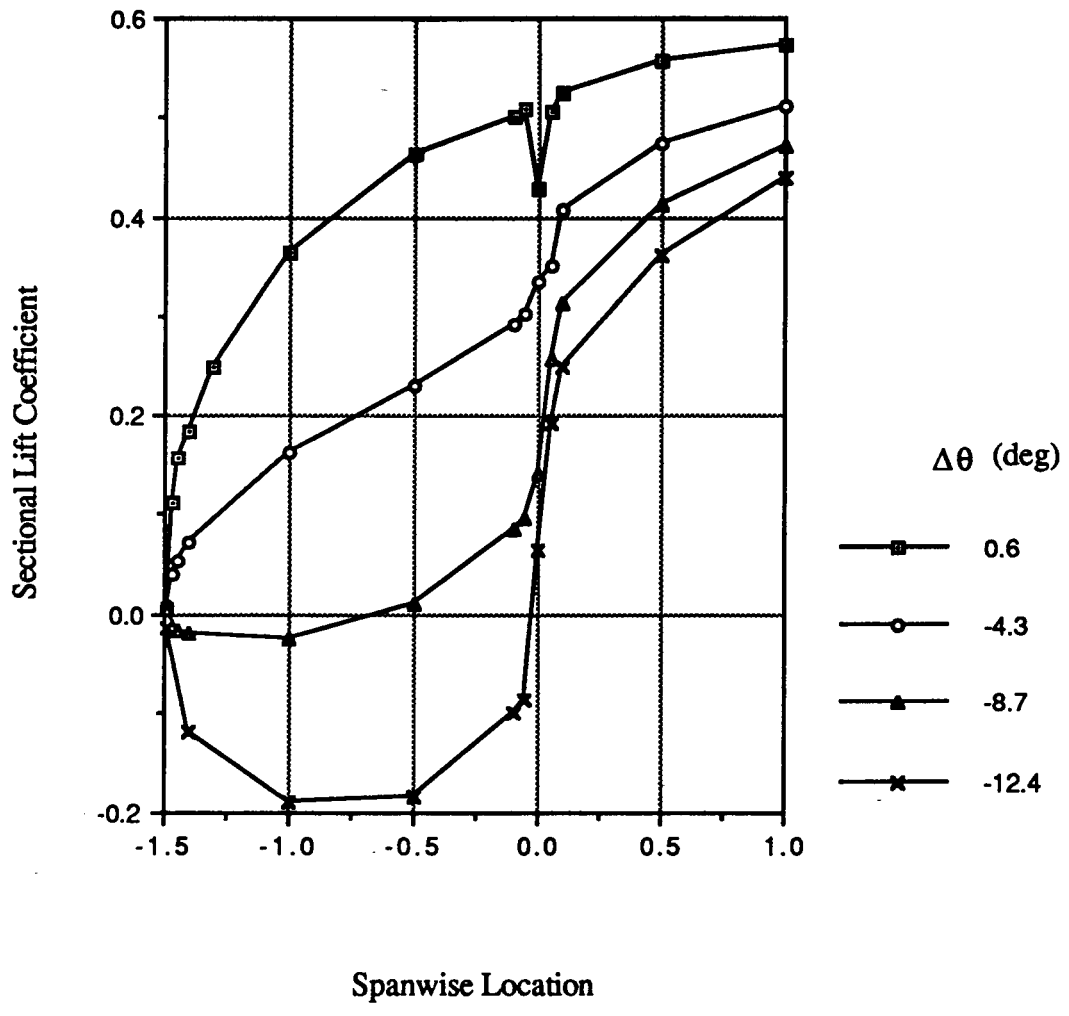


Figure 9 Spanwise Lift Distribution, Swept/Tapered Tip

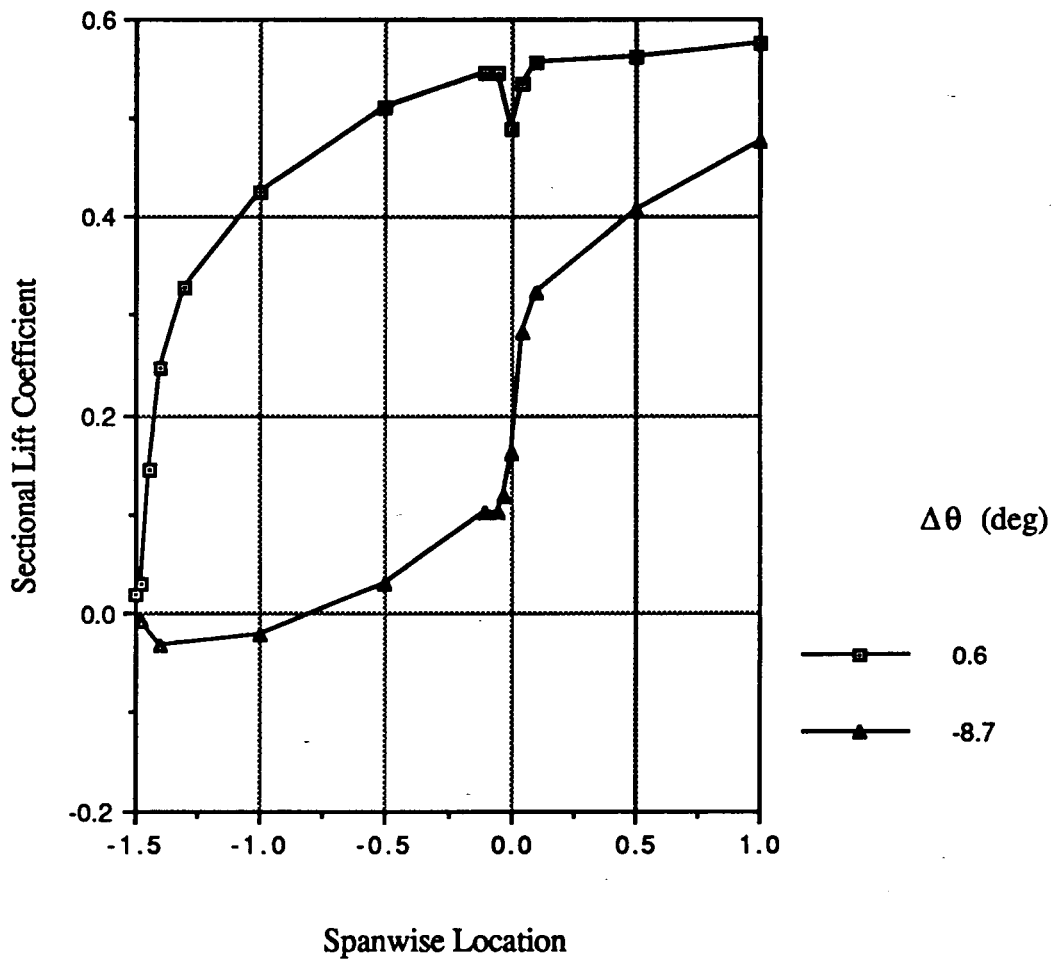


Figure 10 Spanwise Lift Distribution, Rectangular Tip



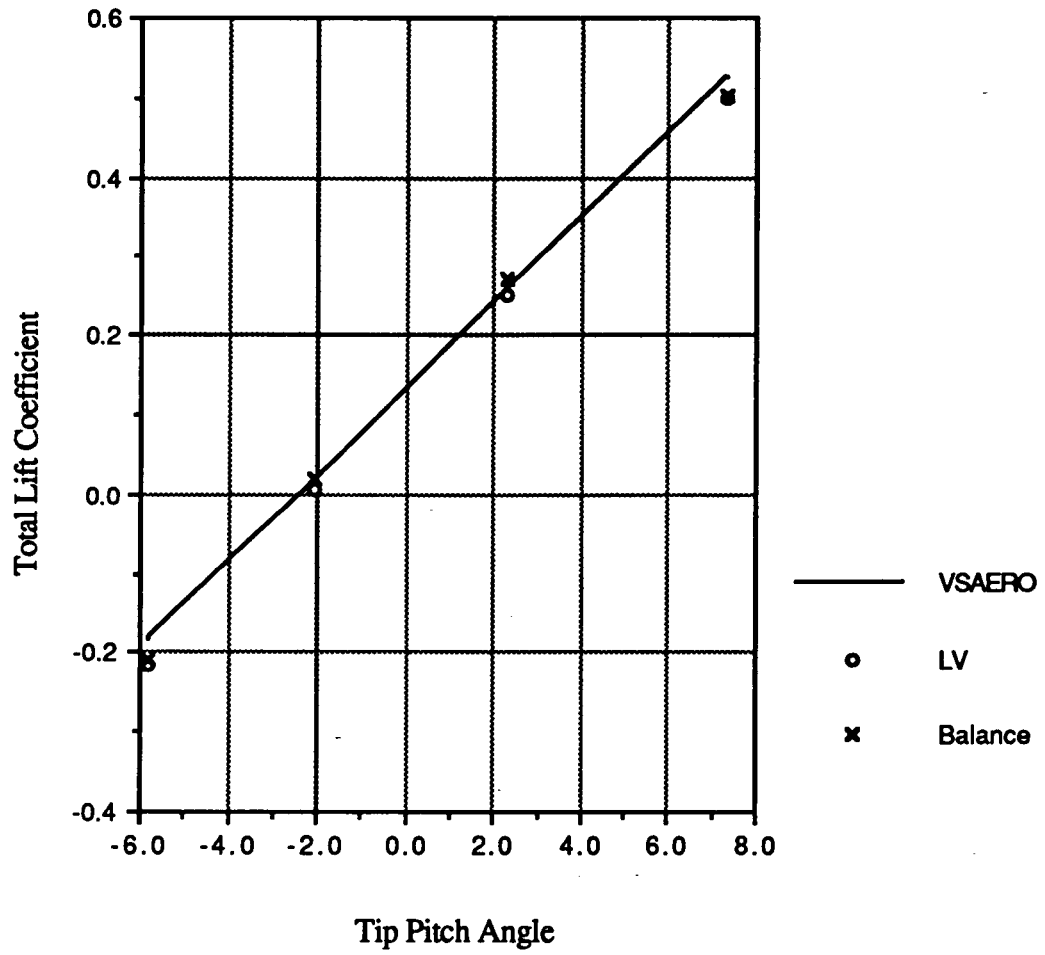


Figure 11 Three-Dimensional Lift Coefficient, Swept / Tapered Tip

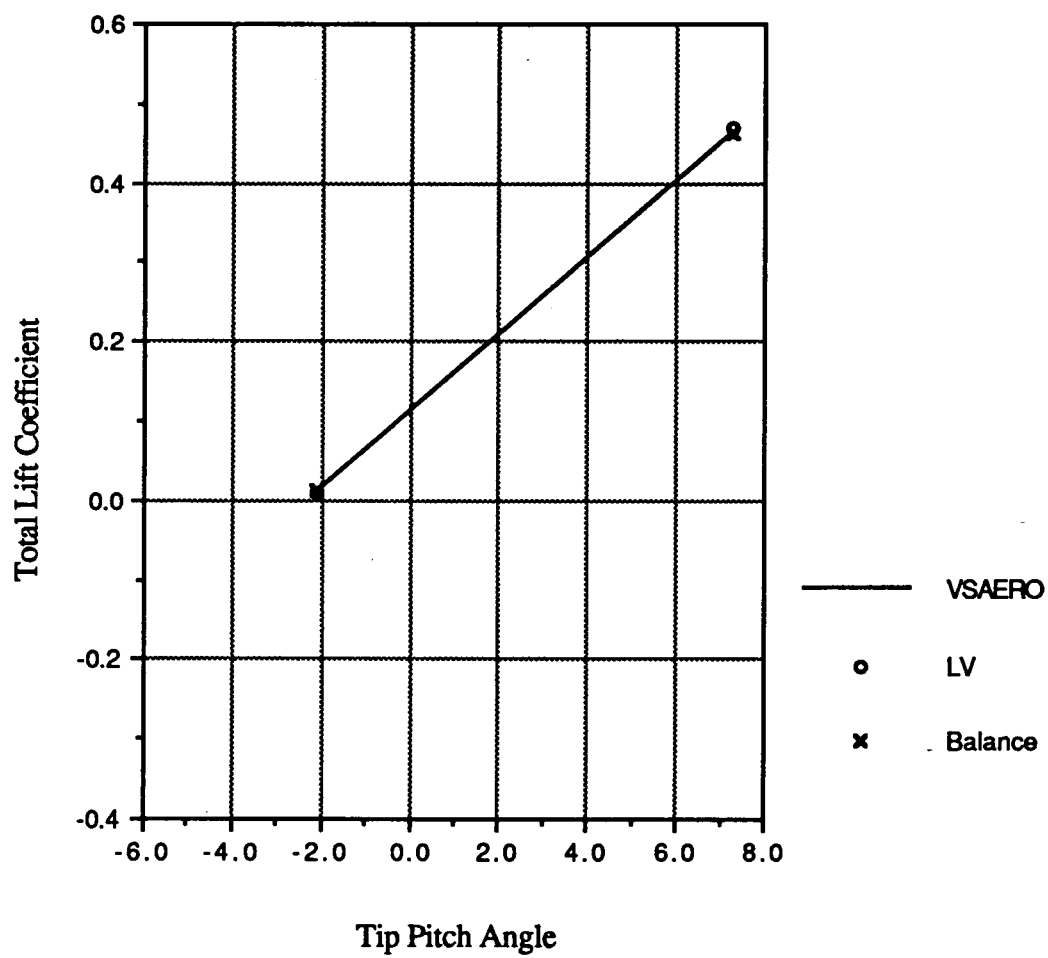
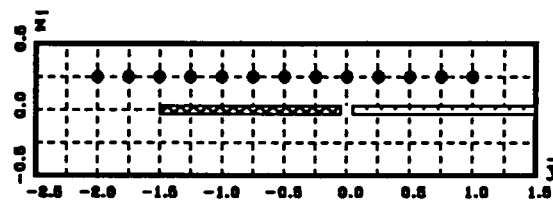
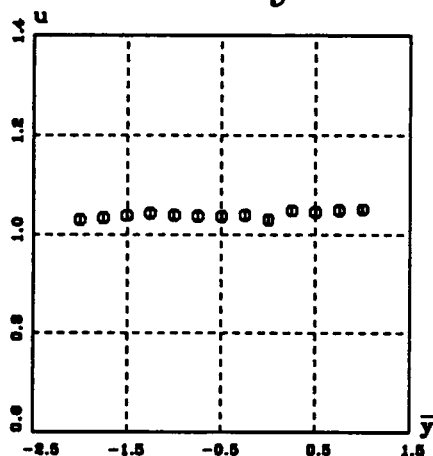


Figure 12 Three-Dimensional Lift Coefficient, Rectangular Tip

# Velocity Distribution in Scan Plane



Scan Plane Location at  $X = 1.05$   $\theta_t = 7.3^\circ$   $\theta_i = 6.6^\circ$

□ Tip Section □ Inboard Section ● Scan Point  
○ Mean Value  $\phi$  Standard Deviation

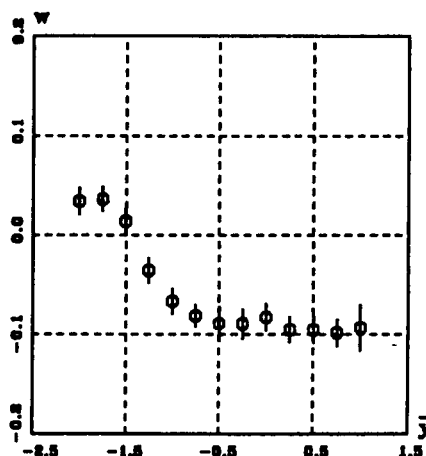
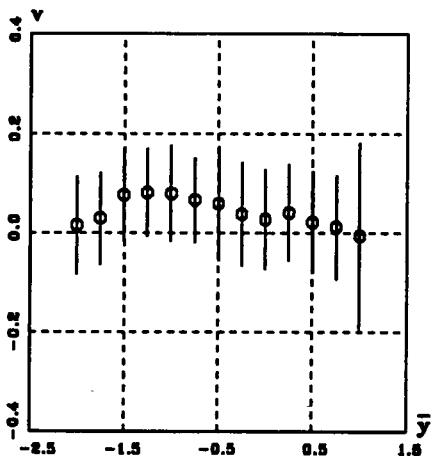
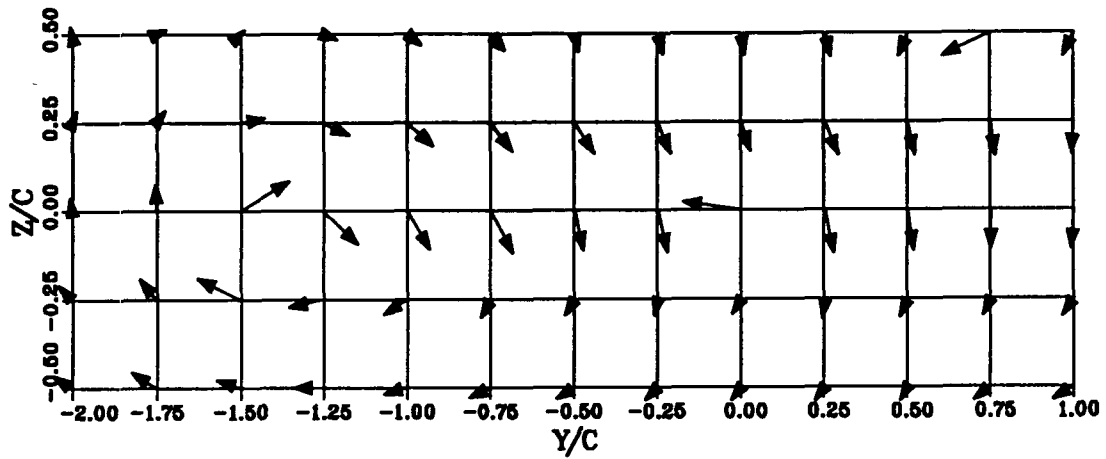


Figure 13 A Typical Wake Velocity Survey, Swept / Tapered Tip

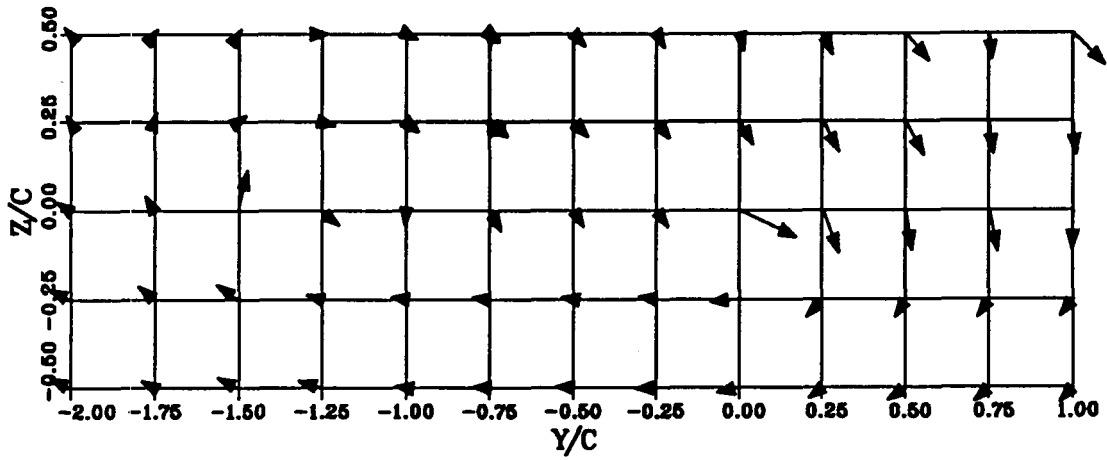


Legend


$w = 0.1 U$   
 $v = 0.1 U$

$\theta_t = 7.3^\circ \quad \theta_l = 8.7^\circ$

Figure 14(a) Velocity Survey at  $\bar{x} = 1.05$

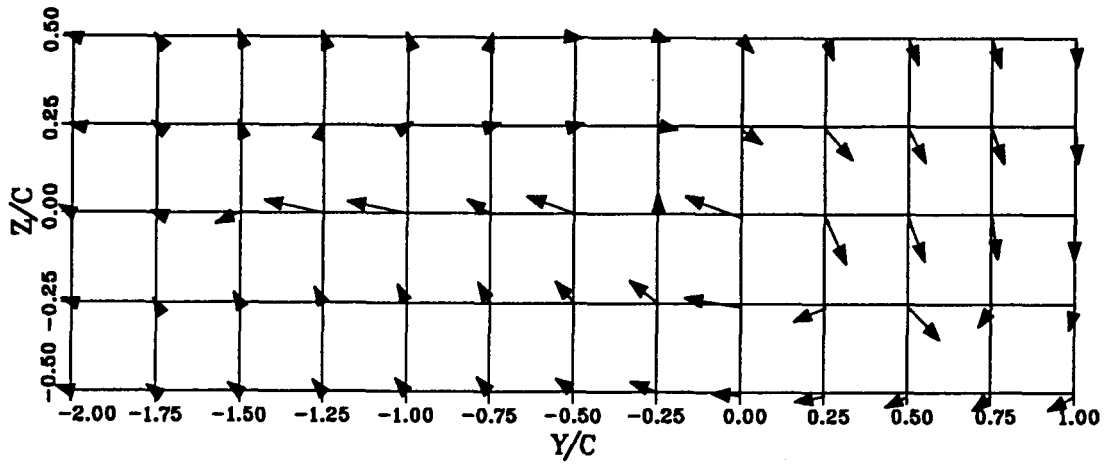


Legend

$w = 0.1 U$   
  
 $v = 0.1 U$

$\theta_t = 2.3^\circ$     $\theta_i = 6.7^\circ$

Figure 14(b) Velocity Survey at  $\bar{x} = 1.05$

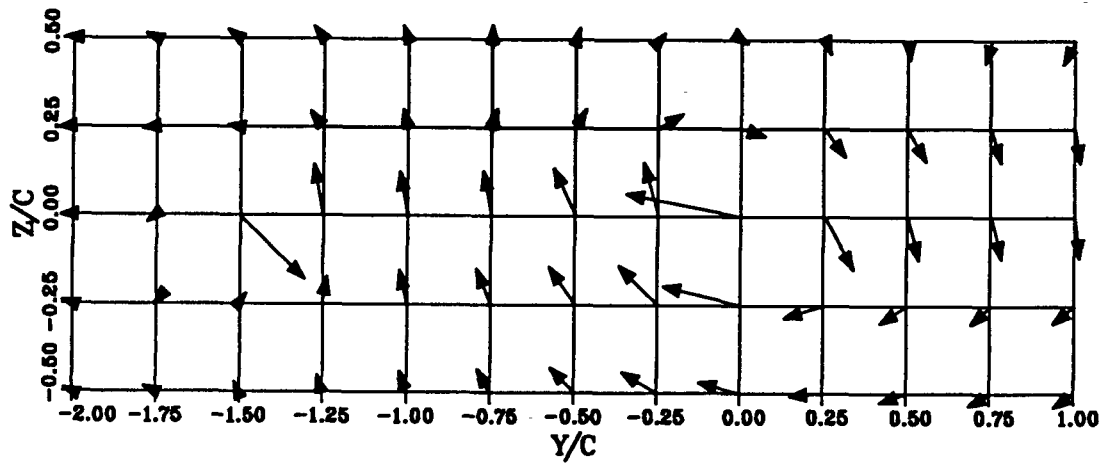


Legend


$w = 0.1 U$   
 $v = 0.1 U$

$\theta_t = -2.1^\circ$     $\theta_i = 6.7^\circ$

Figure 14(c) Velocity Survey at  $\bar{x} = 1.05$



Legend

$v = 0.1 U$   
  
 $v = 0.1 U$

$\theta_t = -5.8^\circ \quad \theta_l = 6.7^\circ$

Figure 14(d) Velocity Survey at  $\bar{x} = 1.05$

**Appendix B**

**Circulation Box Measurement**



Swept Tapered Tip

Inboard angle = 6.6 Tip angle = 7.3 Delta theta = 0.7

Circulation box no. 1 at y/c = 1.002

NPT	x/c	z/c	u/U	$\sigma_u$	v/U	$\sigma_v$	w/U	$\sigma_w$
1	-0.10019E+00	-0.20003E+00	0.94372E+00	0.28963E-01	-	-	0.24850E-01	0.16794E-01
2	-0.10019E+00	-0.13322E+00	0.91811E+00	0.22470E-01	-	-	0.57364E-01	0.17811E-01
3	-0.10019E+00	-0.66531E-01	0.90658E+00	0.16369E-01	-	-	0.11123E+00	0.23013E-01
4	-0.10019E+00	0.15778E+03	0.94385E+00	0.15670E-01	-	-	0.16534E+00	0.23613E-01
5	-0.10019E+00	0.66846E-01	0.10149E+01	0.16096E-01	-	-	0.18104E+00	0.20993E-01
6	-0.10019E+00	0.13341E+00	0.10640E+01	0.13173E-01	-	-	0.16354E+00	0.23087E-01
7	-0.10019E+00	0.20010E+00	0.10877E+01	0.12974E-01	-	-	0.13035E+00	0.20802E-01
8	-0.99708E-01	0.20010E+00	0.10861E+01	0.13758E-01	-	-	0.12742E+00	0.20984E-01
9	-0.14070E-01	0.20010E+00	0.11327E+01	0.13125E-01	-	-	0.14106E+00	0.18551E-01
10	0.71690E-01	0.20010E+00	0.11976E+01	0.14444E-01	-	-	0.11901E+00	0.18204E-01
11	0.15733E+00	0.20010E+00	0.12403E+01	0.11534E-01	-	-	0.63116E-01	0.21618E-01
12	0.24309E+00	0.20010E+00	0.12466E+01	0.72730E-02	-	-	0.97512E-02	0.24481E-01
13	0.32873E+00	0.20010E+00	0.12249E+01	0.12953E-01	-	-	-0.27801E-01	0.42106E-01
14	0.41437E+00	0.20010E+00	0.12014E+01	0.12338E-01	-	-	-0.80244E-01	0.20568E-01
15	0.50013E+00	0.20010E+00	0.11744E+01	0.13731E-01	-	-	-0.10308E+00	0.40971E-01
16	0.58601E+00	0.20010E+00	0.11474E+01	0.15709E-01	-	-	-0.11387E+00	0.38405E-01
17	0.67165E+00	0.20010E+00	0.11230E+01	0.14867E-01	-	-	-0.12820E+00	0.52682E-01
18	0.75728E+00	0.20010E+00	0.11006E+01	0.12507E-01	-	-	-0.12545E+00	0.21590E-01
19	0.84292E+00	0.20010E+00	0.10789E+01	0.14650E-01	-	-	-0.13834E+00	0.51522E-01
20	0.92880E+00	0.20010E+00	0.10640E+01	0.16552E-01	-	-	-0.15095E+00	0.51481E-01
21	0.10144E+01	0.20010E+00	0.10786E+01	0.40298E-01	-	-	-0.14076E+00	0.47764E-01
22	0.11002E+01	0.20010E+00	0.10472E+01	0.20034E-01	-	-	-0.97140E-01	0.24945E-01
23	0.11002E+01	0.19998E+00	0.10432E+01	0.17014E-01	-	-	-0.93445E-01	0.23992E-01
24	0.11002E+01	0.13317E+00	0.10381E+01	0.19709E-01	-	-	-0.95142E-01	0.95566E-02
25	0.11002E+01	0.66603E-01	0.10223E+01	0.11720E-01	-	-	-0.98982E-01	0.79188E-02
26	0.11002E+01	-0.85220E-04	0.10105E+01	0.13384E-01	-	-	-0.97328E-01	0.95800E-02
27	0.11002E+01	-0.66774E-01	0.99454E+00	0.13127E-01	-	-	-0.92654E-01	0.85674E-02
28	0.11002E+01	-0.13346E+00	0.98851E+00	0.19335E-01	-	-	-0.63118E-01	0.18023E-01
29	0.11002E+01	-0.20015E+00	0.99356E+00	0.13214E-01	-	-	-0.55226E-01	0.77138E-02
30	0.10997E+01	-0.20015E+00	0.99526E+00	0.13250E-01	-	-	-0.54542E-01	0.91079E-02
31	0.10141E+01	-0.20015E+00	0.98670E+00	0.12673E-01	-	-	-0.44000E-01	0.85313E-02
32	0.92844E+00	-0.20015E+00	0.98754E+00	0.14374E-01	-	-	-0.29675E-01	0.91167E-02
33	0.84268E+00	-0.20015E+00	0.99827E+00	0.13849E-01	-	-	-0.22757E-01	0.11828E-01
34	0.75704E+00	-0.20015E+00	0.10094E+01	0.15818E-01	-	-	-0.21617E-01	0.14144E-01
35	0.67128E+00	-0.20015E+00	0.10172E+01	0.13809E-01	-	-	-0.29116E-01	0.13022E-01
36	0.58552E+00	-0.20015E+00	0.10196E+01	0.13031E-01	-	-	-0.38003E-01	0.83855E-02
37	0.49976E+00	-0.20015E+00	0.10174E+01	0.12994E-01	-	-	-0.49765E-01	0.24178E-01

38	0.41400E+00	-0.20015E+00	0.10124E+01	0.15098E-01	-	-	-0.63542E-01	0.44817E-01
39	0.32836E+00	-0.20015E+00	0.99688E+00	0.16651E-01	-	-	-0.81900E-01	0.33574E-01
40	0.24260E+00	-0.20015E+00	0.97472E+00	0.17315E-01	-	-	-0.80701E-01	0.18824E-01
41	0.15696E+00	-0.20015E+00	0.93785E+00	0.16188E-01	-	-	-0.74565E-01	0.38512E-01
42	0.71326E-01	-0.20015E+00	0.91612E+00	0.17184E-01	-	-	-0.41397E-01	0.18682E-01
43	-0.14434E-01	-0.20015E+00	0.90985E+00	0.17428E-01	-	-	-0.20889E-01	0.41967E-01
44	-0.10007E+00	-0.20015E+00	0.94284E+00	0.32295E-01	-	-	0.29322E-05	0.45837E-01

I1 - 0.1015 I2 - 2.7577 I3 - 0.0691 I4 - -2.3562

Lift - 0.5721

Swept Tapered Tip

Inboard angle = 6.6 Tip angle = 7.3 Delta theta = 0.7

Circulation box no. 2 at y/c = 0.503

NPT	x/c	z/c	u/U	$\sigma_u$	v/U	$\sigma_v$	w/U	$\sigma_w$
1	-0.10019E+00	-0.20003E+00	0.93199E+00	0.16599E-01	-	-	0.24481E-01	0.20775E-01
2	-0.10019E+00	-0.13322E+00	0.91373E+00	0.16793E-01	-	-	0.56909E-01	0.22885E-01
3	-0.10019E+00	-0.66531E-01	0.90709E+00	0.15870E-01	-	-	0.10918E+00	0.18567E-01
4	-0.10019E+00	0.15778E-03	0.94036E+00	0.13940E-01	-	-	0.16418E+00	0.25526E-01
5	-0.10019E+00	0.66846E-01	0.10048E+01	0.13708E-01	-	-	0.17578E+00	0.23841E-01
6	-0.10019E+00	0.13341E+00	0.10522E+01	0.13087E-01	-	-	0.15500E+00	0.17560E-01
7	-0.10019E+00	0.20010E+00	0.10779E+01	0.11459E-01	-	-	0.12661E+00	0.19694E-01
8	-0.99587E-01	0.20010E+00	0.10782E+01	0.12963E-01	-	-	0.12628E+00	0.20196E-01
9	-0.14191E-01	0.20010E+00	0.11219E+01	0.11431E-01	-	-	0.13645E+00	0.17078E-01
10	0.71569E-01	0.20010E+00	0.11913E+01	0.12314E-01	-	-	0.12907E+00	0.19943E-01
11	0.15733E+00	0.20010E+00	0.12272E+01	0.13305E-01	-	-	0.12018E-01	0.19568E-01
12	0.24309E+00	0.20010E+00	0.12368E+01	0.11627E-01	-	-	0.22340E-02	0.20825E-01
13	0.32885E+00	0.20010E+00	0.12191E+01	0.11774E-01	-	-	-0.44417E-01	0.26214E-01
14	0.41449E+00	0.20010E+00	0.11910E+01	0.10273E-01	-	-	-0.67528E-01	0.30335E-01
15	0.50025E+00	0.20010E+00	0.11669E+01	0.11628E-01	-	-	-0.97626E-01	0.28954E-01
16	0.58588E+00	0.20010E+00	0.11385E+01	0.10991E-01	-	-	-0.11895E+00	0.18460E-01
17	0.67152E+00	0.20010E+00	0.11133E+01	0.90428E-02	-	-	-0.12369E+00	0.39753E-01
18	0.75728E+00	0.20010E+00	0.10933E+01	0.11382E-01	-	-	-0.12453E+00	0.14537E-01
19	0.84304E+00	0.20010E+00	0.10747E+01	0.11767E-01	-	-	-0.12188E+00	0.32745E-01
20	0.92880E+00	0.20010E+00	0.10571E+01	0.14143E-01	-	-	-0.12349E+00	0.44898E-01
21	0.10144E+01	0.20010E+00	0.10464E+01	0.13137E-01	-	-	-0.13629E+00	0.49131E-01
22	0.11001E+01	0.20010E+00	0.10383E+01	0.13285E-01	-	-	-0.11142E+00	0.36293E-01
23	0.11001E+01	0.19998E+00	0.10375E+01	0.13869E-01	-	-	-0.98095E-01	0.35970E-01
24	0.11001E+01	0.13317E+00	0.10292E+01	0.13799E-01	-	-	-0.97254E-01	0.13946E-01
25	0.11001E+01	0.66603E-01	0.10176E+01	0.12739E-01	-	-	-0.10385E+00	0.34131E-01
26	0.11001E+01	-0.85220E-04	0.10059E+01	0.13643E-01	-	-	-0.10264E+00	0.14128E-01
27	0.11001E+01	-0.66774E-01	0.98097E+00	0.13959E-01	-	-	-0.95769E-01	0.14370E-01
28	0.11001E+01	-0.13346E+00	0.98505E+00	0.17222E-01	-	-	-0.71660E-01	0.24065E-01
29	0.11001E+01	-0.20015E+00	0.98884E+00	0.10736E-01	-	-	-0.56634E-01	0.15346E-01
30	0.10995E+01	-0.20015E+00	0.98552E+00	0.11825E-01	-	-	-0.58782E-01	0.11030E-01
31	0.10142E+01	-0.20015E+00	0.97964E+00	0.11129E-01	-	-	-0.47298E-01	0.12343E-01
32	0.92832E+00	-0.20015E+00	0.98149E+00	0.13760E-01	-	-	-0.36896E-01	0.22348E-01
33	0.84256E+00	-0.20015E+00	0.99061E+00	0.10684E-01	-	-	-0.29049E-01	0.19479E-01
34	0.75704E+00	-0.20015E+00	0.10032E+01	0.10104E-01	-	-	-0.24612E-01	0.22848E-01
35	0.67128E+00	-0.20015E+00	0.10117E+01	0.11901E-01	-	-	-0.24193E-01	0.27562E-01
36	0.58564E+00	-0.20015E+00	0.10144E+01	0.12073E-01	-	-	-0.38491E-01	0.44462E-01
37	0.49988E+00	-0.20015E+00	0.10176E+01	0.12377E-01	-	-	-0.50084E-01	0.39772E-01

38	0.41412E+00	-0.20015E+00	0.10049E+01	0.13325E-01	-	-	-0.58398E-01	0.29700E-01
39	0.32848E+00	-0.20015E+00	0.99518E+00	0.13608E-01	-	-	-0.72204E-01	0.14616E-01
40	0.24272E+00	-0.20015E+00	0.96965E+00	0.15678E-01	-	-	-0.79475E-01	0.13156E-01
41	0.15696E+00	-0.20015E+00	0.94206E+00	0.15365E-01	-	-	-0.71590E-01	0.11593E-01
42	0.71326E-01	-0.20015E+00	0.91247E+00	0.16404E-01	-	-	-0.39611E-01	0.15250E-01
43	-0.14434E-01	-0.20015E+00	0.90966E+00	0.14243E-01	-	-	-0.60112E-02	0.16468E-01
44	-0.10007E+00	-0.20015E+00	0.92770E+00	0.11243E-01	-	-	0.21437E-01	0.15116E-01

I1 - 0.0989 I2 - 2.7320 I3 - 0.0729 I4 - -2.3469

Lift - 0.5569

Swept Tapered Tip

Inboard angle = 6.6 Tip angle = 7.3 Delta theta = 0.7

Circulation box no. 3 at y/c = 0.503

NPT	x/c	z/c	u/U	$\sigma_u$	v/U	$\sigma_v$	w/U	$\sigma_w$
1	-0.10019E+00	-0.20003E+00	0.92854E+00	0.13525E-01	-	-	0.31981E-01	0.17969E-01
2	-0.10019E+00	-0.13322E+00	0.91226E+00	0.15410E-01	-	-	0.54021E-01	0.20419E-01
3	-0.10019E+00	-0.66531E-01	0.90301E+00	0.15267E-01	-	-	0.99445E-01	0.18908E-01
4	-0.10019E+00	0.15778E-03	0.93501E+00	0.11004E-01	-	-	0.16245E+00	0.23569E-01
5	-0.10019E+00	0.66846E-01	0.10048E+01	0.11209E-01	-	-	0.18101E+00	0.23547E-01
6	-0.10019E+00	0.13341E+00	0.10543E+01	0.10945E-01	-	-	0.15942E+00	0.23192E-01
7	-0.10019E+00	0.20010E+00	0.10815E+01	0.10506E-01	-	-	0.13101E+00	0.19149E-01
8	-0.99587E-01	0.20010E+00	0.10803E+01	0.97065E-02	-	-	0.13306E+00	0.16813E-01
9	-0.13949E-01	0.20010E+00	0.11274E+01	0.13040E-01	-	-	0.14051E+00	0.18393E-01
10	0.71811E-01	0.20010E+00	0.11923E+01	0.12735E-01	-	-	0.11959E+00	0.15308E-01
11	0.15733E+00	0.20010E+00	0.12344E+01	0.13092E-01	-	-	0.60025E-01	0.16115E-01
12	0.24309E+00	0.20010E+00	0.12368E+01	0.12927E-01	-	-	-0.31299E-03	0.15870E-01
13	0.32885E+00	0.20010E+00	0.12188E+01	0.10833E-01	-	-	-0.52114E-01	0.15794E-01
14	0.41437E+00	0.20010E+00	0.11931E+01	0.98757E-02	-	-	-0.84015E-01	0.16909E-01
15	0.50013E+00	0.20010E+00	0.11604E+01	0.82198E-02	-	-	-0.10502E+00	0.21047E-01
16	0.58613E+00	0.20010E+00	0.11368E+01	0.74600E-02	-	-	-0.11944E+00	0.14874E-01
17	0.67165E+00	0.20010E+00	0.11157E+01	0.10854E-01	-	-	-0.12363E+00	0.14242E-01
18	0.75728E+00	0.20010E+00	0.10908E+01	0.10237E-01	-	-	-0.12072E+00	0.18348E-01
19	0.84292E+00	0.20010E+00	0.10722E+01	0.98470E-02	-	-	-0.11320E+00	0.21696E-01
20	0.92880E+00	0.20010E+00	0.10566E+01	0.92272E-02	-	-	-0.10494E+00	0.15427E-01
21	0.10144E+01	0.20010E+00	0.10453E+01	0.10308E-01	-	-	-0.94048E-01	0.15308E-01
22	0.11001E+01	0.20010E+00	0.10393E+01	0.10454E-01	-	-	-0.90342E-01	0.20529E-01
23	0.11001E+01	0.19998E+00	0.10374E+01	0.13213E-01	-	-	-0.10774E-01	0.18774E-01
24	0.11001E+01	0.13317E+00	0.10277E+01	0.10663E-01	-	-	-0.97090E-01	0.13193E-01
25	0.11001E+01	0.66603E-01	0.10165E+01	0.10225E-01	-	-	-0.99789E-01	0.16711E-01
26	0.11001E+01	-0.85220E-04	0.10057E+01	0.10420E-01	-	-	-0.10185E+00	0.13447E-01
27	0.11001E+01	-0.66774E-01	0.99151E+00	0.11914E-01	-	-	-0.96247E-01	0.15364E-01
28	0.11001E+01	-0.13346E+00	0.98560E+00	0.14392E-01	-	-	-0.71113E-01	0.19048E-01
29	0.11001E+01	-0.20015E+00	0.99106E+00	0.10465E-01	-	-	-0.60369E-01	0.10977E-01
30	0.10996E+01	-0.20015E+00	0.99104E+00	0.10731E-01	-	-	-0.59771E-01	0.111194E-01
31	0.10141E+01	-0.20015E+00	0.98171E+00	0.11466E-01	-	-	-0.49393E-01	0.12270E-01
32	0.92844E+00	-0.20015E+00	0.98295E+00	0.11586E-01	-	-	-0.34799E-01	0.20954E-01
33	0.84268E+00	-0.20015E+00	0.99184E+00	0.96200E-02	-	-	-0.26125E-01	0.14659E-01
34	0.75704E+00	-0.20015E+00	0.10016E+01	0.10109E-01	-	-	-0.20333E-01	0.17090E-01
35	0.67128E+00	-0.20015E+00	0.10121E+01	0.10115E-01	-	-	-0.26577E-01	0.16267E-01
36	0.58552E+00	-0.20015E+00	0.10159E+01	0.11303E-01	-	-	-0.34469E-01	0.14163E-01
37	0.49976E+00	-0.20015E+00	0.10169E+01	0.97000E-02	-	-	-0.48868E-01	0.20515E-01

38	0.41400E+00	-0.20015E+00	0.10129E+01	0.12508E-01	-	-	-0.60712E-01	0.30039E-01
39	0.32848E+00	-0.20015E+00	0.99619E+00	0.14212E-01	-	-	-0.72796E-01	0.12218E-01
40	0.24272E+00	-0.20015E+00	0.97178E+00	0.14963E-01	-	-	-0.77249E-01	0.15482E-01
41	0.15696E+00	-0.20015E+00	0.94388E+00	0.15821E-01	-	-	-0.74146E-01	0.13332E-01
42	0.71326E-01	-0.20015E+00	0.92041E+00	0.13637E-01	-	-	-0.46555E-01	0.18502E-01
43	-0.14434E-01	-0.20015E+00	0.91022E+00	0.15736E-01	-	-	0.19904E-02	0.22213E-01
44	-0.10007E+00	-0.20015E+00	0.93049E+00	0.14700E-01	-	-	0.23270E-01	0.18357E-01

I1 - 0.0990 I2 - 2.7331 I3 - 0.0721 I4 - -2.3511

Lift - 0.5531

Swept Tapered Tip

Inboard angle = 6.6 Tip angle = 7.3 Delta theta = 0.7

Circulation box no. 4 at y/c = 0.104

NPT	x/c	z/c	u/U	$\sigma_u$	v/U	$\sigma_v$	w/U	$\sigma_w$
1	-0.10007E+00	-0.20003E+00	0.93522E+00	0.18093E-01	-	-	0.22762E-01	0.12387E-01
2	-0.10007E+00	-0.13322E+00	0.91418E+00	0.14564E-01	-	-	0.51892E-01	0.15315E-01
3	-0.10007E+00	-0.66531E-01	0.90958E+00	0.18807E-01	-	-	0.90520E-01	0.23650E-01
4	-0.10007E+00	0.15778E-03	0.93615E+00	0.15075E-01	-	-	0.15304E+00	0.25171E-01
5	-0.10007E+00	0.66846E-01	0.99478E+00	0.13203E-01	-	-	0.16281E+00	0.23396E-01
6	-0.10007E+00	0.13341E+00	0.10431E+01	0.12148E-01	-	-	0.14953E+00	0.21854E-01
7	-0.10007E+00	0.20010E+00	0.10679E+01	0.95977E-02	-	-	0.12361E+00	0.16614E-01
8	-0.99587E-01	0.20010E+00	0.10698E+01	0.12579E-01	-	-	0.12688E+00	0.19383E-01
9	-0.14191E-01	0.20010E+00	0.11108E+01	0.13571E-01	-	-	0.14436E+00	0.17821E-01
10	0.71569E-01	0.20010E+00	0.11678E+01	0.14240E-01	-	-	0.11365E+00	0.12767E-01
11	0.15733E+00	0.20010E+00	0.12141E+01	0.1186E-01	-	-	0.73488E-01	0.18574E-01
12	0.24309E+00	0.20010E+00	0.12297E+01	0.11721E-01	-	-	0.15277E-01	0.15765E-01
13	0.32885E+00	0.20010E+00	0.12059E+01	0.93663E-02	-	-	-0.39013E-01	0.15640E-01
14	0.41449E+00	0.20010E+00	0.11853E+01	0.12555E-01	-	-	-0.73024E-01	0.15378E-01
15	0.50025E+00	0.20010E+00	0.11551E+01	0.10548E-01	-	-	-0.95525E-01	0.16106E-01
16	0.58601E+00	0.20010E+00	0.11301E+01	0.10038E-01	-	-	-0.10761E+00	0.12617E-01
17	0.67165E+00	0.20010E+00	0.11102E+01	0.11204E-01	-	-	-0.11164E+00	0.17414E-01
18	0.75728E+00	0.20010E+00	0.10895E+01	0.10967E-01	-	-	-0.11356E+00	0.11512E-01
19	0.84292E+00	0.20010E+00	0.10689E+01	0.11677E-01	-	-	-0.10952E+00	0.14979E-01
20	0.92880E+00	0.20010E+00	0.10555E+01	0.10777E-01	-	-	-0.10215E+00	0.19365E-01
21	0.10146E+01	0.20010E+00	0.10439E+01	0.14305E-01	-	-	-0.97668E-01	0.24981E-01
22	0.11001E+01	0.20010E+00	0.10327E+01	0.11598E-01	-	-	-0.80932E-01	0.17731E-01
23	0.11001E+01	0.19998E+00	0.10328E+01	0.13623E-01	-	-	-0.85708E-01	0.16875E-01
24	0.11001E+01	0.13317E+00	0.10259E+01	0.13773E-01	-	-	-0.85361E-01	0.14221E-01
25	0.11001E+01	0.66603E-01	0.10095E+01	0.33153E-01	-	-	-0.99743E-01	0.29892E-01
26	0.11001E+01	-0.85220E-04	0.94835E+00	0.60518E-01	-	-	-0.14257E+00	0.47551E-01
27	0.11001E+01	-0.66774E-01	0.98214E+00	0.30120E-01	-	-	-0.11835E+00	0.25972E-01
28	0.11001E+01	-0.13346E+00	0.98575E+00	0.14126E-01	-	-	-0.69853E-01	0.15835E-01
29	0.11001E+01	-0.20015E+00	0.98924E+00	0.12732E-01	-	-	-0.58737E-01	0.10008E-01
30	0.10996E+01	-0.20015E+00	0.98876E+00	0.14501E-01	-	-	-0.54186E-01	0.88595E-02
31	0.10141E+01	-0.20015E+00	0.98159E+00	0.13274E-01	-	-	-0.48463E-01	0.12936E-01
32	0.92832E+00	-0.20015E+00	0.98785E+00	0.12877E-01	-	-	-0.48463E-01	0.42053E-01
33	0.84256E+00	-0.20015E+00	0.98792E+00	0.10482E-01	-	-	-0.30401E-01	0.27467E-01
34	0.75704E+00	-0.20015E+00	0.10004E+01	0.12519E-01	-	-	-0.21417E-01	0.30197E-01
35	0.67128E+00	-0.20015E+00	0.10095E+01	0.10899E-01	-	-	-0.18509E-01	0.20413E-01
36	0.58564E+00	-0.20015E+00	0.10133E+01	0.12163E-01	-	-	-0.29347E-01	0.40539E-01
37	0.49988E+00	-0.20015E+00	0.10185E+01	0.14086E-01	-	-	-0.42804E-01	0.46255E-01

38	0.41412E+00	-0.20015E+00	0.10090E+01	0.14447E-01	-	-0.74468E-01	0.47288E-01
39	0.32848E+00	-0.20015E+00	0.10016E+01	0.15623E-01	-	-0.80091E-01	0.35566E-01
40	0.24272E+00	-0.20015E+00	0.98115E+00	0.16449E-01	-	-0.74091E-01	0.11839E-01
41	0.15696E+00	-0.20015E+00	0.95424E+00	0.16900E-01	-	-0.68620E-01	0.12706E-01
42	0.71326E-01	-0.20015E+00	0.92701E+00	0.17496E-01	-	-0.43663E-01	0.15450E-01
43	-0.14434E-01	-0.20015E+00	0.91894E+00	0.16266E-01	-	-0.10236E-01	0.20340E-01
44	-0.10007E+00	-0.20015E+00	0.93328E+00	0.16250E-01	-	0.21838E-01	0.17080E-01

I1 - 0.0920 I2 - 2.7117 I3 - 0.0787 I4 - -2.3560

Lift - 0.5265



Swept Tapered Tip

Inboard angle = 6.6 Tip angle = 7.3 Delta theta = 0.7

Circulation box no. 5 at y/c = 0.054

NPT	x/c	z/c	u/U	$\sigma_u$	v/U	$\sigma_v$	w/U	$\sigma_w$
1	-0.99587E-01	-0.20003E+00	0.93156E+00	0.13908E-01	-	-	0.29233E-01	0.21811E-01
2	-0.99587E-01	-0.13322E+00	0.91389E+00	0.15759E-01	-	-	0.52214E-01	0.21782E-01
3	-0.99587E-01	-0.66531E-01	0.90440E+00	0.13866E-01	-	-	0.95548E-01	0.24272E-01
4	-0.99587E-01	0.15778E-03	0.93088E+00	0.13904E-01	-	-	0.14926E+00	0.25904E-01
5	-0.99587E-01	0.66846E-01	0.99428E+00	0.11548E-01	-	-	0.17183E+00	0.25733E-01
6	-0.99587E-01	0.13341E+00	0.10443E+01	0.11543E-01	-	-	0.15300E+00	0.23934E-01
7	-0.99587E-01	0.20010E+00	0.10676E+01	0.10711E-01	-	-	0.12338E+00	0.19297E-01
8	-0.10019E+00	0.20010E+00	0.10691E+01	0.12284E-01	-	-	0.13287E+00	0.20907E-01
9	-0.14191E-01	0.20010E+00	0.11142E+01	0.12955E-01	-	-	0.14893E+00	0.20075E-01
10	0.71690E-01	0.20010E+00	0.11741E+01	0.13806E-01	-	-	0.12665E+00	0.20161E-01
11	0.15733E+00	0.20010E+00	0.12176E+01	0.10391E-01	-	-	0.76974E-01	0.21215E-01
12	0.24309E+00	0.20010E+00	0.12240E+01	0.79688E-02	-	-	0.21187E-01	0.17157E-01
13	0.32885E+00	0.20010E+00	0.12060E+01	0.86408E-02	-	-	0.34093E-01	0.20586E-01
14	0.41437E+00	0.20010E+00	0.11834E+01	0.80481E-02	-	-	-0.56474E-01	0.19420E-01
15	0.50013E+00	0.20010E+00	0.11553E+01	0.10588E-01	-	-	-0.84720E-01	0.17343E-01
16	0.58613E+00	0.20010E+00	0.11283E+01	0.78174E-02	-	-	-0.95892E-01	0.19054E-01
17	0.67165E+00	0.20010E+00	0.11055E+01	0.95914E-02	-	-	-0.11232E+00	0.15004E-01
18	0.75728E+00	0.20010E+00	0.10832E+01	0.75005E-02	-	-	-0.10547E+00	0.17912E-01
19	0.84292E+00	0.20010E+00	0.10679E+01	0.10157E-01	-	-	-0.10028E+00	0.17607E-01
20	0.92880E+00	0.20010E+00	0.10531E+01	0.79361E-02	-	-	-0.10093E+00	0.17344E-01
21	0.10146E+01	0.20010E+00	0.10402E+01	0.11191E-01	-	-	-0.87308E-01	0.18402E-01
22	0.11001E+01	0.20010E+00	0.10306E+01	0.69878E-02	-	-	-0.77554E-01	0.18220E-01
23	0.11001E+01	0.19998E+00	0.10318E+01	0.89069E-02	-	-	-0.76904E-01	0.17598E-01
24	0.11001E+01	0.13317E+00	0.10240E+01	0.11927E-01	-	-	-0.72016E-01	0.19606E-01
25	0.11001E+01	0.66603E-01	0.97125E+00	0.52229E-01	-	-	-0.68555E-01	0.56971E-01
26	0.11001E+01	-0.85220E-04	0.84523E+00	0.65909E-01	-	-	-0.63807E-01	0.80470E-01
27	0.11001E+01	-0.66774E-01	0.93755E+00	0.42164E-01	-	-	-0.83845E-01	0.41815E-01
28	0.11001E+01	-0.13346E+00	0.98458E+00	0.12148E-01	-	-	-0.59285E-01	0.14588E-01
29	0.11001E+01	-0.20015E+00	0.98961E+00	0.10063E-01	-	-	-0.50171E-01	0.11262E-01
30	0.10996E+01	-0.20015E+00	0.98654E+00	0.10866E-01	-	-	-0.49117E-01	0.13255E-01
31	0.10141E+01	-0.20015E+00	0.97867E+00	0.10506E-01	-	-	-0.40508E-01	0.11941E-01
32	0.92844E+00	-0.20015E+00	0.97845E+00	0.12781E-01	-	-	-0.24769E-01	0.16148E-01
33	0.84244E+00	-0.20015E+00	0.98824E+00	0.11867E-01	-	-	-0.13378E-01	0.13729E-01
34	0.75692E+00	-0.20015E+00	0.99941E+00	0.10531E-01	-	-	-0.97273E-02	0.19293E-01
35	0.67128E+00	-0.20015E+00	0.10096E+01	0.95730E-02	-	-	-0.12423E-01	0.16798E-01
36	0.58564E+00	-0.20015E+00	0.10137E+01	0.12274E-01	-	-	-0.12301E-01	0.29900E-01
37	0.49988E+00	-0.20015E+00	0.10136E+01	0.93332E-02	-	-	-0.16662E-01	0.35478E-01

38	0.41388E+00	-0.20015E+00	0.10061E+01	0.12470E-01	-	-0.17380E-01	0.50024E-01
39	0.32824E+00	-0.20015E+00	0.99612E+00	0.10704E-01	-	-0.31269E-01	0.48834E-01
40	0.24260E+00	-0.20015E+00	0.97449E+00	0.12718E-01	-	-0.63481E-01	0.17206E-01
41	0.15684E+00	-0.20015E+00	0.94930E+00	0.15831E-01	-	-0.61679E-01	0.14343E-01
42	0.71204E-01	-0.20015E+00	0.92537E+00	0.16096E-01	-	-0.37324E-01	0.17347E-01
43	-0.14556E-01	-0.20015E+00	0.91800E+00	0.16022E-01	-	-0.54651E-02	0.19248E-01
44	-0.10019E+00	-0.20015E+00	0.93175E+00	0.12752E-01	-	0.22243E-01	0.15174E-01

I1 = 0.0936 I2 = 2.7096 I3 = 0.0539 I4 = -2.3501

Lift = 0.5069

Swept Tapered Tip

Inboard angle = 6.6 Tip angle = 7.3 Delta theta = 0.7

Circulation box no. 6 at y/c = 0.003

NPT	x/c	z/c	v/U	$\sigma_u$	v/U	$\sigma_v$	w/U	$\sigma_w$
1	-0.10044E+00	-0.20003E+00	0.93085E+00	0.15504E-01	-	-	0.23295E-01	0.18325E-01
2	-0.10044E+00	-0.13322E+00	0.91630E+00	0.13437E-01	-	-	0.43581E-01	0.18624E-01
3	-0.10044E+00	-0.66531E-01	0.90743E+00	0.13767E-01	-	-	0.76326E-01	0.15481E-01
4	-0.10044E+00	0.15778E-03	0.93494E+00	0.14269E-01	-	-	0.13811E+00	0.21886E-01
5	-0.10044E+00	0.66846E-01	0.99193E+00	0.11440E-01	-	-	0.16372E+00	0.19941E-01
6	-0.10044E+00	0.13341E+00	0.10407E+01	0.10228E-01	-	-	0.15268E+00	0.17832E-01
7	-0.10044E+00	0.20010E+00	0.10628E+01	0.10201E-01	-	-	0.11601E+00	0.15741E-01
8	-0.99830E-01	0.20010E+00	0.10654E+01	0.11339E-01	-	-	0.11135E+00	0.18438E-01
9	-0.14070E-01	0.20010E+00	0.11065E+01	0.11226E-01	-	-	0.13001E+00	0.14983E-01
10	0.71690E-01	0.20010E+00	0.11679E+01	0.10900E-01	-	-	0.12323E+00	0.13109E-01
11	0.15745E+00	0.20010E+00	0.12154E+01	0.10514E-01	-	-	0.79510E-01	0.15715E-01
12	0.24297E+00	0.20010E+00	0.12192E+01	0.90942E-02	-	-	0.14471E-01	0.14883E-01
13	0.32873E+00	0.20010E+00	0.12048E+01	0.93578E-02	-	-	-0.32598E-01	0.17916E-01
14	0.41437E+00	0.20010E+00	0.11832E+01	0.11316E-01	-	-	-0.68389E-01	0.15491E-01
15	0.50013E+00	0.20010E+00	0.11553E+01	0.85209E-02	-	-	-0.87801E-01	0.14216E-01
16	0.58601E+00	0.20010E+00	0.11301E+01	0.82864E-02	-	-	-0.10184E+00	0.14037E-01
17	0.67165E+00	0.20010E+00	0.11046E+01	0.92407E-02	-	-	-0.11114E+00	0.14145E-01
18	0.75728E+00	0.20010E+00	0.10855E+01	0.10921E-01	-	-	-0.11300E+00	0.11715E-01
19	0.84292E+00	0.20010E+00	0.10679E+01	0.90570E-02	-	-	-0.10709E+00	0.14887E-01
20	0.92868E+00	0.20010E+00	0.10521E+01	0.10651E-01	-	-	-0.97564E-01	0.14241E-01
21	0.10146E+01	0.20010E+00	0.10400E+01	0.10159E-01	-	-	-0.94285E-01	0.22388E-01
22	0.11001E+01	0.20010E+00	0.10327E+01	0.11481E-01	-	-	-0.81799E-01	0.13398E-01
23	0.11001E+01	0.19998E+00	0.10317E+01	0.99565E-02	-	-	-0.79697E-01	0.14964E-01
24	0.11001E+01	0.13317E+00	0.10263E+01	0.12139E-01	-	-	-0.74727E-01	0.14957E-01
25	0.11001E+01	0.66603E-01	0.99011E+00	0.47406E-01	-	-	0.37989E-02	0.87369E-01
26	0.11001E+01	-0.85220E-04	0.88725E+00	0.65561E-01	-	-	0.16775E+00	0.98699E-01
27	0.11001E+01	-0.66774E-01	0.97073E+00	0.32685E-01	-	-	0.69320E-01	0.89579E-01
28	0.11001E+01	-0.13346E+00	0.97901E+00	0.99770E-02	-	-	-0.44609E-01	0.11671E-01
29	0.11001E+01	-0.20015E+00	0.98791E+00	0.10418E-01	-	-	-0.49597E-01	0.10075E-01
30	0.10996E+01	-0.20015E+00	0.98814E+00	0.10802E-01	-	-	-0.45734E-01	0.84405E-02
31	0.10141E+01	-0.20015E+00	0.98287E+00	0.12544E-01	-	-	-0.39496E-01	0.14487E-01
32	0.92844E+00	-0.20015E+00	0.98207E+00	0.11959E-01	-	-	-0.58359E-01	0.44030E-01
33	0.84268E+00	-0.20015E+00	0.98850E+00	0.11608E-01	-	-	-0.21840E-01	0.20753E-01
34	0.75704E+00	-0.20015E+00	0.99825E+00	0.99367E-02	-	-	-0.13863E-01	0.17542E-01
35	0.67128E+00	-0.20015E+00	0.10063E+01	0.10878E-01	-	-	-0.14976E-01	0.21160E-01
36	0.58552E+00	-0.20015E+00	0.10178E+01	0.10995E-01	-	-	-0.28721E-01	0.45998E-01
37	0.49988E+00	-0.20015E+00	0.10123E+01	0.91500E-02	-	-	-0.46765E-01	0.48754E-01

38	0.41400E+00	-0.20015E+00	0.10158E+01	0.12946E-01	-	-	-0.70517E-01	0.50386E-01
39	0.32824E+00	-0.20015E+00	0.99556E+00	0.13626E-01	-	-	-0.72108E-01	0.38347E-01
40	0.24272E+00	-0.20015E+00	0.97318E+00	0.13042E-01	-	-	-0.65623E-01	0.15111E-01
41	0.15696E+00	-0.20015E+00	0.95315E+00	0.15408E-01	-	-	-0.63203E-01	0.12257E-01
42	0.71326E-01	-0.20015E+00	0.93089E+00	0.17350E-01	-	-	-0.44922E-01	0.15982E-01
43	-0.14434E-01	-0.20015E+00	0.92024E+00	0.15602E-01	-	-	-0.97446E-02	0.16024E-01
44	-0.10007E+00	-0.20015E+00	0.93554E+00	0.14207E-01	-	-	0.86426E-02	0.15115E-01

I1 = 0.0870    I2 = 2.7058    I3 = -0.0094    I4 = -2.3540

Lift = 0.4294

Swept Tapered Tip

Inboard angle = 6.6 Tip angle = 7.3 Delta theta = 0.7

Circulation box no. 7 at  $y/c = -0.047$

NPT	x/c	z/c	u/U	$\sigma_u$	v/U	$\sigma_v$	w/U	$\sigma_w$
1	-0.10007E+00	-0.20003E+00	0.93171E+00	0.11538E-01	-	-	0.25353E-01	0.18232E-01
2	-0.10007E+00	-0.13322E+00	0.91579E+00	0.12607E-01	-	-	0.46310E-01	0.20433E-01
3	-0.10007E+00	-0.56531E-01	0.90340E+00	0.10857E-01	-	-	0.81150E-01	0.17378E-01
4	-0.10007E+00	0.15778E-03	0.93022E+00	0.10968E-01	-	-	0.14284E+00	0.20814E-01
5	-0.10007E+00	0.66846E-01	0.99179E+00	0.10657E-01	-	-	0.16448E+00	0.22344E-01
6	-0.10007E+00	0.13341E+00	0.10397E+01	0.86223E-02	-	-	0.14625E+00	0.15486E-01
7	-0.10007E+00	0.20010E+00	0.10669E+01	0.11499E-01	-	-	0.12581E+00	0.19555E-01
8	-0.99587E-01	0.20010E+00	0.10693E+01	0.73523E-02	-	-	0.16472E-01	0.16472E-01
9	-0.14191E-01	0.20010E+00	0.11120E+01	0.77588E-02	-	-	0.13944E+00	0.14697E-01
10	0.71569E-01	0.20010E+00	0.11714E+01	0.84122E-02	-	-	0.14295E+00	0.16890E-01
11	0.15733E+00	0.20010E+00	0.12118E+01	0.13251E-01	-	-	0.12489E+00	0.16287E-01
12	0.24309E+00	0.20010E+00	0.12201E+01	0.82261E-02	-	-	0.70195E-01	0.20876E-01
13	0.32885E+00	0.20010E+00	0.12065E+01	0.87537E-02	-	-	0.15759E-01	0.15759E-01
14	0.41449E+00	0.20010E+00	0.11827E+01	0.11608E-01	-	-	-0.34102E-01	0.15763E-01
15	0.50013E+00	0.20010E+00	0.11522E+01	0.74070E-02	-	-	-0.67490E-01	0.17507E-01
16	0.58588E+00	0.20010E+00	0.11318E+01	0.86318E-02	-	-	-0.86568E-01	0.14100E-01
17	0.67152E+00	0.20010E+00	0.11052E+01	0.83203E-02	-	-	-0.10188E+00	0.13960E-01
18	0.75740E+00	0.20010E+00	0.10834E+01	0.95068E-02	-	-	0.12769E-01	0.12769E-01
19	0.84304E+00	0.20010E+00	0.10696E+01	0.83409E-02	-	-	-0.11107E+00	0.12968E-01
20	0.92868E+00	0.20010E+00	0.10512E+01	0.99357E-02	-	-	-0.10514E+00	0.11604E-01
21	0.10144E+01	0.20010E+00	0.10407E+01	0.83134E-02	-	-	-0.10172E+00	0.16016E-01
22	0.11002E+01	0.20010E+00	0.10340E+01	0.10835E-01	-	-	-0.92762E-01	0.13866E-01
23	0.11002E+01	0.19998E+00	0.10334E+01	0.99380E-02	-	-	-0.77945E-01	0.16523E-01
24	0.11002E+01	0.13317E+00	0.10246E+01	0.95479E-02	-	-	-0.14049E-01	0.14049E-01
25	0.11002E+01	0.66603E-01	0.10166E+01	0.20166E-01	-	-	-0.85297E-01	0.26854E-01
26	0.11002E+01	-0.85220E-04	0.99230E+00	0.30666E-01	-	-	-0.96672E-01	0.26854E-01
27	0.11002E+01	-0.66774E-01	0.98498E+00	0.16765E-01	-	-	-0.13660E+00	0.39147E-01
28	0.11002E+01	-0.13346E+00	0.97937E+00	0.11089E-01	-	-	-0.89288E-01	0.18114E-01
29	0.11002E+01	-0.20015E+00	0.98699E+00	0.92460E-02	-	-	-0.53993E-01	0.11754E-01
30	0.10995E+01	-0.20015E+00	0.98597E+00	0.71096E-02	-	-	-0.45860E-01	0.12218E-01
31	0.10142E+01	-0.20015E+00	0.98066E+00	0.81031E-02	-	-	-0.47477E-01	0.83889E-02
32	0.92832E+00	-0.20015E+00	0.98427E+00	0.67898E-02	-	-	-0.34131E-01	0.16884E-01
33	0.84268E+00	-0.20015E+00	0.99066E+00	0.87529E-02	-	-	-0.24045E-01	0.38332E-01
34	0.75680E+00	-0.20015E+00	0.99984E+00	0.84155E-02	-	-	-0.19401E-01	0.17413E-01
35	0.67116E+00	-0.20015E+00	0.10097E+01	0.10361E-01	-	-	-0.10293E-01	0.17790E-01
36	0.58552E+00	-0.20015E+00	0.10147E+01	0.76861E-02	-	-	-0.13296E-01	0.21631E-01
37	0.49976E+00	-0.20015E+00	0.10161E+01	0.91003E-02	-	-	-0.15060E-01	0.30481E-01
					-	-	-0.16396E-01	0.43799E-01

38	0.41400E+00	-0.20015E+00	0.10148E+01	0.11162E-01	-	-	-0.10753E-01	0.44015E-01
39	0.32836E+00	-0.20015E+00	0.10025E+01	0.11970E-01	-	-	-0.12016E-01	0.43725E-01
40	0.24272E+00	-0.20015E+00	0.97906E+00	0.13604E-01	-	-	-0.64967E-01	0.16984E-01
41	0.15696E+00	-0.20015E+00	0.95229E+00	0.14761E-01	-	-	-0.60527E-01	0.14366E-01
42	0.71204E-01	-0.20015E+00	0.92840E+00	0.12706E-01	-	-	-0.44069E-01	0.15139E-01
43	-0.14434E-01	-0.20015E+00	0.91770E+00	0.15376E-01	-	-	-0.64500E-02	0.17641E-01
44	-0.10007E+00	-0.20015E+00	0.93244E+00	0.13596E-01	-	-	0.19295E-01	0.19117E-01

I1 - 0.0882    I2 - 2.7073    I3 - 0.0712    I4 - -2.3565

Lift - 0.5101

Swept Tapered Tip

Inboard angle = 6.6 Tip angle = 7.3 Delta theta = 0.7

Circulation box no. 8 at y/c = -0.097

NPT	x/c	z/c	u/U	$\sigma_u$	v/U	$\sigma_v$	w/U	$\sigma_w$
1	-0.10019E+00	-0.20003E+00	0.93248E+00	0.15534E-01	-	-	0.20912E-01	0.15215E-01
2	-0.10019E+00	-0.13322E+00	0.91632E+00	0.15416E-01	-	-	0.37080E-01	0.19078E-01
3	-0.10019E+00	-0.66531E-01	0.90281E+00	0.16759E-01	-	-	0.85549E-01	0.19120E-01
4	-0.10019E+00	0.15778E-03	0.92665E+00	0.16842E-01	-	-	0.14178E+00	0.23275E-01
5	-0.10019E+00	0.66846E-01	0.98727E+00	0.13494E-01	-	-	0.15838E+00	0.19745E-01
6	-0.10019E+00	0.13341E+00	0.10353E+01	0.11029E-01	-	-	0.13435E+00	0.15576E-01
7	-0.10019E+00	0.20010E+00	0.10614E+01	0.12008E-01	-	-	0.11402E+00	0.17467E-01
8	-0.99708E-01	0.20010E+00	0.10642E+01	0.11593E-01	-	-	0.12097E+00	0.15890E-01
9	-0.14070E-01	0.20010E+00	0.11097E+01	0.11289E-01	-	-	0.14473E+00	0.11513E-01
10	0.71690E-01	0.20010E+00	0.11651E+01	0.10961E-01	-	-	0.12048E+00	0.14351E-01
11	0.15745E+00	0.20010E+00	0.12143E+01	0.12086E-01	-	-	0.69738E-01	0.15075E-01
12	0.24297E+00	0.20010E+00	0.12148E+01	0.88993E-02	-	-	0.45341E-02	0.14773E-01
13	0.32873E+00	0.20010E+00	0.12051E+01	0.83876E-02	-	-	-0.40914E-01	0.13846E-01
14	0.41437E+00	0.20010E+00	0.11814E+01	0.13076E-01	-	-	-0.73698E-01	0.13890E-01
15	0.50013E+00	0.20010E+00	0.11541E+01	0.11791E-01	-	-	-0.96811E-01	0.95669E-02
16	0.58588E+00	0.20010E+00	0.11269E+01	0.83065E-02	-	-	-0.11095E+00	0.12577E-01
17	0.67152E+00	0.20010E+00	0.11030E+01	0.11551E-01	-	-	-0.11512E+00	0.12917E-01
18	0.75740E+00	0.20010E+00	0.10852E+01	0.11191E-01	-	-	-0.11345E+00	0.11864E-01
19	0.84304E+00	0.20010E+00	0.10647E+01	0.95210E-02	-	-	-0.11276E+00	0.15691E-01
20	0.92868E+00	0.20010E+00	0.10504E+01	0.13755E-01	-	-	-0.10547E+00	0.15231E-01
21	0.10144E+01	0.20010E+00	0.10367E+01	0.11952E-01	-	-	-0.10064E+00	0.11688E-01
22	0.11001E+01	0.20010E+00	0.10312E+01	0.11530E-01	-	-	-0.86176E-01	0.13516E-01
23	0.11001E+01	0.19998E+00	0.10325E+01	0.13039E-01	-	-	-0.82374E-01	0.13879E-01
24	0.11001E+01	0.13317E+00	0.10233E+01	0.12114E-01	-	-	-0.94245E-01	0.11997E-01
25	0.11001E+01	0.66603E-01	0.10133E+01	0.13474E-01	-	-	-0.10692E+00	0.10140E-01
26	0.11001E+01	-0.85220E-04	0.10017E+01	0.15313E-01	-	-	-0.12560E+00	0.16541E-01
27	0.11001E+01	-0.66774E-01	0.98411E+00	0.15382E-01	-	-	-0.10009E+00	0.96534E-02
28	0.11001E+01	-0.13346E+00	0.98156E+00	0.14410E-01	-	-	-0.59954E-01	0.12310E-01
29	0.11001E+01	-0.20015E+00	0.98747E+00	0.14140E-01	-	-	-0.48892E-01	0.76411E-02
30	0.10996E+01	-0.20015E+00	0.98852E+00	0.12021E-01	-	-	-0.49621E-01	0.96977E-02
31	0.10142E+01	-0.20015E+00	0.98266E+00	0.94554E-02	-	-	-0.39832E-01	0.92899E-02
32	0.92844E+00	-0.20015E+00	0.98470E+00	0.13222E-01	-	-	-0.45991E-01	0.40831E-01
33	0.84268E+00	-0.20015E+00	0.98957E+00	0.11842E-01	-	-	-0.26026E-01	0.30743E-01
34	0.75692E+00	-0.20015E+00	0.10013E+01	0.13414E-01	-	-	-0.20050E-01	0.19194E-01
35	0.67116E+00	-0.20015E+00	0.10086E+01	0.11791E-01	-	-	-0.22995E-01	0.23166E-01
36	0.58552E+00	-0.20015E+00	0.10153E+01	0.73473E-02	-	-	-0.27032E-01	0.33046E-01
37	0.49976E+00	-0.20015E+00	0.10174E+01	0.11078E-01	-	-	-0.51651E-01	0.47879E-01

38	0.41400E+00	-0.20015E+00	0.10112E+01	0.13076E-01	-	-0.72726E-01	0.47533E-01
39	0.32836E+00	-0.20015E+00	0.99962E+00	0.12390E-01	-	-0.90124E-01	0.47829E-01
40	0.24260E+00	-0.20015E+00	0.97975E+00	0.15734E-01	-	-0.68892E-01	0.13532E-01
41	0.15684E+00	-0.20015E+00	0.95819E+00	0.15983E-01	-	-0.70115E-01	0.10736E-01
42	0.71083E-01	-0.20015E+00	0.92827E+00	0.18072E-01	-	-0.45077E-01	0.16979E-01
43	-0.14677E-01	-0.20015E+00	0.92258E+00	0.16130E-01	-	-0.18240E-01	0.18256E-01
44	-0.10007E+00	-0.20015E+00	0.93159E+00	0.14783E-01	-	0.19846E-01	0.19216E-01

I1 - 0.0834 I2 - 2.7025 I3 - 0.0740 I4 - -2.3586

Lift - 0.5012



Swept Tapered Tip

Inboard angle = 6.6 Tip angle = 7.3 Delta theta = 0.7

Circulation box no. 9 at y/c = -0.097

NPT	x/c	z/c	u/U	$\sigma_u$	v/U	$\sigma_v$	w/U	$\sigma_w$
1	-0.99708E-01	-0.20003E+00	0.93389E+00	0.16821E-01	-	-	0.17324E-01	0.22402E-01
2	-0.99708E-01	-0.13322E+00	0.91909E+00	0.18032E-01	-	-	0.37408E-01	0.24687E-01
3	-0.99708E-01	-0.66531E-01	0.90776E+00	0.18108E-01	-	-	0.78189E-01	0.20644E-01
4	-0.99708E-01	0.15778E-03	0.93158E+00	0.16900E-01	-	-	0.12694E+00	0.22668E-01
5	-0.99708E-01	0.66846E-01	0.98714E+00	0.13281E-01	-	-	0.14623E+00	0.22837E-01
6	-0.99708E-01	0.13341E+00	0.10335E+01	0.13638E-01	-	-	0.13321E+00	0.21317E-01
7	-0.99708E-01	0.20010E+00	0.10591E+01	0.13296E-01	-	-	0.11124E+00	0.18729E-01
8	-0.10019E+00	0.20010E+00	0.10602E+01	0.12916E-01	-	-	0.11386E+00	0.16447E-01
9	-0.14070E-01	0.20010E+00	0.10979E+01	0.17761E-01	-	-	0.11367E+00	0.17244E-01
10	0.71690E-01	0.20010E+00	0.11592E+01	0.19886E-01	-	-	0.11971E+00	0.17926E-01
11	0.15721E+00	0.20010E+00	0.12053E+01	0.17165E-01	-	-	0.11367E+00	0.17244E-01
12	0.24297E+00	0.20010E+00	0.12199E+01	0.14659E-01	-	-	0.78621E-01	0.19085E-01
13	0.32873E+00	0.20010E+00	0.12061E+01	0.11859E-01	-	-	0.19736E-01	0.21902E-01
14	0.41461E+00	0.20010E+00	0.11801E+01	0.11463E-01	-	-	-0.35803E-01	0.17457E-01
15	0.50025E+00	0.20010E+00	0.11551E+01	0.13329E-01	-	-	-0.69793E-01	0.15386E-01
16	0.58588E+00	0.20010E+00	0.11282E+01	0.10068E-01	-	-	-0.94150E-01	0.12913E-01
17	0.67152E+00	0.20010E+00	0.11050E+01	0.11649E-01	-	-	-0.11017E+00	0.11097E-01
18	0.75753E+00	0.20010E+00	0.10843E+01	0.12886E-01	-	-	-0.11603E+00	0.10414E-01
19	0.84304E+00	0.20010E+00	0.10650E+01	0.11841E-01	-	-	-0.11532E+00	0.96729E-02
20	0.92868E+00	0.20010E+00	0.10509E+01	0.10487E-01	-	-	-0.11442E+00	0.96996E-02
21	0.10144E+01	0.20010E+00	0.10379E+01	0.10772E-01	-	-	-0.10646E+00	0.10394E-01
22	0.11002E+01	0.20010E+00	0.10325E+01	0.10984E-01	-	-	-0.10106E+00	0.11687E-01
23	0.11002E+01	0.19998E+00	0.10324E+01	0.11689E-01	-	-	-0.88100E-01	0.14807E-01
24	0.11002E+01	0.13317E+00	0.10258E+01	0.12503E-01	-	-	-0.89160E-01	0.12834E-01
25	0.11002E+01	0.66603E-01	0.10137E+01	0.11949E-01	-	-	-0.95065E-01	0.11924E-01
26	0.11002E+01	-0.85220E-04	0.10011E+01	0.13811E-01	-	-	-0.10989E+00	0.10409E-01
27	0.11002E+01	-0.66774E-01	0.98495E+00	0.17882E-01	-	-	-0.12615E+00	0.11873E-01
28	0.11002E+01	-0.13346E+00	0.97822E+00	0.14255E-01	-	-	-0.10789E+00	0.11299E-01
29	0.11002E+01	-0.20015E+00	0.98608E+00	0.12738E-01	-	-	-0.56749E-01	0.12360E-01
30	0.10995E+01	-0.20015E+00	0.98541E+00	0.13676E-01	-	-	-0.48441E-01	0.94315E-02
31	0.10140E+01	-0.20015E+00	0.98183E+00	0.13607E-01	-	-	-0.48415E-01	0.82136E-02
32	0.92844E+00	-0.20015E+00	0.98466E+00	0.15475E-01	-	-	-0.38014E-01	0.87551E-02
33	0.84268E+00	-0.20015E+00	0.99182E+00	0.13897E-01	-	-	-0.28717E-01	0.13427E-01
34	0.75692E+00	-0.20015E+00	0.99930E+00	0.11542E-01	-	-	-0.29770E-01	0.37324E-01
35	0.67116E+00	-0.20015E+00	0.10095E+01	0.11095E-01	-	-	-0.20678E-01	0.10185E-01
36	0.58564E+00	-0.20015E+00	0.10150E+01	0.14179E-01	-	-	-0.26604E-01	0.11160E-01
37	0.49988E+00	-0.20015E+00	0.10150E+01	0.13961E-01	-	-	-0.32683E-01	0.13995E-01
					-	-	-0.52044E-01	0.38323E-01

38	0.41400E+00	-0.20015E+00	0.10104E+01	0.15867E-01	-	-	-0.60215E-01	0.25881E-01
39	0.32836E+00	-0.20015E+00	0.99573E+00	0.13777E-01	-	-	-0.68769E-01	0.27631E-01
40	0.24260E+00	-0.20015E+00	0.97882E+00	0.16136E-01	-	-	-0.73705E-01	0.11831E-01
41	0.15684E+00	-0.20015E+00	0.95222E+00	0.16160E-01	-	-	-0.66646E-01	0.12433E-01
42	0.71204E-01	-0.20015E+00	0.92671E+00	0.16563E-01	-	-	-0.41075E-01	0.18251E-01
43	-0.14556E-01	-0.20015E+00	0.91964E+00	0.16392E-01	-	-	-0.14872E-01	0.31316E-01
44	-0.10019E+00	-0.20015E+00	0.93471E+00	0.14432E-01	-	-	0.18781E-01	0.21302E-01

I1 = 0.0786    I2 = 2.6987    I3 = 0.0749    I4 = -2.3550

Lift = 0.4972

Swept Tapered Tip

Inboard angle = 6.6 Tip angle = 7.3 Delta theta = 0.7

Circulation box no. 10 at y/c = -0.498

NPT	x/c	z/c	u/U	$\sigma_u$	v/U	$\sigma_v$	w/U	$\sigma_w$
1	-0.10019E+00	-0.20003E+00	0.93494E+00	0.13085E-01	-	-	0.123791E-01	0.23748E-01
2	-0.10019E+00	-0.13322E+00	0.91583E+00	0.14049E-01	-	-	0.21937E-01	0.24705E-01
3	-0.10019E+00	-0.66531E-01	0.89763E+00	0.12728E-01	-	-	0.65764E-01	0.23518E-01
4	-0.10019E+00	0.15778E-03	0.91641E+00	0.12013E-01	-	-	0.11635E+00	0.24897E-01
5	-0.10019E+00	0.66846E-01	0.97660E+00	0.99747E-02	-	-	0.15748E+00	0.27777E-01
6	-0.10019E+00	0.13341E+00	0.10266E+01	0.93431E-02	-	-	0.14118E+00	0.20329E-01
7	-0.10019E+00	0.20010E+00	0.10513E+01	0.88371E-02	-	-	0.11431E+00	0.20479E-01
8	-0.99587E-01	0.20010E+00	0.10500E+01	0.10004E-01	-	-	0.10799E+00	0.19984E-01
9	-0.14191E-01	0.20010E+00	0.10950E+01	0.11722E-01	-	-	0.13087E+00	0.18691E-01
10	0.71569E-01	0.20010E+00	0.11483E+01	0.10513E-01	-	-	0.11083E+00	0.16114E-01
11	0.15733E+00	0.20010E+00	0.11958E+01	0.13778E-01	-	-	0.55771E-01	0.23564E-01
12	0.24309E+00	0.20010E+00	0.12116E+01	0.83689E-02	-	-	0.10911E-01	0.32760E-01
13	0.32897E+00	0.20010E+00	0.11867E+01	0.78532E-02	-	-	-0.35545E-01	0.37199E-01
14	0.41437E+00	0.20010E+00	0.11669E+01	0.95276E-02	-	-	-0.77249E-01	0.19657E-01
15	0.50013E+00	0.20010E+00	0.11396E+01	0.88514E-02	-	-	-0.10004E+00	0.23656E-01
16	0.58601E+00	0.20010E+00	0.11181E+01	0.81245E-02	-	-	-0.10880E+00	0.19362E-01
17	0.67177E+00	0.20010E+00	0.10960E+01	0.87162E-02	-	-	-0.11822E+00	0.18483E-01
18	0.75740E+00	0.20010E+00	0.10764E+01	0.73213E-02	-	-	-0.12330E+00	0.17710E-01
19	0.84292E+00	0.20010E+00	0.10599E+01	0.98601E-02	-	-	-0.11780E+00	0.18802E-01
20	0.92868E+00	0.20010E+00	0.10444E+01	0.87506E-02	-	-	-0.11231E+00	0.21236E-01
21	0.10144E+01	0.20010E+00	0.10370E+01	0.11606E-01	-	-	-0.10106E+00	0.18298E-01
22	0.11001E+01	0.20010E+00	0.10275E+01	0.80302E-02	-	-	-0.95300E-01	0.17145E-01
23	0.11001E+01	0.19998E+00	0.10288E+01	0.83748E-02	-	-	-0.84823E-01	0.22080E-01
24	0.11001E+01	0.13317E+00	0.10199E+01	0.85975E-02	-	-	-0.93954E-01	0.20111E-01
25	0.11001E+01	0.66603E-01	0.10092E+01	0.10521E-01	-	-	-0.97230E-01	0.19877E-01
26	0.11001E+01	-0.85220E-04	0.99519E+00	0.10246E-01	-	-	-0.10126E+00	0.17406E-01
27	0.11001E+01	-0.66774E-01	0.97819E+00	0.98809E-02	-	-	-0.96941E-01	0.20158E-01
28	0.11001E+01	-0.13346E+00	0.97569E+00	0.14803E-01	-	-	-0.68122E-01	0.19858E-01
29	0.11001E+01	-0.20015E+00	0.98538E+00	0.10083E-01	-	-	-0.56301E-01	0.18580E-01
30	0.10996E+01	-0.20015E+00	0.98348E+00	0.80841E-02	-	-	-0.56036E-01	0.16782E-01
31	0.10142E+01	-0.20015E+00	0.98119E+00	0.76690E-02	-	-	-0.50971E-01	0.18917E-01
32	0.92844E+00	-0.20015E+00	0.98438E+00	0.12312E-01	-	-	-0.99953E-01	0.56452E-01
33	0.84268E+00	-0.20015E+00	0.99199E+00	0.11417E-01	-	-	-0.20613E+00	0.65676E-01
34	0.75680E+00	-0.20015E+00	0.99986E+00	0.88734E-02	-	-	-0.25801E+00	0.52118E-01
35	0.67104E+00	-0.20015E+00	0.10077E+01	0.71671E-02	-	-	-0.28715E+00	0.49083E-01
36	0.58552E+00	-0.20015E+00	0.10128E+01	0.66175E-02	-	-	-0.29695E+00	0.46292E-01
37	0.49964E+00	-0.20015E+00	0.10148E+01	0.83107E-02	-	-	-0.31879E+00	0.51120E-01

38	0.41400E+00	-0.20015E+00	0.10099E+01	0.11890E-01	-	-0.32995E+00	0.48250E-01
39	0.32824E+00	-0.20015E+00	0.10020E+01	0.73203E-02	-	-0.36428E+00	0.50028E-01
40	0.24248E+00	-0.20015E+00	0.97423E+00	0.10761E-01	-	-0.41080E+00	0.54350E-01
41	0.15696E+00	-0.20015E+00	0.96328E+00	0.12968E-01	-	-0.43107E+00	0.46224E-01
42	0.71326E-01	-0.20015E+00	0.93777E+00	0.15657E-01	-	-0.46201E+00	0.50988E-01
43	-0.14434E-01	-0.20015E+00	0.92211E+00	0.14337E-01	-	-0.49383E+00	0.51352E-01
44	-0.10007E+00	-0.20015E+00	0.93689E+00	0.10247E-01	-	-0.50052E+00	0.48496E-01

II - 0.0752    I2 - 2.6771    I3 - 0.0703    I4 - -2.3594

Lift - 0.4632

Swept Tapered Tip

Inboard angle = 6.6 Tip angle = 7.3 Delta theta = 0.7

Circulation box no. 11 at y/c = -1.001

NPT	x/c	z/c	u/U	$\sigma_u$	v/U	$\sigma_v$	w/U	$\sigma_w$
1	-0.99708E-01	-0.20003E+00	0.98988E+00	0.73354E-02	-	-	0.35267E-01	0.15829E-01
2	-0.99708E-01	-0.13322E+00	0.99224E+00	0.87534E-02	-	-	0.46349E-01	0.17758E-01
3	-0.99708E-01	-0.66531E-01	0.99676E+00	0.93341E-02	-	-	0.56985E-01	0.17560E-01
4	-0.99708E-01	0.15778E-03	0.10048E+01	0.86969E-02	-	-	0.66113E-01	0.15331E-01
5	-0.99708E-01	0.66846E-01	0.10174E+01	0.93932E-02	-	-	0.74575E-01	0.18076E-01
6	-0.99708E-01	0.13341E+00	0.10276E+01	0.78059E-02	-	-	0.66840E-01	0.13381E-01
7	-0.99708E-01	0.20010E+00	0.10356E+01	0.91053E-02	-	-	0.52230E-01	0.14531E-01
8	-0.10032E+00	0.20010E+00	0.10370E+01	0.75874E-02	-	-	0.54879E-01	0.15603E-01
9	-0.14191E-01	0.20010E+00	0.10458E+01	0.87914E-02	-	-	0.73471E-01	0.15084E-01
10	0.71569E-01	0.20010E+00	0.10630E+01	0.87201E-02	-	-	0.89104E-01	0.19143E-01
11	0.15721E+00	0.20010E+00	0.10872E+01	0.81471E-02	-	-	0.91777E-01	0.14522E-01
12	0.24297E+00	0.20010E+00	0.11195E+01	0.97376E-02	-	-	0.88727E-01	0.15694E-01
13	0.32873E+00	0.20010E+00	0.11403E+01	0.11397E-01	-	-	0.56736E-01	0.17548E-01
14	0.41437E+00	0.20010E+00	0.11509E+01	0.10439E-01	-	-	0.21374E-01	0.14495E-01
15	0.50013E+00	0.20010E+00	0.11430E+01	0.91944E-02	-	-	-0.14316E-01	0.16654E-01
16	0.58601E+00	0.20010E+00	0.11257E+01	0.89663E-02	-	-	-0.49529E-01	0.17932E-01
17	0.67152E+00	0.20010E+00	0.11036E+01	0.78893E-02	-	-	-0.77713E-01	0.14185E-01
18	0.75728E+00	0.20010E+00	0.10873E+01	0.89585E-02	-	-	-0.84678E-01	0.19203E-01
19	0.84292E+00	0.20010E+00	0.10680E+01	0.79567E-02	-	-	-0.82107E-01	0.13102E-01
20	0.92868E+00	0.20010E+00	0.10509E+01	0.76407E-02	-	-	-0.76124E-01	0.20595E-01
21	0.10144E+01	0.20010E+00	0.10395E+01	0.62529E-02	-	-	-0.80657E-01	0.11911E-01
22	0.11002E+01	0.20010E+00	0.10327E+01	0.95183E-02	-	-	-0.68998E-01	0.17828E-01
23	0.11002E+01	0.19998E+00	0.10313E+01	0.75951E-02	-	-	-0.69132E-01	0.19495E-01
24	0.11002E+01	0.13317E+00	0.10255E+01	0.74794E-02	-	-	-0.82045E-01	0.15714E-01
25	0.11002E+01	0.66603E-01	0.10158E+01	0.87010E-02	-	-	-0.87004E-01	0.16245E-01
26	0.11002E+01	-0.85220E-04	0.10039E+01	0.89308E-02	-	-	-0.96484E-01	0.16282E-01
27	0.11002E+01	-0.66774E-01	0.98838E+00	0.88918E-02	-	-	-0.96043E-01	0.14624E-01
28	0.11002E+01	-0.13346E+00	0.98583E+00	0.99998E-02	-	-	-0.72071E-01	0.13985E-01
29	0.11002E+01	-0.20015E+00	0.99188E+00	0.84353E-02	-	-	-0.59582E-01	0.12384E-01
30	0.10997E+01	-0.20015E+00	0.99139E+00	0.99606E-02	-	-	-0.53040E-01	0.16349E-01
31	0.10140E+01	-0.20015E+00	0.98524E+00	0.92328E-02	-	-	-0.44076E-01	0.10533E-01
32	0.92844E+00	-0.20015E+00	0.98544E+00	0.87644E-02	-	-	-0.76832E-01	0.47810E-01
33	0.84268E+00	-0.20015E+00	0.99556E+00	0.74412E-02	-	-	-0.10615E+00	0.47740E-01
34	0.75704E+00	-0.20015E+00	0.10051E+01	0.10473E-01	-	-	-0.15042E+00	0.54792E-01
35	0.67128E+00	-0.20015E+00	0.10052E+01	0.10138E-01	-	-	-0.19010E+00	0.53447E-01
36	0.58552E+00	-0.20015E+00	0.10063E+01	0.99129E-02	-	-	-0.24520E+00	0.56927E-01
37	0.49976E+00	-0.20015E+00	0.99465E+00	0.99421E-02	-	-	-0.27446E+00	0.52737E-01

38	0.41400E+00	-0.20015E+00	0.97582E+00	0.12329E-01	-	-	-0.27359E+00	0.44942E-01
39	0.32848E+00	-0.20015E+00	0.96486E+00	0.83304E-02	-	-	-0.28582E+00	0.50952E-01
40	0.24272E+00	-0.20015E+00	0.96243E+00	0.11493E-01	-	-	-0.32700E+00	0.47211E-01
41	0.15696E+00	-0.20015E+00	0.96734E+00	0.79001E-02	-	-	-0.33472E+00	0.44544E-01
42	0.71326E-01	-0.20015E+00	0.97689E+00	0.91420E-02	-	-	-0.35031E+00	0.43934E-01
43	-0.14434E-01	-0.20015E+00	0.98135E+00	0.10978E-01	-	-	-0.37424E+00	0.49532E-01
44	-0.10007E+00	-0.20015E+00	0.98809E+00	0.73360E-02	-	-	-0.39452E+00	0.50294E-01

I1 = 0.0475    I2 = 2.6155    I3 = 0.0665    I4 = -2.3646

Lift = 0.3649

Swept Tapered Tip

Inboard angle = 6.6 Tip angle = 7.3 Delta theta = 0.7

Circulation box no. 12 at y/c = -1.302

NPT	x/c	z/c	u/U	$\sigma_u$	v/U	$\sigma_v$	w/U	$\sigma_w$
1	-0.10019E+00	-0.20003E+00	0.10114E+01	0.74391E-02	-	-	0.37143E-01	0.16482E-01
2	-0.10019E+00	-0.13322E+00	0.10132E+01	0.81274E-02	-	-	0.42048E-01	0.12146E-01
3	-0.10019E+00	-0.66531E-01	0.10171E+01	0.72540E-02	-	-	0.37089E-01	0.14070E-01
4	-0.10019E+00	0.15778E-03	0.10220E+01	0.10867E-01	-	-	0.37332E-01	0.15203E-01
5	-0.10019E+00	0.66846E-01	0.10248E+01	0.82360E-02	-	-	0.47325E-01	0.16680E-01
6	-0.10019E+00	0.13341E+00	0.10291E+01	0.87103E-02	-	-	0.50258E-01	0.16187E-01
7	-0.10019E+00	0.20010E+00	0.10327E+01	0.74700E-02	-	-	0.45075E-01	0.14200E-01
8	-0.99708E-01	0.20010E+00	0.10318E+01	0.58790E-02	-	-	0.47705E-01	0.13730E-01
9	-0.14070E-01	0.20010E+00	0.10340E+01	0.80063E-02	-	-	0.43675E-01	0.13005E-01
10	0.17690E-01	0.20010E+00	0.10405E+01	0.68567E-02	-	-	0.60500E-01	0.14873E-01
11	0.15733E+00	0.20010E+00	0.10483E+01	0.71646E-02	-	-	0.58205E-01	0.15801E-01
12	0.24297E+00	0.20010E+00	0.10582E+01	0.65568E-02	-	-	0.64568E-01	0.15815E-01
13	0.32873E+00	0.20010E+00	0.10705E+01	0.76329E-02	-	-	0.64774E-01	0.13838E-01
14	0.41437E+00	0.20010E+00	0.10853E+01	0.88771E-02	-	-	0.66706E-01	0.12912E-01
15	0.50025E+00	0.20010E+00	0.10959E+01	0.71786E-02	-	-	0.48638E-01	0.10605E-01
16	0.58601E+00	0.20010E+00	0.11048E+01	0.91227E-02	-	-	0.33044E-01	0.14858E-01
17	0.67152E+00	0.20010E+00	0.11021E+01	0.69122E-02	-	-	0.38391E-02	0.12690E-01
18	0.75728E+00	0.20010E+00	0.10914E+01	0.89604E-02	-	-	-0.19418E-01	0.12179E-01
19	0.84304E+00	0.20010E+00	0.10742E+01	0.94046E-02	-	-	-0.28998E-01	0.15326E-01
20	0.92868E+00	0.20010E+00	0.10624E+01	0.72081E-02	-	-	-0.26344E-01	0.11207E-01
21	0.10144E+01	0.20010E+00	0.10463E+01	0.87389E-02	-	-	-0.33172E-01	0.13276E-01
22	0.11002E+01	0.20010E+00	0.10370E+01	0.75780E-02	-	-	-0.41481E-01	0.10718E-01
23	0.11002E+01	0.19998E+00	0.10382E+01	0.91709E-02	-	-	-0.35566E-01	0.12662E-01
24	0.11002E+01	0.13317E+00	0.10330E+01	0.88737E-02	-	-	-0.43181E-01	0.13777E-01
25	0.11002E+01	0.66603E-01	0.10276E+01	0.78407E-02	-	-	-0.59359E-01	0.11493E-01
26	0.11002E+01	-0.85220E-04	0.10167E+01	0.82395E-02	-	-	-0.78751E-01	0.82045E-02
27	0.11002E+01	-0.66774E-01	0.10039E+01	0.86471E-02	-	-	-0.87293E-01	0.86719E-02
28	0.11002E+01	-0.13346E+00	0.10009E+01	0.73160E-02	-	-	-0.56482E-01	0.68895E-02
29	0.11002E+01	-0.20015E+00	0.10046E+01	0.75714E-02	-	-	-0.21670E-01	0.10160E-01
30	0.10997E+01	-0.20015E+00	0.10086E+01	0.63618E-02	-	-	-0.25157E-01	0.11047E-01
31	0.10140E+01	-0.20015E+00	0.10036E+01	0.81582E-02	-	-	-0.19003E-01	0.10405E-01
32	0.92832E+00	-0.20015E+00	0.10052E+01	0.95434E-02	-	-	-0.43006E-01	0.46520E-01
33	0.84268E+00	-0.20015E+00	0.10122E+01	0.84392E-02	-	-	-0.60251E-01	0.45044E-01
34	0.75704E+00	-0.20015E+00	0.10091E+01	0.91436E-02	-	-	-0.10671E+00	0.50815E-01
35	0.67128E+00	-0.20015E+00	0.99766E+00	0.10915E-01	-	-	-0.43376E-01	0.37605E-01
36	0.58525E+00	-0.20015E+00	0.97707E+00	0.79635E-02	-	-	-0.33968E-01	0.39208E-01
37	0.49976E+00	-0.20015E+00	0.97438E+00	0.84110E-02	-	-	-0.53846E-01	0.42536E-01

38	0.41412E+00	-0.20015E+00	0.98339E+00	0.78060E-02	-	-	-0.71325E-01	0.50880E-01
39	0.32848E+00	-0.20015E+00	0.99343E+00	0.83364E-02	-	-	0.10237E-01	0.58981E-01
40	0.24272E+00	-0.20015E+00	0.99860E+00	0.67489E-02	-	-	0.52954E-01	0.13723E-01
41	0.15696E+00	-0.20015E+00	0.10025E+01	0.74610E-02	-	-	0.42643E-01	0.13183E-01
42	0.71326E-01	-0.20015E+00	0.10070E+01	0.60850E-02	-	-	0.36808E-01	0.31335E-01
43	-0.14434E-01	-0.20015E+00	0.10090E+01	0.87079E-02	-	-	0.41073E-01	0.12501E-01
44	-0.10007E+00	-0.20015E+00	0.10104E+01	0.84587E-02	-	-	0.34271E-01	0.15631E-01

I1 = 0.0342 I2 = 2.5622 I3 = 0.0473 I4 = -2.3972

Lift = 0.2465



Swept Tapered Tip

Inboard angle = 6.6 Tip angle = 7.3 Delta theta = 0.7

Circulation box no. 13 at y/c = -1.403

NPT	x/c	z/c	u/U	$\sigma_u$	v/U	$\sigma_v$	w/U	$\sigma_w$
1	-0.10007E+00	-0.20003E+00	0.10148E+01	0.72704E-02	-	-	0.38149E-01	0.16057E-01
2	-0.10007E+00	-0.15982E+00	0.10155E+01	0.76500E-02	-	-	0.38017E-01	0.15754E-01
3	-0.10007E+00	-0.11985E+00	0.10168E+01	0.70698E-02	-	-	0.35805E-01	0.17791E-01
4	-0.10007E+00	-0.79893E-01	0.10180E+01	0.76331E-02	-	-	0.41913E-01	0.15327E-01
5	-0.10007E+00	-0.39928E-01	0.10205E+01	0.71834E-02	-	-	0.38510E-01	0.16203E-01
6	-0.10007E+00	0.15778E-03	0.10235E+01	0.13188E-01	-	-	0.45420E-01	0.17549E-01
7	-0.10007E+00	0.40123E-01	0.10239E+01	0.71640E-02	-	-	0.40312E-01	0.16363E-01
8	-0.10007E+00	0.80087E-01	0.10272E+01	0.71909E-02	-	-	0.46141E-01	0.17105E-01
9	-0.10007E+00	0.12017E+00	0.10284E+01	0.68384E-02	-	-	0.43822E-01	0.18764E-01
10	-0.10007E+00	0.16014E+00	0.10293E+01	0.74231E-02	-	-	0.39188E-01	0.18332E-01
11	-0.10007E+00	0.20010E+00	0.10323E+01	0.70342E-02	-	-	0.42594E-01	0.15750E-01
12	-0.99587E-01	0.20010E+00	0.10303E+01	0.69194E-02	-	-	0.48236E-01	0.15711E-01
13	-0.14191E-01	0.20010E+00	0.10325E+01	0.74027E-02	-	-	0.46086E-01	0.14562E-01
14	0.71569E-01	0.20010E+00	0.10354E+01	0.88579E-02	-	-	0.49862E-01	0.16606E-01
15	0.15745E+00	0.20010E+00	0.10424E+01	0.70321E-02	-	-	0.59605E-01	0.24013E-01
16	0.24309E+00	0.20010E+00	0.10486E+01	0.57155E-02	-	-	0.59830E-01	0.16714E-01
17	0.32885E+00	0.20010E+00	0.10569E+01	0.66357E-02	-	-	0.57775E-01	0.18346E-01
18	0.41449E+00	0.20010E+00	0.10658E+01	0.63396E-02	-	-	0.68879E-01	0.15242E-01
19	0.50013E+00	0.20010E+00	0.10745E+01	0.70277E-02	-	-	0.46753E-01	0.15826E-01
20	0.58588E+00	0.20010E+00	0.10867E+01	0.76378E-02	-	-	0.46898E-01	0.13359E-01
21	0.67152E+00	0.20010E+00	0.10891E+01	0.70174E-02	-	-	0.36743E-01	0.14939E-01
22	0.75740E+00	0.20010E+00	0.10846E+01	0.59965E-02	-	-	0.18135E-01	0.11305E-01
23	0.84292E+00	0.20010E+00	0.10683E+01	0.67385E-02	-	-	-0.18223E-02	0.18232E-01
24	0.92868E+00	0.20010E+00	0.10565E+01	0.72088E-02	-	-	-0.88631E-02	0.13828E-01
25	0.10146E+01	0.20010E+00	0.10448E+01	0.47908E-02	-	-	-0.92976E-02	0.19487E-01
26	0.11001E+01	0.20010E+00	0.10357E+01	0.64276E-02	-	-	-0.68390E-02	0.13776E-01
27	0.11001E+01	0.19998E+00	0.10363E+01	0.74281E-02	-	-	-0.32169E-02	0.15481E-01
28	0.11001E+01	0.15989E+00	0.10349E+01	0.73628E-02	-	-	-0.10358E-01	0.16268E-01
29	0.11001E+01	0.11993E+00	0.10322E+01	0.71534E-02	-	-	-0.16191E-01	0.16935E-01
30	0.11001E+01	0.79844E-01	0.10296E+01	0.67293E-02	-	-	-0.22209E-01	0.13705E-01
31	0.11001E+01	0.39880E-01	0.10252E+01	0.78316E-02	-	-	-0.34622E-01	0.14363E-01
32	0.11001E+01	-0.85220E-04	0.10237E+01	0.78549E-02	-	-	-0.64500E-01	0.12911E-01
33	0.11001E+01	-0.40171E-01	0.10234E+01	0.74753E-02	-	-	-0.10507E+00	0.12882E-01
34	0.11001E+01	-0.80136E-01	0.10297E+01	0.91343E-02	-	-	-0.98806E-01	0.14041E-01
35	0.11001E+01	-0.12010E+00	0.10142E+01	0.92789E-02	-	-	-0.37452E-01	0.11987E-01
36	0.11001E+01	-0.16007E+00	0.10143E+01	0.74886E-02	-	-	-0.30562E-02	0.13844E-01
37	0.11001E+01	-0.20015E+00	0.10141E+01	0.65012E-02	-	-	0.12825E-01	0.14602E-01

38	0.10996E+01	-0.20015E+00	0.10138E+01	0.68280E-02	-	-	0.11049E-01	0.18152E-01
39	0.10142E+01	-0.20015E+00	0.10126E+01	0.61671E-02	-	-	0.12357E-01	0.12674E-01
40	0.92832E+00	-0.20015E+00	0.10150E+01	0.67832E-02	-	-	0.60405E-02	0.46289E-01
41	0.84256E+00	-0.20015E+00	0.10184E+01	0.74401E-02	-	-	-0.90834E-02	0.47956E-01
42	0.75692E+00	-0.20015E+00	0.10112E+01	0.80596E-02	-	-	-0.42137E-01	0.55752E-01
43	0.67128E+00	-0.20015E+00	0.99541E+00	0.80179E-02	-	-	-0.84544E-01	0.55505E-01
44	0.58564E+00	-0.20015E+00	0.99004E+00	0.76809E-02	-	-	-0.56075E-01	0.58366E-01
45	0.49988E+00	-0.20015E+00	0.99410E+00	0.67598E-02	-	-	-0.96313E-01	0.55074E-01
46	0.41412E+00	-0.20015E+00	0.99787E+00	0.72769E-02	-	-	-0.11912E+00	0.56584E-01
47	0.32836E+00	-0.20015E+00	0.10055E+01	0.69835E-02	-	-	-0.93537E-01	0.46655E-01
48	0.24260E+00	-0.20015E+00	0.10103E+01	0.71121E-02	-	-	-0.11128E+00	0.57569E-01
49	0.15684E+00	-0.20015E+00	0.10121E+01	0.74047E-02	-	-	-0.36652E-01	0.61070E-01
50	0.71204E-01	-0.20015E+00	0.10124E+01	0.78640E-02	-	-	-0.22714E-01	0.43841E-01
51	-0.14434E-01	-0.20015E+00	0.10134E+01	0.77694E-02	-	-	0.29947E-01	0.14554E-01
52	-0.10007E+00	-0.20015E+00	0.10138E+01	0.72750E-02	-	-	0.39672E-01	0.14100E-01

I1 = 0.0331 I2 = 2.5403 I3 = 0.0313 I4 = -2.4175

Lift = 0.1872

Swept Tapered Tip

Inboard angle = 6.6 Tip angle = 7.3 Delta theta = 0.7

Circulation box no. 14 at y/c = -1.452

NPT	$\kappa/c$	$z/c$	$u/U$	$\sigma_u$	$v/U$	$\sigma_v$	$w/U$	$\sigma_w$
1	-0.10019E+00	-0.20003E+00	0.10148E+01	0.83837E-02	-	-	0.37093E-01	0.14181E-01
2	-0.10019E+00	-0.15982E+00	0.10158E+01	0.78196E-02	-	-	0.37414E-01	0.15406E-01
3	-0.10019E+00	-0.11986E+00	0.10171E+01	0.81245E-02	-	-	0.37172E-01	0.14870E-01
4	-0.10019E+00	-0.79893E-01	0.10184E+01	0.83006E-02	-	-	0.33153E-01	0.14453E-01
5	-0.10019E+00	-0.39928E-01	0.10202E+01	0.88557E-02	-	-	0.42469E-01	0.14713E-01
6	-0.10019E+00	0.15778E-03	0.10225E+01	0.99057E-02	-	-	0.38532E-01	0.16635E-01
7	-0.10019E+00	0.40123E-01	0.10244E+01	0.75257E-02	-	-	0.37634E-01	0.13332E-01
8	-0.10019E+00	0.80087E-01	0.10248E+01	0.82644E-02	-	-	0.39675E-01	0.13025E-01
9	-0.10019E+00	0.12017E+00	0.10275E+01	0.67634E-02	-	-	0.40887E-01	0.13754E-01
10	-0.10019E+00	0.16014E+00	0.10289E+01	0.71657E-02	-	-	0.35027E-01	0.15805E-01
11	-0.10019E+00	0.20010E+00	0.10300E+01	0.70990E-02	-	-	0.34289E-01	0.14385E-01
12	-0.99708E-01	0.20010E+00	0.10297E+01	0.54767E-02	-	-	0.37584E-01	0.14291E-01
13	-0.14070E-01	0.20010E+00	0.10314E+01	0.79946E-02	-	-	0.41539E-01	0.12905E-01
14	0.71569E-01	0.20010E+00	0.10341E+01	0.63893E-02	-	-	0.34942E-01	0.12676E-01
15	0.15721E+00	0.20010E+00	0.10402E+01	0.86282E-02	-	-	0.53822E-01	0.13972E-01
16	0.24297E+00	0.20010E+00	0.10466E+01	0.76838E-02	-	-	0.58425E-01	0.15509E-01
17	0.32873E+00	0.20010E+00	0.10513E+01	0.90525E-02	-	-	0.49393E-01	0.14870E-01
18	0.41461E+00	0.20010E+00	0.10596E+01	0.69793E-02	-	-	0.56967E-01	0.16554E-01
19	0.50025E+00	0.20010E+00	0.10687E+01	0.78993E-02	-	-	0.61357E-01	0.16935E-01
20	0.58601E+00	0.20010E+00	0.10731E+01	0.73926E-02	-	-	0.48890E-01	0.13488E-01
21	0.67165E+00	0.20010E+00	0.10783E+01	0.75568E-02	-	-	0.39819E-01	0.12906E-01
22	0.75728E+00	0.20010E+00	0.10751E+01	0.84421E-02	-	-	0.21378E-01	0.10650E-01
23	0.84316E+00	0.20010E+00	0.10642E+01	0.61414E-02	-	-	0.13250E-01	0.13141E-01
24	0.92868E+00	0.20010E+00	0.10544E+01	0.83172E-02	-	-	0.76943E-02	0.15163E-01
25	0.10144E+01	0.20010E+00	0.10410E+01	0.69991E-02	-	-	0.63300E-02	0.11375E-01
26	0.11002E+01	0.20010E+00	0.10369E+01	0.73625E-02	-	-	0.83783E-02	0.13839E-01
27	0.11002E+01	0.19998E+00	0.10369E+01	0.76268E-02	-	-	0.73837E-02	0.16268E-01
28	0.11002E+01	0.15989E+00	0.10340E+01	0.78005E-02	-	-	0.12308E-01	0.16282E-01
29	0.11002E+01	0.11993E+00	0.10310E+01	0.76191E-02	-	-	0.12278E-01	0.12932E-01
30	0.11002E+01	0.79844E-01	0.10283E+01	0.70590E-02	-	-	0.61265E-02	0.12876E-01
31	0.11002E+01	0.39880E-01	0.10223E+01	0.80657E-02	-	-	0.11051E-01	0.15649E-01
32	0.11002E+01	-0.85220E-04	0.10158E+01	0.93658E-02	-	-	-0.74590E-02	0.19765E-01
33	0.11002E+01	-0.40171E-01	0.10085E+01	0.14427E-01	-	-	-0.11866E+00	0.37358E-01
34	0.11002E+01	-0.80136E-01	0.10776E+01	0.20768E-01	-	-	-0.28393E+00	0.49676E-01
35	0.11002E+01	-0.12010E+00	0.10230E+01	0.96759E-02	-	-	0.23834E-01	0.24278E-01
36	0.11002E+01	-0.16007E+00	0.10178E+01	0.79703E-02	-	-	0.50987E-01	0.16193E-01
37	0.11002E+01	-0.20015E+00	0.10161E+01	0.75031E-02	-	-	0.41979E-01	0.15591E-01

38	0.10996E+01	-0.20015E+00	0.10177E+01	0.62124E-02	-	-	0.44360E-01	0.12673E-01
39	0.10141E+01	-0.20015E+00	0.10164E+01	0.67988E-02	-	-	0.46826E-01	0.13402E-01
40	0.92844E+00	-0.20015E+00	0.10192E+01	0.59374E-02	-	-	0.50635E-01	0.40055E-01
41	0.84268E+00	-0.20015E+00	0.10258E+01	0.66734E-02	-	-	0.34054E-01	0.41191E-01
42	0.75692E+00	-0.20015E+00	0.10160E+01	0.75993E-02	-	-	0.44517E-01	0.38545E-01
43	0.67116E+00	-0.20015E+00	0.99920E+00	0.75942E-02	-	-	0.50822E-01	0.27069E-01
44	0.58552E+00	-0.20015E+00	0.99914E+00	0.74871E-02	-	-	0.55653E-01	0.14460E-01
45	0.49976E+00	-0.20015E+00	0.10018E+01	0.76269E-02	-	-	0.55868E-01	0.40725E-01
46	0.41412E+00	-0.20015E+00	0.10073E+01	0.81713E-02	-	-	0.59968E-01	0.28649E-01
47	0.32848E+00	-0.20015E+00	0.10125E+01	0.78186E-02	-	-	0.52263E-01	0.16110E-01
48	0.24272E+00	-0.20015E+00	0.10143E+01	0.78018E-02	-	-	0.49373E-01	0.12745E-01
49	0.15696E+00	-0.20015E+00	0.10137E+01	0.83778E-02	-	-	0.36783E-01	0.10698E-01
50	0.71326E-01	-0.20015E+00	0.10158E+01	0.60066E-02	-	-	0.44256E-01	0.30022E-01
51	-0.14434E-01	-0.20015E+00	0.10114E+01	0.80214E-02	-	-	0.36295E-01	0.11787E-01
52	-0.10007E+00	-0.20015E+00	0.10149E+01	0.68161E-02	-	-	0.31295E-01	0.11391E-01

I1 = 0.0299 I2 = 2.5287 I3 = 0.0262 I4 = -2.4285

Idft = 0.1563

Swept Tapered Tip

Inboard angle = 6.6 Tip angle = 7.3 Delta theta = 0.7

Circulation box no. 15 at y/c = -1.473

NPT	x/c	z/c	u/U	$\sigma_u$	v/U	$\sigma_v$	w/U	$\sigma_w$
1	-0.99708E-01	-0.20015E+00	0.10170E+01	0.84116E-02	-	-	0.36428E-01	0.17448E-01
2	-0.99708E-01	-0.15982E+00	0.10185E+01	0.78377E-02	-	-	0.37403E-01	0.19417E-01
3	-0.99708E-01	-0.11986E+00	0.10191E+01	0.75358E-02	-	-	0.37877E-01	0.19832E-01
4	-0.99708E-01	-0.79893E-01	0.10209E+01	0.97737E-02	-	-	0.42778E-01	0.18606E-01
5	-0.99708E-01	-0.39928E-01	0.10212E+01	0.77417E-02	-	-	0.39122E-01	0.18289E-01
6	-0.99708E-01	0.15778E-03	0.10267E+01	0.18414E-01	-	-	0.38113E-01	0.18001E-01
7	-0.99708E-01	0.40244E-01	0.10252E+01	0.83230E-02	-	-	0.43607E-01	0.17679E-01
8	-0.99708E-01	0.80087E-01	0.10266E+01	0.84163E-02	-	-	0.43615E-01	0.18299E-01
9	-0.99708E-01	0.12029E+00	0.10287E+01	0.86591E-02	-	-	0.39657E-01	0.18340E-01
10	-0.99708E-01	0.16026E+00	0.10302E+01	0.81701E-02	-	-	0.44912E-01	0.18060E-01
11	-0.99708E-01	0.20010E+00	0.10305E+01	0.79693E-02	-	-	0.38848E-01	0.18797E-01
12	-0.10032E+00	0.20010E+00	0.10320E+01	0.82648E-02	-	-	0.46459E-01	0.17325E-01
13	-0.14191E-01	0.20010E+00	0.10333E+01	0.70153E-02	-	-	0.49207E-01	0.17241E-01
14	0.71569E-01	0.20010E+00	0.10353E+01	0.80956E-02	-	-	0.45959E-01	0.25434E-01
15	0.15721E+00	0.20010E+00	0.10423E+01	0.86541E-02	-	-	0.59119E-01	0.29848E-01
16	0.24297E+00	0.20010E+00	0.10441E+01	0.75114E-02	-	-	0.56523E-01	0.26354E-01
17	0.32873E+00	0.20010E+00	0.10495E+01	0.91257E-02	-	-	0.58146E-01	0.31833E-01
18	0.41461E+00	0.20010E+00	0.10574E+01	0.81784E-02	-	-	0.55626E-01	0.16444E-01
19	0.50037E+00	0.20010E+00	0.10632E+01	0.83725E-02	-	-	0.58107E-01	0.20752E-01
20	0.58601E+00	0.20010E+00	0.10737E+01	0.96251E-02	-	-	0.51510E-01	0.15170E-01
21	0.67165E+00	0.20010E+00	0.10768E+01	0.95428E-02	-	-	0.49795E-01	0.20387E-01
22	0.75728E+00	0.20010E+00	0.10747E+01	0.93419E-02	-	-	0.31752E-01	0.18043E-01
23	0.84304E+00	0.20010E+00	0.10645E+01	0.10442E-01	-	-	0.21810E-01	0.18727E-01
24	0.92868E+00	0.20010E+00	0.10538E+01	0.69779E-02	-	-	0.14708E-01	0.18444E-01
25	0.10147E+01	0.20010E+00	0.10437E+01	0.79022E-02	-	-	0.16137E-01	0.21159E-01
26	0.11001E+01	0.20010E+00	0.10374E+01	0.90019E-02	-	-	0.15297E-01	0.15962E-01
27	0.11001E+01	0.19998E+00	0.10373E+01	0.88195E-02	-	-	0.18361E-01	0.18131E-01
28	0.11001E+01	0.15989E+00	0.10342E+01	0.79030E-02	-	-	0.17862E-01	0.16609E-01
29	0.11001E+01	0.11993E+00	0.10322E+01	0.93098E-02	-	-	0.24229E-01	0.18335E-01
30	0.11001E+01	0.79844E-01	0.10288E+01	0.74950E-02	-	-	0.30128E-01	0.18671E-01
31	0.11001E+01	0.39880E-01	0.10212E+01	0.92143E-02	-	-	0.41862E-01	0.21643E-01
32	0.11001E+01	-0.85220E-04	0.10139E+01	0.92575E-02	-	-	0.51472E-01	0.29886E-01
33	0.11001E+01	-0.40171E-01	0.99153E+00	0.21423E-01	-	-	0.24155E-01	0.70787E-01
34	0.11001E+01	-0.80258E-01	0.10114E+01	0.36696E-01	-	-	-0.16680E+00	0.54548E-01
35	0.11001E+01	-0.12010E+00	0.10237E+01	0.83195E-02	-	-	0.10080E+00	0.35013E-01
36	0.11001E+01	-0.16007E+00	0.10199E+01	0.83912E-02	-	-	0.81742E-01	0.22293E-01
37	0.11001E+01	-0.20027E+00	0.10191E+01	0.79551E-02	-	-	0.58811E-01	0.18161E-01

38	0.10995E+01	-0.20027E+00	0.10190E+01	0.97836E-02	-	-	0.60169E-01	0.17758E-01
39	0.10142E+01	-0.20027E+00	0.10173E+01	0.71615E-02	-	-	0.62735E-01	0.15965E-01
40	0.92832E+00	-0.20027E+00	0.10215E+01	0.63552E-02	-	-	0.50295E-01	0.44275E-01
41	0.84256E+00	-0.20027E+00	0.10274E+01	0.73482E-02	-	-	0.15108E-01	0.55521E-01
42	0.75704E+00	-0.20027E+00	0.10209E+01	0.71415E-02	-	-	-0.19818E-01	0.53768E-01
43	0.67104E+00	-0.20027E+00	0.10082E+01	0.78408E-02	-	-	-0.35988E-01	0.46015E-01
44	0.58552E+00	-0.20027E+00	0.10013E+01	0.71886E-02	-	-	-0.32509E-01	0.50486E-01
45	0.49976E+00	-0.20027E+00	0.10050E+01	0.67856E-02	-	-	-0.46655E-01	0.51936E-01
46	0.41400E+00	-0.20027E+00	0.10105E+01	0.60398E-02	-	-	-0.69314E-01	0.48544E-01
47	0.32836E+00	-0.20027E+00	0.10137E+01	0.84863E-02	-	-	-0.66085E-01	0.50193E-01
48	0.24260E+00	-0.20027E+00	0.10155E+01	0.65438E-02	-	-	-0.70969E-01	0.47731E-01
49	0.15696E+00	-0.20027E+00	0.10173E+01	0.78421E-02	-	-	-0.21351E-01	0.45994E-01
50	0.71204E-01	-0.20027E+00	0.10161E+01	0.66328E-02	-	-	-0.20494E-01	0.43975E-01
51	-0.14556E-01	-0.20027E+00	0.10161E+01	0.71795E-02	-	-	0.35135E-01	0.18508E-01
52	-0.10019E+00	-0.20027E+00	0.10171E+01	0.71401E-02	-	-	0.40184E-01	0.21618E-01

I1 = 0.0326 I2 = 2.5280 I3 = -0.0138 I4 = -2.4359

Lift = 0.1109

Swept Tapered Tip

Inboard angle = 6.6 Tip angle = 7.3 Delta theta = 0.7

Circulation box no. 16 at y/c = -1.493

NPT	x/c	z/c	u/U	$\sigma_u$	v/U	$\sigma_v$	w/U	$\sigma_w$
1	-0.10019E+00	-0.20003E+00	0.10157E+01	0.91164E-02	-	-	0.38086E-01	0.16790E-01
2	-0.10019E+00	-0.15982E+00	0.10159E+01	0.10251E-01	-	-	0.36841E-01	0.16528E-01
3	-0.10019E+00	-0.11986E+00	0.10173E+01	0.10894E-01	-	-	0.39445E-01	0.17225E-01
4	-0.10019E+00	-0.79893E-01	0.10184E+01	0.10697E-01	-	-	0.37618E-01	0.15994E-01
5	-0.10019E+00	-0.39928E-01	0.10197E+01	0.10685E-01	-	-	0.36637E-01	0.16692E-01
6	-0.10019E+00	0.15778E-03	0.10282E+01	0.27210E-01	-	-	0.37937E-01	0.17006E-01
7	-0.10019E+00	0.40123E-01	0.10229E+01	0.10521E-01	-	-	0.38368E-01	0.17524E-01
8	-0.10019E+00	0.80087E-01	0.10243E+01	0.10930E-01	-	-	0.35444E-01	0.17615E-01
9	-0.10019E+00	0.12017E+00	0.10263E+01	0.10877E-01	-	-	0.39222E-01	0.16124E-01
10	-0.10019E+00	0.16014E+00	0.10269E+01	0.10683E-01	-	-	0.37872E-01	0.15567E-01
11	-0.10019E+00	0.20010E+00	0.10284E+01	0.10103E-01	-	-	0.37124E-01	0.17062E-01
12	-0.99708E-01	0.20010E+00	0.10286E+01	0.10210E-01	-	-	0.36164E-01	0.17128E-01
13	-0.14191E-01	0.20010E+00	0.10294E+01	0.92377E-02	-	-	0.40586E-01	0.13360E-01
14	0.71569E-01	0.20010E+00	0.10313E+01	0.10294E-01	-	-	0.46795E-01	0.20589E-01
15	0.15721E+00	0.20010E+00	0.10375E+01	0.11757E-01	-	-	0.62765E-01	0.38324E-01
16	0.24297E+00	0.20010E+00	0.10406E+01	0.97793E-02	-	-	0.55163E-01	0.21588E-01
17	0.32873E+00	0.20010E+00	0.10479E+01	0.11845E-01	-	-	0.56220E-01	0.24224E-01
18	0.41449E+00	0.20010E+00	0.10549E+01	0.83378E-02	-	-	0.62543E-01	0.19112E-01
19	0.50037E+00	0.20010E+00	0.10607E+01	0.83465E-02	-	-	0.58976E-01	0.17064E-01
20	0.58588E+00	0.20010E+00	0.10677E+01	0.93008E-02	-	-	0.49621E-01	0.15864E-01
21	0.67152E+00	0.20010E+00	0.10717E+01	0.97571E-02	-	-	0.39418E-01	0.17247E-01
22	0.75728E+00	0.20010E+00	0.10766E+01	0.95207E-02	-	-	0.32215E-01	0.16381E-01
23	0.84304E+00	0.20010E+00	0.10618E+01	0.95918E-02	-	-	0.18941E-01	0.16012E-01
24	0.92868E+00	0.20010E+00	0.10505E+01	0.89384E-02	-	-	0.18403E-01	0.17814E-01
25	0.10144E+01	0.20010E+00	0.10425E+01	0.11740E-01	-	-	0.20198E-01	0.17462E-01
26	0.11002E+01	0.20010E+00	0.10347E+01	0.10908E-01	-	-	0.19387E-01	0.16228E-01
27	0.11002E+01	0.19998E+00	0.10340E+01	0.99329E-02	-	-	0.21011E-01	0.18077E-01
28	0.11002E+01	0.15989E+00	0.10314E+01	0.10897E-01	-	-	0.23547E-01	0.16152E-01
29	0.11002E+01	0.11993E+00	0.10296E+01	0.10114E-01	-	-	0.32170E-01	0.17151E-01
30	0.11002E+01	0.79844E-01	0.10262E+01	0.11574E-01	-	-	0.37451E-01	0.17997E-01
31	0.11002E+01	0.39880E-01	0.10214E+01	0.12043E-01	-	-	0.53672E-01	0.18898E-01
32	0.11002E+01	-0.85220E-04	0.10116E+01	0.12174E-01	-	-	0.83568E-01	0.26119E-01
33	0.11002E+01	-0.40171E-01	0.98745E+00	0.15906E-01	-	-	0.20392E+00	0.58062E-01
34	0.11002E+01	-0.80136E-01	0.99665E+00	0.23276E-01	-	-	0.56580E+00	0.64790E-01
35	0.11002E+01	-0.12010E+00	0.10186E+01	0.11368E-01	-	-	0.15024E+00	0.29619E-01
36	0.11002E+01	-0.16007E+00	0.10192E+01	0.11208E-01	-	-	0.10129E+00	0.18428E-01
37	0.11002E+01	-0.20015E+00	0.10166E+01	0.11953E-01	-	-	0.70414E-01	0.16152E-01

38	0.10997E+01	-0.20015E+00	0.10188E+01	0.92415E-02	-	-	0.76799E-01	0.12424E-01
39	0.10142E+01	-0.20015E+00	0.10169E+01	0.78094E-02	-	-	0.73077E-01	0.13897E-01
40	0.92832E+00	-0.20015E+00	0.10195E+01	0.95952E-02	-	-	0.50045E-01	0.49071E-01
41	0.84268E+00	-0.20015E+00	0.10271E+01	0.11340E-01	-	-	-0.56380E-02	0.56951E-01
42	0.75680E+00	-0.20015E+00	0.10232E+01	0.11585E-01	-	-	0.44560E-01	0.19641E-01
43	0.67116E+00	-0.20015E+00	0.10046E+01	0.10695E-01	-	-	0.31806E-01	0.40288E-01
44	0.58552E+00	-0.20015E+00	0.10049E+01	0.11329E-01	-	-	0.49340E-01	0.37000E-01
45	0.49976E+00	-0.20015E+00	0.10039E+01	0.97621E-02	-	-	0.11174E-01	0.50812E-01
46	0.41400E+00	-0.20015E+00	0.10113E+01	0.86905E-02	-	-	-0.30861E-02	0.46310E-01
47	0.32836E+00	-0.20015E+00	0.10108E+01	0.74993E-02	-	-	0.45967E-01	0.22712E-01
48	0.24272E+00	-0.20015E+00	0.10140E+01	0.96128E-02	-	-	0.47589E-01	0.44763E-01
49	0.15696E+00	-0.20015E+00	0.10129E+01	0.99902E-02	-	-	0.45972E-01	0.20899E-01
50	0.71326E-01	-0.20015E+00	0.10141E+01	0.11225E-01	-	-	0.42444E-01	0.30636E-01
51	-0.14434E-01	-0.20015E+00	0.10135E+01	0.78699E-02	-	-	0.38340E-01	0.13082E-01
52	-0.10007E+00	-0.20015E+00	0.10151E+01	0.79359E-02	-	-	0.21616E-01	0.16554E-01

I1 = 0.0300 I2 = 2.5197 I3 = -0.1125 I4 = -2.4324

Lift = 0.0048



Swept Tapered Tip

Inboard angle = 6.6 Tip angle = 2.3 Delta theta = -4.3

Circulation box no. 1 at y/c = 1.002

NPT	x/c	z/c	u/U	$\sigma_u$	v/U	$\sigma_v$	w/U	$\sigma_w$
1	-0.10019E+00	-0.20015E+00	0.93817E+00	0.24004E-01	-	-	0.16082E-01	0.37829E-01
2	-0.10019E+00	-0.13322E+00	0.93064E+00	0.31750E-01	-	-	0.34734E-01	0.38749E-01
3	-0.10019E+00	-0.66531E-01	0.91382E+00	0.25457E-01	-	-	0.78021E-01	0.39318E-01
4	-0.10019E+00	0.15778E-03	0.93935E+00	0.17069E-01	-	-	0.13451E+00	0.35263E-01
5	-0.10019E+00	0.66968E-01	0.10088E+01	0.17590E-01	-	-	0.16155E+00	0.36087E-01
6	-0.10019E+00	0.13353E+00	0.10521E+01	0.16165E-01	-	-	0.14151E+00	0.35038E-01
7	-0.10019E+00	0.20022E+00	0.10829E+01	0.16983E-01	-	-	0.11965E+00	0.27424E-01
8	-0.99708E-01	0.20022E+00	0.10798E+01	0.18547E-01	-	-	0.11051E+00	0.24529E-01
9	-0.13949E-01	0.20022E+00	0.11253E+01	0.16283E-01	-	-	0.11700E+00	0.32505E-01
10	0.71690E-01	0.20022E+00	0.11777E+01	0.15664E-01	-	-	0.10714E+00	0.45119E-01
11	0.15733E+00	0.20022E+00	0.12258E+01	0.13298E-01	-	-	0.68958E-01	0.31771E-01
12	0.24309E+00	0.20022E+00	0.12331E+01	0.12585E-01	-	-	0.91301E-02	0.33024E-01
13	0.32873E+00	0.20022E+00	0.12049E+01	0.16382E-01	-	-	0.56030E-02	0.54890E-01
14	0.41437E+00	0.20022E+00	0.11930E+01	0.13637E-01	-	-	-0.10911E-01	0.53620E-01
15	0.50025E+00	0.20022E+00	0.11605E+01	0.17991E-01	-	-	-0.36432E-01	0.58713E-01
16	0.58601E+00	0.20022E+00	0.11350E+01	0.13670E-01	-	-	-0.74316E-01	0.55013E-01
17	0.67152E+00	0.20022E+00	0.11186E+01	0.20105E-01	-	-	-0.94283E-01	0.47675E-01
18	0.75740E+00	0.20022E+00	0.10989E+01	0.19476E-01	-	-	-0.11506E+00	0.35693E-01
19	0.84292E+00	0.20022E+00	0.10785E+01	0.25068E-01	-	-	-0.13601E+00	0.54636E-01
20	0.92880E+00	0.20022E+00	0.10842E+01	0.40142E-01	-	-	-0.15779E+00	0.52756E-01
21	0.10144E+01	0.20022E+00	0.10545E+01	0.28197E-01	-	-	-0.16866E+00	0.50020E-01
22	0.11002E+01	0.20022E+00	0.10500E+01	0.27074E-01	-	-	-0.12395E+00	0.46712E-01
23	0.11002E+01	0.19986E+00	0.10483E+01	0.27536E-01	-	-	-0.10182E+00	0.36043E-01
24	0.11002E+01	0.13317E+00	0.10387E+01	0.23672E-01	-	-	-0.96145E-01	0.21294E-01
25	0.11002E+01	0.66482E-01	0.10207E+01	0.16965E-01	-	-	-0.10026E+00	0.24452E-01
26	0.11002E+01	-0.20709E-03	0.10065E+01	0.14401E-01	-	-	-0.10478E+00	0.47589E-01
27	0.11002E+01	-0.66774E-01	0.99496E+00	0.19132E-01	-	-	-0.98288E-01	0.26706E-01
28	0.11002E+01	-0.13346E+00	0.99097E+00	0.22961E-01	-	-	-0.89749E-01	0.44991E-01
29	0.11002E+01	-0.20027E+00	0.99909E+00	0.24083E-01	-	-	-0.74934E-01	0.45940E-01
30	0.10997E+01	-0.20027E+00	0.10033E+01	0.27926E-01	-	-	-0.71122E-01	0.42688E-01
31	0.10142E+01	-0.20027E+00	0.99291E+00	0.24685E-01	-	-	-0.70985E-01	0.46847E-01
32	0.92832E+00	-0.20027E+00	0.99568E+00	0.22905E-01	-	-	-0.64418E-01	0.47763E-01
33	0.84268E+00	-0.20027E+00	0.99927E+00	0.15803E-01	-	-	-0.49194E-01	0.47552E-01
34	0.75692E+00	-0.20027E+00	0.10144E+01	0.17977E-01	-	-	-0.46837E-01	0.50120E-01
35	0.67116E+00	-0.20027E+00	0.10235E+01	0.18930E-01	-	-	-0.32170E-01	0.43279E-01
36	0.58564E+00	-0.20027E+00	0.10425E+01	0.30280E-01	-	-	-0.44032E-01	0.49354E-01
37	0.49964E+00	-0.20027E+00	0.10297E+01	0.22790E-01	-	-	-0.55850E-01	0.50720E-01

38	0.41400E+00	-0.20027E+00	0.10248E+01	0.15903E-01	-	-0.67812E-01	0.45600E-01
39	0.32848E+00	-0.20027E+00	0.10054E+01	0.22026E-01	-	-0.76823E-01	0.46558E-01
40	0.24272E+00	-0.20027E+00	0.99159E+00	0.23347E-01	-	-0.90572E-01	0.47779E-01
41	0.15696E+00	-0.20027E+00	0.95976E+00	0.22743E-01	-	-0.81121E-01	0.37979E-01
42	0.71326E-01	-0.20027E+00	0.93786E+00	0.27641E-01	-	-0.73425E-01	0.42507E-01
43	-0.14434E-01	-0.20027E+00	0.92372E+00	0.20379E-01	-	-0.68388E-01	0.50311E-01
44	-0.10007E+00	-0.20027E+00	0.93446E+00	0.21446E-01	-	-0.68910E-01	0.52315E-01

I1 - 0.0826 I2 - 2.7340 I3 - 0.0772 I4 - -2.3822

Lift - 0.5116

Swept Tapered Tip

Inboard angle = 6.6 Tip angle = 2.3 Delta theta = -4.3

Circulation box no. 2 at y/c = 0.503

NPT	x/c	z/c	u/U	$\sigma_u$	v/U	$\sigma_v$	w/U	$\sigma_w$
1	-0.10032E+00	-0.20015E+00	0.93965E+00	0.17542E-01	-	-	0.13057E-01	0.24376E-01
2	-0.10032E+00	-0.13322E+00	0.92330E+00	0.21191E-01	-	-	0.33873E-01	0.29816E-01
3	-0.10032E+00	-0.66410E-01	0.91100E+00	0.21021E-01	-	-	0.80491E-01	0.28620E-01
4	-0.10032E+00	0.15778E-03	0.93573E+00	0.16704E-01	-	-	0.13651E+00	0.28938E-01
5	-0.10032E+00	0.66968E-01	0.99838E+00	0.15738E-01	-	-	0.15544E+00	0.27880E-01
6	-0.10032E+00	0.13353E+00	0.10462E+01	0.12859E-01	-	-	0.14417E+00	0.27697E-01
7	-0.10032E+00	0.20022E+00	0.10696E+01	0.14499E-01	-	-	0.11831E+00	0.24477E-01
8	-0.99830E-01	0.20022E+00	0.10703E+01	0.15590E-01	-	-	0.11619E+00	0.25851E-01
9	-0.14191E-01	0.20022E+00	0.11107E+01	0.14488E-01	-	-	0.13133E+00	0.31362E-01
10	0.71569E-01	0.20022E+00	0.11728E+01	0.15292E-01	-	-	0.11336E+00	0.20414E-01
11	0.15721E+00	0.20022E+00	0.12101E+01	0.11444E-01	-	-	0.66781E-01	0.34373E-01
12	0.24297E+00	0.20022E+00	0.12139E+01	0.13068E-01	-	-	0.63107E-02	0.31756E-01
13	0.32873E+00	0.20022E+00	0.11987E+01	0.12978E-01	-	-	-0.36623E-01	0.36628E-01
14	0.41449E+00	0.20022E+00	0.11758E+01	0.11468E-01	-	-	-0.69804E-01	0.33333E-01
15	0.50025E+00	0.20022E+00	0.11467E+01	0.12252E-01	-	-	-0.95521E-01	0.29545E-01
16	0.58588E+00	0.20022E+00	0.11230E+01	0.12197E-01	-	-	-0.11256E+00	0.23336E-01
17	0.67152E+00	0.20022E+00	0.11044E+01	0.14089E-01	-	-	-0.11977E+00	0.29335E-01
18	0.75728E+00	0.20022E+00	0.10820E+01	0.14212E-01	-	-	-0.12097E+00	0.24545E-01
19	0.84292E+00	0.20022E+00	0.10659E+01	0.14216E-01	-	-	-0.11706E+00	0.23674E-01
20	0.92880E+00	0.20022E+00	0.10521E+01	0.16107E-01	-	-	-0.10895E+00	0.25639E-01
21	0.10144E+01	0.20022E+00	0.10418E+01	0.15147E-01	-	-	-0.95668E-01	0.23936E-01
22	0.11002E+01	0.20022E+00	0.10320E+01	0.13568E-01	-	-	-0.90315E-01	0.25096E-01
23	0.11002E+01	0.19986E+00	0.10344E+01	0.14177E-01	-	-	-0.87582E-01	0.32098E-01
24	0.11002E+01	0.13317E+00	0.10254E+01	0.16277E-01	-	-	-0.95293E-01	0.21490E-01
25	0.11002E+01	0.66482E-01	0.10177E+01	0.15376E-01	-	-	-0.98344E-01	0.23857E-01
26	0.11002E+01	-0.20709E-03	0.10085E+01	0.19081E-01	-	-	-0.10214E+00	0.16309E-01
27	0.11002E+01	-0.66774E-01	0.99099E+00	0.17473E-01	-	-	-0.10045E+00	0.35068E-01
28	0.11002E+01	-0.13358E+00	0.98827E+00	0.19352E-01	-	-	-0.75099E-01	0.33609E-01
29	0.11002E+01	-0.20027E+00	0.99114E+00	0.16704E-01	-	-	-0.62429E-01	0.22196E-01
30	0.10966E+01	-0.20027E+00	0.99250E+00	0.16928E-01	-	-	-0.59679E-01	0.25728E-01
31	0.10140E+01	-0.20027E+00	0.98718E+00	0.20064E-01	-	-	-0.50522E-01	0.31048E-01
32	0.92844E+00	-0.20027E+00	0.98580E+00	0.14468E-01	-	-	-0.32709E-01	0.34265E-01
33	0.84268E+00	-0.20027E+00	0.99977E+00	0.15124E-01	-	-	-0.25071E-01	0.22598E-01
34	0.75692E+00	-0.20027E+00	0.10103E+01	0.13889E-01	-	-	-0.18241E-01	0.38440E-01
35	0.67128E+00	-0.20027E+00	0.10224E+01	0.14423E-01	-	-	-0.20423E-01	0.35759E-01
36	0.58564E+00	-0.20027E+00	0.10299E+01	0.15253E-01	-	-	-0.20926E-01	0.37234E-01
37	0.49976E+00	-0.20027E+00	0.10319E+01	0.14029E-01	-	-	-0.25629E-01	0.40094E-01

38	0.41400E+00	-0.20027E+00	0.10224E+01	0.15468E-01	-	-	-0.42604E-01	0.44496E-01
39	0.32836E+00	-0.20027E+00	0.10134E+01	0.17627E-01	-	-	-0.66588E-01	0.30857E-01
40	0.24260E+00	-0.20027E+00	0.99843E+00	0.20061E-01	-	-	-0.76508E-01	0.33590E-01
41	0.15696E+00	-0.20027E+00	0.96325E+00	0.19987E-01	-	-	-0.79914E-01	0.28571E-01
42	0.71326E-01	-0.20027E+00	0.93778E+00	0.20808E-01	-	-	-0.65641E-01	0.40042E-01
43	-0.14556E-01	-0.20027E+00	0.93154E+00	0.21601E-01	-	-	-0.29457E-01	0.37916E-01
44	-0.10019E+00	-0.20027E+00	0.94010E+00	0.17325E-01	-	-	0.14566E-02	0.30927E-01

I1 = 0.0827    I2 = 2.7003    I3 = 0.0728    I4 = -2.3828

Lift = 0.4730

Swept Tapered Tip

Inboard angle = 6.6 Tip angle = 2.3 Delta theta = -4.3

Circulation box no. 3 at y/c = 0.104

NPT	x/c	z/c	u/U	$\sigma_u$	v/U	$\sigma_v$	w/U	$\sigma_w$
1	-0.10044E+00	-0.19991E+00	0.94708E+00	0.14449E-01	-	-	0.69869E-02	0.26737E-01
2	-0.10044E+00	-0.13322E+00	0.92951E+00	0.15254E-01	-	-	0.26346E-01	0.23937E-01
3	-0.10044E+00	-0.66410E-01	0.91500E+00	0.17549E-01	-	-	0.45278E-01	0.27101E-01
4	-0.10044E+00	0.27892E-03	0.93086E+00	0.13042E-01	-	-	0.11554E+00	0.28701E-01
5	-0.10044E+00	0.66968E-01	0.98358E+00	0.12678E-01	-	-	0.14288E+00	0.19923E-01
6	-0.10044E+00	0.13353E+00	0.10280E+01	0.13205E-01	-	-	0.13160E+00	0.22987E-01
7	-0.10044E+00	0.20022E+00	0.10528E+01	0.11694E-01	-	-	0.11583E+00	0.20325E-01
8	-0.99830E-01	0.20022E+00	0.10541E+01	0.95225E-02	-	-	0.10122E+00	0.16187E-01
9	-0.14191E-01	0.20022E+00	0.10934E+01	0.11225E-01	-	-	0.12514E+00	0.14255E-01
10	0.71569E-01	0.20022E+00	0.11371E+01	0.16388E-01	-	-	0.10554E+00	0.24018E-01
11	0.15733E+00	0.20022E+00	0.11793E+01	0.11286E-01	-	-	0.62673E-01	0.22410E-01
12	0.24309E+00	0.20022E+00	0.11907E+01	0.11305E-01	-	-	0.14922E-01	0.23255E-01
13	0.32885E+00	0.20022E+00	0.11807E+01	0.10056E-01	-	-	-0.27135E-01	0.23240E-01
14	0.41437E+00	0.20022E+00	0.11661E+01	0.12515E-01	-	-	-0.58719E-01	0.20009E-01
15	0.50013E+00	0.20022E+00	0.11366E+01	0.11057E-01	-	-	-0.84382E-01	0.14811E-01
16	0.58588E+00	0.20022E+00	0.11152E+01	0.80291E-02	-	-	-0.90689E-01	0.18253E-01
17	0.67165E+00	0.20022E+00	0.10928E+01	0.10591E-01	-	-	-0.10049E+00	0.20560E-01
18	0.75728E+00	0.20022E+00	0.10777E+01	0.14142E-01	-	-	-0.10100E+00	0.13202E-01
19	0.84292E+00	0.20022E+00	0.10585E+01	0.12503E-01	-	-	-0.93012E-01	0.14923E-01
20	0.92868E+00	0.20022E+00	0.10439E+01	0.12302E-01	-	-	-0.91751E-01	0.16105E-01
21	0.10146E+01	0.20022E+00	0.10356E+01	0.12982E-01	-	-	-0.82071E-01	0.19977E-01
22	0.11001E+01	0.20022E+00	0.10302E+01	0.12538E-01	-	-	-0.69970E-01	0.18000E-01
23	0.11001E+01	0.19986E+00	0.10300E+01	0.13279E-01	-	-	-0.71635E-01	0.19554E-01
24	0.11001E+01	0.13317E+00	0.10208E+01	0.93623E-02	-	-	-0.77808E-01	0.16597E-01
25	0.11001E+01	0.66482E-01	0.10151E+01	0.15850E-01	-	-	-0.80123E-01	0.16768E-01
26	0.11001E+01	-0.85220E-04	0.94782E+00	0.51704E-01	-	-	-0.11765E+00	0.50642E-01
27	0.11001E+01	-0.66896E-01	0.89974E+00	0.59868E-01	-	-	-0.17008E+00	0.53404E-01
28	0.11001E+01	-0.13358E+00	0.98059E+00	0.18533E-01	-	-	-0.78011E-01	0.21363E-01
29	0.11001E+01	-0.20027E+00	0.99508E+00	0.12291E-01	-	-	-0.44113E-01	0.15619E-01
30	0.10996E+01	-0.20027E+00	0.99734E+00	0.12629E-01	-	-	-0.44581E-01	0.16674E-01
31	0.10142E+01	-0.20027E+00	0.98870E+00	0.10233E-01	-	-	-0.36510E-01	0.15825E-01
32	0.92844E+00	-0.20027E+00	0.99066E+00	0.10695E-01	-	-	-0.27056E-01	0.28954E-01
33	0.84268E+00	-0.20027E+00	0.10023E+01	0.10127E-01	-	-	-0.13290E-01	0.23060E-01
34	0.75704E+00	-0.20027E+00	0.10161E+01	0.10730E-01	-	-	-0.15357E-02	0.21230E-01
35	0.67116E+00	-0.20027E+00	0.10255E+01	0.12139E-01	-	-	-0.53697E-02	0.25655E-01
36	0.58564E+00	-0.20027E+00	0.10358E+01	0.11346E-01	-	-	-0.17331E-01	0.24847E-01
37	0.49964E+00	-0.20027E+00	0.10409E+01	0.11890E-01	-	-	-0.26568E-01	0.48270E-01

38	0.41400E+00	-0.20027E+00	0.10380E+01	0.13635E-01	-	-0.50043E-01	0.44218E-01
39	0.32848E+00	-0.20027E+00	0.10259E+01	0.13190E-01	-	-0.57568E-01	0.16091E-01
40	0.24272E+00	-0.20027E+00	0.10098E+01	0.13545E-01	-	-0.67297E-01	0.22569E-01
41	0.15696E+00	-0.20027E+00	0.98180E+00	0.16254E-01	-	-0.68748E-01	0.18552E-01
42	0.71326E-01	-0.20027E+00	0.95984E+00	0.15114E-01	-	-0.57137E-01	0.24121E-01
43	-0.14434E-01	-0.20027E+00	0.94588E+00	0.16764E-01	-	-0.38156E-01	0.29348E-01
44	-0.10007E+00	-0.20027E+00	0.94699E+00	0.12054E-01	-	0.30542E-02	0.22789E-01

I1 - 0.0708 I2 - 2.6659 I3 - 0.0760 I4 - -2.4051

Lift - 0.4076

Swept Tapered Tip

Inboard angle = 6.6 Tip angle = 2.3 Delta theta = -4.3

Circulation box no. 4 at y/c = 0.054

NPT	x/c	z/c	u/U	$\sigma_u$	v/U	$\sigma_v$	w/U	$\sigma_w$
1	-0.10019E+00	-0.20003E+00	0.94996E+00	0.12266E-01	-	-	0.47521E-02	0.31488E-01
2	-0.10019E+00	-0.15970E+00	0.93522E+00	0.14683E-01	-	-	0.16006E-01	0.23569E-01
3	-0.10019E+00	-0.11974E+00	0.92532E+00	0.14542E-01	-	-	0.23731E-01	0.27607E-01
4	-0.10019E+00	-0.79893E-01	0.91297E+00	0.12358E-01	-	-	0.41108E-01	0.24796E-01
5	-0.10019E+00	-0.39928E-01	0.91079E+00	0.13890E-01	-	-	0.78856E-01	0.23407E-01
6	-0.10019E+00	0.15778E-03	0.92969E+00	0.13183E-01	-	-	0.12333E+00	0.33554E-01
7	-0.10019E+00	0.40123E-01	0.96274E+00	0.11530E-01	-	-	0.13616E+00	0.29579E-01
8	-0.10019E+00	0.80208E-01	0.99186E+00	0.11194E-01	-	-	0.13556E+00	0.27500E-01
9	-0.10019E+00	0.12029E+00	0.10195E+01	0.10230E-01	-	-	0.12768E+00	0.28190E-01
10	-0.10019E+00	0.16026E+00	0.10377E+01	0.10143E-01	-	-	0.11698E+00	0.27758E-01
11	-0.10019E+00	0.20022E+00	0.10490E+01	0.11250E-01	-	-	0.10849E+00	0.29680E-01
12	-0.99465E-01	0.20022E+00	0.10518E+01	0.89006E-02	-	-	0.11787E+00	0.24986E-01
13	-0.14191E-01	0.20022E+00	0.10875E+01	0.76811E-02	-	-	0.11599E+00	0.35297E-01
14	0.71569E-01	0.20022E+00	0.11370E+01	0.11921E-01	-	-	0.11381E+00	0.25531E-01
15	0.15721E+00	0.20022E+00	0.11702E+01	0.11290E-01	-	-	0.90072E-01	0.44825E-01
16	0.24297E+00	0.20022E+00	0.11906E+01	0.79927E-02	-	-	0.45324E-01	0.45802E-01
17	0.32885E+00	0.20022E+00	0.11733E+01	0.79487E-02	-	-	0.14523E-01	0.58562E-01
18	0.41449E+00	0.20022E+00	0.11594E+01	0.97087E-02	-	-	-0.31024E-01	0.43467E-01
19	0.50013E+00	0.20022E+00	0.11334E+01	0.10473E-01	-	-	-0.51373E-01	0.39008E-01
20	0.58588E+00	0.20022E+00	0.11081E+01	0.74565E-02	-	-	-0.62146E-01	0.47893E-01
21	0.67165E+00	0.20022E+00	0.10930E+01	0.87110E-02	-	-	-0.81301E-01	0.28359E-01
22	0.75728E+00	0.20022E+00	0.10757E+01	0.96725E-02	-	-	-0.87860E-01	0.22158E-01
23	0.84292E+00	0.20022E+00	0.10595E+01	0.10645E-01	-	-	-0.80992E-01	0.29387E-01
24	0.92868E+00	0.20022E+00	0.10426E+01	0.10483E-01	-	-	-0.79191E-01	0.32810E-01
25	0.10144E+01	0.20022E+00	0.10319E+01	0.10000E-01	-	-	-0.73821E-01	0.26799E-01
26	0.11001E+01	0.20022E+00	0.10245E+01	0.91929E-02	-	-	-0.66594E-01	0.30967E-01
27	0.11001E+01	0.19986E+00	0.10262E+01	0.10977E-01	-	-	-0.63417E-01	0.28865E-01
28	0.11001E+01	0.15977E+00	0.10222E+01	0.90886E-02	-	-	-0.60085E-01	0.30075E-01
29	0.11001E+01	0.11993E+00	0.10183E+01	0.97942E-02	-	-	-0.68959E-01	0.31585E-01
30	0.11001E+01	0.79844E-01	0.10126E+01	0.12881E-01	-	-	-0.67861E-01	0.29210E-01
31	0.11001E+01	0.39758E-01	0.10035E+01	0.20946E-01	-	-	-0.63105E-01	0.38602E-01
32	0.11001E+01	-0.20709E-03	0.89616E+00	0.59960E-01	-	-	-0.28390E-01	0.62543E-01
33	0.11001E+01	-0.40171E-01	0.86455E+00	0.66694E-01	-	-	-0.37974E-01	0.52022E-01
34	0.11001E+01	-0.80258E-01	0.80746E+00	0.54802E-01	-	-	-0.38680E-01	0.64160E-01
35	0.11001E+01	-0.12022E+00	0.85991E+00	0.51609E-01	-	-	-0.35130E-01	0.46606E-01
36	0.11001E+01	-0.16019E+00	0.98673E+00	0.19832E-01	-	-	-0.28435E-01	0.27816E-01
37	0.11001E+01	-0.20027E+00	0.99757E+00	0.95656E-02	-	-	-0.21299E-01	0.30127E-01

38	0.10996E+01	-0.20027E+00	0.99595E+00	0.74984E-02	-	-	-0.21302E-01	0.24569E-01
39	0.10142E+01	-0.20027E+00	0.98954E+00	0.90335E-02	-	-	-0.18067E-01	0.30013E-01
40	0.92844E+00	-0.20027E+00	0.98933E+00	0.79028E-02	-	-	-0.81847E-04	0.38974E-01
41	0.84256E+00	-0.20027E+00	0.10021E+01	0.82305E-02	-	-	0.10526E-01	0.37208E-01
42	0.75704E+00	-0.20027E+00	0.10146E+01	0.97711E-02	-	-	0.26378E-01	0.36651E-01
43	0.67128E+00	-0.20027E+00	0.10260E+01	0.10088E-01	-	-	0.31493E-01	0.40090E-01
44	0.58552E+00	-0.20027E+00	0.10366E+01	0.94517E-02	-	-	0.40556E-01	0.46245E-01
45	0.49988E+00	-0.20027E+00	0.10393E+01	0.90841E-02	-	-	0.42581E-01	0.53539E-01
46	0.41412E+00	-0.20027E+00	0.10334E+01	0.99799E-02	-	-	0.42575E-01	0.48080E-01
47	0.32836E+00	-0.20027E+00	0.10347E+01	0.85395E-02	-	-	0.23939E-01	0.65673E-01
48	0.24260E+00	-0.20027E+00	0.10141E+01	0.14112E-01	-	-	-0.69307E-02	0.57939E-01
49	0.15684E+00	-0.20027E+00	0.98434E+00	0.14011E-01	-	-	-0.53994E-01	0.30973E-01
50	0.71204E-01	-0.20027E+00	0.96824E+00	0.15344E-01	-	-	-0.55198E-01	0.34936E-01
51	-0.14556E-01	-0.20027E+00	0.94712E+00	0.12097E-01	-	-	-0.35828E-01	0.35490E-01
52	-0.10019E+00	-0.20027E+00	0.95296E+00	0.11220E-01	-	-	-0.21294E-01	0.34642E-01

I1 - 0.0687 I2 - 2.6571 I3 - 0.0330 I4 - -2.4088

Lift - 0.3500



Swept Tapered Tip

Inboard angle = 6.6 Tip angle = 2.3 Delta theta = -4.3

Circulation box no. 5 at y/c = 0.003

NPT	x/c	z/c	u/U	$\sigma_u$	v/U	$\sigma_v$	w/U	$\sigma_w$
1	-0.10007E+00	-0.20015E+00	0.95064E+00	0.11045E-01	-	-	0.51418E-03	0.34756E-01
2	-0.10007E+00	-0.15970E+00	0.93902E+00	0.11116E-01	-	-	0.86233E-02	0.36665E-01
3	-0.10007E+00	-0.11986E+00	0.92261E+00	0.12515E-01	-	-	0.30700E-01	0.37628E-01
4	-0.10007E+00	-0.79893E-01	0.91410E+00	0.12377E-01	-	-	0.43270E-01	0.34579E-01
5	-0.10007E+00	-0.39807E-01	0.91228E+00	0.14177E-01	-	-	0.77036E-01	0.29823E-01
6	-0.10007E+00	0.27892E-03	0.92828E+00	0.11219E-01	-	-	0.10704E+00	0.29386E-01
7	-0.10007E+00	0.40244E-01	0.95913E+00	0.93688E-02	-	-	0.13268E+00	0.32670E-01
8	-0.10007E+00	0.80208E-01	0.99256E+00	0.10597E-01	-	-	0.14712E+00	0.33459E-01
9	-0.10007E+00	0.12029E+00	0.10165E+01	0.10020E-01	-	-	0.14087E+00	0.37066E-01
10	-0.10007E+00	0.16026E+00	0.10368E+01	0.11327E-01	-	-	0.12618E+00	0.32449E-01
11	-0.10007E+00	0.20022E+00	0.10453E+01	0.10263E-01	-	-	0.11615E+00	0.34633E-01
12	-0.99587E-01	0.20022E+00	0.10516E+01	0.85532E-02	-	-	0.11824E+00	0.30308E-01
13	-0.14191E-01	0.20022E+00	0.10837E+01	0.80307E-02	-	-	0.12496E+00	0.42414E-01
14	0.71690E-01	0.20022E+00	0.11317E+01	0.13045E-01	-	-	0.12458E+00	0.34588E-01
15	0.15745E+00	0.20022E+00	0.11735E+01	0.11350E-01	-	-	0.10344E+00	0.48462E-01
16	0.24309E+00	0.20022E+00	0.11810E+01	0.86854E-02	-	-	0.62531E-01	0.46620E-01
17	0.32873E+00	0.20022E+00	0.11756E+01	0.10538E-01	-	-	0.22481E-01	0.58506E-01
18	0.41437E+00	0.20022E+00	0.11562E+01	0.89171E-02	-	-	-0.12249E-01	0.51721E-01
19	0.50037E+00	0.20022E+00	0.11304E+01	0.88339E-02	-	-	-0.27379E-01	0.53162E-01
20	0.58601E+00	0.20022E+00	0.11102E+01	0.74312E-02	-	-	-0.66452E-01	0.38478E-01
21	0.67152E+00	0.20022E+00	0.10884E+01	0.70159E-02	-	-	-0.80712E-01	0.34722E-01
22	0.75740E+00	0.20022E+00	0.10728E+01	0.77085E-02	-	-	-0.81633E-01	0.22522E-01
23	0.84304E+00	0.20022E+00	0.10547E+01	0.78274E-02	-	-	-0.77014E-01	0.38050E-01
24	0.92868E+00	0.20022E+00	0.10436E+01	0.78274E-02	-	-	-0.77014E-01	0.38050E-01
25	0.10144E+01	0.20022E+00	0.10340E+01	0.12994E-01	-	-	-0.64725E-01	0.39430E-01
26	0.11001E+01	0.20022E+00	0.10244E+01	0.90723E-02	-	-	-0.59760E-01	0.32772E-01
27	0.11001E+01	0.19986E+00	0.10260E+01	0.67214E-02	-	-	-0.53372E-01	0.31291E-01
28	0.11001E+01	0.15977E+00	0.10218E+01	0.87416E-02	-	-	-0.52574E-01	0.35223E-01
29	0.11001E+01	0.11993E+00	0.10188E+01	0.70741E-02	-	-	-0.59911E-01	0.30613E-01
30	0.11001E+01	0.79844E-01	0.10120E+01	0.10299E-01	-	-	-0.58207E-01	0.27354E-01
31	0.11001E+01	0.39880E-01	0.10063E+01	0.80149E-02	-	-	-0.58659E-01	0.27960E-01
32	0.11001E+01	-0.85220E-04	0.10007E+01	0.99226E-02	-	-	-0.60152E-01	0.37483E-01
33	0.11001E+01	-0.40293E-01	0.81911E+00	0.15726E-01	-	-	-0.72548E-01	0.32198E-01
34	0.11001E+01	-0.80258E-01	0.78281E+00	0.65149E-01	-	-	-0.28071E-01	0.53407E-01
35	0.11001E+01	-0.12022E+00	0.91821E+00	0.46801E-01	-	-	0.12964E-01	0.51099E-01
36	0.11001E+01	-0.16019E+00	0.99545E+00	0.59534E-01	-	-	0.16115E-01	0.36032E-01
37	0.11001E+01	-0.20027E+00	0.99879E+00	0.10293E-01	-	-	0.50199E-02	0.28507E-01
				0.90188E-02	-	-	0.44899E-02	0.28196E-01

38	0.10995E+01	-0.20027E+00	0.99881E+00	0.86257E-02	-	0.11184E-02	0.29395E-01
39	0.10140E+01	-0.20027E+00	0.99594E+00	0.12101E-01	-	0.36702E-02	0.29245E-01
40	0.92844E+00	-0.20027E+00	0.99357E+00	0.91715E-02	-	0.13161E-01	0.49316E-01
41	0.84268E+00	-0.20027E+00	0.10034E+01	0.10477E-01	-	0.29405E-01	0.37295E-01
42	0.75692E+00	-0.20027E+00	0.10144E+01	0.87848E-02	-	0.34939E-01	0.43699E-01
43	0.67128E+00	-0.20027E+00	0.10288E+01	0.92390E-02	-	0.31650E-01	0.46050E-01
44	0.58564E+00	-0.20027E+00	0.10355E+01	0.79503E-02	-	0.40003E-01	0.47726E-01
45	0.49976E+00	-0.20027E+00	0.10379E+01	0.95690E-02	-	0.34475E-01	0.53136E-01
46	0.41400E+00	-0.20027E+00	0.10427E+01	0.11036E-01	-	0.22884E-01	0.51452E-01
47	0.32848E+00	-0.20027E+00	0.10311E+01	0.92395E-02	-	0.48692E-03	0.59132E-01
48	0.24272E+00	-0.20027E+00	0.10194E+01	0.13327E-01	-	-0.40644E-02	0.56103E-01
49	0.15696E+00	-0.20027E+00	0.10006E+01	0.10657E-01	-	-0.37453E-01	0.44143E-01
50	0.71326E-01	-0.20027E+00	0.96622E+00	0.13233E-01	-	-0.39443E-01	0.41912E-01
51	-0.14434E-01	-0.20027E+00	0.94959E+00	0.14893E-01	-	-0.30862E-01	0.41795E-01
52	-0.10007E+00	-0.20027E+00	0.95086E+00	0.10312E-01	-	-0.11209E-01	0.36008E-01

I1 - 0.0696 I2 - 2.6531 I3 - 0.0267 I4 - -2.4161

Lift - 0.3333

Swept Tapered Tip

Inboard angle = 6.6 Tip angle = 2.3 Delta theta = -4.3

Circulation box no. 6 at y/c = -0.047

NPT	x/c	z/c	u/U	$\sigma_u$	v/U	$\sigma_v$	w/U	$\sigma_w$
1	-0.10007E+00	-0.20015E+00	0.95267E+00	0.12906E-01	-	-	-0.29212E-02	0.39125E-01
2	-0.10007E+00	-0.15970E+00	0.94078E+00	0.15293E-01	-	-	0.19020E-01	0.36475E-01
3	-0.10007E+00	-0.11986E+00	0.92678E+00	0.12260E-01	-	-	0.26507E-01	0.36440E-01
4	-0.10007E+00	-0.79893E-01	0.91134E+00	0.13127E-01	-	-	0.51715E-01	0.39159E-01
5	-0.10007E+00	-0.39807E-01	0.91043E+00	0.15375E-01	-	-	0.82351E-01	0.29735E-01
6	-0.10007E+00	0.15778E-03	0.92679E+00	0.13283E-01	-	-	0.10388E+00	0.32994E-01
7	-0.10007E+00	0.40123E-01	0.95842E+00	0.11581E-01	-	-	0.13519E+00	0.39061E-01
8	-0.10007E+00	0.80208E-01	0.99105E+00	0.12018E-01	-	-	0.14886E+00	0.41193E-01
9	-0.10007E+00	0.12029E+00	0.10148E+01	0.97370E-02	-	-	0.14135E+00	0.36732E-01
10	-0.10007E+00	0.16026E+00	0.10318E+01	0.10943E-01	-	-	0.12307E+00	0.35004E-01
11	-0.10007E+00	0.20022E+00	0.10465E+01	0.99543E-02	-	-	0.12356E+00	0.36070E-01
12	-0.99708E-01	0.20022E+00	0.10402E+01	0.98497E-02	-	-	0.11505E+00	0.44850E-01
13	-0.14191E-01	0.20022E+00	0.10778E+01	0.92004E-02	-	-	0.12623E+00	0.34464E-01
14	0.71569E-01	0.20022E+00	0.11223E+01	0.95465E-02	-	-	0.12533E+00	0.43462E-01
15	0.15721E+00	0.20022E+00	0.11711E+01	0.98193E-02	-	-	0.12097E+00	0.52168E-01
16	0.24297E+00	0.20022E+00	0.11806E+01	0.10802E-01	-	-	0.86860E-01	0.61334E-01
17	0.32873E+00	0.20022E+00	0.11702E+01	0.10573E-01	-	-	0.55139E-01	0.69302E-01
18	0.41449E+00	0.20022E+00	0.11532E+01	0.10485E-01	-	-	0.86313E-02	0.59302E-01
19	0.50013E+00	0.20022E+00	0.11327E+01	0.77586E-02	-	-	-0.10646E-01	0.60896E-01
20	0.58588E+00	0.20022E+00	0.11138E+01	0.89257E-02	-	-	-0.31985E-01	0.52876E-01
21	0.67165E+00	0.20022E+00	0.10886E+01	0.11320E-01	-	-	-0.62708E-01	0.39501E-01
22	0.75728E+00	0.20022E+00	0.10682E+01	0.85357E-02	-	-	-0.80314E-01	0.29107E-01
23	0.84292E+00	0.20022E+00	0.10551E+01	0.10169E-01	-	-	-0.66808E-01	0.41265E-01
24	0.92880E+00	0.20022E+00	0.10417E+01	0.83448E-02	-	-	-0.62733E-01	0.49060E-01
25	0.10144E+01	0.20022E+00	0.10322E+01	0.11690E-01	-	-	-0.56463E-01	0.37525E-01
26	0.11001E+01	0.20022E+00	0.10246E+01	0.74952E-02	-	-	-0.50230E-01	0.38665E-01
27	0.11001E+01	0.19986E+00	0.10252E+01	0.89650E-02	-	-	-0.47978E-01	0.33615E-01
28	0.11001E+01	0.15977E+00	0.10203E+01	0.98464E-02	-	-	-0.49350E-01	0.33358E-01
29	0.11001E+01	0.11993E+00	0.10170E+01	0.11089E-01	-	-	-0.50717E-01	0.28047E-01
30	0.11001E+01	0.79844E-01	0.10108E+01	0.10597E-01	-	-	-0.46305E-01	0.32956E-01
31	0.11001E+01	0.39880E-01	0.10021E+01	0.93645E-02	-	-	-0.41172E-01	0.28731E-01
32	0.11001E+01	-0.85220E-04	0.99387E+00	0.98100E-02	-	-	-0.34214E-01	0.22122E-01
33	0.11001E+01	-0.40171E-01	0.81858E+00	0.66514E-01	-	-	0.87148E-02	0.49027E-01
34	0.11001E+01	-0.80258E-01	0.97075E+00	0.30518E-01	-	-	0.78989E-01	0.34940E-01
35	0.11001E+01	-0.12022E+00	0.98885E+00	0.10254E-01	-	-	0.61131E-01	0.26543E-01
36	0.11001E+01	-0.16019E+00	0.99560E+00	0.10575E-01	-	-	0.29578E-01	0.29802E-01
37	0.11001E+01	-0.20027E+00	0.99793E+00	0.86804E-02	-	-	0.18286E-01	0.28810E-01

38	0.10997E+01	-0.20027E+00	0.99712E+00	0.69998E-02	-	-	0.18500E-01	0.30672E-01
39	0.10142E+01	-0.20027E+00	0.99494E+00	0.11433E-01	-	-	0.16255E-01	0.30707E-01
40	0.92832E+00	-0.20027E+00	0.99591E+00	0.89133E-02	-	-	0.25795E-01	0.47332E-01
41	0.84268E+00	-0.20027E+00	0.10067E+01	0.89355E-02	-	-	0.33351E-01	0.34300E-01
42	0.75692E+00	-0.20027E+00	0.10139E+01	0.10431E-01	-	-	0.46332E-01	0.39522E-01
43	0.67116E+00	-0.20027E+00	0.10268E+01	0.64340E-02	-	-	0.55738E-01	0.48627E-01
44	0.58564E+00	-0.20027E+00	0.10369E+01	0.70237E-02	-	-	0.55864E-01	0.51724E-01
45	0.49964E+00	-0.20027E+00	0.10351E+01	0.70189E-02	-	-	0.55099E-01	0.52398E-01
46	0.41400E+00	-0.20027E+00	0.10406E+01	0.76817E-02	-	-	0.56806E-01	0.49600E-01
47	0.32848E+00	-0.20027E+00	0.10363E+01	0.85886E-02	-	-	0.44563E-01	0.58834E-01
48	0.24272E+00	-0.20027E+00	0.10211E+01	0.11532E-01	-	-	0.37143E-01	0.56911E-01
49	0.15696E+00	-0.20027E+00	0.10088E+01	0.12542E-01	-	-	-0.10636E-02	0.61175E-01
50	0.71326E-01	-0.20027E+00	0.97241E+00	0.16423E-01	-	-	-0.45024E-02	0.53164E-01
51	-0.14677E-01	-0.20027E+00	0.95641E+00	0.13019E-01	-	-	-0.19979E-02	0.49674E-01
52	-0.10007E+00	-0.20027E+00	0.95305E+00	0.13016E-01	-	-	0.50445E-02	0.44430E-01

I1 - 0.0714 I2 - 2.6477 I3 - 0.0042 I4 - -2.4213

Lift - 0.3020

Swept Tapered Tip

Inboard angle = 6.6 Tip angle = 2.3 Delta theta = -4.3

Circulation box no. 7 at y/c = -0.097

NPT	x/c	z/c	u/U	$\sigma_u$	v/U	$\sigma_v$	w/U	$\sigma_w$
1	-0.10044E+00	-0.20015E+00	0.95538E+00	0.11843E-01	-	-	-0.16964E-01	0.23083E-01
2	-0.10044E+00	-0.13322E+00	0.93754E+00	0.20648E-01	-	-	0.12347E-02	0.20784E-01
3	-0.10044E+00	-0.66410E-01	0.91572E+00	0.18445E-01	-	-	0.38628E-01	0.23783E-01
4	-0.10044E+00	0.27892E-03	0.93036E+00	0.16199E-01	-	-	0.87559E-01	0.22942E-01
5	-0.10044E+00	0.66968E-01	0.97499E+00	0.12895E-01	-	-	0.12146E+00	0.18917E-01
6	-0.10044E+00	0.13353E+00	0.10199E+01	0.11758E-01	-	-	0.11886E+00	0.26241E-01
7	-0.10044E+00	0.20022E+00	0.10418E+01	0.12348E-01	-	-	0.10386E+00	0.15119E-01
8	-0.99830E-01	0.20022E+00	0.10463E+01	0.14190E-01	-	-	0.10181E+00	0.18494E-01
9	-0.14191E-01	0.20022E+00	0.10755E+01	0.14777E-01	-	-	0.11206E+00	0.18433E-01
10	0.71569E-01	0.20022E+00	0.11316E+01	0.11946E-01	-	-	0.12348E+00	0.18682E-01
11	0.15721E+00	0.20022E+00	0.11644E+01	0.12714E-01	-	-	0.84158E-01	0.21145E-01
12	0.24297E+00	0.20022E+00	0.11824E+01	0.96058E-02	-	-	0.45948E-01	0.23686E-01
13	0.32885E+00	0.20022E+00	0.11716E+01	0.12590E-01	-	-	0.31436E-02	0.27906E-01
14	0.41492E+00	0.20022E+00	0.11536E+01	0.94232E-02	-	-	-0.30861E-01	0.23500E-01
15	0.50013E+00	0.20022E+00	0.11392E+01	0.10344E-01	-	-	-0.57737E-01	0.18192E-01
16	0.58601E+00	0.20022E+00	0.11117E+01	0.12843E-01	-	-	-0.75650E-01	0.22353E-01
17	0.67165E+00	0.20022E+00	0.10924E+01	0.94170E-02	-	-	-0.81243E-01	0.20564E-01
18	0.75728E+00	0.20022E+00	0.10727E+01	0.10974E-01	-	-	-0.80087E-01	0.16448E-01
19	0.84304E+00	0.20022E+00	0.10553E+01	0.10197E-01	-	-	-0.74685E-01	0.17934E-01
20	0.92868E+00	0.20022E+00	0.10458E+01	0.14604E-01	-	-	-0.69160E-01	0.21711E-01
21	0.10146E+01	0.20022E+00	0.10341E+01	0.13980E-01	-	-	-0.61931E-01	0.19433E-01
22	0.11001E+01	0.20022E+00	0.10270E+01	0.13774E-01	-	-	-0.50634E-01	0.18911E-01
23	0.11001E+01	0.19986E+00	0.10256E+01	0.11343E-01	-	-	-0.51508E-01	0.19565E-01
24	0.11001E+01	0.13317E+00	0.10155E+01	0.13970E-01	-	-	-0.50306E-01	0.15781E-01
25	0.11001E+01	0.66482E-01	0.10075E+01	0.13612E-01	-	-	-0.49835E-01	0.15649E-01
26	0.11001E+01	-0.85220E-04	0.99294E+00	0.14636E-01	-	-	-0.31489E-01	0.16161E-01
27	0.11001E+01	-0.66774E-01	0.98742E+00	0.14030E-01	-	-	0.16156E-01	0.22809E-01
28	0.11001E+01	-0.13358E+00	0.99397E+00	0.94074E-02	-	-	0.27878E-01	0.10859E-01
29	0.11001E+01	-0.20027E+00	0.99905E+00	0.15167E-01	-	-	0.16778E-01	0.22044E-01
30	0.10995E+01	-0.20027E+00	0.10016E+01	0.11500E-01	-	-	0.12401E-01	0.18597E-01
31	0.10141E+01	-0.20027E+00	0.99660E+00	0.12516E-01	-	-	0.20283E-01	0.17010E-01
32	0.92844E+00	-0.20027E+00	0.99899E+00	0.16165E-01	-	-	0.27029E-01	0.31336E-01
33	0.84256E+00	-0.20027E+00	0.10075E+01	0.13545E-01	-	-	0.30486E-01	0.23974E-01
34	0.75704E+00	-0.20027E+00	0.10173E+01	0.10613E-01	-	-	0.29622E-01	0.22959E-01
35	0.67128E+00	-0.20027E+00	0.10293E+01	0.10710E-01	-	-	0.36019E-01	0.29459E-01
36	0.58552E+00	-0.20027E+00	0.10355E+01	0.11395E-01	-	-	0.34333E-01	0.39409E-01
37	0.49988E+00	-0.20027E+00	0.10434E+01	0.13054E-01	-	-	0.25443E-01	0.38682E-01

38	0.41388E+00	-0.20027E+00	0.10449E+01	0.14990E-01	-	-	0.27539E-01	0.44170E-01
39	0.32836E+00	-0.20027E+00	0.10404E+01	0.11501E-01	-	-	0.90620E-02	0.53000E-01
40	0.24260E+00	-0.20027E+00	0.10284E+01	0.13426E-01	-	-	-0.26823E-01	0.35403E-01
41	0.15684E+00	-0.20027E+00	0.10071E+01	0.14844E-01	-	-	-0.43514E-01	0.27805E-01
42	0.71204E-01	-0.20027E+00	0.97800E+00	0.18118E-01	-	-	-0.49992E-01	0.19655E-01
43	-0.14556E-01	-0.20027E+00	0.95883E+00	0.17193E-01	-	-	-0.36213E-01	0.21475E-01
44	-0.10019E+00	-0.20027E+00	0.95808E+00	0.15655E-01	-	-	-0.10807E-01	0.27295E-01

I1 - 0.0550 I2 - 2.6514 I3 - 0.0141 I4 - -2.4285

Lift - 0.2920

Swept Tapered Tip

Inboard angle = 6.6 Tip angle = 2.3 Delta theta = -4.3

Circulation box no. 8 at y/c = -0.498

NPT	x/c	z/c	u/U	$\sigma_u$	v/U	$\sigma_v$	w/U	$\sigma_w$
1	-0.10032E+00	-0.20015E+00	0.97143E+00	0.28652E-01	-	-	-0.57373E-02	0.37627E-01
2	-0.10032E+00	-0.13322E+00	0.96003E+00	0.34784E-01	-	-	-0.46244E-02	0.34892E-01
3	-0.10032E+00	-0.66410E-01	0.93421E+00	0.34511E-01	-	-	0.24419E-01	0.26468E-01
4	-0.10032E+00	0.27892E-03	0.93233E+00	0.31254E-01	-	-	0.83024E-01	0.21756E-01
5	-0.10032E+00	0.66968E-01	0.96206E+00	0.22467E-01	-	-	0.10925E+00	0.20478E-01
6	-0.10032E+00	0.13353E+00	0.10025E+01	0.18328E-01	-	-	0.10168E+00	0.18369E-01
7	-0.10032E+00	0.20022E+00	0.10278E+01	0.18798E-01	-	-	0.94898E-01	0.18507E-01
8	-0.99708E-01	0.20022E+00	0.10276E+01	0.15942E-01	-	-	0.88388E-01	0.16800E-01
9	-0.14191E-01	0.20022E+00	0.10522E+01	0.15323E-01	-	-	0.11508E+00	0.20125E-01
10	0.71569E-01	0.20022E+00	0.10946E+01	0.14857E-01	-	-	0.11197E+00	0.18155E-01
11	0.15721E+00	0.20022E+00	0.11347E+01	0.15726E-01	-	-	0.85303E-01	0.14903E-01
12	0.24297E+00	0.20022E+00	0.11503E+01	0.13510E-01	-	-	0.47453E-01	0.28118E-01
13	0.32873E+00	0.20022E+00	0.11452E+01	0.13115E-01	-	-	0.13434E-01	0.30297E-01
14	0.41437E+00	0.20022E+00	0.11331E+01	0.11549E-01	-	-	-0.13224E-01	0.34939E-01
15	0.50025E+00	0.20022E+00	0.11170E+01	0.12876E-01	-	-	-0.42058E-01	0.23373E-01
16	0.58588E+00	0.20022E+00	0.10990E+01	0.12991E-01	-	-	-0.56076E-01	0.23696E-01
17	0.67152E+00	0.20022E+00	0.10815E+01	0.13719E-01	-	-	-0.65524E-01	0.24289E-01
18	0.75740E+00	0.20022E+00	0.10660E+01	0.15685E-01	-	-	-0.70085E-01	0.20854E-01
19	0.84304E+00	0.20022E+00	0.10511E+01	0.18259E-01	-	-	-0.66794E-01	0.32225E-01
20	0.92868E+00	0.20022E+00	0.10392E+01	0.17651E-01	-	-	-0.62289E-01	0.41705E-01
21	0.10146E+01	0.20022E+00	0.10312E+01	0.21919E-01	-	-	-0.59879E-01	0.36662E-01
22	0.11002E+01	0.20022E+00	0.10242E+01	0.22798E-01	-	-	-0.39755E-01	0.20089E-01
23	0.11002E+01	0.19986E+00	0.10176E+01	0.21552E-01	-	-	-0.37893E-01	0.14394E-01
24	0.11002E+01	0.13317E+00	0.10176E+01	0.19582E-01	-	-	-0.38598E-01	0.11107E-01
25	0.11002E+01	0.66482E-01	0.10053E+01	0.17759E-01	-	-	-0.36474E-01	0.10366E-01
26	0.11002E+01	-0.20709E-03	0.99055E+00	0.19714E-01	-	-	-0.30184E-01	0.12137E-01
27	0.11002E+01	-0.66896E-01	0.98392E+00	0.19721E-01	-	-	0.34607E-02	0.12979E-01
28	0.11002E+01	-0.13358E+00	0.99271E+00	0.19373E-01	-	-	0.77816E-02	0.81352E-02
29	0.11002E+01	-0.20027E+00	0.99714E+00	0.17650E-01	-	-	0.98558E-02	0.94037E-02
30	0.10997E+01	-0.20027E+00	0.99918E+00	0.18694E-01	-	-	0.10647E-01	0.19902E-01
31	0.10141E+01	-0.20027E+00	0.99599E+00	0.13166E-01	-	-	0.20107E-01	0.32526E-01
32	0.92844E+00	-0.20027E+00	0.99836E+00	0.11365E-01	-	-	-0.26261E-02	0.51012E-01
33	0.84244E+00	-0.20027E+00	0.10077E+01	0.11241E-01	-	-	-0.88044E-01	0.62844E-01
34	0.75692E+00	-0.20027E+00	0.10201E+01	0.11768E-01	-	-	-0.12164E+00	0.47944E-01
35	0.67128E+00	-0.20027E+00	0.10316E+01	0.11548E-01	-	-	-0.14948E+00	0.51016E-01
36	0.58564E+00	-0.20027E+00	0.10395E+01	0.10687E-01	-	-	-0.16506E+00	0.52143E-01
37	0.49964E+00	-0.20027E+00	0.10459E+01	0.11054E-01	-	-	-0.20615E+00	0.45930E-01

38	0.41400E+00	-0.20027E+00	0.10507E+01	0.11058E-01	-	-0.23763E+00	0.49981E-01
39	0.32836E+00	-0.20027E+00	0.10489E+01	0.13203E-01	-	-0.26780E+00	0.50547E-01
40	0.24272E+00	-0.20027E+00	0.10392E+01	0.12948E-01	-	-0.27425E+00	0.49668E-01
41	0.15672E+00	-0.20027E+00	0.10236E+01	0.14551E-01	-	-0.29201E+00	0.43397E-01
42	0.71083E-01	-0.20027E+00	0.99769E+00	0.16210E-01	-	-0.29009E+00	0.41924E-01
43	-0.14677E-01	-0.20027E+00	0.97120E+00	0.18666E-01	-	-0.29336E+00	0.45268E-01
44	-0.10032E+00	-0.20027E+00	0.96391E+00	0.15342E-01	-	-0.31955E+00	0.44224E-01

I1 = 0.0479    I2 = 2.6096    I3 = 0.0150    I4 = -2.4431

Lift = 0.2294



Swept Tapered Tip

Inboard angle = 6.6 Tip angle = 2.3 Delta theta = -4.3

Circulation box no. 9 at y/c = -1.001

NPT	x/c	z/c	u/U	$\sigma_u$	v/U	$\sigma_v$	w/U	$\sigma_w$
1	-0.99708E-01	-0.20003E+00	0.99984E+00	0.11998E-01	-	-	0.19501E-01	0.15612E-01
2	-0.99708E-01	-0.13322E+00	0.99782E+00	0.97734E-02	-	-	0.29588E-01	0.15891E-01
3	-0.99708E-01	-0.66410E-01	0.99733E+00	0.96929E-02	-	-	0.32464E-01	0.14046E-01
4	-0.99708E-01	0.27892E-03	0.10006E+01	0.10893E-01	-	-	0.40258E-01	0.12740E-01
5	-0.99708E-01	0.66968E-01	0.10069E+01	0.92132E-02	-	-	0.40633E-01	0.15233E-01
6	-0.99708E-01	0.13353E+00	0.10148E+01	0.97487E-02	-	-	0.46953E-01	0.15751E-01
7	-0.99708E-01	0.20022E+00	0.10198E+01	0.94334E-02	-	-	0.52109E-01	0.14896E-01
8	-0.10019E+00	0.20022E+00	0.10210E+01	0.10420E-01	-	-	0.51194E-01	0.14893E-01
9	-0.14070E-01	0.20022E+00	0.10224E+01	0.11430E-01	-	-	0.56878E-01	0.19038E-01
10	0.71690E-01	0.20022E+00	0.10305E+01	0.10066E-01	-	-	0.61680E-01	0.14503E-01
11	0.15733E+00	0.20022E+00	0.10496E+01	0.99601E-02	-	-	0.75111E-01	0.13965E-01
12	0.24297E+00	0.20022E+00	0.10712E+01	0.12572E-01	-	-	0.79675E-01	0.17859E-01
13	0.32873E+00	0.20022E+00	0.10891E+01	0.11181E-01	-	-	0.63641E-01	0.12824E-01
14	0.41437E+00	0.20022E+00	0.11002E+01	0.11784E-01	-	-	0.37370E-01	0.16591E-01
15	0.50037E+00	0.20022E+00	0.11049E+01	0.11431E-01	-	-	0.16731E-01	0.14664E-01
16	0.58601E+00	0.20022E+00	0.10947E+01	0.10110E-01	-	-	-0.10006E-01	0.13532E-01
17	0.67152E+00	0.20022E+00	0.10865E+01	0.10855E-01	-	-	-0.26623E-01	0.13999E-01
18	0.75740E+00	0.20022E+00	0.10691E+01	0.11578E-01	-	-	-0.36196E-01	0.13102E-01
19	0.84304E+00	0.20022E+00	0.10563E+01	0.11234E-01	-	-	-0.40400E-01	0.12312E-01
20	0.92880E+00	0.20022E+00	0.10391E+01	0.11455E-01	-	-	-0.45122E-01	0.15070E-01
21	0.10144E+01	0.20022E+00	0.10291E+01	0.10114E-01	-	-	-0.41394E-01	0.12919E-01
22	0.11002E+01	0.20022E+00	0.10218E+01	0.10609E-01	-	-	-0.30505E-01	0.11634E-01
23	0.11002E+01	0.19986E+00	0.10204E+01	0.12911E-01	-	-	-0.24716E-01	0.12425E-01
24	0.11002E+01	0.13317E+00	0.10164E+01	0.11327E-01	-	-	-0.34725E-01	0.11223E-01
25	0.11002E+01	0.66482E-01	0.10026E+01	0.10676E-01	-	-	-0.38475E-01	0.12898E-01
26	0.11002E+01	-0.20709E-03	0.99081E+00	0.10663E-01	-	-	-0.39148E-01	0.12475E-01
27	0.11002E+01	-0.66896E-01	0.98494E+00	0.14503E-01	-	-	-0.87379E-02	0.83729E-02
28	0.11002E+01	-0.13358E+00	0.99353E+00	0.88671E-02	-	-	0.33083E-02	0.11566E-01
29	0.11002E+01	-0.20027E+00	0.10004E+01	0.10214E-01	-	-	0.33066E-02	0.11566E-01
30	0.10997E+01	-0.20027E+00	0.99911E+00	0.11445E-01	-	-	0.54033E-02	0.11424E-01
31	0.10141E+01	-0.20027E+00	0.10008E+01	0.11206E-01	-	-	0.16084E-01	0.96800E-02
32	0.92844E+00	-0.20027E+00	0.10065E+01	0.11297E-01	-	-	0.10277E-01	0.40248E-01
33	0.84256E+00	-0.20027E+00	0.10142E+01	0.10136E-01	-	-	-0.47616E-01	0.52067E-01
34	0.75704E+00	-0.20027E+00	0.10280E+01	0.11408E-01	-	-	-0.85386E-01	0.47951E-01
35	0.67128E+00	-0.20027E+00	0.10362E+01	0.92151E-02	-	-	-0.12052E+00	0.50858E-01
36	0.58540E+00	-0.20027E+00	0.10427E+01	0.13142E-01	-	-	-0.16003E+00	0.49753E-01
37	0.49976E+00	-0.20027E+00	0.10385E+01	0.14034E-01	-	-	-0.18492E+00	0.47881E-01

38	0.41400E+00	-0.20027E+00	0.10287E+01	0.13483E-01	-	-0.96821E-01	0.75714E-01
39	0.32836E+00	-0.20027E+00	0.10160E+01	0.11793E-01	-	-0.10975E+00	0.48914E-01
40	0.24260E+00	-0.20027E+00	0.10004E+01	0.11947E-01	-	-0.13221E+00	0.53513E-01
41	0.15684E+00	-0.20027E+00	0.99870E+00	0.11273E-01	-	-0.67049E-01	0.62099E-01
42	0.71204E-01	-0.20027E+00	0.99261E+00	0.97777E-02	-	0.60900E-02	0.33304E-01
43	-0.14556E-01	-0.20027E+00	0.99664E+00	0.10113E-01	-	0.18054E-01	0.14427E-01
44	-0.10019E+00	-0.20027E+00	0.99803E+00	0.11142E-01	-	0.13044E-01	0.20228E-01

I1 = 0.0304    I2 = 2.5488    I3 = 0.0177    I4 = -2.4342

Lift = 0.1627

Swept Tapered Tip

Inboard angle = 6.6 Tip angle = 2.3 Delta theta = -4.3

Circulation box no. 10 at y/c = -1.001

NPT	x/c	z/c	u/U	$\sigma_u$	v/U	$\sigma_v$	w/U	$\sigma_w$
1	-0.10032E+00	-0.20015E+00	0.10005E+01	0.73360E-02	-	-	0.21626E-01	0.15984E-01
2	-0.10032E+00	-0.13322E+00	0.99880E+00	0.58834E-02	-	-	0.16220E-01	0.14419E-01
3	-0.10032E+00	-0.66531E-01	0.10004E+01	0.69762E-02	-	-	0.85520E-02	0.16073E-01
4	-0.10032E+00	0.15778E-03	0.10040E+01	0.70640E-02	-	-	0.44727E-01	0.18936E-01
5	-0.10032E+00	0.66846E-01	0.10101E+01	0.72887E-02	-	-	0.43285E-01	0.12621E-01
6	-0.10032E+00	0.13341E+00	0.10178E+01	0.62155E-02	-	-	0.61913E-01	0.10320E-01
7	-0.10032E+00	0.20010E+00	0.10253E+01	0.61582E-02	-	-	0.61376E-01	0.12466E-01
8	-0.99708E-01	0.20010E+00	0.10249E+01	0.65612E-02	-	-	0.43475E-01	0.13082E-01
9	-0.14070E-01	0.20010E+00	0.10271E+01	0.72342E-02	-	-	0.46051E-01	0.14767E-01
10	0.71569E-01	0.20010E+00	0.10401E+01	0.66792E-02	-	-	0.55686E-01	0.11855E-01
11	0.15721E+00	0.20010E+00	0.10588E+01	0.10176E-01	-	-	0.50694E-01	0.14078E-01
12	0.24321E+00	0.20010E+00	0.10792E+01	0.76435E-02	-	-	0.80364E-01	0.13668E-01
13	0.32885E+00	0.20010E+00	0.10975E+01	0.68517E-02	-	-	0.64917E-01	0.13609E-01
14	0.41437E+00	0.20010E+00	0.11024E+01	0.77723E-02	-	-	0.26871E-01	0.12897E-01
15	0.50013E+00	0.20010E+00	0.11042E+01	0.65015E-02	-	-	0.17416E-02	0.11314E-01
16	0.58601E+00	0.20010E+00	0.11011E+01	0.76188E-02	-	-	-0.14320E-01	0.16077E-01
17	0.67165E+00	0.20010E+00	0.10887E+01	0.96952E-02	-	-	-0.33858E-01	0.13490E-01
18	0.75728E+00	0.20010E+00	0.10742E+01	0.68721E-02	-	-	-0.38539E-01	0.10255E-01
19	0.84316E+00	0.20010E+00	0.10576E+01	0.72149E-02	-	-	-0.43389E-01	0.10984E-01
20	0.92868E+00	0.20010E+00	0.10422E+01	0.74006E-02	-	-	-0.41465E-01	0.15215E-01
21	0.10144E+01	0.20010E+00	0.10309E+01	0.73075E-02	-	-	-0.33894E-01	0.98852E-02
22	0.11002E+01	0.20010E+00	0.10241E+01	0.69342E-02	-	-	-0.32531E-01	0.16500E-01
23	0.11002E+01	0.19998E+00	0.10260E+01	0.62725E-02	-	-	-0.30933E-01	0.14195E-01
24	0.11002E+01	0.13317E+00	0.10164E+01	0.59431E-02	-	-	-0.34722E-01	0.14991E-01
25	0.11002E+01	0.66603E-01	0.10062E+01	0.73398E-02	-	-	-0.37578E-01	0.12207E-01
26	0.11002E+01	-0.85220E-04	0.99165E+00	0.94144E-02	-	-	-0.34300E-01	0.78240E-02
27	0.11002E+01	-0.66774E-01	0.99138E+00	0.12428E-01	-	-	-0.38388E-02	0.14225E-01
28	0.11002E+01	-0.13346E+00	0.99517E+00	0.65145E-02	-	-	-0.38388E-02	0.11751E-01
29	0.11002E+01	-0.20015E+00	0.10038E+01	0.69247E-02	-	-	0.15567E-02	0.13307E-01
30	0.10996E+01	-0.20015E+00	0.10038E+01	0.78308E-02	-	-	0.10574E-02	0.11711E-01
31	0.10140E+01	-0.20015E+00	0.10024E+01	0.76615E-02	-	-	0.15170E-01	0.10098E-01
32	0.92844E+00	-0.20015E+00	0.10045E+01	0.65715E-02	-	-	-0.18285E-02	0.44597E-01
33	0.84244E+00	-0.20015E+00	0.10163E+01	0.67715E-02	-	-	-0.51319E-01	0.46398E-01
34	0.75692E+00	-0.20015E+00	0.10326E+01	0.64623E-02	-	-	-0.88659E-01	0.49930E-01
35	0.67116E+00	-0.20015E+00	0.10359E+01	0.81275E-02	-	-	-0.11347E+00	0.42118E-01
36	0.58540E+00	-0.20015E+00	0.10468E+01	0.91340E-02	-	-	-0.13691E+00	0.52487E-01
37	0.49976E+00	-0.20015E+00	0.10392E+01	0.69484E-02	-	-	-0.15967E+00	0.44619E-01

38	0.41412E+00	-0.20015E+00	0.10353E+01	0.69940E-02	-	-	-0.70635E-01	0.67727E-01
39	0.32848E+00	-0.20015E+00	0.10161E+01	0.79766E-02	-	-	-0.85944E-01	0.45142E-01
40	0.24272E+00	-0.20015E+00	0.10059E+01	0.11774E-01	-	-	-0.97234E-01	0.49671E-01
41	0.15684E+00	-0.20015E+00	0.99809E+00	0.10944E-01	-	-	-0.10948E+00	0.50964E-01
42	0.71204E-01	-0.20015E+00	0.99680E+00	0.62305E-02	-	-	-0.78361E-01	0.63513E-01
43	-0.14556E-01	-0.20015E+00	0.99983E+00	0.94225E-02	-	-	0.26540E-02	0.24659E-01
44	-0.10019E+00	-0.20015E+00	0.10024E+01	0.64608E-02	-	-	0.14521E-02	0.12709E-01

I1 = 0.0301    I2 = 2.5592    I3 = 0.0194    I4 = -2.4389

Lift = 0.1699

Swept Tapered Tip

Inboard angle = 6.6 Tip angle = 2.3 Delta theta = -4.3

Circulation box no. 11 at y/c = -1.403

NPT	x/c	z/c	u/U	$\sigma_u$	v/U	$\sigma_v$	w/U	$\sigma_w$
1	-0.10019E+00	-0.20015E+00	0.10156E+01	0.72077E-02	-	-	0.22911E-01	0.13098E-01
2	-0.10019E+00	-0.13322E+00	0.10166E+01	0.61632E-02	-	-	0.28847E-01	0.14391E-01
3	-0.10019E+00	-0.66410E-01	0.10182E+01	0.76481E-02	-	-	0.34483E-01	0.11710E-01
4	-0.10019E+00	0.27892E-03	0.10181E+01	0.15263E-01	-	-	0.30557E-01	0.12871E-01
5	-0.10019E+00	0.66968E-01	0.10200E+01	0.68420E-02	-	-	0.31881E-01	0.12162E-01
6	-0.10019E+00	0.13353E+00	0.10213E+01	0.72959E-02	-	-	0.27073E-01	0.11545E-01
7	-0.10019E+00	0.20022E+00	0.10201E+01	0.77075E-02	-	-	0.31427E-01	0.16473E-01
8	-0.99708E-01	0.20022E+00	0.10246E+01	0.53544E-02	-	-	0.28277E-01	0.14262E-01
9	-0.14070E-01	0.20022E+00	0.10254E+01	0.85541E-02	-	-	0.30279E-01	0.15091E-01
10	0.71690E-01	0.20022E+00	0.10254E+01	0.80377E-02	-	-	0.42107E-01	0.14743E-01
11	0.15733E+00	0.20022E+00	0.10334E+01	0.93844E-02	-	-	0.38799E-01	0.13618E-01
12	0.24297E+00	0.20022E+00	0.10336E+01	0.80832E-02	-	-	0.40682E-01	0.15785E-01
13	0.32873E+00	0.20022E+00	0.10397E+01	0.70006E-02	-	-	0.52019E-01	0.15145E-01
14	0.41437E+00	0.20022E+00	0.10450E+01	0.75269E-02	-	-	0.49085E-01	0.15987E-01
15	0.50037E+00	0.20022E+00	0.10518E+01	0.76771E-02	-	-	0.46195E-01	0.11707E-01
16	0.58588E+00	0.20022E+00	0.10643E+01	0.92013E-02	-	-	0.43029E-01	0.11724E-01
17	0.67152E+00	0.20022E+00	0.10634E+01	0.82349E-02	-	-	0.32600E-01	0.11844E-01
18	0.75740E+00	0.20022E+00	0.10628E+01	0.82006E-02	-	-	0.19716E-01	0.14658E-01
19	0.84292E+00	0.20022E+00	0.10515E+01	0.61620E-02	-	-	0.29928E-02	0.10985E-01
20	0.92880E+00	0.20022E+00	0.10424E+01	0.71415E-02	-	-	0.37086E-02	0.15364E-01
21	0.10144E+01	0.20022E+00	0.10327E+01	0.66591E-02	-	-	0.48064E-02	0.13522E-01
22	0.11002E+01	0.20022E+00	0.10262E+01	0.68347E-02	-	-	0.60964E-02	0.13030E-01
23	0.11002E+01	0.19986E+00	0.10270E+01	0.70316E-02	-	-	0.64010E-02	0.10049E-01
24	0.11002E+01	0.13317E+00	0.10227E+01	0.74186E-02	-	-	0.61521E-02	0.99669E-02
25	0.11002E+01	0.66482E-01	0.10130E+01	0.68630E-02	-	-	-0.21314E-04	0.11347E-01
26	0.11002E+01	-0.20709E-03	0.10032E+01	0.85905E-02	-	-	-0.14313E-01	0.98090E-02
27	0.11002E+01	-0.66896E-01	0.10015E+01	0.80610E-02	-	-	0.68225E-02	0.10742E-01
28	0.11002E+01	-0.13358E+00	0.10088E+01	0.71000E-02	-	-	0.29122E-01	0.81401E-02
29	0.11002E+01	-0.20027E+00	0.10136E+01	0.78038E-02	-	-	0.31257E-01	0.97532E-02
30	0.10997E+01	-0.20027E+00	0.10130E+01	0.69959E-02	-	-	0.33823E-01	0.10980E-01
31	0.10141E+01	-0.20027E+00	0.10137E+01	0.82645E-02	-	-	0.41907E-01	0.10229E-01
32	0.92844E+00	-0.20027E+00	0.10246E+01	0.63290E-01	-	-	0.25508E-01	0.45365E-01
33	0.84256E+00	-0.20027E+00	0.10320E+01	0.72640E-02	-	-	0.62945E-02	0.42257E-01
34	0.75704E+00	-0.20027E+00	0.10329E+01	0.10529E-01	-	-	-0.19531E-01	0.43357E-01
35	0.67128E+00	-0.20027E+00	0.10303E+01	0.98697E-02	-	-	-0.33611E-01	0.43895E-01
36	0.58552E+00	-0.20027E+00	0.10214E+01	0.75710E-02	-	-	-0.48873E-01	0.47510E-01
37	0.49988E+00	-0.20027E+00	0.10173E+01	0.68641E-02	-	-	-0.62230E-01	0.44027E-01

38	0.41412E+00	-0.20027E+00	0.10151E+01	0.70073E-02	-	-0.85014E-01	0.46881E-01
39	0.32848E+00	-0.20027E+00	0.10160E+01	0.67369E-02	-	-0.10941E+00	0.45089E-01
40	0.24272E+00	-0.20027E+00	0.10163E+01	0.70842E-02	-	-0.96301E-01	0.57816E-01
41	0.15696E+00	-0.20027E+00	0.10147E+01	0.71478E-02	-	-0.65948E-02	0.47665E-01
42	0.71326E-01	-0.20027E+00	0.10137E+01	0.65814E-02	-	-0.86009E-02	0.44446E-01
43	-0.14434E-01	-0.20027E+00	0.10146E+01	0.77768E-02	-	0.24826E-01	0.14115E-01
44	-0.10007E+00	-0.20027E+00	0.10160E+01	0.64370E-02	-	0.27288E-01	0.19115E-01

I1 = 0.0237    I2 = 2.5022    I3 = -0.0060    I4 = -2.4475

Lift = 0.0724

Swept Tapered Tip

Inboard angle = 6.6 Tip angle = 2.3 Delta theta = -4.3

Circulation box no. 12 at y/c = -1.452

NPT	x/c	z/c	u/U	$\sigma_u$	v/U	$\sigma_v$	w/U	$\sigma_w$
1	-0.10019E+00	-0.20003E+00	0.10189E+01	0.65625E-02	-	-	0.15650E-01	0.19759E-01
2	-0.10019E+00	-0.15982E+00	0.10201E+01	0.85362E-02	-	-	0.21455E-01	0.17318E-01
3	-0.10019E+00	-0.11986E+00	0.10206E+01	0.87142E-02	-	-	0.21414E-01	0.18591E-01
4	-0.10019E+00	-0.79893E-01	0.10206E+01	0.89601E-02	-	-	0.20141E-01	0.16851E-01
5	-0.10019E+00	-0.39928E-01	0.10193E+01	0.80646E-02	-	-	0.25545E-01	0.19720E-01
6	-0.10019E+00	0.15778E-03	0.10254E+01	0.21306E-01	-	-	0.21768E-01	0.18814E-01
7	-0.10019E+00	0.40123E-01	0.10217E+01	0.83739E-02	-	-	0.31281E-01	0.18844E-01
8	-0.10019E+00	0.80087E-01	0.10246E+01	0.82866E-02	-	-	0.23480E-01	0.17858E-01
9	-0.10019E+00	0.12017E+00	0.10254E+01	0.70861E-02	-	-	0.25001E-01	0.18609E-01
10	-0.10019E+00	0.16014E+00	0.10249E+01	0.85597E-02	-	-	0.26658E-01	0.18960E-01
11	-0.10019E+00	0.20010E+00	0.10256E+01	0.72385E-02	-	-	0.31262E-01	0.17541E-01
12	-0.99708E-01	0.20010E+00	0.10276E+01	0.77104E-02	-	-	0.29647E-01	0.20834E-01
13	-0.14191E-01	0.20010E+00	0.10242E+01	0.95470E-02	-	-	0.26979E-01	0.15298E-01
14	0.71569E-01	0.20010E+00	0.10276E+01	0.90343E-02	-	-	0.27081E-01	0.19964E-01
15	0.15721E+00	0.20010E+00	0.10313E+01	0.87647E-02	-	-	0.41405E-01	0.29069E-01
16	0.24297E+00	0.20010E+00	0.10325E+01	0.76813E-02	-	-	0.35069E-01	0.23441E-01
17	0.32897E+00	0.20010E+00	0.10384E+01	0.74984E-02	-	-	0.45769E-01	0.20253E-01
18	0.41449E+00	0.20010E+00	0.10443E+01	0.88080E-02	-	-	0.46071E-01	0.16619E-01
19	0.50025E+00	0.20010E+00	0.10486E+01	0.72510E-02	-	-	0.45304E-01	0.18363E-01
20	0.58588E+00	0.20010E+00	0.10582E+01	0.74114E-02	-	-	0.46595E-01	0.17835E-01
21	0.67152E+00	0.20010E+00	0.10612E+01	0.64280E-02	-	-	0.40776E-01	0.12913E-01
22	0.75740E+00	0.20010E+00	0.10586E+01	0.83108E-02	-	-	0.22849E-01	0.13625E-01
23	0.84304E+00	0.20010E+00	0.10505E+01	0.68864E-02	-	-	0.13150E-01	0.17344E-01
24	0.92868E+00	0.20010E+00	0.10436E+01	0.97109E-02	-	-	0.13800E-01	0.22007E-01
25	0.10146E+01	0.20010E+00	0.10328E+01	0.10034E-01	-	-	0.45425E-02	0.15038E-01
26	0.11001E+01	0.20010E+00	0.10304E+01	0.72130E-02	-	-	0.16982E-01	0.17723E-01
27	0.11001E+01	0.19998E+00	0.10282E+01	0.82365E-02	-	-	0.15044E-01	0.16813E-01
28	0.11001E+01	0.15989E+00	0.10275E+01	0.85988E-02	-	-	0.14846E-01	0.19148E-01
29	0.11001E+01	0.11993E+00	0.10246E+01	0.77869E-02	-	-	0.16647E-01	0.16176E-01
30	0.11001E+01	0.79844E-01	0.10202E+01	0.83592E-02	-	-	0.17593E-01	0.14399E-01
31	0.11001E+01	0.39880E-01	0.10142E+01	0.69417E-02	-	-	0.14599E-01	0.14335E-01
32	0.11001E+01	-0.85220E-04	0.10089E+01	0.88801E-02	-	-	-0.13209E-01	0.13256E-01
33	0.11001E+01	-0.40171E-01	0.99568E+00	0.32586E-01	-	-	-0.56941E-01	0.40877E-01
34	0.11001E+01	-0.80136E-01	0.10096E+01	0.90421E-02	-	-	0.28201E-01	0.16775E-01
35	0.11001E+01	-0.12010E+00	0.10121E+01	0.76210E-02	-	-	0.46645E-01	0.14419E-01
36	0.11001E+01	-0.16007E+00	0.10154E+01	0.81624E-02	-	-	0.40843E-01	0.14360E-01
37	0.11001E+01	-0.20027E+00	0.10181E+01	0.82559E-02	-	-	0.44797E-01	0.15674E-01

38	0.10995E+01	-0.20027E+00	0.10151E+01	0.11875E-01	-	0.41665E-01	0.12453E-01
39	0.10142E+01	-0.20027E+00	0.10198E+01	0.10179E-01	-	0.45039E-01	0.14532E-01
40	0.92832E+00	-0.20027E+00	0.10239E+01	0.68681E-02	-	0.66148E-01	0.38366E-01
41	0.84256E+00	-0.20027E+00	0.10372E+01	0.80015E-02	-	0.52238E-01	0.44764E-01
42	0.75704E+00	-0.20027E+00	0.10375E+01	0.90361E-02	-	0.35552E-01	0.50221E-01
43	0.67116E+00	-0.20027E+00	0.10288E+01	0.10278E-01	-	0.47701E-01	0.47718E-01
44	0.58564E+00	-0.20027E+00	0.10217E+01	0.10183E-01	-	0.41797E-01	0.48364E-01
45	0.49988E+00	-0.20027E+00	0.10208E+01	0.88710E-02	-	0.35859E-01	0.49629E-01
46	0.41388E+00	-0.20027E+00	0.10195E+01	0.69496E-02	-	0.26536E-01	0.46586E-01
47	0.32836E+00	-0.20027E+00	0.10166E+01	0.71343E-02	-	0.24301E-01	0.44726E-01
48	0.24260E+00	-0.20027E+00	0.10163E+01	0.84163E-02	-	0.31103E-01	0.41058E-01
49	0.15696E+00	-0.20027E+00	0.10197E+01	0.86736E-02	-	0.27046E-01	0.25054E-01
50	0.71326E-01	-0.20027E+00	0.10148E+01	0.66279E-02	-	0.31507E-01	0.46151E-01
51	-0.14677E-01	-0.20027E+00	0.10188E+01	0.10459E-01	-	0.21310E-01	0.16054E-01
52	-0.10032E+00	-0.20027E+00	0.10177E+01	0.82545E-02	-	0.21488E-01	0.17548E-01

I1 = 0.0189 I2 = 2.4992 I3 = -0.0121 I4 = -2.4541

Lift = 0.0518



Swept Tapered Tip

Inboard angle = 6.6 Tip angle = 2.3 Delta theta = -4.3

Circulation box no. 13 at y/c = -1.473

NPT	x/c	z/c	u/U	$\sigma_u$	v/U	$\sigma_v$	w/U	$\sigma_w$
1	-0.10032E+00	-0.20003E+00	0.10181E+01	0.69155E-02	-	-	0.26822E-01	0.17759E-01
2	-0.10032E+00	-0.15982E+00	0.10188E+01	0.75137E-02	-	-	0.22709E-01	0.16404E-01
3	-0.10032E+00	-0.11986E+00	0.10197E+01	0.79951E-02	-	-	0.26112E-01	0.17310E-01
4	-0.10032E+00	-0.79893E-01	0.10185E+01	0.61274E-02	-	-	0.19325E-01	0.12193E-01
5	-0.10032E+00	-0.39928E-01	0.10207E+01	0.80314E-02	-	-	0.15493E-01	0.11466E-01
6	-0.10032E+00	0.15778E-03	0.10312E+01	0.25572E-01	-	-	0.26466E-01	0.17313E-01
7	-0.10032E+00	0.40123E-01	0.10226E+01	0.68087E-02	-	-	0.28411E-01	0.13111E-01
8	-0.10032E+00	0.80087E-01	0.10238E+01	0.86584E-02	-	-	0.32292E-01	0.18528E-01
9	-0.10032E+00	0.12017E+00	0.10255E+01	0.68883E-02	-	-	0.25242E-01	0.17246E-01
10	-0.10032E+00	0.16026E+00	0.10257E+01	0.75498E-02	-	-	0.25815E-01	0.16276E-01
11	-0.10032E+00	0.20010E+00	0.10258E+01	0.68533E-02	-	-	0.32709E-01	0.19258E-01
12	-0.99587E-01	0.20010E+00	0.10270E+01	0.69388E-02	-	-	0.19903E-01	0.12695E-01
13	-0.13949E-01	0.20010E+00	0.10285E+01	0.66006E-02	-	-	0.35093E-01	0.16491E-01
14	0.71811E-01	0.20010E+00	0.10289E+01	0.73725E-02	-	-	0.34051E-01	0.21510E-01
15	0.15733E+00	0.20010E+00	0.10331E+01	0.94365E-02	-	-	0.44593E-01	0.22130E-01
16	0.24309E+00	0.20010E+00	0.10330E+01	0.85487E-02	-	-	0.31422E-01	0.25498E-01
17	0.32873E+00	0.20010E+00	0.10379E+01	0.60465E-02	-	-	0.42582E-01	0.27582E-01
18	0.41437E+00	0.20010E+00	0.10416E+01	0.68368E-02	-	-	0.40052E-01	0.16965E-01
19	0.50037E+00	0.20010E+00	0.10494E+01	0.77099E-02	-	-	0.46854E-01	0.17287E-01
20	0.58601E+00	0.20010E+00	0.10528E+01	0.62900E-02	-	-	0.42450E-01	0.15317E-01
21	0.67165E+00	0.20010E+00	0.10567E+01	0.85004E-02	-	-	0.33781E-01	0.14468E-01
22	0.75753E+00	0.20010E+00	0.10577E+01	0.88362E-02	-	-	0.26891E-01	0.13894E-01
23	0.84304E+00	0.20010E+00	0.10507E+01	0.84731E-02	-	-	0.11468E-01	0.14324E-01
24	0.92868E+00	0.20010E+00	0.10416E+01	0.75763E-02	-	-	0.14323E-01	0.18205E-01
25	0.10144E+01	0.20010E+00	0.10359E+01	0.83494E-02	-	-	0.11185E-01	0.13797E-01
26	0.11002E+01	0.20010E+00	0.10300E+01	0.68441E-02	-	-	0.18269E-01	0.16305E-01
27	0.11002E+01	0.19998E+00	0.10278E+01	0.76519E-02	-	-	0.13902E-01	0.20043E-01
28	0.11002E+01	0.15989E+00	0.10267E+01	0.76157E-02	-	-	0.22258E-01	0.20051E-01
29	0.11002E+01	0.11993E+00	0.10222E+01	0.86441E-02	-	-	0.20175E-01	0.17487E-01
30	0.11002E+01	0.79844E-01	0.10198E+01	0.67474E-02	-	-	0.26212E-01	0.17519E-01
31	0.11002E+01	0.39880E-01	0.10137E+01	0.78569E-02	-	-	0.36791E-01	0.18802E-01
32	0.11002E+01	-0.85220E-04	0.10066E+01	0.84770E-02	-	-	0.25221E-01	0.22391E-01
33	0.11002E+01	-0.40171E-01	0.96683E+00	0.40399E-01	-	-	-0.20871E-01	0.65617E-01
34	0.11002E+01	-0.80136E-01	0.10130E+01	0.75350E-02	-	-	0.51960E-01	0.19709E-01
35	0.11002E+01	-0.12010E+00	0.10147E+01	0.84156E-02	-	-	0.54710E-01	0.17005E-01
36	0.11002E+01	-0.16007E+00	0.10165E+01	0.81700E-02	-	-	0.46226E-01	0.15570E-01
37	0.11002E+01	-0.20015E+00	0.10165E+01	0.76369E-02	-	-	0.42133E-01	0.14444E-01

38	0.10995E+01	-0.20015E+00	0.10181E+01	0.78966E-02	-	-	0.43013E-01	0.18600E-01
39	0.10140E+01	-0.20015E+00	0.10191E+01	0.62662E-02	-	-	0.52908E-01	0.15438E-01
40	0.92832E+00	-0.20015E+00	0.10250E+01	0.98151E-02	-	-	0.55907E-01	0.44250E-01
41	0.84244E+00	-0.20015E+00	0.10323E+01	0.70250E-02	-	-	0.44739E-01	0.44395E-01
42	0.75692E+00	-0.20015E+00	0.10396E+01	0.76961E-02	-	-	0.17448E-02	0.51215E-01
43	0.67116E+00	-0.20015E+00	0.10337E+01	0.80596E-02	-	-	-0.12047E-01	0.57632E-01
44	0.58564E+00	-0.20015E+00	0.10242E+01	0.82483E-02	-	-	-0.21202E-01	0.45439E-01
45	0.49976E+00	-0.20015E+00	0.10204E+01	0.61866E-02	-	-	-0.37605E-01	0.54293E-01
46	0.41400E+00	-0.20015E+00	0.10192E+01	0.68872E-02	-	-	-0.54205E-01	0.44290E-01
47	0.32848E+00	-0.20015E+00	0.10220E+01	0.83406E-02	-	-	-0.62817E-01	0.45677E-01
48	0.24272E+00	-0.20015E+00	0.10166E+01	0.70177E-02	-	-	-0.44657E-01	0.51320E-01
49	0.15672E+00	-0.20015E+00	0.10214E+01	0.93869E-02	-	-	0.63338E-02	0.28912E-01
50	0.71083E-01	-0.20015E+00	0.10188E+01	0.91944E-02	-	-	0.86940E-02	0.42633E-01
51	-0.14556E-01	-0.20015E+00	0.10187E+01	0.82561E-02	-	-	0.30232E-01	0.15749E-01
52	-0.10019E+00	-0.20015E+00	0.10189E+01	0.63926E-02	-	-	0.26228E-01	0.16954E-01

I1 = 0.0202 I2 = 2.4992 I3 = -0.0247 I4 = -2.4568

Lift = 0.0379

Swept Tapered Tip

Inboard angle = 6.6 Tip angle = 2.3 Delta theta = -4.3

Circulation box no. 14 at y/c = -1.493

NPT	x/c	z/c	u/U	$\sigma_u$	v/U	$\sigma_v$	w/U	$\sigma_w$
1	-0.10019E+00	-0.20003E+00	0.10180E+01	0.81659E-02	-	-	0.25975E-01	0.18702E-01
2	-0.10019E+00	-0.15982E+00	0.10204E+01	0.77688E-02	-	-	0.18206E-01	0.10569E-01
3	-0.10019E+00	-0.11986E+00	0.10191E+01	0.72181E-02	-	-	0.15862E-01	0.13111E-01
4	-0.10019E+00	-0.79893E-01	0.10201E+01	0.76119E-02	-	-	0.24540E-01	0.15592E-01
5	-0.10019E+00	-0.39928E-01	0.10213E+01	0.73373E-02	-	-	0.31538E-01	0.14067E-01
6	-0.10019E+00	0.15778E-03	0.10357E+01	0.34360E-01	-	-	0.26641E-01	0.13545E-01
7	-0.10019E+00	0.40123E-01	0.10222E+01	0.56829E-02	-	-	0.23761E-01	0.15230E-01
8	-0.10019E+00	0.80087E-01	0.10242E+01	0.78351E-02	-	-	0.26668E-01	0.13174E-01
9	-0.10019E+00	0.12017E+00	0.10219E+01	0.66770E-02	-	-	0.31653E-01	0.12439E-01
10	-0.10019E+00	0.16014E+00	0.10268E+01	0.69032E-02	-	-	0.30698E-01	0.11798E-01
11	-0.10019E+00	0.20010E+00	0.10246E+01	0.77373E-02	-	-	0.16698E-01	0.13954E-01
12	-0.99465E-01	0.20010E+00	0.10252E+01	0.56342E-02	-	-	0.25611E-01	0.15422E-01
13	-0.14070E-01	0.20010E+00	0.10252E+01	0.57094E-02	-	-	0.21781E-01	0.12187E-01
14	0.71569E-01	0.20010E+00	0.10265E+01	0.63649E-02	-	-	0.34300E-01	0.16199E-01
15	0.15721E+00	0.20010E+00	0.10317E+01	0.65809E-02	-	-	0.31411E-01	0.19691E-01
16	0.24321E+00	0.20010E+00	0.10340E+01	0.69491E-02	-	-	0.35816E-01	0.18939E-01
17	0.32885E+00	0.20010E+00	0.10364E+01	0.63425E-02	-	-	0.33788E-01	0.18900E-01
18	0.41449E+00	0.20010E+00	0.10411E+01	0.65932E-02	-	-	0.29039E-01	0.13463E-01
19	0.50025E+00	0.20010E+00	0.10474E+01	0.72269E-02	-	-	0.40785E-01	0.12621E-01
20	0.58588E+00	0.20010E+00	0.10494E+01	0.64299E-02	-	-	0.38264E-01	0.10729E-01
21	0.67165E+00	0.20010E+00	0.10553E+01	0.81510E-02	-	-	0.38464E-01	0.14720E-01
22	0.75728E+00	0.20010E+00	0.10550E+01	0.64323E-02	-	-	0.32593E-01	0.13550E-01
23	0.84292E+00	0.20010E+00	0.10482E+01	0.76553E-02	-	-	0.22938E-01	0.12750E-01
24	0.92880E+00	0.20010E+00	0.10420E+01	0.68830E-02	-	-	0.14294E-01	0.12908E-01
25	0.10146E+01	0.20010E+00	0.10326E+01	0.84177E-02	-	-	0.12185E-01	0.13261E-01
26	0.11003E+01	0.20010E+00	0.10292E+01	0.71990E-02	-	-	0.16222E-01	0.14508E-01
27	0.11003E+01	0.19988E+00	0.10296E+01	0.64952E-02	-	-	0.26492E-01	0.14441E-01
28	0.11003E+01	0.15989E+00	0.10281E+01	0.86031E-02	-	-	0.22936E-01	0.15332E-01
29	0.11003E+01	0.11993E+00	0.10233E+01	0.73099E-02	-	-	0.31611E-01	0.12246E-01
30	0.11003E+01	0.79844E-01	0.10209E+01	0.60960E-02	-	-	0.24140E-01	0.12324E-01
31	0.11003E+01	0.39880E-01	0.10154E+01	0.67982E-02	-	-	0.44541E-01	0.19719E-01
32	0.11003E+01	-0.85220E-04	0.10049E+01	0.86270E-02	-	-	0.10885E+00	0.37358E-01
33	0.11003E+01	-0.40171E-01	0.10075E+01	0.15111E-01	-	-	0.21304E+00	0.33902E-01
34	0.11003E+01	-0.80136E-01	0.10143E+01	0.73789E-02	-	-	0.84905E-01	0.19947E-01
35	0.11003E+01	-0.12010E+00	0.10154E+01	0.61615E-02	-	-	0.64115E-01	0.13189E-01
36	0.11003E+01	-0.16007E+00	0.10165E+01	0.91550E-02	-	-	0.53219E-01	0.13698E-01
37	0.11003E+01	-0.20015E+00	0.10183E+01	0.74283E-02	-	-	0.43271E-01	0.14262E-01

38	0.10996E+01	-0.20015E+00	0.10197E+01	0.76267E-02	-	-	0.43321E-01	0.12265E-01
39	0.10141E+01	-0.20015E+00	0.10202E+01	0.61780E-02	-	-	0.50604E-01	0.10572E-01
40	0.92820E+00	-0.20015E+00	0.10264E+01	0.57082E-02	-	-	0.33619E-01	0.46094E-01
41	0.84256E+00	-0.20015E+00	0.10344E+01	0.78825E-02	-	-	0.16666E-01	0.51606E-01
42	0.75704E+00	-0.20015E+00	0.10362E+01	0.66316E-02	-	-	-0.61974E-03	0.45830E-01
43	0.67104E+00	-0.20015E+00	0.10296E+01	0.68724E-02	-	-	-0.21102E-02	0.43097E-01
44	0.58552E+00	-0.20015E+00	0.10221E+01	0.68115E-02	-	-	-0.16838E-01	0.51180E-01
45	0.49988E+00	-0.20015E+00	0.10238E+01	0.72900E-02	-	-	-0.42798E-01	0.58274E-01
46	0.41388E+00	-0.20015E+00	0.10198E+01	0.60788E-02	-	-	-0.53095E-01	0.59414E-01
47	0.32836E+00	-0.20015E+00	0.10207E+01	0.64399E-02	-	-	-0.76471E-01	0.47472E-01
48	0.24260E+00	-0.20015E+00	0.10217E+01	0.60898E-02	-	-	0.15443E-01	0.13576E-01
49	0.15696E+00	-0.20015E+00	0.10179E+01	0.72466E-02	-	-	0.15589E-01	0.14821E-01
50	0.71326E-01	-0.20015E+00	0.10164E+01	0.91793E-02	-	-	0.25676E-01	0.20807E-01
51	-0.14677E-01	-0.20015E+00	0.10187E+01	0.69002E-02	-	-	0.23162E-01	0.15141E-01
52	-0.10032E+00	-0.20015E+00	0.10178E+01	0.71897E-02	-	-	0.25072E-01	0.11332E-01

I1 = 0.0201 I2 = 2.4947 I3 = -0.0521 I4 = -2.4562

Lift = 0.0066

Swept Tapered Tip

Inboard angle = 6.6 Tip angle = -2.1 Delta theta = -8.7

Circulation box no. 1 at y/c = 1.002

NPT	$\kappa/c$	$z/c$	$u/U$	$\sigma_u$	$v/U$	$\sigma_v$	$w/U$	$\sigma_w$
1	-0.10032E+00	-0.20003E+00	0.93942E+00	0.10961E-01	-	-	0.79005E-02	0.13277E-01
2	-0.10032E+00	-0.13322E+00	0.91930E+00	0.12603E-01	-	-	0.31107E-01	0.14594E-01
3	-0.10032E+00	-0.66531E-01	0.91188E+00	0.11466E-01	-	-	0.70182E-01	0.26635E-01
4	-0.10032E+00	0.15778E-03	0.94279E+00	0.89314E-02	-	-	0.12974E+00	0.25371E-01
5	-0.10032E+00	0.66846E-01	0.10040E+01	0.10642E-01	-	-	0.14796E+00	0.24145E-01
6	-0.10032E+00	0.13341E+00	0.10514E+01	0.99727E-02	-	-	0.13570E+00	0.18037E-01
7	-0.10032E+00	0.20010E+00	0.10746E+01	0.87230E-02	-	-	0.11386E+00	0.16007E-01
8	-0.99708E-01	0.20010E+00	0.10683E+01	0.81812E-02	-	-	0.96204E-01	0.17421E-01
9	-0.13949E-01	0.20010E+00	0.11190E+01	0.13082E-01	-	-	0.11988E+00	0.23332E-01
10	0.71811E-01	0.20010E+00	0.11762E+01	0.12526E-01	-	-	0.10569E+00	0.14842E-01
11	0.15733E+00	0.20010E+00	0.12146E+01	0.10496E-01	-	-	0.52316E-01	0.17958E-01
12	0.24309E+00	0.20010E+00	0.12245E+01	0.93761E-02	-	-	-0.33245E-02	0.14296E-01
13	0.32873E+00	0.20010E+00	0.12020E+01	0.87134E-02	-	-	-0.56959E-01	0.12528E-01
14	0.41437E+00	0.20010E+00	0.11767E+01	0.88830E-02	-	-	-0.87122E-01	0.14342E-01
15	0.50025E+00	0.20010E+00	0.11508E+01	0.81775E-02	-	-	-0.10163E+00	0.16319E-01
16	0.58588E+00	0.20010E+00	0.11283E+01	0.99967E-02	-	-	-0.11548E+00	0.14589E-01
17	0.67152E+00	0.20010E+00	0.11046E+01	0.10257E-01	-	-	-0.12432E+00	0.14541E-01
18	0.75728E+00	0.20010E+00	0.10868E+01	0.77880E-02	-	-	-0.12314E+00	0.91567E-02
19	0.84292E+00	0.20010E+00	0.10694E+01	0.10195E-01	-	-	-0.11748E+00	0.17467E-01
20	0.92868E+00	0.20010E+00	0.10519E+01	0.74892E-02	-	-	-0.11422E+00	0.18704E-01
21	0.10144E+01	0.20010E+00	0.10439E+01	0.10081E-01	-	-	-0.10408E+00	0.19497E-01
22	0.11002E+01	0.20010E+00	0.10368E+01	0.87921E-02	-	-	-0.92564E-01	0.13026E-01
23	0.11002E+01	0.19998E+00	0.10379E+01	0.11130E-01	-	-	-0.88718E-01	0.16078E-01
24	0.11002E+01	0.13317E+00	0.10280E+01	0.80401E-02	-	-	-0.97016E-01	0.11577E-01
25	0.11002E+01	0.66603E-01	0.10223E+01	0.10933E-01	-	-	-0.98970E-01	0.12176E-01
26	0.11002E+01	-0.85220E-04	0.10049E+01	0.80671E-02	-	-	-0.10343E+00	0.20407E-01
27	0.11002E+01	-0.66774E-01	0.98967E+00	0.10270E-01	-	-	-0.98653E-01	0.25818E-01
28	0.11002E+01	-0.13346E+00	0.98830E+00	0.21142E-01	-	-	-0.72426E-01	0.25818E-01
29	0.11002E+01	-0.20015E+00	0.99387E+00	0.85001E-02	-	-	-0.61441E-01	0.13661E-01
30	0.10996E+01	-0.20015E+00	0.99261E+00	0.63803E-02	-	-	-0.57914E-01	0.13528E-01
31	0.10141E+01	-0.20015E+00	0.98941E+00	0.13323E-01	-	-	-0.49709E-01	0.14982E-01
32	0.92832E+00	-0.20015E+00	0.99059E+00	0.88813E-02	-	-	-0.51731E-01	0.44440E-01
33	0.84268E+00	-0.20015E+00	0.10020E+01	0.71682E-02	-	-	-0.42572E-01	0.38176E-01
34	0.75680E+00	-0.20015E+00	0.10185E+01	0.90865E-02	-	-	-0.46931E-01	0.48019E-01
35	0.67116E+00	-0.20015E+00	0.10278E+01	0.71679E-02	-	-	-0.51412E-01	0.40832E-01
36	0.58564E+00	-0.20015E+00	0.10308E+01	0.76735E-02	-	-	-0.50100E-01	0.35357E-01
37	0.49964E+00	-0.20015E+00	0.10282E+01	0.90014E-02	-	-	-0.56273E-01	0.38840E-01

38	0.41400E+00	-0.20015E+00	0.10233E+01	0.10352E-01	-	-0.76502E-01	0.55480E-01
39	0.32836E+00	-0.20015E+00	0.10231E+01	0.13351E-01	-	-0.87527E-01	0.36735E-01
40	0.24260E+00	-0.20015E+00	0.99259E+00	0.11113E-01	-	-0.95145E-01	0.35709E-01
41	0.15696E+00	-0.20015E+00	0.97067E+00	0.13135E-01	-	-0.98403E-01	0.35989E-01
42	0.71326E-01	-0.20015E+00	0.93239E+00	0.10950E-01	-	-0.92839E-01	0.42359E-01
43	-0.14677E-01	-0.20015E+00	0.92714E+00	0.14148E-01	-	-0.96564E-01	0.55131E-01
44	-0.10019E+00	-0.20015E+00	0.93722E+00	0.11924E-01	-	-0.98646E-01	0.54425E-01

I1 = 0.0775 I2 = 2.7092 I3 = 0.0728 I4 = -2.3874

Lift = 0.4721

Swept Tapered Tip

Inboard angle = 6.6 Tip angle = -2.1 Delta theta = -8.7

Circulation box no. 2 at y/c = 0.503

NPT	x/c	z/c	u/U	$\sigma_u$	v/U	$\sigma_v$	w/U	$\sigma_w$
1	-0.99465E-01	-0.20003E+00	0.94844E+00	0.11358E-01	-	-	0.17601E-02	0.10645E-01
2	-0.99465E-01	-0.13322E+00	0.92802E+00	0.14044E-01	-	-	0.19580E-01	0.11619E-01
3	-0.99465E-01	-0.56531E-01	0.91329E+00	0.14489E-01	-	-	0.53768E-01	0.23095E-01
4	-0.99465E-01	0.15778E-03	0.93363E+00	0.14355E-01	-	-	0.11000E+00	0.23132E-01
5	-0.99465E-01	0.66846E-01	0.99221E+00	0.13277E-01	-	-	0.13651E+00	0.19682E-01
6	-0.99465E-01	0.13341E+00	0.10358E+01	0.10548E-01	-	-	0.12197E+00	0.17628E-01
7	-0.99465E-01	0.20010E+00	0.10573E+01	0.10388E-01	-	-	0.10041E+00	0.17475E-01
8	-0.10019E+00	0.20010E+00	0.10568E+01	0.99040E-02	-	-	0.97959E-01	0.21310E-01
9	-0.14070E-01	0.20010E+00	0.10979E+01	0.10127E-01	-	-	0.11439E+00	0.18494E-01
10	0.71690E-01	0.20010E+00	0.11476E+01	0.12828E-01	-	-	0.91916E-01	0.13850E-01
11	0.15733E+00	0.20010E+00	0.11926E+01	0.96251E-02	-	-	0.49967E-01	0.13665E-01
12	0.24297E+00	0.20010E+00	0.11955E+01	0.12191E-01	-	-	-0.59258E-02	0.13922E-01
13	0.32873E+00	0.20010E+00	0.11839E+01	0.12467E-01	-	-	-0.48004E-01	0.15247E-01
14	0.41461E+00	0.20010E+00	0.11632E+01	0.11614E-01	-	-	-0.81476E-01	0.11085E-01
15	0.50037E+00	0.20010E+00	0.11359E+01	0.74330E-02	-	-	-0.10109E+00	0.10995E-01
16	0.58601E+00	0.20010E+00	0.11151E+01	0.74647E-02	-	-	-0.11023E+00	0.12753E-01
17	0.67152E+00	0.20010E+00	0.10939E+01	0.78104E-02	-	-	-0.11750E+00	0.12609E-01
18	0.75740E+00	0.20010E+00	0.10770E+01	0.98676E-02	-	-	-0.12061E+00	0.16269E-01
19	0.84304E+00	0.20010E+00	0.10614E+01	0.91574E-02	-	-	-0.11412E+00	0.10612E-01
20	0.92868E+00	0.20010E+00	0.10440E+01	0.13046E-01	-	-	-0.10837E+00	0.14511E-01
21	0.10146E+01	0.20010E+00	0.10380E+01	0.10421E-01	-	-	-0.96732E-01	0.14130E-01
22	0.11001E+01	0.20010E+00	0.10317E+01	0.10042E-01	-	-	-0.88974E-01	0.13908E-01
23	0.11001E+01	0.19998E+00	0.10304E+01	0.10124E-01	-	-	-0.90196E-01	0.16315E-01
24	0.11001E+01	0.13317E+00	0.10229E+01	0.92205E-02	-	-	-0.10020E+00	0.12916E-01
25	0.11001E+01	0.66603E-01	0.10152E+01	0.12099E-01	-	-	-0.10345E+00	0.11401E-01
26	0.11001E+01	-0.85220E-04	0.10049E+01	0.12734E-01	-	-	-0.10609E+00	0.11461E-01
27	0.11001E+01	-0.66774E-01	0.99375E+00	0.14409E-01	-	-	-0.10088E+00	0.77239E-02
28	0.11001E+01	-0.13346E+00	0.98290E+00	0.18233E-01	-	-	-0.79546E-01	0.17188E-01
29	0.11001E+01	-0.20027E+00	0.99091E+00	0.95151E-02	-	-	-0.65772E-01	0.12201E-01
30	0.10995E+01	-0.20027E+00	0.99367E+00	0.11454E-01	-	-	-0.62121E-01	0.85917E-02
31	0.10140E+01	-0.20027E+00	0.98659E+00	0.10633E-01	-	-	-0.50743E-01	0.81581E-02
32	0.92832E+00	-0.20027E+00	0.98616E+00	0.88799E-02	-	-	-0.32769E-01	0.95674E-02
33	0.84244E+00	-0.20027E+00	0.99964E+00	0.81516E-02	-	-	-0.18881E-01	0.75996E-02
34	0.75692E+00	-0.20027E+00	0.10154E+01	0.10157E-01	-	-	-0.21164E-01	0.10810E-01
35	0.67128E+00	-0.20027E+00	0.10315E+01	0.10292E-01	-	-	-0.25994E-01	0.10519E-01
36	0.58540E+00	-0.20027E+00	0.10398E+01	0.10441E-01	-	-	-0.38115E-01	0.14040E-01
37	0.49976E+00	-0.20027E+00	0.10394E+01	0.92994E-02	-	-	-0.48511E-01	0.90723E-02

38	0.41400E+00	-0.20027E+00	0.10433E+01	0.10948E-01	-	-	-0.62552E-01	0.17219E-01
39	0.32848E+00	-0.20027E+00	0.10309E+01	0.10940E-01	-	-	-0.79937E-01	0.98535E-02
40	0.24272E+00	-0.20027E+00	0.10097E+01	0.14352E-01	-	-	-0.88872E-01	0.10926E-01
41	0.15672E+00	-0.20027E+00	0.97595E+00	0.16417E-01	-	-	-0.86742E-01	0.13361E-01
42	0.71083E-01	-0.20027E+00	0.95299E+00	0.15565E-01	-	-	-0.68332E-01	0.18253E-01
43	-0.14556E-01	-0.20027E+00	0.94077E+00	0.15182E-01	-	-	-0.35967E-01	0.19284E-01
44	-0.10019E+00	-0.20027E+00	0.94249E+00	0.12046E-01	-	-	0.71186E-02	0.17403E-01

I1 = 0.0662    I2 = 2.6736    I3 = 0.0759    I4 = -2.4028

Lift = 0.4129



Swept Tapered Tip

Inboard angle = 6.6 Tip angle = -2.1 Delta theta = -8.7

Circulation box no. 3 at y/c = 0.104

NPT	x/c	z/c	u/U	$\sigma_u$	v/U	$\sigma_v$	w/U	$\sigma_w$
1	-0.10019E+00	-0.20015E+00	0.96331E+00	0.12163E-01	-	-	-0.16637E-01	0.21594E-01
2	-0.10019E+00	-0.13322E+00	0.94298E+00	0.14205E-01	-	-	-0.70805E-02	0.18512E-01
3	-0.10019E+00	-0.66531E-01	0.91958E+00	0.11571E-01	-	-	0.33928E-01	0.22769E-01
4	-0.10019E+00	0.15778E-03	0.92955E+00	0.10739E-01	-	-	0.88291E-01	0.22130E-01
5	-0.10019E+00	0.66846E-01	0.97382E+00	0.11679E-01	-	-	0.11132E+00	0.17794E-01
6	-0.10019E+00	0.13341E+00	0.10156E+01	0.90329E-02	-	-	0.10411E+00	0.16477E-01
7	-0.10019E+00	0.20010E+00	0.10357E+01	0.97801E-02	-	-	0.87598E-01	0.14801E-01
8	-0.99465E-01	0.20010E+00	0.10349E+01	0.93107E-02	-	-	0.87542E-01	0.16847E-01
9	-0.13949E-01	0.20010E+00	0.10666E+01	0.10556E-01	-	-	0.10494E+00	0.15998E-01
10	0.71811E-01	0.20010E+00	0.11103E+01	0.13467E-01	-	-	0.96784E-01	0.16317E-01
11	0.15745E+00	0.20010E+00	0.11477E+01	0.11573E-01	-	-	0.67476E-01	0.13775E-01
12	0.24309E+00	0.20010E+00	0.11652E+01	0.87741E-02	-	-	0.19505E-01	0.12551E-01
13	0.32885E+00	0.20010E+00	0.11597E+01	0.97649E-02	-	-	-0.16699E-01	0.15690E-01
14	0.41449E+00	0.20010E+00	0.11384E+01	0.75077E-02	-	-	-0.49412E-01	0.13452E-01
15	0.50013E+00	0.20010E+00	0.11239E+01	0.13181E-01	-	-	-0.67817E-01	0.84270E-02
16	0.58613E+00	0.20010E+00	0.11072E+01	0.11613E-01	-	-	-0.79521E-01	0.12096E-01
17	0.67165E+00	0.20010E+00	0.10852E+01	0.89668E-02	-	-	-0.84595E-01	0.92476E-02
18	0.75228E+00	0.20010E+00	0.10690E+01	0.10223E-01	-	-	-0.86324E-01	0.10322E-01
19	0.84316E+00	0.20010E+00	0.10540E+01	0.12936E-01	-	-	-0.83137E-01	0.11605E-01
20	0.92880E+00	0.20010E+00	0.10412E+01	0.12015E-01	-	-	-0.78906E-01	0.11170E-01
21	0.10144E+01	0.20010E+00	0.10323E+01	0.11120E-01	-	-	-0.67213E-01	0.11683E-01
22	0.11002E+01	0.20010E+00	0.10261E+01	0.97746E-02	-	-	-0.65396E-01	0.12956E-01
23	0.11002E+01	0.19998E+00	0.10280E+01	0.15310E-01	-	-	-0.59955E-01	0.10872E-01
24	0.11002E+01	0.13317E+00	0.10176E+01	0.10531E-01	-	-	-0.71580E-01	0.12536E-01
25	0.11002E+01	0.66603E-01	0.10086E+01	0.91802E-02	-	-	-0.94046E-01	0.13536E-01
26	0.11002E+01	-0.85220E-04	0.98270E+00	0.35433E-01	-	-	-0.15070E+00	0.32523E-01
27	0.11002E+01	-0.66896E-01	0.96306E+00	0.40708E-01	-	-	-0.25804E+00	0.37741E-01
28	0.11002E+01	-0.13346E+00	0.99088E+00	0.20075E-01	-	-	-0.75259E-01	0.26375E-01
29	0.11002E+01	-0.20015E+00	0.10012E+01	0.10818E-01	-	-	-0.26443E-01	0.11932E-01
30	0.10995E+01	-0.20015E+00	0.10030E+01	0.11463E-01	-	-	-0.24809E-01	0.12173E-01
31	0.10141E+01	-0.20015E+00	0.99908E+00	0.14282E-01	-	-	-0.15302E-01	0.14598E-01
32	0.92832E+00	-0.20015E+00	0.10102E+01	0.10186E-01	-	-	-0.34780E-02	0.17668E-01
33	0.84256E+00	-0.20015E+00	0.10102E+01	0.11204E-01	-	-	-0.44633E-03	0.35809E-01
34	0.75680E+00	-0.20015E+00	0.10261E+01	0.10276E-01	-	-	0.16134E-02	0.33886E-01
35	0.67116E+00	-0.20015E+00	0.10414E+01	0.11638E-01	-	-	-0.20668E-02	0.30446E-01
36	0.58564E+00	-0.20015E+00	0.10537E+01	0.94959E-02	-	-	-0.14405E-01	0.39267E-01
37	0.49988E+00	-0.20015E+00	0.10571E+01	0.78122E-02	-	-	-0.25056E-01	0.47715E-01

38	0.41388E+00	-0.20015E+00	0.10646E+01	0.94793E-02	-	-0.45978E-01	0.46150E-01
39	0.32836E+00	-0.20015E+00	0.10546E+01	0.11960E-01	-	-0.55354E-01	0.34565E-01
40	0.24260E+00	-0.20015E+00	0.10445E+01	0.99077E-02	-	-0.68545E-01	0.38094E-01
41	0.15696E+00	-0.20015E+00	0.10205E+01	0.15505E-01	-	-0.78341E-01	0.27815E-01
42	0.71326E-01	-0.20015E+00	0.99127E+00	0.14147E-01	-	-0.86189E-01	0.40493E-01
43	-0.14677E-01	-0.20015E+00	0.97084E+00	0.17926E-01	-	-0.85566E-01	0.46015E-01
44	-0.10032E+00	-0.20015E+00	0.96710E+00	0.17971E-01	-	-0.68634E-01	0.46296E-01

I1 = 0.0490 I2 = 2.6286 I3 = 0.0880 I4 = -2.4541

Lift = 0.3115

C-2

Swept Tapered Tip

Inboard angle = 6.6 Tip angle = -2.1 Delta theta = -8.7

Circulation box no. 4 at y/c = 0.052

NPT	x/c	z/c	u/U	$\sigma_u$	v/U	$\sigma_v$	w/U	$\sigma_w$
1	-0.10032E+00	-0.20003E+00	0.97015E+00	0.80168E-02	-	-	-0.18137E-01	0.21654E-01
2	-0.10032E+00	-0.15982E+00	0.95367E+00	0.90116E-02	-	-	-0.74472E-02	0.18563E-01
3	-0.10032E+00	-0.11986E+00	0.94036E+00	0.10109E-01	-	-	-0.31822E-02	0.17457E-01
4	-0.10032E+00	-0.79893E-01	0.92461E+00	0.88876E-02	-	-	0.15762E-01	0.23094E-01
5	-0.10032E+00	-0.39928E-01	0.91989E+00	0.94997E-02	-	-	0.52696E-01	0.22101E-01
6	-0.10032E+00	0.15778E-03	0.93053E+00	0.81284E-02	-	-	0.77078E-01	0.20656E-01
7	-0.10032E+00	0.40123E-01	0.95806E+00	0.83617E-02	-	-	0.10235E+00	0.24199E-01
8	-0.10032E+00	0.80087E-01	0.98255E+00	0.77368E-02	-	-	0.99858E-01	0.19619E-01
9	-0.10032E+00	0.12017E+00	0.10091E+01	0.10003E-01	-	-	0.10414E+00	0.24932E-01
10	-0.10032E+00	0.16014E+00	0.10238E+01	0.87095E-02	-	-	0.97911E-01	0.16317E-01
11	-0.10032E+00	0.20010E+00	0.10337E+01	0.94404E-02	-	-	0.88063E-01	0.20002E-01
12	-0.99587E-01	0.20010E+00	0.10366E+01	0.10258E-01	-	-	0.92594E-01	0.22093E-01
13	-0.13949E-01	0.20010E+00	0.10619E+01	0.89827E-02	-	-	0.10218E+00	0.16422E-01
14	0.71690E-01	0.20010E+00	0.11037E+01	0.92289E-02	-	-	0.10172E+00	0.13766E-01
15	0.15733E+00	0.20010E+00	0.11420E+01	0.85744E-02	-	-	0.77069E-01	0.13988E-01
16	0.24309E+00	0.20010E+00	0.11556E+01	0.10372E-01	-	-	0.35847E-01	0.17986E-01
17	0.32873E+00	0.20010E+00	0.11528E+01	0.80558E-02	-	-	-0.33797E-02	0.13628E-01
18	0.41437E+00	0.20010E+00	0.11386E+01	0.86742E-02	-	-	-0.33880E-01	0.12383E-01
19	0.50037E+00	0.20010E+00	0.11214E+01	0.76673E-02	-	-	-0.51719E-01	0.14871E-01
20	0.58601E+00	0.20010E+00	0.11031E+01	0.75783E-02	-	-	-0.66715E-01	0.11544E-01
21	0.67165E+00	0.20010E+00	0.10835E+01	0.88556E-02	-	-	-0.74372E-01	0.98877E-02
22	0.75753E+00	0.20010E+00	0.10658E+01	0.75775E-02	-	-	-0.74889E-01	0.14858E-01
23	0.84304E+00	0.20010E+00	0.10491E+01	0.77365E-02	-	-	-0.70783E-01	0.11996E-01
24	0.92868E+00	0.20010E+00	0.10393E+01	0.82863E-02	-	-	-0.63394E-01	0.13375E-01
25	0.10147E+01	0.20010E+00	0.10286E+01	0.70970E-02	-	-	-0.54697E-01	0.15013E-01
26	0.11001E+01	0.20010E+00	0.10229E+01	0.87078E-02	-	-	-0.48211E-01	0.14240E-01
27	0.11001E+01	0.19998E+00	0.10258E+01	0.65751E-02	-	-	-0.47972E-01	0.13498E-01
28	0.11001E+01	0.15989E+00	0.10200E+01	0.72000E-02	-	-	-0.51979E-01	0.14821E-01
29	0.11001E+01	0.11993E+00	0.10166E+01	0.64844E-02	-	-	-0.55020E-01	0.11425E-01
30	0.11001E+01	0.79844E-01	0.10117E+01	0.84235E-02	-	-	-0.57120E-01	0.10462E-01
31	0.11001E+01	0.39880E-01	0.10057E+01	0.70327E-02	-	-	-0.71290E-01	0.14058E-01
32	0.11001E+01	-0.85220E-04	0.86735E+00	0.71681E-01	-	-	-0.13238E+00	0.56531E-01
33	0.11001E+01	-0.40171E-01	0.91097E+00	0.64677E-01	-	-	-0.19367E+00	0.46963E-01
34	0.11001E+01	-0.80136E-01	0.81865E+00	0.58241E-01	-	-	-0.11629E+00	0.61550E-01
35	0.11001E+01	-0.12010E+00	0.85173E+00	0.58570E-01	-	-	-0.15686E-01	0.51761E-01
36	0.11001E+01	-0.16007E+00	0.99386E+00	0.23016E-01	-	-	-0.21592E-02	0.13757E-01
37	0.11001E+01	-0.20015E+00	0.10060E+01	0.70155E-02	-	-	0.65182E-02	0.14009E-01

38	0.10995E+01	-0.20015E+00	0.10056E+01	0.75777E-02	-	-	0.69092E-02	0.13536E-01
39	0.10141E+01	-0.20015E+00	0.10013E+01	0.70802E-02	-	-	0.12992E-01	0.24826E-01
40	0.92844E+00	-0.20015E+00	0.10016E+01	0.73458E-02	-	-	0.26622E-01	0.50423E-01
41	0.84256E+00	-0.20015E+00	0.10133E+01	0.76846E-02	-	-	0.44684E-01	0.43047E-01
42	0.75704E+00	-0.20015E+00	0.10335E+01	0.70697E-02	-	-	0.46738E-01	0.43332E-01
43	0.67104E+00	-0.20015E+00	0.10464E+01	0.76883E-02	-	-	0.55385E-01	0.39590E-01
44	0.58564E+00	-0.20015E+00	0.10549E+01	0.73190E-02	-	-	0.60982E-01	0.44439E-01
45	0.49888E+00	-0.20015E+00	0.10603E+01	0.75363E-02	-	-	0.61250E-01	0.54512E-01
46	0.41388E+00	-0.20015E+00	0.10669E+01	0.64714E-02	-	-	0.50719E-01	0.54527E-01
47	0.32836E+00	-0.20015E+00	0.10678E+01	0.96383E-02	-	-	0.51982E-01	0.57581E-01
48	0.24260E+00	-0.20015E+00	0.10534E+01	0.88031E-02	-	-	0.30783E-01	0.69581E-01
49	0.15696E+00	-0.20015E+00	0.10308E+01	0.12746E-01	-	-	-0.24492E-01	0.55369E-01
50	0.71326E-01	-0.20015E+00	0.99623E+00	0.10861E-01	-	-	-0.33330E-01	0.49847E-01
51	-0.14677E-01	-0.20015E+00	0.97150E+00	0.97985E-02	-	-	-0.34877E-01	0.37574E-01
52	-0.10032E+00	-0.20015E+00	0.96924E+00	0.73365E-02	-	-	-0.17251E-01	0.41076E-01

I1 - 0.0457 I2 - 2.6188 I3 - 0.0574 I4 - -2.4659

Lift - 0.2560

Swept Tapered Tip

Inboard angle = 6.6 Tip angle = -2.1 Delta theta = -8.7

Circulation box no. 5 at y/c = 0.003

NPT	x/c	z/c	u/U	$\sigma_u$	v/U	$\sigma_v$	w/U	$\sigma_w$
1	-0.10032E+00	-0.20003E+00	0.97016E+00	0.92259E-02	-	-	-0.15501E-01	0.37074E-01
2	-0.10032E+00	-0.15982E+00	0.95599E+00	0.89692E-02	-	-	-0.12170E-01	0.29317E-01
3	-0.10032E+00	-0.11986E+00	0.93975E+00	0.93537E-02	-	-	-0.17929E-02	0.34250E-01
4	-0.10032E+00	-0.79893E-01	0.92458E+00	0.92294E-02	-	-	0.15135E-01	0.29955E-01
5	-0.10032E+00	-0.39928E-01	0.92054E+00	0.89558E-02	-	-	0.47018E-01	0.31984E-01
6	-0.10032E+00	0.15778E-03	0.93252E+00	0.84437E-02	-	-	0.76326E-01	0.33796E-01
7	-0.10032E+00	0.40123E-01	0.95521E+00	0.77888E-02	-	-	0.96420E-01	0.32494E-01
8	-0.10032E+00	0.80087E-01	0.97934E+00	0.79590E-02	-	-	0.10502E+00	0.29348E-01
9	-0.10032E+00	0.12017E+00	0.10016E+01	0.84771E-02	-	-	0.10448E+00	0.32556E-01
10	-0.10032E+00	0.16014E+00	0.10177E+01	0.86048E-02	-	-	0.97239E-01	0.32505E-01
11	-0.10032E+00	0.20010E+00	0.10295E+01	0.85069E-02	-	-	0.91511E-01	0.29907E-01
12	-0.99587E-01	0.20010E+00	0.10265E+01	0.96904E-02	-	-	0.81246E-01	0.25920E-01
13	-0.14070E-01	0.20010E+00	0.10551E+01	0.87988E-02	-	-	0.10429E+00	0.23892E-01
14	0.71690E-01	0.20010E+00	0.10922E+01	0.10887E-01	-	-	0.10484E+00	0.31768E-01
15	0.15733E+00	0.20010E+00	0.11336E+01	0.11069E-01	-	-	0.96311E-01	0.38023E-01
16	0.24297E+00	0.20010E+00	0.11498E+01	0.91634E-02	-	-	0.72336E-01	0.47312E-01
17	0.32873E+00	0.20010E+00	0.11509E+01	0.89618E-02	-	-	0.50269E-01	0.59947E-01
18	0.41461E+00	0.20010E+00	0.11344E+01	0.83894E-02	-	-	0.59833E-02	0.40416E-01
19	0.50025E+00	0.20010E+00	0.11163E+01	0.82610E-02	-	-	-0.19338E-01	0.41780E-01
20	0.58588E+00	0.20010E+00	0.10995E+01	0.73996E-02	-	-	-0.39092E-01	0.42367E-01
21	0.67152E+00	0.20010E+00	0.10812E+01	0.74742E-02	-	-	-0.49135E-01	0.31861E-01
22	0.75740E+00	0.20010E+00	0.10651E+01	0.83687E-02	-	-	-0.54682E-01	0.28463E-01
23	0.84304E+00	0.20010E+00	0.10495E+01	0.63211E-02	-	-	-0.53541E-01	0.36418E-01
24	0.92868E+00	0.20010E+00	0.10341E+01	0.59380E-02	-	-	-0.42491E-01	0.35193E-01
25	0.10146E+01	0.20010E+00	0.10267E+01	0.72458E-02	-	-	-0.38965E-01	0.26929E-01
26	0.11001E+01	0.20010E+00	0.10215E+01	0.65785E-02	-	-	-0.27017E-01	0.36624E-01
27	0.11001E+01	0.19998E+00	0.10211E+01	0.70822E-02	-	-	-0.21672E-01	0.38191E-01
28	0.11001E+01	0.15989E+00	0.10169E+01	0.80562E-02	-	-	-0.26077E-01	0.34060E-01
29	0.11001E+01	0.11993E+00	0.10125E+01	0.85492E-02	-	-	-0.25651E-01	0.31906E-01
30	0.11001E+01	0.79844E-01	0.10056E+01	0.73391E-02	-	-	-0.20710E-01	0.29849E-01
31	0.11001E+01	0.39880E-01	0.99881E+00	0.77942E-02	-	-	0.15985E-03	0.37013E-01
32	0.11001E+01	-0.85220E-04	0.98857E+00	0.22951E-01	-	-	0.57088E-01	0.40258E-01
33	0.11001E+01	-0.40171E-01	0.92333E+00	0.64712E-01	-	-	0.13693E+00	0.48931E-01
34	0.11001E+01	-0.80136E-01	0.81489E+00	0.50839E-01	-	-	0.14513E+00	0.53509E-01
35	0.11001E+01	-0.12010E+00	0.96852E+00	0.38427E-01	-	-	0.93733E-01	0.51120E-01
36	0.11001E+01	-0.16007E+00	0.10067E+01	0.96627E-02	-	-	0.71183E-01	0.41491E-01
37	0.11001E+01	-0.20015E+00	0.10074E+01	0.86450E-02	-	-	0.67570E-01	0.45798E-01

38	0.10995E+01	-0.20015E+00	0.10056E+01	0.65662E-02	-	0.64653E-01	0.37989E-01
39	0.10140E+01	-0.20015E+00	0.10019E+01	0.63344E-02	-	0.55245E-01	0.39899E-01
40	0.92844E+00	-0.20015E+00	0.10040E+01	0.64292E-02	-	0.68053E-01	0.45177E-01
41	0.84256E+00	-0.20015E+00	0.10192E+01	0.78869E-02	-	0.85162E-01	0.37263E-01
42	0.75704E+00	-0.20015E+00	0.10337E+01	0.71701E-02	-	0.79953E-01	0.49127E-01
43	0.67104E+00	-0.20015E+00	0.10460E+01	0.66266E-02	-	0.87857E-01	0.47995E-01
44	0.58552E+00	-0.20015E+00	0.10570E+01	0.78350E-02	-	0.93852E-01	0.51072E-01
45	0.49976E+00	-0.20015E+00	0.10688E+01	0.80867E-02	-	0.89844E-01	0.51731E-01
46	0.41412E+00	-0.20015E+00	0.10710E+01	0.71723E-02	-	0.10040E+00	0.53197E-01
47	0.32824E+00	-0.20015E+00	0.10694E+01	0.69392E-02	-	0.98747E-01	0.48194E-01
48	0.24260E+00	-0.20015E+00	0.10602E+01	0.10714E-01	-	0.87831E-01	0.65759E-01
49	0.15684E+00	-0.20015E+00	0.10435E+01	0.10544E-01	-	0.30167E-01	0.80833E-01
50	0.71326E-01	-0.20015E+00	0.10100E+01	0.10346E-01	-	0.25812E-01	0.67778E-01
51	-0.14677E-01	-0.20015E+00	0.97603E+00	0.94787E-02	-	0.15203E-01	0.58517E-01
52	-0.10019E+00	-0.20015E+00	0.96817E+00	0.85278E-02	-	0.24505E-01	0.47411E-01

I1 = 0.0452 I2 = 2.6087 I3 = -0.0363 I4 = -2.4768

Lift = 0.1407

Swept Tapered Tip

Inboard angle = 6.6 Tip angle = -2.1 Delta theta = -8.7

Circulation box no. 6 at y/c = -0.047

NPT	x/c	z/c	u/U	$\sigma_u$	v/U	$\sigma_v$	w/U	$\sigma_w$
1	-0.10032E+00	-0.20003E+00	0.97148E+00	0.87760E-02	-	-	-0.53499E-02	0.31688E-01
2	-0.10032E+00	-0.15982E+00	0.95757E+00	0.91556E-02	-	-	-0.41480E-02	0.35617E-01
3	-0.10032E+00	-0.11986E+00	0.93959E+00	0.82241E-02	-	-	-0.51208E-02	0.26876E-01
4	-0.10032E+00	-0.79893E-01	0.92335E+00	0.85999E-02	-	-	0.13736E-01	0.23889E-01
5	-0.10032E+00	-0.39928E-01	0.91796E+00	0.72070E-02	-	-	0.45031E-01	0.24300E-01
6	-0.10032E+00	0.15778E-03	0.92974E+00	0.79098E-02	-	-	0.73416E-01	0.26982E-01
7	-0.10032E+00	0.40123E-01	0.95382E+00	0.81473E-02	-	-	0.10507E+00	0.35512E-01
8	-0.10032E+00	0.80087E-01	0.97730E+00	0.77287E-02	-	-	0.10376E+00	0.26289E-01
9	-0.10032E+00	0.12017E+00	0.99821E+00	0.82747E-02	-	-	0.10187E+00	0.24797E-01
10	-0.10032E+00	0.16014E+00	0.10143E+01	0.93181E-02	-	-	0.93267E-01	0.21288E-01
11	-0.10032E+00	0.20010E+00	0.10244E+01	0.85492E-02	-	-	0.86492E-01	0.24433E-01
12	-0.99587E-01	0.20010E+00	0.10246E+01	0.10277E-01	-	-	0.86941E-01	0.21685E-01
13	-0.13949E-01	0.20010E+00	0.10493E+01	0.93904E-02	-	-	0.10774E+00	0.33754E-01
14	0.71690E-01	0.20010E+00	0.10879E+01	0.12604E-01	-	-	0.11836E+00	0.37795E-01
15	0.15721E+00	0.20010E+00	0.11257E+01	0.10010E-01	-	-	0.11090E+00	0.40888E-01
16	0.24297E+00	0.20010E+00	0.11458E+01	0.98254E-02	-	-	0.82263E-01	0.43935E-01
17	0.32897E+00	0.20010E+00	0.11424E+01	0.89937E-02	-	-	0.95941E-01	0.57172E-01
18	0.41449E+00	0.20010E+00	0.11337E+01	0.12063E-01	-	-	0.26742E-01	0.56892E-01
19	0.50025E+00	0.20010E+00	0.11212E+01	0.13415E-01	-	-	0.36759E-01	0.48529E-01
20	0.58588E+00	0.20010E+00	0.10993E+01	0.10486E-01	-	-	0.50157E-01	0.55160E-01
21	0.67177E+00	0.20010E+00	0.10789E+01	0.91985E-02	-	-	0.63825E-01	0.55808E-01
22	0.75740E+00	0.20010E+00	0.10651E+01	0.87572E-02	-	-	0.31646E-01	0.75948E-01
23	0.84292E+00	0.20010E+00	0.10487E+01	0.12057E-01	-	-	0.48243E-01	0.50358E-01
24	0.92892E+00	0.20010E+00	0.10336E+01	0.11973E-01	-	-	0.50449E-01	0.51394E-01
25	0.10146E+01	0.20010E+00	0.10311E+01	0.12074E-01	-	-	0.80349E-01	0.53655E-01
26	0.11003E+01	0.20010E+00	0.10217E+01	0.10118E-01	-	-	0.97279E-01	0.51080E-01
27	0.11003E+01	0.19998E+00	0.10218E+01	0.11848E-01	-	-	0.14320E-01	0.55284E-01
28	0.11003E+01	0.15989E+00	0.10165E+01	0.13673E-01	-	-	-0.15073E-01	0.16794E-01
29	0.11003E+01	0.11993E+00	0.10098E+01	0.14642E-01	-	-	-0.13206E-01	0.12534E-01
30	0.11003E+01	0.79844E-01	0.10041E+01	0.10450E-01	-	-	0.13971E-02	0.15709E-01
31	0.11003E+01	0.39880E-01	0.99644E+00	0.10352E-01	-	-	0.21784E-01	0.18937E-01
32	0.11003E+01	-0.85220E-04	0.97193E+00	0.33510E-01	-	-	0.97527E-01	0.30930E-01
33	0.11003E+01	-0.40171E-01	0.99449E+00	0.12553E-01	-	-	0.19241E+00	0.21720E-01
34	0.11003E+01	-0.80136E-01	0.99645E+00	0.10909E-01	-	-	0.22316E+00	0.23119E-01
35	0.11003E+01	-0.12010E+00	0.10019E+01	0.10070E-01	-	-	0.14457E+00	0.11312E-01
36	0.11003E+01	-0.16007E+00	0.10097E+01	0.13478E-01	-	-	0.93642E-01	0.12731E-01
37	0.11003E+01	-0.20015E+00	0.10100E+01	0.11894E-01	-	-	0.70439E-01	0.20623E-01

38	0.10996E+01	-0.20015E+00	0.10096E+01	0.12081E-01	-	-	0.82389E-01	0.38690E-01
39	0.10140E+01	-0.20015E+00	0.10036E+01	0.85342E-02	-	-	0.96699E-01	0.36678E-01
40	0.92832E+00	-0.20015E+00	0.10064E+01	0.81491E-02	-	-	0.11135E+00	0.47013E-01
41	0.84244E+00	-0.20015E+00	0.10207E+01	0.70775E-02	-	-	0.11100E+00	0.39370E-01
42	0.75704E+00	-0.20015E+00	0.10341E+01	0.92105E-02	-	-	0.11360E+00	0.50103E-01
43	0.67128E+00	-0.20015E+00	0.10484E+01	0.65522E-02	-	-	0.11891E+00	0.43695E-01
44	0.58552E+00	-0.20015E+00	0.10587E+01	0.87012E-02	-	-	0.12216E+00	0.49389E-01
45	0.49976E+00	-0.20015E+00	0.10698E+01	0.88914E-02	-	-	0.11710E+00	0.58689E-01
46	0.41412E+00	-0.20015E+00	0.10758E+01	0.97669E-02	-	-	0.11426E+00	0.52802E-01
47	0.32824E+00	-0.20015E+00	0.10775E+01	0.11558E-01	-	-	0.11182E+00	0.47583E-01
48	0.24260E+00	-0.20015E+00	0.10775E+01	0.10840E-01	-	-	0.11202E+00	0.52679E-01
49	0.15696E+00	-0.20015E+00	0.10550E+01	0.12119E-01	-	-	0.11395E+00	0.71317E-01
50	0.71326E-01	-0.20015E+00	0.10249E+01	0.11670E-01	-	-	0.12065E+00	0.56513E-01
51	-0.14677E-01	-0.20015E+00	0.99199E+00	0.12872E-01	-	-	0.11077E+00	0.74506E-01
52	-0.10019E+00	-0.20015E+00	0.97107E+00	0.10433E-01	-	-	0.11662E+00	0.52334E-01

I1 = 0.0452 I2 = 2.6038 I3 = -0.0634 I4 = -2.4917

Lift = 0.0939



Swept Tapered Tip

Inboard angle = 6.6 Tip angle = -2.1 Delta theta = -8.7

Circulation box no. 7 at y/c = -0.097

NPT	x/c	z/c	u/U	$\sigma_u$	v/U	$\sigma_v$	w/U	$\sigma_w$
1	-0.1004E+00	-0.20003E+00	0.97216E+00	0.12441E-01	-	-	-0.21504E-01	0.17868E-01
2	-0.1004E+00	-0.13322E+00	0.94711E+00	0.15574E-01	-	-	-0.17692E-01	0.19150E-01
3	-0.1004E+00	-0.66531E-01	0.91877E+00	0.15428E-01	-	-	0.19159E-01	0.21278E-01
4	-0.1004E+00	0.15778E-03	0.92733E+00	0.14295E-01	-	-	0.68064E-01	0.19748E-01
5	-0.1004E+00	0.66846E-01	0.96490E+00	0.12037E-01	-	-	0.10243E+00	0.20061E-01
6	-0.1004E+00	0.13341E+00	0.99986E+00	0.11253E-01	-	-	0.10077E+00	0.22338E-01
7	-0.1004E+00	0.20022E+00	0.10205E+01	0.10338E-01	-	-	0.87726E-01	0.14571E-01
8	-0.99587E-01	0.20022E+00	0.10238E+01	0.10042E-01	-	-	0.87125E-01	0.21254E-01
9	-0.14070E-01	0.20022E+00	0.10435E+01	0.11981E-01	-	-	0.97139E-01	0.15593E-01
10	0.71690E-01	0.20022E+00	0.10787E+01	0.10223E-01	-	-	0.10623E+00	0.14004E-01
11	0.15733E+00	0.20022E+00	0.11189E+01	0.14262E-01	-	-	0.94558E-01	0.16193E-01
12	0.24297E+00	0.20022E+00	0.11378E+01	0.98193E-02	-	-	0.64077E-01	0.17062E-01
13	0.32873E+00	0.20022E+00	0.11396E+01	0.10846E-01	-	-	0.28653E-01	0.20522E-01
14	0.41461E+00	0.20022E+00	0.11269E+01	0.11720E-01	-	-	-0.12664E-03	0.15868E-01
15	0.50037E+00	0.20022E+00	0.11097E+01	0.86750E-02	-	-	-0.17400E-01	0.20794E-01
16	0.58601E+00	0.20022E+00	0.10941E+01	0.10438E-01	-	-	-0.34617E-01	0.18880E-01
17	0.67152E+00	0.20022E+00	0.10829E+01	0.12551E-01	-	-	-0.42654E-01	0.16941E-01
18	0.75753E+00	0.20022E+00	0.10616E+01	0.81485E-02	-	-	-0.47571E-01	0.14924E-01
19	0.84304E+00	0.20022E+00	0.10449E+01	0.74704E-02	-	-	-0.40886E-01	0.14863E-01
20	0.92868E+00	0.20022E+00	0.10323E+01	0.86548E-02	-	-	-0.35144E-01	0.15766E-01
21	0.10146E+01	0.20022E+00	0.10226E+01	0.11136E-01	-	-	-0.26478E-01	0.19699E-01
22	0.11001E+01	0.20022E+00	0.10213E+01	0.10366E-01	-	-	-0.13238E-01	0.17831E-01
23	0.11001E+01	0.19986E+00	0.10178E+01	0.10015E-01	-	-	-0.18103E-01	0.15674E-01
24	0.11001E+01	0.13317E+00	0.10113E+01	0.12466E-01	-	-	-0.42977E-02	0.17359E-01
25	0.11001E+01	0.66603E-01	0.99914E+00	0.15807E-01	-	-	0.17459E-01	0.98764E-02
26	0.11001E+01	-0.85220E-04	0.95014E+00	0.35497E-01	-	-	0.88546E-01	0.33380E-01
27	0.11001E+01	-0.66774E-01	0.99606E+00	0.10519E-01	-	-	0.14195E+00	0.16310E-01
28	0.11001E+01	-0.13346E+00	0.10024E+01	0.85441E-02	-	-	0.11456E+00	0.12093E-01
29	0.11001E+01	-0.20015E+00	0.10068E+01	0.10657E-01	-	-	0.73898E-01	0.19016E-01
30	0.10995E+01	-0.20015E+00	0.10076E+01	0.96490E-02	-	-	0.70448E-01	0.15406E-01
31	0.10141E+01	-0.20015E+00	0.10054E+01	0.91252E-02	-	-	0.80481E-01	0.13997E-01
32	0.92844E+00	-0.20015E+00	0.10099E+01	0.90604E-02	-	-	0.78941E-01	0.43741E-01
33	0.84256E+00	-0.20015E+00	0.10219E+01	0.10426E-01	-	-	0.69609E-01	0.41292E-01
34	0.75704E+00	-0.20015E+00	0.10316E+01	0.77549E-02	-	-	0.63837E-01	0.47453E-01
35	0.67104E+00	-0.20015E+00	0.10465E+01	0.11225E-01	-	-	0.50739E-01	0.48010E-01
36	0.58552E+00	-0.20015E+00	0.10615E+01	0.10616E-01	-	-	0.42853E-01	0.48573E-01
37	0.49988E+00	-0.20015E+00	0.10675E+01	0.79127E-02	-	-	0.32763E-01	0.42288E-01

38	0.41388E+00	-0.20015E+00	0.10769E+01	0.89609E-02	-	-	0.21076E-01	0.44026E-01
39	0.32836E+00	-0.20015E+00	0.10781E+01	0.12986E-01	-	-	0.60514E-03	0.47992E-01
40	0.24260E+00	-0.20015E+00	0.10760E+01	0.13230E-01	-	-	-0.12137E-01	0.46218E-01
41	0.15696E+00	-0.20015E+00	0.10586E+01	0.12322E-01	-	-	-0.24692E-01	0.38408E-01
42	0.71326E-01	-0.20015E+00	0.10357E+01	0.15439E-01	-	-	-0.44579E-01	0.45430E-01
43	-0.14677E-01	-0.20015E+00	0.99560E+00	0.17256E-01	-	-	-0.59377E-01	0.45502E-01
44	-0.10032E+00	-0.20015E+00	0.97768E+00	0.17049E-01	-	-	-0.79984E-01	0.53287E-01

I1 = 0.0406    I2 = 2.5918    I3 = -0.0520    I4 = -2.4950

Lift = 0.0854

Swept Tapered Tip

Inboard angle = 6.6 Tip angle = -2.1 Delta theta = -8.7

Circulation box no. 8 at y/c = -0.498

NPT	x/c	z/c	u/U	$\sigma_u$	v/U	$\sigma_v$	w/U	$\sigma_w$
1	-0.10019E+00	-0.20003E+00	0.98707E+00	0.11020E-01	-	-	-0.30851E-01	0.14375E-01
2	-0.10019E+00	-0.13322E+00	0.95110E+00	0.81481E-02	-	-	-0.41073E-01	0.20242E-01
3	-0.10019E+00	-0.66531E-01	0.91052E+00	0.81795E-02	-	-	-0.42368E-02	0.16957E-01
4	-0.10019E+00	0.15778E-03	0.91067E+00	0.77652E-02	-	-	0.49052E-01	0.17508E-01
5	-0.10019E+00	0.66846E-01	0.94670E+00	0.82372E-02	-	-	0.82946E-01	0.17292E-01
6	-0.10019E+00	0.13341E+00	0.97845E+00	0.76880E-02	-	-	0.81565E-01	0.14592E-01
7	-0.10019E+00	0.20010E+00	0.10028E+01	0.70643E-02	-	-	0.74134E-01	0.15728E-01
8	-0.99587E-01	0.20010E+00	0.10019E+01	0.67512E-02	-	-	0.78078E-01	0.12067E-01
9	-0.14191E-01	0.20010E+00	0.10158E+01	0.84533E-02	-	-	0.98830E-01	0.15737E-01
10	0.71811E-01	0.20010E+00	0.10452E+01	0.83646E-02	-	-	0.10902E+00	0.14359E-01
11	0.15733E+00	0.20010E+00	0.10819E+01	0.72972E-02	-	-	0.98779E-01	0.11681E-01
12	0.24309E+00	0.20010E+00	0.10992E+01	0.85593E-02	-	-	0.72458E-01	0.11549E-01
13	0.32885E+00	0.20010E+00	0.11053E+01	0.79605E-02	-	-	0.43086E-01	0.85895E-02
14	0.41437E+00	0.20010E+00	0.11031E+01	0.82004E-02	-	-	0.23995E-01	0.87029E-02
15	0.50013E+00	0.20010E+00	0.10883E+01	0.67498E-02	-	-	0.56582E-02	0.88875E-02
16	0.58588E+00	0.20010E+00	0.10819E+01	0.68655E-02	-	-	-0.53102E-02	0.10735E-01
17	0.67177E+00	0.20010E+00	0.10666E+01	0.60466E-02	-	-	-0.13462E-01	0.78622E-02
18	0.75728E+00	0.20010E+00	0.10503E+01	0.55625E-02	-	-	-0.16967E-01	0.91628E-02
19	0.84292E+00	0.20010E+00	0.10353E+01	0.57840E-02	-	-	-0.14635E-01	0.84228E-02
20	0.92880E+00	0.20010E+00	0.10218E+01	0.67305E-02	-	-	-0.86991E-02	0.71401E-02
21	0.10144E+01	0.20010E+00	0.10137E+01	0.59341E-02	-	-	0.43675E-02	0.83099E-02
22	0.11003E+01	0.20010E+00	0.10102E+01	0.63466E-02	-	-	0.12803E-01	0.84055E-02
23	0.11003E+01	0.19998E+00	0.10104E+01	0.67171E-02	-	-	0.16184E-01	0.94235E-02
24	0.11003E+01	0.13317E+00	0.10004E+01	0.66772E-02	-	-	0.19213E-01	0.75287E-02
25	0.11003E+01	0.66603E-01	0.99120E+00	0.72641E-02	-	-	0.31254E-01	0.61041E-02
26	0.11003E+01	-0.85220E-04	0.82325E+00	0.58092E-01	-	-	0.59268E-01	0.49525E-01
27	0.11003E+01	-0.66774E-01	0.95161E+00	0.33133E-01	-	-	0.69398E-01	0.67478E-02
28	0.11003E+01	-0.13346E+00	0.99849E+00	0.79207E-02	-	-	0.68192E-01	0.68978E-02
29	0.11003E+01	-0.20015E+00	0.10054E+01	0.70069E-02	-	-	0.65669E-01	0.82423E-02
30	0.10996E+01	-0.20015E+00	0.10040E+01	0.59358E-02	-	-	0.67228E-01	0.76260E-02
31	0.10141E+01	-0.20015E+00	0.10066E+01	0.72095E-02	-	-	0.74239E-01	0.85344E-02
32	0.92820E+00	-0.20015E+00	0.10123E+01	0.69818E-02	-	-	0.80771E-01	0.11510E-01
33	0.84256E+00	-0.20015E+00	0.10171E+01	0.58133E-02	-	-	0.60595E-01	0.48664E-01
34	0.75704E+00	-0.20015E+00	0.10347E+01	0.55595E-02	-	-	0.63916E-01	0.44631E-01
35	0.67104E+00	-0.20015E+00	0.10486E+01	0.61416E-02	-	-	0.90198E-01	0.13045E-01
36	0.58552E+00	-0.20015E+00	0.10631E+01	0.66859E-02	-	-	0.84901E-01	0.11786E-01
37	0.49976E+00	-0.20015E+00	0.10757E+01	0.75400E-02	-	-	0.44943E-01	0.51108E-01

38	0.41412E+00	-0.20015E+00	0.10873E+01	0.64728E-02	-	0.11042E-02	0.48495E-01
39	0.32824E+00	-0.20015E+00	0.10891E+01	0.81175E-02	-	-0.38258E-01	0.52581E-01
40	0.24248E+00	-0.20015E+00	0.10884E+01	0.87156E-02	-	-0.83077E-01	0.52982E-01
41	0.15684E+00	-0.20015E+00	0.10888E+01	0.10303E-01	-	-0.12228E+00	0.50093E-01
42	0.71204E-01	-0.20015E+00	0.10607E+01	0.79750E-02	-	-0.13130E+00	0.46745E-01
43	-0.14556E-01	-0.20015E+00	0.10136E+01	0.10113E-01	-	-0.13851E+00	0.54433E-01
44	-0.10019E+00	-0.20015E+00	0.98148E+00	0.68505E-02	-	-0.14031E+00	0.49659E-01

I1 = 0.0248 I2 = 2.5395 I3 = -0.0387 I4 = -2.5164

Lift = 0.0093

Swept Tapered Tip

Inboard angle = 6.6 Tip angle = -2.1 Delta theta = -8.7

Circulation box no. 9 at y/c = -1.001

NPT	x/c	z/c	u/U	$\sigma_u$	v/U	$\sigma_v$	w/U	$\sigma_w$
1	-0.10032E+00	-0.20003E+00	0.10115E+01	0.87158E-02	-	-	-0.84751E-02	0.20498E-01
2	-0.10032E+00	-0.13322E+00	0.10044E+01	0.77251E-02	-	-	0.87054E-02	0.18801E-01
3	-0.10032E+00	-0.66531E-01	0.10008E+01	0.66307E-02	-	-	0.12294E-01	0.12363E-01
4	-0.10032E+00	0.15778E-03	0.10000E+01	0.70142E-02	-	-	0.47033E-02	0.12737E-01
5	-0.10032E+00	0.66846E-01	0.99932E+00	0.50959E-02	-	-	0.26665E-01	0.10041E-01
6	-0.10032E+00	0.13341E+00	0.10061E+01	0.43981E-02	-	-	0.33484E-01	0.94915E-02
7	-0.10032E+00	0.20010E+00	0.10115E+01	0.62668E-02	-	-	0.36675E-01	0.10040E-01
8	-0.99708E-01	0.20010E+00	0.10129E+01	0.63633E-02	-	-	0.41370E-01	0.11284E-01
9	-0.14191E-01	0.20010E+00	0.10114E+01	0.63070E-02	-	-	0.39794E-01	0.11127E-01
10	0.71569E-01	0.20010E+00	0.10140E+01	0.64780E-02	-	-	0.50940E-01	0.15019E-01
11	0.15721E+00	0.20010E+00	0.10244E+01	0.67717E-02	-	-	0.64322E-01	0.85502E-02
12	0.24321E+00	0.20010E+00	0.10361E+01	0.71812E-02	-	-	0.70550E-01	0.11622E-01
13	0.32897E+00	0.20010E+00	0.10480E+01	0.83980E-02	-	-	0.69777E-01	0.11817E-01
14	0.41449E+00	0.20010E+00	0.10639E+01	0.79460E-02	-	-	0.60859E-01	0.11742E-01
15	0.50025E+00	0.20010E+00	0.10709E+01	0.74353E-02	-	-	0.43037E-01	0.88597E-02
16	0.58588E+00	0.20010E+00	0.10695E+01	0.57864E-02	-	-	0.24752E-01	0.94072E-02
17	0.67177E+00	0.20010E+00	0.10582E+01	0.64378E-02	-	-	0.90266E-02	0.10099E-01
18	0.75728E+00	0.20010E+00	0.10510E+01	0.63979E-02	-	-	0.86824E-03	0.92915E-02
19	0.84292E+00	0.20010E+00	0.10397E+01	0.70483E-02	-	-	-0.34847E-02	0.89713E-02
20	0.92880E+00	0.20010E+00	0.10247E+01	0.70367E-02	-	-	-0.53364E-02	0.94154E-02
21	0.10144E+01	0.20010E+00	0.10160E+01	0.64302E-02	-	-	0.12688E-01	0.91939E-02
22	0.11002E+01	0.20010E+00	0.10108E+01	0.57048E-02	-	-	0.14241E-01	0.90762E-02
23	0.11002E+01	0.19998E+00	0.10136E+01	0.64436E-02	-	-	0.15380E-01	0.10847E-01
24	0.11002E+01	0.13317E+00	0.10037E+01	0.71479E-02	-	-	0.18419E-01	0.95950E-02
25	0.11002E+01	0.66603E-01	0.99495E+00	0.51438E-02	-	-	0.21426E-01	0.62613E-02
26	0.11002E+01	-0.85220E-04	0.79024E+00	0.59334E-01	-	-	0.40006E-01	0.50242E-01
27	0.11002E+01	-0.66774E-01	0.85076E+00	0.50904E-01	-	-	0.53415E-01	0.68443E-02
28	0.11002E+01	-0.13346E+00	0.96915E+00	0.30852E-01	-	-	0.57117E-01	0.85632E-02
29	0.11002E+01	-0.20015E+00	0.10071E+01	0.49205E-02	-	-	0.55368E-01	0.86027E-02
30	0.10995E+01	-0.20015E+00	0.10071E+01	0.56896E-02	-	-	0.55164E-01	0.94009E-02
31	0.10142E+01	-0.20015E+00	0.10091E+01	0.69525E-02	-	-	0.61041E-01	0.10582E-01
32	0.92832E+00	-0.20015E+00	0.10158E+01	0.63144E-02	-	-	0.69849E-01	0.21846E-01
33	0.84256E+00	-0.20015E+00	0.10313E+01	0.52098E-02	-	-	0.31745E-01	0.47076E-01
34	0.75680E+00	-0.20015E+00	0.10440E+01	0.63660E-02	-	-	0.22407E-01	0.50443E-01
35	0.67116E+00	-0.20015E+00	0.10562E+01	0.71371E-02	-	-	0.34707E-02	0.46370E-01
36	0.58564E+00	-0.20015E+00	0.10724E+01	0.70919E-02	-	-	0.51210E-01	0.11533E-01
37	0.49988E+00	-0.20015E+00	0.10837E+01	0.81507E-02	-	-	0.30775E-01	0.10844E-01

38	0.41388E+00	-0.20015E+00	0.10792E+01	0.93925E-02	-	0.88438E-02	0.13542E-01
39	0.32836E+00	-0.20015E+00	0.10683E+01	0.84262E-02	-	-0.88954E-02	0.30888E-01
40	0.24260E+00	-0.20015E+00	0.10558E+01	0.97173E-02	-	-0.37877E-01	0.19076E-01
41	0.15684E+00	-0.20015E+00	0.10313E+01	0.79152E-02	-	-0.26827E-01	0.13508E-01
42	0.71204E-01	-0.20015E+00	0.10165E+01	0.82073E-02	-	-0.14346E-01	0.17382E-01
43	-0.14434E-01	-0.20015E+00	0.10106E+01	0.89409E-02	-	-0.66096E-02	0.12108E-01
44	-0.10007E+00	-0.20015E+00	0.10091E+01	0.58348E-02	-	0.12591E-02	0.12724E-01

I1 = 0.0131    I2 = 2.4924    I3 = -0.0303    I4 = -2.4998

Lift = -0.0247

Swept Tapered Tip

Inboard angle = 6.6 Tip angle = -2.1 Delta theta = -8.7

Circulation box no. 10 at y/c = -1.001

NPT	x/c	z/c	u/U	$\sigma_u$	v/U	$\sigma_v$	w/U	$\sigma_w$
1	-0.10032E+00	-0.20003E+00	0.10086E+01	0.68323E-02	-	-	0.34530E-02	0.12468E-01
2	-0.10032E+00	-0.13322E+00	0.10046E+01	0.66290E-02	-	-	0.40815E-02	0.14153E-01
3	-0.10032E+00	-0.66531E-01	0.10004E+01	0.55911E-02	-	-	0.17536E-01	0.11299E-01
4	-0.10032E+00	0.27892E-03	0.99940E+00	0.52316E-02	-	-	0.25521E-01	0.16313E-01
5	-0.10032E+00	0.66846E-01	0.10001E+01	0.63991E-02	-	-	0.23492E-01	0.17490E-01
6	-0.10032E+00	0.13341E+00	0.10049E+01	0.58418E-02	-	-	0.31544E-01	0.17802E-01
7	-0.10032E+00	0.20010E+00	0.10100E+01	0.62528E-02	-	-	0.31690E-01	0.13847E-01
8	-0.99587E-01	0.20010E+00	0.10113E+01	0.55320E-02	-	-	0.34600E-01	0.13792E-01
9	-0.14070E-01	0.20010E+00	0.10118E+01	0.48263E-02	-	-	0.29008E-01	0.11115E-01
10	0.71690E-01	0.20010E+00	0.10129E+01	0.64984E-02	-	-	0.41482E-01	0.13112E-01
11	0.15733E+00	0.20010E+00	0.10279E+01	0.73226E-02	-	-	0.62036E-01	0.19052E-01
12	0.24297E+00	0.20010E+00	0.10353E+01	0.73059E-02	-	-	0.65844E-01	0.14638E-01
13	0.32897E+00	0.20010E+00	0.10553E+01	0.65534E-02	-	-	0.71916E-01	0.11250E-01
14	0.41449E+00	0.20010E+00	0.10671E+01	0.79178E-02	-	-	0.62915E-01	0.10013E-01
15	0.50013E+00	0.20010E+00	0.10700E+01	0.59272E-02	-	-	0.41380E-01	0.10528E-01
16	0.58613E+00	0.20010E+00	0.10681E+01	0.73338E-02	-	-	0.29848E-01	0.10275E-01
17	0.67165E+00	0.20010E+00	0.10598E+01	0.64854E-02	-	-	0.13713E-01	0.10011E-01
18	0.75728E+00	0.20010E+00	0.10527E+01	0.54943E-02	-	-	0.41055E-02	0.10106E-01
19	0.84304E+00	0.20010E+00	0.10363E+01	0.55777E-02	-	-	-0.49646E-03	0.92028E-02
20	0.92868E+00	0.20010E+00	0.10241E+01	0.60717E-02	-	-	0.35436E-03	0.89811E-02
21	0.10146E+01	0.20010E+00	0.10172E+01	0.57109E-02	-	-	0.73376E-02	0.11155E-01
22	0.11001E+01	0.20010E+00	0.10129E+01	0.58194E-02	-	-	0.14272E-01	0.84825E-02
23	0.11001E+01	0.19998E+00	0.10121E+01	0.53683E-02	-	-	0.95213E-02	0.10052E-01
24	0.11001E+01	0.13317E+00	0.10044E+01	0.56270E-02	-	-	0.16118E-01	0.90581E-02
25	0.11001E+01	0.66603E-01	0.99631E+00	0.62480E-02	-	-	0.22040E-01	0.69002E-02
26	0.11001E+01	-0.85220E-04	0.82253E+00	0.62892E-01	-	-	0.41826E-01	0.73515E-02
27	0.11001E+01	-0.66774E-01	0.95584E+00	0.40169E-01	-	-	0.55949E-01	0.47491E-01
28	0.11001E+01	-0.13346E+00	0.99957E+00	0.55285E-02	-	-	0.58104E-01	0.92572E-02
29	0.11001E+01	-0.20015E+00	0.10082E+01	0.55188E-02	-	-	0.59865E-01	0.10117E-01
30	0.10995E+01	-0.20015E+00	0.10085E+01	0.52387E-02	-	-	0.57371E-01	0.10353E-01
31	0.10141E+01	-0.20015E+00	0.10096E+01	0.59285E-02	-	-	0.64557E-01	0.87216E-02
32	0.92844E+00	-0.20015E+00	0.10171E+01	0.62069E-02	-	-	0.64447E-01	0.26153E-01
33	0.84256E+00	-0.20015E+00	0.10305E+01	0.59422E-02	-	-	0.59987E-01	0.36174E-01
34	0.75680E+00	-0.20015E+00	0.10433E+01	0.59051E-02	-	-	0.23641E-01	0.47663E-01
35	0.67128E+00	-0.20015E+00	0.10617E+01	0.58951E-02	-	-	-0.19453E-01	0.45417E-01
36	0.58540E+00	-0.20015E+00	0.10708E+01	0.64106E-02	-	-	-0.42026E-01	0.47063E-01
37	0.49976E+00	-0.20015E+00	0.10802E+01	0.62924E-02	-	-	-0.60452E-01	0.47237E-01

38	0.41412E+00	-0.20015E+00	0.10781E+01	0.84316E-02	-	-	-0.37871E-01	0.49129E-01
39	0.32836E+00	-0.20015E+00	0.10721E+01	0.97360E-02	-	-	-0.41467E-01	0.39380E-01
40	0.24260E+00	-0.20015E+00	0.10526E+01	0.95435E-02	-	-	-0.56419E-01	0.42296E-01
41	0.15696E+00	-0.20015E+00	0.10316E+01	0.70156E-02	-	-	-0.71841E-01	0.45002E-01
42	0.71326E-01	-0.20015E+00	0.10172E+01	0.51596E-02	-	-	-0.33966E-01	0.25663E-01
43	-0.14434E-01	-0.20015E+00	0.10107E+01	0.49907E-02	-	-	-0.18074E-01	0.15766E-01
44	-0.10032E+00	-0.20015E+00	0.10088E+01	0.51127E-02	-	-	-0.64768E-02	0.16708E-01

I1 = 0.0161 I2 = 2.4947 I3 = -0.0306 I4 = -2.5006

Lift = -0.0205



Swept Tapered Tip

Inboard angle = 6.6 Tip angle = -2.1 Delta theta = -8.7

Circulation box no. 11 at y/c = -1.403

NPT	x/c	z/c	u/U	$\sigma_u$	v/U	$\sigma_v$	w/U	$\sigma_w$
1	-0.10044E+00	-0.20003E+00	0.10187E+01	0.81583E-02	-	-	0.57920E-02	0.16555E-01
2	-0.10044E+00	-0.13322E+00	0.10183E+01	0.75036E-02	-	-	0.10141E-01	0.14965E-01
3	-0.10044E+00	-0.66531E-01	0.10202E+01	0.69610E-02	-	-	0.12773E-01	0.13209E-01
4	-0.10044E+00	0.15778E-03	0.10172E+01	0.11319E-01	-	-	0.13976E-01	0.12174E-01
5	-0.10044E+00	0.66846E-01	0.10192E+01	0.88221E-02	-	-	0.18474E-01	0.18387E-01
6	-0.10044E+00	0.13341E+00	0.10197E+01	0.78101E-02	-	-	0.18147E-01	0.13448E-01
7	-0.10044E+00	0.20010E+00	0.10200E+01	0.69316E-02	-	-	0.21270E-01	0.14096E-01
8	-0.99708E-01	0.20010E+00	0.10205E+01	0.78652E-02	-	-	0.23875E-01	0.12563E-01
9	-0.14070E-01	0.20010E+00	0.10198E+01	0.80394E-02	-	-	0.16588E-01	0.11970E-01
10	0.71690E-01	0.20010E+00	0.10201E+01	0.81420E-02	-	-	0.21700E-01	0.12904E-01
11	0.15733E+00	0.20010E+00	0.10212E+01	0.71443E-02	-	-	0.24921E-01	0.17154E-01
12	0.24297E+00	0.20010E+00	0.10253E+01	0.62594E-02	-	-	0.27599E-01	0.15919E-01
13	0.32909E+00	0.20010E+00	0.10246E+01	0.84625E-02	-	-	0.25960E-01	0.16167E-01
14	0.41461E+00	0.20010E+00	0.10260E+01	0.77236E-02	-	-	0.26298E-01	0.15110E-01
15	0.50025E+00	0.20010E+00	0.10331E+01	0.74533E-02	-	-	0.35221E-01	0.14574E-01
16	0.58588E+00	0.20010E+00	0.10366E+01	0.93056E-02	-	-	0.37009E-01	0.10583E-01
17	0.67152E+00	0.20010E+00	0.10447E+01	0.81876E-02	-	-	0.34076E-01	0.14117E-01
18	0.75740E+00	0.20010E+00	0.10468E+01	0.73916E-02	-	-	0.25823E-01	0.15142E-01
19	0.84304E+00	0.20010E+00	0.10426E+01	0.76750E-02	-	-	0.10546E-01	0.12944E-01
20	0.92868E+00	0.20010E+00	0.10356E+01	0.90934E-02	-	-	0.83539E-02	0.13236E-01
21	0.10146E+01	0.20010E+00	0.10265E+01	0.95822E-02	-	-	0.10155E-01	0.16595E-01
22	0.11001E+01	0.20010E+00	0.10195E+01	0.71833E-02	-	-	0.12504E-01	0.14988E-01
23	0.11001E+01	0.1998E+00	0.10223E+01	0.78590E-02	-	-	0.19315E-01	0.13658E-01
24	0.11001E+01	0.13317E+00	0.10186E+01	0.89910E-02	-	-	0.17063E-01	0.10234E-01
25	0.11001E+01	0.66603E-01	0.10082E+01	0.10387E-01	-	-	0.28713E-01	0.14271E-01
26	0.11001E+01	-0.85220E-04	0.88018E+00	0.55373E-01	-	-	0.44678E-01	0.50461E-01
27	0.11001E+01	-0.66774E-01	0.98307E+00	0.24688E-01	-	-	0.48173E-01	0.13038E-01
28	0.11001E+01	-0.13346E+00	0.10114E+01	0.86094E-02	-	-	0.45554E-01	0.13845E-01
29	0.11001E+01	-0.20015E+00	0.10181E+01	0.69776E-02	-	-	0.45760E-01	0.11211E-01
30	0.10995E+01	-0.20015E+00	0.10205E+01	0.95604E-02	-	-	0.36535E-01	0.15257E-01
31	0.10141E+01	-0.20015E+00	0.10235E+01	0.93207E-02	-	-	0.38624E-01	0.18846E-01
32	0.92844E+00	-0.20015E+00	0.10326E+01	0.66165E-02	-	-	0.15410E-01	0.41878E-01
33	0.84244E+00	-0.20015E+00	0.10426E+01	0.78868E-02	-	-	-0.17198E-01	0.44478E-01
34	0.75692E+00	-0.20015E+00	0.10541E+01	0.80460E-02	-	-	-0.54248E-01	0.43157E-01
35	0.67128E+00	-0.20015E+00	0.10574E+01	0.88644E-02	-	-	-0.87129E-01	0.41611E-01
36	0.58552E+00	-0.20015E+00	0.10514E+01	0.65535E-02	-	-	-0.10423E+00	0.48890E-01
37	0.49976E+00	-0.20015E+00	0.10384E+01	0.84792E-02	-	-	-0.13705E+00	0.40723E-01

38	0.41400E+00	-0.20015E+00	0.10332E+01	0.79974E-02	-	-	-0.17334E+00	0.44144E-01
39	0.32848E+00	-0.20015E+00	0.10295E+01	0.85751E-02	-	-	-0.19399E+00	0.39885E-01
40	0.24248E+00	-0.20015E+00	0.10264E+01	0.66933E-02	-	-	-0.22586E+00	0.45127E-01
41	0.15672E+00	-0.20015E+00	0.10244E+01	0.83821E-02	-	-	-0.24548E+00	0.41242E-01
42	0.71083E-01	-0.20015E+00	0.10179E+01	0.80705E-02	-	-	-0.26915E+00	0.47031E-01
43	-0.14556E-01	-0.20015E+00	0.10159E+01	0.87531E-02	-	-	-0.27428E+00	0.47550E-01
44	-0.10019E+00	-0.20015E+00	0.10207E+01	0.60459E-02	-	-	-0.28344E+00	0.41807E-01

I1 = 0.0115    I2 = 2.4726    I3 = -0.0288    I4 = -2.4800

Lift = -0.0247

Swept Tapered Tip

Inboard angle = 6.6 Tip angle = -2.1 Delta theta = -8.7

Circulation box no. 12 at y/c = -1.452

NPT	$\kappa/c$	$z/c$	$u/U$	$\sigma_u$	$v/U$	$\sigma_v$	$w/U$	$\sigma_w$
1	-0.10032E+00	-0.20003E+00	0.10192E+01	0.58588E-02	-	-	0.13136E-01	0.13172E-01
2	-0.10032E+00	-0.15982E+00	0.10194E+01	0.57892E-02	-	-	0.11673E-01	0.17793E-01
3	-0.10032E+00	-0.11986E+00	0.10186E+01	0.56440E-02	-	-	0.15138E-01	0.12764E-01
4	-0.10032E+00	-0.79893E-01	0.10176E+01	0.52635E-02	-	-	0.15387E-01	0.14671E-01
5	-0.10032E+00	-0.39928E-01	0.10177E+01	0.61441E-02	-	-	0.10087E-01	0.13853E-01
6	-0.10032E+00	0.15778E-03	0.10171E+01	0.50945E-02	-	-	0.13812E-01	0.13476E-01
7	-0.10032E+00	0.40123E-01	0.10182E+01	0.59337E-02	-	-	0.17903E-01	0.15488E-01
8	-0.10032E+00	0.80087E-01	0.10177E+01	0.53762E-02	-	-	0.21375E-01	0.12080E-01
9	-0.10032E+00	0.12017E+00	0.10189E+01	0.68254E-02	-	-	0.16652E-01	0.11198E-01
10	-0.10032E+00	0.16014E+00	0.10195E+01	0.52628E-02	-	-	0.19251E-01	0.13652E-01
11	-0.10032E+00	0.20010E+00	0.10205E+01	0.56219E-02	-	-	0.12731E-01	0.12187E-01
12	-0.99708E-01	0.20010E+00	0.10206E+01	0.54716E-02	-	-	0.23723E-01	0.13243E-01
13	-0.14070E-01	0.20010E+00	0.10193E+01	0.66082E-02	-	-	0.13724E-01	0.16727E-01
14	0.71569E-01	0.20010E+00	0.10187E+01	0.52484E-02	-	-	0.14691E-01	0.20690E-01
15	0.15721E+00	0.20010E+00	0.10230E+01	0.60783E-02	-	-	0.22161E-01	0.13091E-01
16	0.24297E+00	0.20010E+00	0.10251E+01	0.57421E-02	-	-	0.20093E-01	0.16463E-01
17	0.32897E+00	0.20010E+00	0.10237E+01	0.56192E-02	-	-	0.30078E-01	0.13236E-01
18	0.41449E+00	0.20010E+00	0.10244E+01	0.50157E-02	-	-	0.30972E-01	0.15017E-01
19	0.50013E+00	0.20010E+00	0.10283E+01	0.63380E-02	-	-	0.32627E-01	0.14465E-01
20	0.58588E+00	0.20010E+00	0.10312E+01	0.71232E-02	-	-	0.31396E-01	0.14228E-01
21	0.67165E+00	0.20010E+00	0.10384E+01	0.60304E-02	-	-	0.32245E-01	0.14997E-01
22	0.75728E+00	0.20010E+00	0.10436E+01	0.69963E-02	-	-	0.20562E-01	0.13090E-01
23	0.84304E+00	0.20010E+00	0.10401E+01	0.55337E-02	-	-	0.16601E-01	0.11519E-01
24	0.92868E+00	0.20010E+00	0.10310E+01	0.61146E-02	-	-	0.96823E-02	0.14645E-01
25	0.10146E+01	0.20010E+00	0.10245E+01	0.56598E-02	-	-	0.15083E-01	0.14757E-01
26	0.11003E+01	0.20010E+00	0.10187E+01	0.51173E-02	-	-	0.14315E-01	0.11905E-01
27	0.11003E+01	0.19998E+00	0.10201E+01	0.46380E-02	-	-	0.11290E-01	0.12756E-01
28	0.11003E+01	0.15989E+00	0.10184E+01	0.51747E-02	-	-	0.15570E-01	0.12599E-01
29	0.11003E+01	0.11993E+00	0.10149E+01	0.52388E-02	-	-	0.14325E-01	0.12590E-01
30	0.11003E+01	0.79844E-01	0.10107E+01	0.47006E-02	-	-	0.14935E-01	0.13022E-01
31	0.11003E+01	0.39880E-01	0.90069E+01	0.56559E-02	-	-	0.27475E-01	0.11151E-01
32	0.11003E+01	-0.85220E-04	0.91056E+00	0.57052E-01	-	-	0.50564E-01	0.44556E-01
33	0.11003E+01	-0.40171E-01	0.10030E+01	0.53885E-02	-	-	0.45775E-01	0.85676E-02
34	0.11003E+01	-0.80136E-01	0.10101E+01	0.54239E-02	-	-	0.35522E-01	0.12469E-01
35	0.11003E+01	-0.12010E+00	0.10148E+01	0.56939E-02	-	-	0.39342E-01	0.12487E-01
36	0.11003E+01	-0.16007E+00	0.10160E+01	0.64834E-02	-	-	0.31805E-01	0.12650E-01
37	0.11003E+01	-0.20015E+00	0.10169E+01	0.60625E-02	-	-	0.36185E-01	0.11346E-01

38	0.10997E+01	-0.20015E+00	0.10170E+01	0.53220E-02	-	-	0.42889E-01	0.13207E-01
39	0.10140E+01	-0.20015E+00	0.10203E+01	0.40931E-02	-	-	0.41927E-01	0.12477E-01
40	0.92844E+00	-0.20015E+00	0.10294E+01	0.56725E-02	-	-	0.48168E-01	0.43626E-01
41	0.84256E+00	-0.20015E+00	0.10397E+01	0.64443E-02	-	-	0.28241E-01	0.50519E-01
42	0.75704E+00	-0.20015E+00	0.10491E+01	0.54522E-02	-	-	-0.27336E-01	0.58642E-01
43	0.67116E+00	-0.20015E+00	0.10514E+01	0.66938E-02	-	-	-0.52888E-01	0.55182E-01
44	0.58564E+00	-0.20015E+00	0.10442E+01	0.71182E-02	-	-	-0.71989E-01	0.47853E-01
45	0.49976E+00	-0.20015E+00	0.10361E+01	0.60503E-02	-	-	-0.88381E-01	0.47491E-01
46	0.41412E+00	-0.20015E+00	0.10270E+01	0.50132E-02	-	-	-0.11781E+00	0.50917E-01
47	0.32812E+00	-0.20015E+00	0.10271E+01	0.69013E-02	-	-	-0.13438E+00	0.48030E-01
48	0.24260E+00	-0.20015E+00	0.10200E+01	0.55554E-02	-	-	-0.11752E+00	0.51008E-01
49	0.15684E+00	-0.20015E+00	0.10225E+01	0.54890E-02	-	-	-0.65964E-01	0.43669E-01
50	0.71326E-01	-0.20015E+00	0.10203E+01	0.51571E-02	-	-	-0.71620E-01	0.46880E-01
51	-0.14434E-01	-0.20015E+00	0.10195E+01	0.52823E-02	-	-	-0.81304E-02	0.30192E-01
52	-0.10007E+00	-0.20015E+00	0.10194E+01	0.49375E-02	-	-	0.36742E-02	0.31168E-01

I1 = 0.0126 I2 = 2.4672 I3 = -0.0239 I4 = -2.4733

Lift = -0.0174

Swept Tapered Tip

Inboard angle = 6.6 Tip angle = -2.1 Delta theta = -8.7

Circulation box no. 13 at y/c = -1.493

NPT	x/c	z/c	u/U	$\sigma_u$	v/U	$\sigma_v$	w/U	$\sigma_w$
1	-0.10044E+00	-0.20003E+00	0.10208E+01	0.45192E-02	-	-	0.18484E-01	0.13415E-01
2	-0.10044E+00	-0.15982E+00	0.10200E+01	0.59549E-02	-	-	0.12360E-01	0.12469E-01
3	-0.10044E+00	-0.11986E+00	0.10191E+01	0.54871E-02	-	-	0.17918E-01	0.13773E-01
4	-0.10044E+00	-0.79893E-01	0.10172E+01	0.54884E-02	-	-	0.11191E-01	0.12506E-01
5	-0.10044E+00	-0.39928E-01	0.10188E+01	0.50918E-02	-	-	0.14927E-01	0.13243E-01
6	-0.10044E+00	0.15778E-03	0.10186E+01	0.59514E-02	-	-	0.18489E-01	0.14804E-01
7	-0.10044E+00	0.40123E-01	0.10183E+01	0.50208E-02	-	-	0.18700E-01	0.13260E-01
8	-0.10044E+00	0.80087E-01	0.10197E+01	0.52382E-02	-	-	0.21217E-01	0.14340E-01
9	-0.10044E+00	0.12017E+00	0.10205E+01	0.54258E-02	-	-	0.19188E-01	0.14327E-01
10	-0.10044E+00	0.16014E+00	0.10194E+01	0.61915E-02	-	-	0.18628E-01	0.14004E-01
11	-0.10044E+00	0.20010E+00	0.10203E+01	0.59977E-02	-	-	0.17358E-01	0.13115E-01
12	-0.99708E-01	0.20010E+00	0.10198E+01	0.56093E-02	-	-	0.18093E-01	0.13227E-01
13	-0.14191E-01	0.20010E+00	0.10205E+01	0.44604E-02	-	-	0.20216E-01	0.14427E-01
14	0.71569E-01	0.20010E+00	0.10200E+01	0.53834E-02	-	-	0.30419E-01	0.13710E-01
15	0.15721E+00	0.20010E+00	0.10224E+01	0.46972E-02	-	-	0.24551E-01	0.17793E-01
16	0.24309E+00	0.20010E+00	0.10237E+01	0.49533E-02	-	-	0.28033E-01	0.20405E-01
17	0.32885E+00	0.20010E+00	0.10239E+01	0.56952E-02	-	-	0.15367E-01	0.14560E-01
18	0.41437E+00	0.20010E+00	0.10263E+01	0.67810E-02	-	-	0.30380E-01	0.15550E-01
19	0.50013E+00	0.20010E+00	0.10282E+01	0.66136E-02	-	-	0.29554E-01	0.11984E-01
20	0.58601E+00	0.20010E+00	0.10329E+01	0.62729E-02	-	-	0.27725E-01	0.10850E-01
21	0.67152E+00	0.20010E+00	0.10396E+01	0.59360E-02	-	-	0.24310E-01	0.13285E-01
22	0.75728E+00	0.20010E+00	0.10425E+01	0.62921E-02	-	-	0.22664E-01	0.11524E-01
23	0.84304E+00	0.20010E+00	0.10363E+01	0.63845E-02	-	-	0.13080E-01	0.12006E-01
24	0.92868E+00	0.20010E+00	0.10333E+01	0.55007E-02	-	-	0.17176E-01	0.10902E-01
25	0.10144E+01	0.20010E+00	0.10250E+01	0.54703E-02	-	-	0.10207E-01	0.14084E-01
26	0.11001E+01	0.20010E+00	0.10218E+01	0.46088E-02	-	-	0.14447E-01	0.15218E-01
27	0.11001E+01	0.19998E+00	0.10226E+01	0.56985E-02	-	-	0.17124E-01	0.11387E-01
28	0.11001E+01	0.15989E+00	0.10207E+01	0.59195E-02	-	-	0.14327E-01	0.15481E-01
29	0.11001E+01	0.11993E+00	0.10175E+01	0.54466E-02	-	-	0.61608E-02	0.11880E-01
30	0.11001E+01	0.79844E-01	0.10143E+01	0.46787E-02	-	-	-0.22723E-03	0.13040E-01
31	0.11001E+01	0.39880E-01	0.10128E+01	0.52601E-02	-	-	-0.17812E-02	0.16703E-01
32	0.11001E+01	-0.85220E-04	0.92703E+00	0.66462E-01	-	-	-0.69709E-01	0.56734E-01
33	0.11001E+01	-0.40171E-01	0.10098E+01	0.55600E-02	-	-	0.14965E-01	0.22372E-01
34	0.11001E+01	-0.80136E-01	0.10140E+01	0.51489E-02	-	-	0.24417E-01	0.17884E-01
35	0.11001E+01	-0.12010E+00	0.10153E+01	0.50081E-02	-	-	0.26543E-01	0.15367E-01
36	0.11001E+01	-0.16007E+00	0.10185E+01	0.56376E-02	-	-	0.31531E-01	0.14228E-01
37	0.11001E+01	-0.20015E+00	0.10195E+01	0.54637E-02	-	-	0.27472E-01	0.12755E-01

38	0.10996E+01	-0.20015E+00	0.10204E+01	0.46999E-02	-	0.32436E-01	0.11955E-01
39	0.10142E+01	-0.20015E+00	0.10225E+01	0.47499E-02	-	0.21638E-01	0.14948E-01
40	0.92820E+00	-0.20015E+00	0.10305E+01	0.52372E-02	-	0.97500E-03	0.50393E-01
41	0.84268E+00	-0.20015E+00	0.10403E+01	0.57112E-02	-	-0.11062E-01	0.44678E-01
42	0.75692E+00	-0.20015E+00	0.10486E+01	0.54214E-02	-	-0.77736E-01	0.56060E-01
43	0.67128E+00	-0.20015E+00	0.10464E+01	0.61121E-02	-	-0.11944E+00	0.54236E-01
44	0.58552E+00	-0.20015E+00	0.10388E+01	0.75228E-02	-	-0.14164E+00	0.50042E-01
45	0.49976E+00	-0.20015E+00	0.10324E+01	0.54144E-02	-	-0.16510E+00	0.52428E-01
46	0.41388E+00	-0.20015E+00	0.10274E+01	0.65434E-02	-	-0.18789E+00	0.51979E-01
47	0.32836E+00	-0.20015E+00	0.10282E+01	0.55378E-02	-	-0.21170E+00	0.51151E-01
48	0.24260E+00	-0.20015E+00	0.10228E+01	0.53168E-02	-	-0.20987E+00	0.49491E-01
49	0.15696E+00	-0.20015E+00	0.10223E+01	0.50665E-02	-	-0.18705E+00	0.62187E-01
50	0.71083E-01	-0.20015E+00	0.10216E+01	0.50680E-02	-	-0.20167E+00	0.52315E-01
51	-0.14677E-01	-0.20015E+00	0.10182E+01	0.54145E-02	-	-0.16543E+00	0.82193E-01
52	-0.10019E+00	-0.20015E+00	0.10175E+01	0.57857E-02	-	-0.15753E+00	0.50287E-01

I1 = 0.0135 I2 = 2.4676 I3 = -0.0042 I4 = -2.4719

Lift = 0.0050

Swept Tapered Tip

Inboard angle = 6.6 Tip angle = -5.8 Delta theta = -12.4

Circulation box no. 1 at y/c = 1.002

NPT	x/c	z/c	u/U	$\sigma_u$	v/U	$\sigma_v$	w/U	$\sigma_w$
1	-0.10032E+00	-0.20003E+00	0.93946E+00	0.89927E-02	-	-	0.59968E-02	0.12941E-01
2	-0.10032E+00	-0.13322E+00	0.92248E+00	0.10927E-01	-	-	0.18197E-01	0.20035E-01
3	-0.10032E+00	-0.66531E-01	0.90772E+00	0.95689E-02	-	-	0.66633E-01	0.20099E-01
4	-0.10032E+00	0.15778E-03	0.93648E+00	0.10793E-01	-	-	0.13179E+00	0.22183E-01
5	-0.10032E+00	0.66846E-01	0.10017E+01	0.90947E-02	-	-	0.15027E+00	0.23982E-01
6	-0.10032E+00	0.13341E+00	0.10455E+01	0.87954E-02	-	-	0.12266E+00	0.14446E-01
7	-0.10032E+00	0.20010E+00	0.10690E+01	0.10034E-01	-	-	0.10497E+00	0.19130E-01
8	-0.99708E-01	0.20010E+00	0.10697E+01	0.95152E-02	-	-	0.10404E+00	0.15567E-01
9	-0.14070E-01	0.20010E+00	0.11103E+01	0.98086E-02	-	-	0.11205E+00	0.12236E-01
10	0.71569E-01	0.20010E+00	0.11638E+01	0.10792E-01	-	-	0.94167E-01	0.14253E-01
11	0.15721E+00	0.20010E+00	0.12044E+01	0.11551E-01	-	-	0.47211E-01	0.12049E-01
12	0.24297E+00	0.20010E+00	0.12113E+01	0.90811E-02	-	-	-0.87858E-02	0.14922E-01
13	0.32897E+00	0.20010E+00	0.11952E+01	0.91522E-02	-	-	-0.52609E-01	0.13060E-01
14	0.41449E+00	0.20010E+00	0.11706E+01	0.95690E-02	-	-	-0.85954E-01	0.11730E-01
15	0.50025E+00	0.20010E+00	0.11425E+01	0.10861E-01	-	-	-0.10329E+00	0.11463E-01
16	0.58588E+00	0.20010E+00	0.11225E+01	0.10382E-01	-	-	-0.11559E+00	0.97484E-02
17	0.67165E+00	0.20010E+00	0.11015E+01	0.83854E-02	-	-	-0.12381E+00	0.11677E-01
18	0.75728E+00	0.20010E+00	0.10799E+01	0.10708E-01	-	-	-0.12405E+00	0.10968E-01
19	0.84304E+00	0.20010E+00	0.10605E+01	0.68440E-02	-	-	-0.12186E+00	0.94103E-02
20	0.92868E+00	0.20010E+00	0.10481E+01	0.76393E-02	-	-	-0.11186E+00	0.94823E-02
21	0.10146E+01	0.20010E+00	0.10380E+01	0.83463E-02	-	-	-0.10221E+00	0.11333E-01
22	0.11001E+01	0.20010E+00	0.10317E+01	0.71288E-02	-	-	-0.94032E-01	0.11058E-01
23	0.11001E+01	0.19998E+00	0.10332E+01	0.83470E-02	-	-	-0.95268E-01	0.11647E-01
24	0.11001E+01	0.13317E+00	0.10250E+01	0.98462E-02	-	-	-0.96577E-01	0.11589E-01
25	0.11001E+01	0.66603E-01	0.10172E+01	0.10017E-01	-	-	-0.10279E+00	0.87206E-02
26	0.11001E+01	-0.85220E-04	0.10043E+01	0.77049E-02	-	-	-0.10282E+00	0.79970E-02
27	0.11001E+01	-0.66774E-01	0.99229E+00	0.84663E-02	-	-	-0.96366E-01	0.70906E-02
28	0.11001E+01	-0.13346E+00	0.98257E+00	0.22983E-01	-	-	-0.69020E-01	0.21159E-01
29	0.11001E+01	-0.20015E+00	0.99268E+00	0.69904E-02	-	-	-0.59789E-01	0.10168E-01
30	0.10996E+01	-0.20015E+00	0.99240E+00	0.77533E-02	-	-	-0.59843E-01	0.91568E-02
31	0.10141E+01	-0.20015E+00	0.98477E+00	0.62175E-02	-	-	-0.48993E-01	0.10238E-01
32	0.92832E+00	-0.20015E+00	0.98877E+00	0.66634E-02	-	-	-0.34259E-01	0.71885E-02
33	0.84268E+00	-0.20015E+00	0.10019E+01	0.63119E-02	-	-	-0.22739E-01	0.69035E-02
34	0.75692E+00	-0.20015E+00	0.10186E+01	0.62300E-02	-	-	-0.20552E-01	0.85614E-02
35	0.67116E+00	-0.20015E+00	0.10284E+01	0.86064E-02	-	-	-0.26413E-01	0.11451E-01
36	0.58540E+00	-0.20015E+00	0.10378E+01	0.84726E-02	-	-	-0.38536E-01	0.73110E-02
37	0.49976E+00	-0.20015E+00	0.10423E+01	0.90048E-02	-	-	-0.52760E-01	0.83884E-02

38	0.41412E+00	-0.20015E+00	0.10339E+01	0.83096E-02	-	-0.63827E-01	0.93821E-02
39	0.32848E+00	-0.20015E+00	0.10221E+01	0.90779E-02	-	-0.79258E-01	0.75949E-02
40	0.24248E+00	-0.20015E+00	0.10048E+01	0.12508E-01	-	-0.88428E-01	0.94870E-02
41	0.15684E+00	-0.20015E+00	0.97635E+00	0.13918E-01	-	-0.89133E-01	0.10274E-01
42	0.71204E-01	-0.20015E+00	0.94535E+00	0.13465E-01	-	-0.65933E-01	0.13993E-01
43	-0.14556E-01	-0.20015E+00	0.93339E+00	0.12322E-01	-	-0.36981E-01	0.15602E-01
44	-0.10019E+00	-0.20015E+00	0.94426E+00	0.95588E-02	-	0.14355E-02	0.13410E-01

I1 = 0.0727 I2 = 2.6916 I3 = 0.0723 I4 = -2.3972

Lift = 0.4394



Swept Tapered Tip

Inboard angle = 6.6 Tip angle = -5.8 Delta theta = -12.4

Circulation box no. 2 at y/c = 0.503

NPT	x/c	z/c	u/U	$\sigma_u$	v/U	$\sigma_v$	w/U	$\sigma_w$
1	-0.10019E+00	-0.20003E+00	0.95224E+00	0.10156E-01	-	-	-0.11296E-01	0.22849E-01
2	-0.10019E+00	-0.13322E+00	0.93166E+00	0.99893E-02	-	-	-0.37549E-02	0.21446E-01
3	-0.10019E+00	-0.66531E-01	0.91353E+00	0.11747E-01	-	-	0.37259E-01	0.26216E-01
4	-0.10019E+00	0.15778E-03	0.93235E+00	0.80637E-02	-	-	0.91508E-01	0.22989E-01
5	-0.10019E+00	0.66846E-01	0.98776E+00	0.92026E-02	-	-	0.12254E+00	0.28424E-01
6	-0.10019E+00	0.13341E+00	0.10300E+01	0.89270E-02	-	-	0.11313E+00	0.25925E-01
7	-0.10019E+00	0.20010E+00	0.10515E+01	0.92713E-02	-	-	0.92244E-01	0.20364E-01
8	-0.99587E-01	0.20010E+00	0.10495E+01	0.77289E-02	-	-	0.83963E-01	0.17773E-01
9	-0.14070E-01	0.20010E+00	0.10885E+01	0.11333E-01	-	-	0.10194E+00	0.22825E-01
10	0.71690E-01	0.20010E+00	0.11375E+01	0.10688E-01	-	-	0.85334E-01	0.17468E-01
11	0.15733E+00	0.20010E+00	0.11790E+01	0.10088E-01	-	-	0.42809E-01	0.16760E-01
12	0.24309E+00	0.20010E+00	0.11874E+01	0.92434E-02	-	-	-0.40232E-02	0.24038E-01
13	0.32885E+00	0.20010E+00	0.11743E+01	0.11391E-01	-	-	-0.45557E-01	0.24190E-01
14	0.41437E+00	0.20010E+00	0.11528E+01	0.11313E-01	-	-	-0.80493E-01	0.17928E-01
15	0.50037E+00	0.20010E+00	0.11303E+01	0.12472E-01	-	-	-0.98674E-01	0.15581E-01
16	0.58601E+00	0.20010E+00	0.11085E+01	0.95410E-02	-	-	-0.11061E+00	0.12834E-01
17	0.67165E+00	0.20010E+00	0.10861E+01	0.94388E-02	-	-	-0.11897E+00	0.15812E-01
18	0.75753E+00	0.20010E+00	0.10738E+01	0.12412E-01	-	-	-0.11339E+00	0.13303E-01
19	0.84304E+00	0.20010E+00	0.10581E+01	0.11486E-01	-	-	-0.11182E+00	0.22693E-01
20	0.92868E+00	0.20010E+00	0.10444E+01	0.13344E-01	-	-	-0.10904E+00	0.23951E-01
21	0.10146E+01	0.20010E+00	0.10363E+01	0.11599E-01	-	-	-0.10339E+00	0.20603E-01
22	0.11001E+01	0.20010E+00	0.10299E+01	0.99063E-02	-	-	-0.94494E-01	0.19769E-01
23	0.11001E+01	0.19998E+00	0.10299E+01	0.10198E-01	-	-	-0.91021E-01	0.16805E-01
24	0.11001E+01	0.13317E+00	0.10227E+01	0.90107E-02	-	-	-0.10099E+00	0.20517E-01
25	0.11001E+01	0.66603E-01	0.10127E+01	0.10503E-01	-	-	-0.10918E+00	0.12982E-01
26	0.11001E+01	-0.85220E-04	0.10055E+01	0.11415E-01	-	-	-0.10999E+00	0.13314E-01
27	0.11001E+01	-0.66774E-01	0.99429E+00	0.10891E-01	-	-	-0.10460E+00	0.19457E-01
28	0.11001E+01	-0.13346E+00	0.98484E+00	0.20930E-01	-	-	-0.79854E-01	0.22051E-01
29	0.11001E+01	-0.20015E+00	0.99312E+00	0.10310E-01	-	-	-0.66917E-01	0.15949E-01
30	0.10996E+01	-0.20015E+00	0.99327E+00	0.84071E-02	-	-	-0.64792E-01	0.98967E-02
31	0.10141E+01	-0.20015E+00	0.98724E+00	0.14609E-01	-	-	-0.67406E-01	0.48153E-01
32	0.92820E+00	-0.20015E+00	0.99203E+00	0.12092E-01	-	-	-0.64737E-01	0.48421E-01
33	0.84256E+00	-0.20015E+00	0.10097E+01	0.84500E-02	-	-	-0.74201E-01	0.54625E-01
34	0.75704E+00	-0.20015E+00	0.10278E+01	0.99092E-02	-	-	-0.70645E-01	0.48918E-01
35	0.67104E+00	-0.20015E+00	0.10398E+01	0.10042E-01	-	-	-0.78744E-01	0.49177E-01
36	0.58552E+00	-0.20015E+00	0.10491E+01	0.10261E-01	-	-	-0.96615E-01	0.50219E-01
37	0.49976E+00	-0.20015E+00	0.10540E+01	0.11128E-01	-	-	-0.10386E+00	0.51009E-01

38	0.41412E+00	-0.20015E+00	0.10548E+01	0.12488E-01	-	-0.11812E+00	0.49551E-01
39	0.32824E+00	-0.20015E+00	0.10418E+01	0.13100E-01	-	-0.11726E+00	0.48079E-01
40	0.24248E+00	-0.20015E+00	0.10205E+01	0.95122E-02	-	-0.12198E+00	0.49010E-01
41	0.15684E+00	-0.20015E+00	0.99314E+00	0.14480E-01	-	-0.13313E+00	0.47257E-01
42	0.71204E-01	-0.20015E+00	0.96516E+00	0.14925E-01	-	-0.13757E+00	0.49720E-01
43	-0.14556E-01	-0.20015E+00	0.94962E+00	0.11600E-01	-	-0.15008E+00	0.55849E-01
44	-0.10019E+00	-0.20015E+00	0.95256E+00	0.11838E-01	-	-0.15971E+00	0.53716E-01

I1 = 0.0535    I2 = 2.6571    I3 = 0.0777    I4 = -2.4266

Lift = 0.3617

Swept Tapered Tip

Inboard angle = 6.6 Tip angle = -5.8 Delta theta = -12.4

Circulation box no. 3 at y/c = 0.104

NPT	x/c	z/c	u/U	$\sigma_u$	v/U	$\sigma_v$	w/U	$\sigma_w$
1	-0.10019E+00	-0.20003E+00	0.97381E+00	0.12942E-01	-	-	-0.27028E-01	0.21728E-01
2	-0.10019E+00	-0.13322E+00	0.95367E+00	0.15624E-01	-	-	-0.22355E-01	0.22930E-01
3	-0.10019E+00	-0.66531E-01	0.92268E+00	0.11177E-01	-	-	0.64285E-02	0.22982E-01
4	-0.10019E+00	0.15778E-03	0.92423E+00	0.12818E-01	-	-	0.54909E-01	0.24780E-01
5	-0.10019E+00	0.66846E-01	0.96502E+00	0.10356E-01	-	-	0.92568E-01	0.24492E-01
6	-0.10019E+00	0.13341E+00	0.10016E+01	0.12474E-01	-	-	0.92996E-01	0.24969E-01
7	-0.10019E+00	0.20010E+00	0.10240E+01	0.77985E-02	-	-	0.79459E-01	0.14450E-01
8	-0.99708E-01	0.20010E+00	0.10245E+01	0.76431E-02	-	-	0.79169E-01	0.16219E-01
9	-0.14070E-01	0.20010E+00	0.10517E+01	0.12102E-01	-	-	0.95124E-01	0.22660E-01
10	0.71690E-01	0.20010E+00	0.10951E+01	0.12048E-01	-	-	0.94989E-01	0.16327E-01
11	0.15733E+00	0.20010E+00	0.11261E+01	0.10439E-01	-	-	0.58436E-01	0.21521E-01
12	0.24309E+00	0.20010E+00	0.11429E+01	0.11580E-01	-	-	0.20625E-01	0.18970E-01
13	0.32873E+00	0.20010E+00	0.11365E+01	0.13200E-01	-	-	-0.13179E-01	0.30548E-01
14	0.41461E+00	0.20010E+00	0.11219E+01	0.83573E-02	-	-	-0.44902E-01	0.23596E-01
15	0.50025E+00	0.20010E+00	0.11082E+01	0.10474E-01	-	-	-0.62812E-01	0.19267E-01
16	0.58588E+00	0.20010E+00	0.10914E+01	0.78316E-02	-	-	-0.80032E-01	0.17283E-01
17	0.67152E+00	0.20010E+00	0.10767E+01	0.86716E-02	-	-	-0.86226E-01	0.16437E-01
18	0.75740E+00	0.20010E+00	0.10609E+01	0.12897E-01	-	-	-0.86662E-01	0.14054E-01
19	0.84292E+00	0.20010E+00	0.10442E+01	0.83023E-02	-	-	-0.88411E-01	0.21559E-01
20	0.92892E+00	0.20010E+00	0.10329E+01	0.11104E-01	-	-	-0.83206E-01	0.19251E-01
21	0.10144E+01	0.20010E+00	0.10242E+01	0.10227E-01	-	-	-0.73650E-01	0.14377E-01
22	0.11003E+01	0.20010E+00	0.10215E+01	0.10800E-01	-	-	-0.68633E-01	0.14261E-01
23	0.11003E+01	0.19998E+00	0.10200E+01	0.10182E-01	-	-	-0.64377E-01	0.13417E-01
24	0.11003E+01	0.13317E+00	0.10168E+01	0.10503E-01	-	-	-0.86580E-01	0.18834E-01
25	0.11003E+01	0.66603E-01	0.10091E+01	0.88061E-02	-	-	-0.15292E+00	0.16116E-01
26	0.11003E+01	-0.85220E-04	0.98776E+00	0.36266E-01	-	-	-0.25398E+00	0.30378E-01
27	0.11003E+01	-0.66774E-01	0.10066E+01	0.12083E-01	-	-	-0.22885E+00	0.22552E-01
28	0.11003E+01	-0.13346E+00	0.99114E+00	0.20719E-01	-	-	-0.73693E-01	0.28211E-01
29	0.11003E+01	-0.20015E+00	0.10040E+01	0.83347E-02	-	-	-0.22406E-01	0.15468E-01
30	0.10995E+01	-0.20015E+00	0.10052E+01	0.90133E-02	-	-	-0.20882E-01	0.18212E-01
31	0.10141E+01	-0.20015E+00	0.10035E+01	0.99963E-02	-	-	-0.11435E-01	0.15448E-01
32	0.92844E+00	-0.20015E+00	0.99998E+00	0.83126E-02	-	-	0.39689E-03	0.21263E-01
33	0.84244E+00	-0.20015E+00	0.10126E+01	0.79440E-02	-	-	0.18916E-01	0.22097E-01
34	0.75704E+00	-0.20015E+00	0.10359E+01	0.96652E-02	-	-	0.22028E-01	0.18085E-01
35	0.67128E+00	-0.20015E+00	0.10517E+01	0.83177E-02	-	-	0.20092E-01	0.17676E-01
36	0.58552E+00	-0.20015E+00	0.10679E+01	0.12499E-01	-	-	0.88125E-02	0.22703E-01
37	0.49976E+00	-0.20015E+00	0.10732E+01	0.82388E-02	-	-	0.52218E-02	0.44487E-01

38	0.41412E+00	-0.20015E+00	0.10819E+01	0.10919E-01	-	-	-0.60164E-02	0.49368E-01
39	0.32848E+00	-0.20015E+00	0.10823E+01	0.97646E-02	-	-	-0.38894E-01	0.21466E-01
40	0.24248E+00	-0.20015E+00	0.10711E+01	0.14308E-01	-	-	-0.62054E-01	0.21173E-01
41	0.15672E+00	-0.20015E+00	0.10500E+01	0.14553E-01	-	-	-0.78855E-01	0.16252E-01
42	0.71204E-01	-0.20015E+00	0.10221E+01	0.16641E-01	-	-	-0.81088E-01	0.21466E-01
43	-0.14556E-01	-0.20015E+00	0.99201E+00	0.15786E-01	-	-	-0.66638E-01	0.23559E-01
44	-0.10019E+00	-0.20015E+00	0.97401E+00	0.12775E-01	-	-	-0.31388E-01	0.28259E-01

I1 = 0.0334 I2 = 2.5946 I3 = 0.1114 I4 = -2.4914

Lift = 0.2481

Swept Tapered Tip

Inboard angle = 6.6 Tip angle = -5.8 Delta theta = -12.4

Circulation box no. 4 at y/c = 0.054

NPT	$\kappa/c$	$z/c$	$u/U$	$\sigma_u$	$v/U$	$\sigma_v$	$w/U$	$\sigma_w$
1	-0.10032E+00	-0.20003E+00	0.98146E+00	0.96954E-02	-	-	-0.33913E-01	0.18571E-01
2	-0.10032E+00	-0.15982E+00	0.96584E+00	0.10078E-01	-	-	-0.36976E-01	0.18990E-01
3	-0.10032E+00	-0.11986E+00	0.94748E+00	0.10789E-01	-	-	-0.28051E-01	0.21790E-01
4	-0.10032E+00	-0.79893E-01	0.92862E+00	0.14241E-01	-	-	-0.46307E-02	0.19260E-01
5	-0.10032E+00	-0.39928E-01	0.91661E+00	0.10904E-01	-	-	0.26161E-01	0.23183E-01
6	-0.10032E+00	0.15778E-03	0.92212E+00	0.10955E-01	-	-	0.48029E-01	0.27475E-01
7	-0.10032E+00	0.40123E-01	0.94474E+00	0.10727E-01	-	-	0.79025E-01	0.22514E-01
8	-0.10032E+00	0.80087E-01	0.97359E+00	0.97675E-02	-	-	0.98927E-01	0.23486E-01
9	-0.10032E+00	0.12017E+00	0.99214E+00	0.77794E-02	-	-	0.91979E-01	0.19217E-01
10	-0.10032E+00	0.16014E+00	0.10090E+01	0.96069E-02	-	-	0.81168E-01	0.17274E-01
11	-0.10032E+00	0.20010E+00	0.10237E+01	0.74317E-02	-	-	0.86501E-01	0.19810E-01
12	-0.99708E-01	0.20010E+00	0.10174E+01	0.89659E-02	-	-	0.79678E-01	0.22962E-01
13	-0.14070E-01	0.20010E+00	0.10468E+01	0.14483E-01	-	-	0.94919E-01	0.17984E-01
14	0.71690E-01	0.20010E+00	0.10835E+01	0.10348E-01	-	-	0.10021E+00	0.20358E-01
15	0.15733E+00	0.20010E+00	0.11172E+01	0.95213E-02	-	-	0.73775E-01	0.22947E-01
16	0.24309E+00	0.20010E+00	0.11348E+01	0.92383E-02	-	-	0.42140E-01	0.19298E-01
17	0.32885E+00	0.20010E+00	0.11348E+01	0.81181E-02	-	-	0.61987E-02	0.23361E-01
18	0.41437E+00	0.20010E+00	0.11200E+01	0.10444E-01	-	-	-0.24793E-01	0.18886E-01
19	0.50013E+00	0.20010E+00	0.11057E+01	0.70694E-02	-	-	-0.43552E-01	0.20178E-01
20	0.58613E+00	0.20010E+00	0.10900E+01	0.77367E-02	-	-	-0.56311E-01	0.21082E-01
21	0.67165E+00	0.20010E+00	0.10764E+01	0.82924E-02	-	-	-0.61542E-01	0.18454E-01
22	0.75728E+00	0.20010E+00	0.10554E+01	0.83312E-02	-	-	-0.71997E-01	0.17062E-01
23	0.84292E+00	0.20010E+00	0.10392E+01	0.76093E-02	-	-	-0.66320E-01	0.16449E-01
24	0.92880E+00	0.20010E+00	0.10295E+01	0.86141E-02	-	-	-0.60799E-01	0.17894E-01
25	0.10146E+01	0.20010E+00	0.10229E+01	0.71333E-02	-	-	-0.46795E-01	0.20917E-01
26	0.11001E+01	0.20010E+00	0.10214E+01	0.81665E-02	-	-	-0.39844E-01	0.21132E-01
27	0.11001E+01	0.19998E+00	0.10178E+01	0.89092E-02	-	-	-0.42773E-01	0.18533E-01
28	0.11001E+01	0.15989E+00	0.10145E+01	0.82452E-02	-	-	-0.50164E-01	0.17628E-01
29	0.11001E+01	0.11993E+00	0.10103E+01	0.10253E-01	-	-	-0.62619E-01	0.18772E-01
30	0.11001E+01	0.79844E-01	0.10040E+01	0.92580E-02	-	-	-0.89996E-01	0.20675E-01
31	0.11001E+01	0.39880E-01	0.93456E+00	0.68380E-01	-	-	-0.19038E+00	0.55205E-01
32	0.11001E+01	-0.85220E-04	0.10166E+01	0.45193E-01	-	-	-0.19100E+00	0.54405E-01
33	0.11001E+01	-0.40171E-01	0.96141E+00	0.64192E-01	-	-	-0.22681E+00	0.77904E-01
34	0.11001E+01	-0.80136E-01	0.10213E+01	0.26443E-01	-	-	-0.17689E+00	0.33828E-01
35	0.11001E+01	-0.12010E+00	0.84030E+00	0.60320E-01	-	-	-0.47147E-01	0.52815E-01
36	0.11001E+01	-0.16007E+00	0.97212E+00	0.47906E-01	-	-	-0.85023E-02	0.19667E-01
37	0.11001E+01	-0.20015E+00	0.10085E+01	0.98775E-02	-	-	0.14469E-01	0.18365E-01

38	0.10996E+01	-0.20015E+00	0.10098E+01	0.99593E-02	-	0.18064E-01	0.18067E-01
39	0.10140E+01	-0.20015E+00	0.10061E+01	0.87245E-02	-	0.27002E-01	0.41051E-01
40	0.92832E+00	-0.20015E+00	0.10077E+01	0.91513E-02	-	0.32750E-01	0.46958E-01
41	0.84268E+00	-0.20015E+00	0.10163E+01	0.79507E-02	-	0.50212E-01	0.48739E-01
42	0.75704E+00	-0.20015E+00	0.10390E+01	0.88788E-02	-	0.66470E-01	0.40295E-01
43	0.67104E+00	-0.20015E+00	0.10557E+01	0.77845E-02	-	0.73120E-01	0.49244E-01
44	0.58552E+00	-0.20015E+00	0.10684E+01	0.64106E-02	-	0.71562E-01	0.53398E-01
45	0.49976E+00	-0.20015E+00	0.10799E+01	0.93479E-02	-	0.68299E-01	0.53429E-01
46	0.41412E+00	-0.20015E+00	0.10875E+01	0.86116E-02	-	0.38272E-01	0.54119E-01
47	0.32848E+00	-0.20015E+00	0.10832E+01	0.80403E-02	-	0.30773E-01	0.55087E-01
48	0.24272E+00	-0.20015E+00	0.10849E+01	0.10188E-01	-	0.27086E-01	0.52322E-01
49	0.15696E+00	-0.20015E+00	0.10637E+01	0.12226E-01	-	0.23826E-02	0.72154E-01
50	0.71326E-01	-0.20015E+00	0.10347E+01	0.94496E-02	-	-0.68221E-02	0.57897E-01
51	-0.14434E-01	-0.20015E+00	0.10003E+01	0.12875E-01	-	-0.15243E-01	0.59200E-01
52	-0.10032E+00	-0.20015E+00	0.98165E+00	0.12822E-01	-	-0.62062E-02	0.42952E-01

I1 = 0.0303 I2 = 2.5852 I3 = 0.0840 I4 = -2.5061

Lift = 0.1934

Swept Tapered Tip

Inboard angle = 6.6 Tip angle = -5.8 Delta theta = -12.4

Circulation box no. 5 at y/c = 0.003

NPT	x/c	z/c	u/U	$\sigma_u$	v/U	$\sigma_v$	w/U	$\sigma_w$
1	-0.10032E+00	-0.20003E+00	0.98419E+00	0.10313E-01	-	-	-0.36675E-01	0.26247E-01
2	-0.10032E+00	-0.15982E+00	0.96680E+00	0.11043E-01	-	-	-0.34111E-01	0.24603E-01
3	-0.10032E+00	-0.11986E+00	0.94441E+00	0.99849E-02	-	-	-0.21754E-01	0.26314E-01
4	-0.10032E+00	-0.79893E-01	0.92583E+00	0.10467E-01	-	-	-0.11425E-01	0.24819E-01
5	-0.10032E+00	-0.39928E-01	0.91613E+00	0.10841E-01	-	-	0.19562E-01	0.23295E-01
6	-0.10032E+00	0.15778E-03	0.92352E+00	0.92441E-02	-	-	0.61542E-01	0.25547E-01
7	-0.10032E+00	0.40123E-01	0.94557E+00	0.10717E-01	-	-	0.85726E-01	0.27860E-01
8	-0.10032E+00	0.80087E-01	0.96563E+00	0.97690E-02	-	-	0.78066E-01	0.22599E-01
9	-0.10032E+00	0.12017E+00	0.98994E+00	0.10188E-01	-	-	0.89543E-01	0.24112E-01
10	-0.10032E+00	0.16014E+00	0.10040E+01	0.96754E-02	-	-	0.77463E-01	0.22439E-01
11	-0.10032E+00	0.20010E+00	0.10165E+01	0.85161E-02	-	-	0.83619E-01	0.21192E-01
12	-0.99830E-01	0.20010E+00	0.10164E+01	0.94180E-02	-	-	0.75231E-01	0.26202E-01
13	-0.14191E-01	0.20010E+00	0.10421E+01	0.91328E-02	-	-	0.90519E-01	0.22892E-01
14	0.71569E-01	0.20010E+00	0.10757E+01	0.10838E-01	-	-	0.99577E-01	0.24505E-01
15	0.15721E+00	0.20010E+00	0.11086E+01	0.13013E-01	-	-	0.91271E-01	0.25486E-01
16	0.24297E+00	0.20010E+00	0.11250E+01	0.88466E-02	-	-	0.55641E-01	0.21678E-01
17	0.32873E+00	0.20010E+00	0.11302E+01	0.92186E-02	-	-	0.33010E-01	0.34963E-01
18	0.41437E+00	0.20010E+00	0.11151E+01	0.77297E-02	-	-	0.33674E-03	0.25815E-01
19	0.50013E+00	0.20010E+00	0.11021E+01	0.79749E-02	-	-	-0.21110E-01	0.22935E-01
20	0.58601E+00	0.20010E+00	0.10871E+01	0.63436E-02	-	-	-0.37617E-01	0.21505E-01
21	0.67165E+00	0.20010E+00	0.10705E+01	0.80345E-02	-	-	-0.47164E-01	0.20128E-01
22	0.75728E+00	0.20010E+00	0.10554E+01	0.79638E-02	-	-	-0.49335E-01	0.22298E-01
23	0.84292E+00	0.20010E+00	0.10375E+01	0.76010E-02	-	-	-0.47617E-01	0.22872E-01
24	0.92880E+00	0.20010E+00	0.10244E+01	0.68859E-02	-	-	-0.29998E-01	0.17299E-01
25	0.10146E+01	0.20010E+00	0.10182E+01	0.10875E-01	-	-	-0.26114E-01	0.19605E-01
26	0.11001E+01	0.20010E+00	0.10159E+01	0.10152E-01	-	-	-0.78858E-02	0.24080E-01
27	0.11001E+01	0.19998E+00	0.10168E+01	0.84804E-02	-	-	-0.90465E-02	0.27792E-01
28	0.11001E+01	0.15989E+00	0.10125E+01	0.89451E-02	-	-	-0.14586E-01	0.17766E-01
29	0.11001E+01	0.11993E+00	0.10070E+01	0.95258E-02	-	-	-0.43732E-02	0.23169E-01
30	0.11001E+01	0.79844E-01	0.10021E+01	0.10355E-01	-	-	0.14040E-01	0.22346E-01
31	0.11001E+01	0.39880E-01	0.10200E+01	0.13603E-01	-	-	0.70984E-01	0.28538E-01
32	0.11001E+01	-0.85220E-04	0.91073E+00	0.52734E-01	-	-	0.33244E-01	0.73649E-01
33	0.11001E+01	-0.40171E-01	0.93333E+00	0.51870E-01	-	-	0.66358E-01	0.61547E-01
34	0.11001E+01	-0.80136E-01	0.10119E+01	0.34192E-01	-	-	0.23936E-01	0.51620E-01
35	0.11001E+01	-0.12010E+00	0.98732E+00	0.40471E-01	-	-	0.42695E-01	0.42300E-01
36	0.11001E+01	-0.16007E+00	0.10093E+01	0.16471E-01	-	-	0.57349E-01	0.19526E-01
37	0.11001E+01	-0.20015E+00	0.10114E+01	0.13345E-01	-	-	0.56709E-01	0.23751E-01

38	0.10996E+01	-0.20015E+00	0.10084E+01	0.82932E-02	-	-	0.66155E-01	0.36176E-01
39	0.10141E+01	-0.20015E+00	0.10049E+01	0.73492E-02	-	-	0.69380E-01	0.52275E-01
40	0.92844E+00	-0.20015E+00	0.10062E+01	0.84177E-02	-	-	0.75637E-01	0.50501E-01
41	0.84268E+00	-0.20015E+00	0.10217E+01	0.73737E-02	-	-	0.87721E-01	0.45926E-01
42	0.75692E+00	-0.20015E+00	0.10389E+01	0.11833E-01	-	-	0.10231E+00	0.45457E-01
43	0.67116E+00	-0.20015E+00	0.10586E+01	0.77029E-02	-	-	0.99039E-01	0.44604E-01
44	0.58564E+00	-0.20015E+00	0.10706E+01	0.76158E-02	-	-	0.11156E+00	0.51051E-01
45	0.49988E+00	-0.20015E+00	0.10813E+01	0.76219E-02	-	-	0.10380E+00	0.48270E-01
46	0.41412E+00	-0.20015E+00	0.10956E+01	0.81573E-02	-	-	0.86459E-01	0.56653E-01
47	0.32824E+00	-0.20015E+00	0.10956E+01	0.89453E-02	-	-	0.85884E-01	0.53150E-01
48	0.24248E+00	-0.20015E+00	0.10934E+01	0.10908E-01	-	-	0.89545E-01	0.49561E-01
49	0.15672E+00	-0.20015E+00	0.10797E+01	0.85756E-02	-	-	0.73357E-01	0.75537E-01
50	0.71204E-01	-0.20015E+00	0.10485E+01	0.14027E-01	-	-	0.70520E-01	0.64931E-01
51	-0.14556E-01	-0.20015E+00	0.10009E+01	0.13878E-01	-	-	0.71686E-01	0.54651E-01
52	-0.10019E+00	-0.20015E+00	0.98443E+00	0.10705E-01	-	-	0.70333E-01	0.64634E-01

I1 = 0.0293    I2 = 2.5734    I3 = -0.0228    I4 = -2.5183

Lift = 0.0616



Rectangular Tip

Inboard angle = 6.6 Tip angle = -5.8 Delta theta = -12.4

Circulation box no. 6 at y/c = -0.047

NPT	x/c	z/c	u/U	$\sigma_u$	v/U	$\sigma_w$	w/U	$\sigma_w$
1	-0.10032E+00	-0.20003E+00	0.98827E+00	0.10539E-01	-	-	-0.38642E-01	0.26238E-01
2	-0.10032E+00	-0.15982E+00	0.96997E+00	0.11420E-01	-	-	-0.41211E-01	0.25543E-01
3	-0.10032E+00	-0.11986E+00	0.94567E+00	0.11926E-01	-	-	-0.33539E-01	0.29072E-01
4	-0.10032E+00	-0.79893E-01	0.92208E+00	0.12958E-01	-	-	-0.21873E-01	0.24405E-01
5	-0.10032E+00	-0.39928E-01	0.91286E+00	0.11315E-01	-	-	0.14974E-01	0.25428E-01
6	-0.10032E+00	0.15778E-03	0.92311E+00	0.13583E-01	-	-	0.48703E-01	0.27954E-01
7	-0.10032E+00	0.40123E-01	0.94202E+00	0.13034E-01	-	-	0.80126E-01	0.32794E-01
8	-0.10032E+00	0.80087E-01	0.96444E+00	0.11440E-01	-	-	0.93769E-01	0.29269E-01
9	-0.10032E+00	0.12017E+00	0.98422E+00	0.94748E-02	-	-	0.93508E-01	0.29432E-01
10	-0.10032E+00	0.16014E+00	0.99675E+00	0.10216E-01	-	-	0.80878E-01	0.26162E-01
11	-0.10032E+00	0.20010E+00	0.10102E+01	0.98791E-02	-	-	0.82516E-01	0.25120E-01
12	-0.99708E-01	0.20010E+00	0.10089E+01	0.76285E-02	-	-	0.75561E-01	0.24344E-01
13	-0.14070E-01	0.20010E+00	0.10255E+01	0.10367E-01	-	-	0.98309E-01	0.26066E-01
14	0.71569E-01	0.20010E+00	0.10610E+01	0.12638E-01	-	-	0.10086E+00	0.27971E-01
15	0.15733E+00	0.20010E+00	0.10914E+01	0.11658E-01	-	-	0.10885E+00	0.37532E-01
16	0.24309E+00	0.20010E+00	0.11175E+01	0.88946E-02	-	-	0.76003E-01	0.24823E-01
17	0.32885E+00	0.20010E+00	0.11171E+01	0.10002E-01	-	-	0.52604E-01	0.37353E-01
18	0.41437E+00	0.20010E+00	0.11115E+01	0.71608E-02	-	-	0.41025E-01	0.52192E-01
19	0.50013E+00	0.20010E+00	0.10977E+01	0.10571E-01	-	-	0.93929E-02	0.30777E-01
20	0.58601E+00	0.20010E+00	0.10843E+01	0.72452E-02	-	-	-0.81388E-02	0.34701E-01
21	0.67165E+00	0.20010E+00	0.10655E+01	0.74825E-02	-	-	-0.24826E-01	0.17802E-01
22	0.75728E+00	0.20010E+00	0.10532E+01	0.92723E-02	-	-	-0.25393E-01	0.17319E-01
23	0.84292E+00	0.20010E+00	0.10348E+01	0.10314E-01	-	-	-0.17734E-01	0.32589E-01
24	0.92892E+00	0.20010E+00	0.10221E+01	0.80762E-02	-	-	-0.99507E-02	0.22492E-01
25	0.10146E+01	0.20010E+00	0.10152E+01	0.85297E-02	-	-	-0.36030E-02	0.21093E-01
26	0.11001E+01	0.20010E+00	0.10125E+01	0.77943E-02	-	-	0.96170E-02	0.30035E-01
27	0.11001E+01	0.19998E+00	0.10132E+01	0.83733E-02	-	-	0.21910E-01	0.37127E-01
28	0.11001E+01	0.15989E+00	0.10076E+01	0.88040E-02	-	-	0.20823E-01	0.21362E-01
29	0.11001E+01	0.11993E+00	0.10037E+01	0.91490E-02	-	-	0.38499E-01	0.25785E-01
30	0.11001E+01	0.79844E-01	0.99813E+00	0.97170E-02	-	-	0.67734E-01	0.21067E-01
31	0.11001E+01	0.39880E-01	0.10048E+01	0.10599E-01	-	-	0.15390E+00	0.27728E-01
32	0.11001E+01	-0.85220E-04	0.10001E+01	0.13401E-01	-	-	0.30308E+00	0.34469E-01
33	0.11001E+01	-0.40171E-01	0.98288E+00	0.33858E-01	-	-	0.37065E+00	0.54542E-01
34	0.11001E+01	-0.80136E-01	0.98167E+00	0.32891E-01	-	-	0.31754E+00	0.66055E-01
35	0.11001E+01	-0.12010E+00	0.10028E+01	0.14917E-01	-	-	0.18035E+00	0.30196E-01
36	0.11001E+01	-0.16007E+00	0.10091E+01	0.14841E-01	-	-	0.12331E+00	0.21511E-01
37	0.11001E+01	-0.20015E+00	0.10135E+01	0.14205E-01	-	-	0.10570E+00	0.28870E-01

38	0.10996E+01	-0.20015E+00	0.10115E+01	0.14125E-01	-	-	0.98028E-01	0.26987E-01
39	0.10141E+01	-0.20015E+00	0.10081E+01	0.11428E-01	-	-	0.10062E+00	0.31412E-01
40	0.92844E+00	-0.20015E+00	0.10125E+01	0.85478E-02	-	-	0.10522E+00	0.56049E-01
41	0.84244E+00	-0.20015E+00	0.10238E+01	0.71588E-02	-	-	0.10415E+00	0.58809E-01
42	0.75692E+00	-0.20015E+00	0.10415E+01	0.93796E-02	-	-	0.10826E+00	0.57392E-01
43	0.67128E+00	-0.20015E+00	0.10599E+01	0.80727E-02	-	-	0.11730E+00	0.44627E-01
44	0.58564E+00	-0.20015E+00	0.10746E+01	0.84973E-02	-	-	0.10547E+00	0.55550E-01
45	0.49988E+00	-0.20015E+00	0.10881E+01	0.10012E-01	-	-	0.99586E-01	0.41428E-01
46	0.41388E+00	-0.20015E+00	0.10961E+01	0.10351E-01	-	-	0.89861E-01	0.49866E-01
47	0.32836E+00	-0.20015E+00	0.11084E+01	0.79714E-02	-	-	0.65768E-01	0.61972E-01
48	0.24260E+00	-0.20015E+00	0.11047E+01	0.10070E-01	-	-	0.60257E-01	0.50244E-01
49	0.15684E+00	-0.20015E+00	0.10940E+01	0.11920E-01	-	-	0.66393E-01	0.58920E-01
50	0.71204E-01	-0.20015E+00	0.10712E+01	0.10728E-01	-	-	0.65257E-01	0.60271E-01
51	-0.14556E-01	-0.20015E+00	0.10139E+01	0.13841E-01	-	-	0.65769E-01	0.62518E-01
52	-0.10019E+00	-0.20015E+00	0.98931E+00	0.11193E-01	-	-	0.61115E-01	0.51396E-01

I1 = 0.0265 I2 = 2.5548 I3 = -0.1319 I4 = -2.5364

Lift = -0.0869

Swept Tapered Tip

Inboard angle = 6.6 Tip angle = -5.8 Delta theta = -12.4

Circulation box no. 7 at y/c = -0.097

NPT	x/c	z/c	u/U	$\sigma_u$	v/U	$\sigma_v$	w/U	$\sigma_w$
1	-0.10032E+00	-0.20003E+00	0.98850E+00	0.12851E-01	-	-	-0.46003E-01	0.20530E-01
2	-0.10032E+00	-0.13322E+00	0.95332E+00	0.13946E-01	-	-	-0.46421E-01	0.26378E-01
3	-0.10032E+00	-0.66531E-01	0.91232E+00	0.14899E-01	-	-	-0.14214E-01	0.18693E-01
4	-0.10032E+00	0.15778E-03	0.91658E+00	0.12794E-01	-	-	0.44058E-01	0.19492E-01
5	-0.10032E+00	0.66846E-01	0.95290E+00	0.12240E-01	-	-	0.73987E-01	0.20905E-01
6	-0.10032E+00	0.13341E+00	0.98428E+00	0.11464E-01	-	-	0.79403E-01	0.21842E-01
7	-0.10032E+00	0.20010E+00	0.10073E+01	0.10644E-01	-	-	0.78234E-01	0.20653E-01
8	-0.99708E-01	0.20010E+00	0.10067E+01	0.10835E-01	-	-	0.75581E-01	0.17533E-01
9	-0.14070E-01	0.20010E+00	0.10212E+01	0.13031E-01	-	-	0.95515E-01	0.24635E-01
10	0.71569E-01	0.20010E+00	0.10496E+01	0.10042E-01	-	-	0.99619E-01	0.22752E-01
11	0.15733E+00	0.20010E+00	0.10882E+01	0.13518E-01	-	-	0.10207E+00	0.21685E-01
12	0.24297E+00	0.20010E+00	0.11093E+01	0.13585E-01	-	-	0.84557E-01	0.14689E-01
13	0.32873E+00	0.20010E+00	0.11117E+01	0.92016E-02	-	-	0.53793E-01	0.17824E-01
14	0.41461E+00	0.20010E+00	0.11075E+01	0.11714E-01	-	-	0.35863E-01	0.23258E-01
15	0.50025E+00	0.20010E+00	0.10960E+01	0.10426E-01	-	-	0.11958E-01	0.17585E-01
16	0.58588E+00	0.20010E+00	0.10810E+01	0.80487E-02	-	-	-0.11232E-02	0.14316E-01
17	0.67152E+00	0.20010E+00	0.10650E+01	0.84439E-02	-	-	-0.66162E-02	0.13434E-01
18	0.75740E+00	0.20010E+00	0.10499E+01	0.98951E-02	-	-	-0.14613E-01	0.15803E-01
19	0.84304E+00	0.20010E+00	0.10323E+01	0.10281E-01	-	-	-0.15465E-01	0.20656E-01
20	0.92868E+00	0.20010E+00	0.10231E+01	0.12343E-01	-	-	-0.10331E-02	0.14576E-01
21	0.10146E+01	0.20010E+00	0.10166E+01	0.15538E-01	-	-	0.11614E-01	0.18604E-01
22	0.11002E+01	0.20010E+00	0.10142E+01	0.14120E-01	-	-	0.24618E-01	0.23508E-01
23	0.11002E+01	0.19998E+00	0.10125E+01	0.13803E-01	-	-	0.25104E-01	0.20525E-01
24	0.11002E+01	0.13317E+00	0.10034E+01	0.13832E-01	-	-	0.48179E-01	0.11718E-01
25	0.11002E+01	0.66603E-01	0.87217E+00	0.57985E-01	-	-	0.64512E-01	0.49041E-01
26	0.11002E+01	-0.85220E-04	0.99396E+00	0.16830E-01	-	-	0.22879E+00	0.33735E-01
27	0.11002E+01	-0.66774E-01	0.99961E+00	0.14436E-01	-	-	0.27520E+00	0.21958E-01
28	0.11002E+01	-0.13346E+00	0.10062E+01	0.12180E-01	-	-	0.18123E+00	0.17061E-01
29	0.11002E+01	-0.20015E+00	0.10129E+01	0.11982E-01	-	-	0.11829E+00	0.19001E-01
30	0.10994E+01	-0.20015E+00	0.10134E+01	0.12783E-01	-	-	0.11507E+00	0.14185E-01
31	0.10142E+01	-0.20015E+00	0.10135E+01	0.14152E-01	-	-	0.11907E+00	0.14755E-01
32	0.92820E+00	-0.20015E+00	0.10169E+01	0.13771E-01	-	-	0.12430E+00	0.29538E-01
33	0.84256E+00	-0.20015E+00	0.10275E+01	0.12544E-01	-	-	0.13797E+00	0.17434E-01
34	0.75704E+00	-0.20015E+00	0.10440E+01	0.98498E-02	-	-	0.14073E+00	0.31471E-01
35	0.67104E+00	-0.20015E+00	0.10558E+01	0.12658E-01	-	-	0.13274E+00	0.49034E-01
36	0.58552E+00	-0.20015E+00	0.10764E+01	0.10857E-01	-	-	0.12980E+00	0.44435E-01
37	0.49976E+00	-0.20015E+00	0.10899E+01	0.13111E-01	-	-	0.12293E+00	0.44516E-01

38	0.41412E+00	-0.20015E+00	0.10999E+01	0.10555E-01	-	0.10951E+00	0.45528E-01
39	0.32824E+00	-0.20015E+00	0.11144E+01	0.11882E-01	-	0.95671E-01	0.46682E-01
40	0.24248E+00	-0.20015E+00	0.11140E+01	0.10838E-01	-	0.84400E-01	0.47486E-01
41	0.15672E+00	-0.20015E+00	0.11077E+01	0.14769E-01	-	0.45321E-01	0.52705E-01
42	0.71204E-01	-0.20015E+00	0.10885E+01	0.16693E-01	-	0.25493E-01	0.46133E-01
43	-0.14556E-01	-0.20015E+00	0.10307E+01	0.20662E-01	-	0.58991E-02	0.48288E-01
44	-0.10019E+00	-0.20015E+00	0.99473E+00	0.16820E-01	-	-0.18942E-01	0.44775E-01

I1 = 0.0204 I2 = 2.5477 I3 = -0.1180 I4 = -2.5512

Lift = -0.1011

Swept Tapered Tip

Inboard angle = 6.6 Tip angle = -5.8 Delta theta = -12.4

Circulation box no. 8 at y/c = -0.498

NPT	x/c	z/c	u/U	$\sigma_u$	v/U	$\sigma_v$	w/U	$\sigma_w$
1	-0.10019E+00	-0.20003E+00	0.10049E+01	0.79361E-02	-	-	-0.62621E-01	0.17752E-01
2	-0.10019E+00	-0.13322E+00	0.95925E+00	0.73552E-02	-	-	-0.71512E-01	0.20623E-01
3	-0.10019E+00	-0.66531E-01	0.90360E+00	0.11575E-01	-	-	-0.40317E-01	0.19937E-01
4	-0.10019E+00	0.15778E-03	0.89817E+00	0.11236E-01	-	-	0.22591E-01	0.20061E-01
5	-0.10019E+00	0.66846E-01	0.92780E+00	0.78280E-02	-	-	0.55935E-01	0.16413E-01
6	-0.10019E+00	0.13341E+00	0.95679E+00	0.83016E-02	-	-	0.60024E-01	0.15319E-01
7	-0.10019E+00	0.20010E+00	0.98201E+00	0.76016E-02	-	-	0.69633E-01	0.13355E-01
8	-0.99708E-01	0.20010E+00	0.98012E+00	0.87397E-02	-	-	0.61636E-01	0.15573E-01
9	-0.14070E-01	0.20010E+00	0.98459E+00	0.80194E-02	-	-	0.87203E-01	0.14090E-01
10	0.71690E-01	0.20010E+00	0.10143E+01	0.75212E-02	-	-	0.11565E+00	0.14221E-01
11	0.15733E+00	0.20010E+00	0.10391E+01	0.89659E-02	-	-	0.11606E+00	0.10470E-01
12	0.24309E+00	0.20010E+00	0.10603E+01	0.10580E-01	-	-	0.99524E-01	0.10779E-01
13	0.32885E+00	0.20010E+00	0.10676E+01	0.59446E-02	-	-	0.79963E-01	0.75310E-02
14	0.41461E+00	0.20010E+00	0.10716E+01	0.70088E-02	-	-	0.64890E-01	0.97213E-02
15	0.50037E+00	0.20010E+00	0.10665E+01	0.86454E-02	-	-	0.51918E-01	0.84181E-02
16	0.58588E+00	0.20010E+00	0.10572E+01	0.68437E-02	-	-	0.43513E-01	0.92583E-02
17	0.67152E+00	0.20010E+00	0.10450E+01	0.72781E-02	-	-	0.32356E-01	0.81092E-02
18	0.75740E+00	0.20010E+00	0.10344E+01	0.66508E-02	-	-	0.29693E-01	0.83804E-02
19	0.84292E+00	0.20010E+00	0.10194E+01	0.72305E-02	-	-	0.31114E-01	0.79180E-02
20	0.92880E+00	0.20010E+00	0.10093E+01	0.67589E-02	-	-	0.40210E-01	0.83819E-02
21	0.10144E+01	0.20010E+00	0.10029E+01	0.68417E-02	-	-	0.57043E-01	0.80838E-02
22	0.11002E+01	0.20010E+00	0.10002E+01	0.67932E-02	-	-	0.69065E-01	0.80953E-02
23	0.11002E+01	0.19998E+00	0.10006E+01	0.64242E-02	-	-	0.68897E-01	0.95523E-02
24	0.11002E+01	0.13317E+00	0.99387E+00	0.93520E-02	-	-	0.80133E-01	0.78990E-02
25	0.11002E+01	0.66603E-01	0.81428E+00	0.61329E-01	-	-	0.69869E-01	0.47236E-01
26	0.11002E+01	-0.85220E-04	0.92879E+00	0.43755E-01	-	-	0.12681E+00	0.78135E-02
27	0.11002E+01	-0.66774E-01	0.99450E+00	0.58665E-02	-	-	0.12715E+00	0.89246E-02
28	0.11002E+01	-0.13346E+00	0.10043E+01	0.54207E-02	-	-	0.12145E+00	0.75316E-02
29	0.11002E+01	-0.20015E+00	0.10110E+01	0.58702E-02	-	-	0.11114E+00	0.82086E-02
30	0.10996E+01	-0.20015E+00	0.10121E+01	0.60355E-02	-	-	0.11380E+00	0.78263E-02
31	0.10140E+01	-0.20015E+00	0.10123E+01	0.57359E-02	-	-	0.12054E+00	0.81237E-02
32	0.92832E+00	-0.20015E+00	0.10180E+01	0.58659E-02	-	-	0.12637E+00	0.10866E-01
33	0.84244E+00	-0.20015E+00	0.10286E+01	0.63235E-02	-	-	0.84035E-01	0.48020E-01
34	0.75692E+00	-0.20015E+00	0.10438E+01	0.68961E-02	-	-	0.98637E-01	0.43643E-01
35	0.67128E+00	-0.20015E+00	0.10598E+01	0.59165E-02	-	-	0.13554E+00	0.18226E-01
36	0.58552E+00	-0.20015E+00	0.10739E+01	0.72054E-02	-	-	0.13637E+00	0.17063E-01
37	0.49976E+00	-0.20015E+00	0.10953E+01	0.75746E-02	-	-	0.13042E+00	0.41350E-01

38	0.41412E+00	-0.20015E+00	0.11098E+01	0.78297E-02	-	0.11350E+00	0.38515E-01
39	0.32824E+00	-0.20015E+00	0.11240E+01	0.91390E-02	-	0.99637E-01	0.32467E-01
40	0.24260E+00	-0.20015E+00	0.11394E+01	0.73637E-02	-	0.75945E-01	0.42230E-01
41	0.15684E+00	-0.20015E+00	0.11481E+01	0.11926E-01	-	0.15527E-01	0.15140E-01
42	0.71204E-01	-0.20015E+00	0.11366E+01	0.13112E-01	-	-0.60283E-01	0.16497E-01
43	-0.14556E-01	-0.20015E+00	0.10586E+01	0.13077E-01	-	-0.95434E-01	0.18380E-01
44	-0.10007E+00	-0.20015E+00	0.10072E+01	0.10132E-01	-	-0.62453E-01	0.18054E-01

I1 = 0.0037 I2 = 2.4786 I3 = -0.0839 I4 = -2.5811

Lift = -0.1827

Swept Tapered Tip

Inboard angle = 6.6 Tip angle = -5.8 Delta theta = -12.4

Circulation box no. 9 at y/c = -1.001

NPT	x/c	z/c	u/U	$\sigma_u$	v/U	$\sigma_v$	w/U	$\sigma_w$
1	-0.99587E-01	-0.20003E+00	0.10155E+01	0.63722E-02	-	-	-0.10110E-01	0.13724E-01
2	-0.99587E-01	-0.13322E+00	0.10083E+01	0.60982E-02	-	-	-0.48820E-02	0.13336E-01
3	-0.99587E-01	-0.66531E-01	0.10005E+01	0.51938E-02	-	-	-0.82136E-02	0.18457E-01
4	-0.99587E-01	0.15778E-03	0.99469E+00	0.55154E-02	-	-	0.75081E-02	0.11101E-01
5	-0.99587E-01	0.66846E-01	0.99325E+00	0.50098E-02	-	-	0.63965E-02	0.11949E-01
6	-0.99587E-01	0.13341E+00	0.99804E+00	0.53334E-02	-	-	0.25961E-01	0.13922E-01
7	-0.99587E-01	0.20010E+00	0.10006E+01	0.55116E-02	-	-	0.31663E-01	0.14517E-01
8	-0.10007E+00	0.20010E+00	0.10000E+01	0.51697E-02	-	-	0.27771E-01	0.12233E-01
9	-0.14191E-01	0.20010E+00	0.99732E+00	0.67710E-02	-	-	0.38019E-01	0.11846E-01
10	0.71690E-01	0.20010E+00	0.99605E+00	0.61777E-02	-	-	0.47141E-01	0.12397E-01
11	0.15733E+00	0.20010E+00	0.10044E+01	0.73097E-02	-	-	0.65470E-01	0.11632E-01
12	0.24309E+00	0.20010E+00	0.99744E+00	0.63155E-02	-	-	0.55858E-01	0.11523E-01
13	0.32885E+00	0.20010E+00	0.10188E+01	0.59825E-02	-	-	0.80128E-01	0.90888E-02
14	0.41437E+00	0.20010E+00	0.10261E+01	0.85626E-02	-	-	0.75876E-01	0.13508E-01
15	0.50037E+00	0.20010E+00	0.10315E+01	0.51584E-02	-	-	0.64734E-01	0.10724E-01
16	0.58588E+00	0.20010E+00	0.10367E+01	0.59077E-02	-	-	0.58400E-01	0.80729E-02
17	0.67152E+00	0.20010E+00	0.10385E+01	0.66793E-02	-	-	0.49801E-01	0.87101E-02
18	0.75740E+00	0.20010E+00	0.10309E+01	0.60125E-02	-	-	0.41471E-01	0.86553E-02
19	0.84292E+00	0.20010E+00	0.10224E+01	0.58645E-02	-	-	0.36281E-01	0.76893E-02
20	0.92880E+00	0.20010E+00	0.10116E+01	0.53891E-02	-	-	0.39293E-01	0.75365E-02
21	0.10144E+01	0.20010E+00	0.10045E+01	0.54725E-02	-	-	0.51946E-01	0.84541E-02
22	0.11002E+01	0.20010E+00	0.10029E+01	0.56423E-02	-	-	0.60010E-01	0.66830E-02
23	0.11002E+01	0.19998E+00	0.10023E+01	0.57676E-02	-	-	0.60481E-01	0.73310E-02
24	0.11002E+01	0.13317E+00	0.99455E+00	0.56181E-02	-	-	0.67266E-01	0.72923E-02
25	0.11002E+01	0.66603E-01	0.97757E+00	0.22748E-01	-	-	0.75973E-01	0.27838E-01
26	0.11002E+01	-0.85220E-04	0.98465E+00	0.76694E-02	-	-	0.10934E+00	0.94306E-02
27	0.11002E+01	-0.66774E-01	0.99826E+00	0.62507E-02	-	-	0.11169E+00	0.69728E-02
28	0.11002E+01	-0.13346E+00	0.10070E+01	0.57308E-02	-	-	0.10606E+00	0.87662E-02
29	0.11002E+01	-0.20015E+00	0.10163E+01	0.63968E-02	-	-	0.10078E+00	0.91933E-02
30	0.10996E+01	-0.20015E+00	0.10134E+01	0.60377E-02	-	-	0.98493E-01	0.11204E-01
31	0.10140E+01	-0.20015E+00	0.10164E+01	0.57220E-02	-	-	0.10587E+00	0.63627E-02
32	0.92844E+00	-0.20015E+00	0.10273E+01	0.52571E-02	-	-	0.78097E-01	0.45931E-01
33	0.84244E+00	-0.20015E+00	0.10385E+01	0.63884E-02	-	-	0.33446E-01	0.51778E-01
34	0.75704E+00	-0.20015E+00	0.10622E+01	0.59014E-02	-	-	-0.11323E-01	0.53040E-01
35	0.67104E+00	-0.20015E+00	0.10832E+01	0.66641E-02	-	-	-0.48223E-01	0.40060E-01
36	0.58564E+00	-0.20015E+00	0.10998E+01	0.64751E-02	-	-	-0.65022E-01	0.44993E-01
37	0.49964E+00	-0.20015E+00	0.11184E+01	0.86119E-02	-	-	-0.95744E-01	0.46344E-01

38	0.41400E+00	-0.20015E+00	0.11267E+01	0.89870E-02	-	-	-0.78108E-01	0.65067E-01
39	0.32836E+00	-0.20015E+00	0.11157E+01	0.14462E-01	-	-	-0.10422E+00	0.49178E-01
40	0.24272E+00	-0.20015E+00	0.10971E+01	0.95220E-02	-	-	-0.13158E+00	0.44149E-01
41	0.15696E+00	-0.20015E+00	0.10649E+01	0.74030E-02	-	-	-0.15265E+00	0.49267E-01
42	0.71083E-01	-0.20015E+00	0.10357E+01	0.69125E-02	-	-	-0.13190E+00	0.58701E-01
43	-0.14556E-01	-0.20015E+00	0.10215E+01	0.54972E-02	-	-	-0.61001E-01	0.31494E-01
44	-0.10019E+00	-0.20015E+00	0.10158E+01	0.50670E-02	-	-	-0.18104E-01	0.20245E-01

I1 = 0.0059    I2 = 2.4384    I3 = -0.0741    I4 = -2.5578

Lift = -0.1876



Swept Tapered Tip

Inboard angle = 6.6 Tip angle = -5.8 Delta theta = -12.4

Circulation box no. 10 at y/c = -1.403

NPT	x/c	z/c	u/U	$\sigma_u$	v/U	$\sigma_v$	w/U	$\sigma_w$
1	-0.10032E+00	-0.20003E+00	0.10205E+01	0.57112E-02	-	-	0.30293E-02	0.10767E-01
2	-0.10032E+00	-0.13322E+00	0.10192E+01	0.72027E-02	-	-	-0.68625E-02	0.11722E-01
3	-0.10032E+00	-0.66531E-01	0.10176E+01	0.72390E-02	-	-	0.47289E-02	0.13547E-01
4	-0.10032E+00	0.15778E-03	0.10170E+01	0.68226E-02	-	-	0.71517E-02	0.11956E-01
5	-0.10032E+00	0.66846E-01	0.10152E+01	0.66691E-02	-	-	0.40209E-02	0.98396E-02
6	-0.10032E+00	0.13341E+00	0.10149E+01	0.58777E-02	-	-	0.68162E-02	0.15934E-01
7	-0.10032E+00	0.20010E+00	0.10154E+01	0.57159E-02	-	-	0.10551E-01	0.11355E-01
8	-0.99708E-01	0.20010E+00	0.10156E+01	0.63323E-02	-	-	0.14290E-01	0.10841E-01
9	-0.14070E-01	0.20010E+00	0.10136E+01	0.70718E-02	-	-	0.78939E-02	0.12090E-01
10	0.71690E-01	0.20010E+00	0.10112E+01	0.87578E-02	-	-	0.29674E-02	0.17290E-01
11	0.15733E+00	0.20010E+00	0.10149E+01	0.62127E-02	-	-	0.18430E-01	0.12963E-01
12	0.24309E+00	0.20010E+00	0.10116E+01	0.73252E-02	-	-	0.16557E-01	0.12182E-01
13	0.32873E+00	0.20010E+00	0.10108E+01	0.60920E-02	-	-	0.83725E-02	0.14587E-01
14	0.41437E+00	0.20010E+00	0.10112E+01	0.58750E-02	-	-	0.23672E-01	0.10321E-01
15	0.50013E+00	0.20010E+00	0.10114E+01	0.65521E-02	-	-	0.19512E-01	0.12794E-01
16	0.58601E+00	0.20010E+00	0.10162E+01	0.68268E-02	-	-	0.36068E-01	0.11857E-01
17	0.67165E+00	0.20010E+00	0.10208E+01	0.61411E-02	-	-	0.32843E-01	0.10480E-01
18	0.75728E+00	0.20010E+00	0.10303E+01	0.59171E-02	-	-	0.31588E-01	0.10853E-01
19	0.84316E+00	0.20010E+00	0.10302E+01	0.64293E-02	-	-	0.22136E-01	0.10118E-01
20	0.92868E+00	0.20010E+00	0.10248E+01	0.51176E-02	-	-	0.22024E-01	0.10063E-01
21	0.10144E+01	0.20010E+00	0.10208E+01	0.52015E-02	-	-	0.24809E-01	0.95241E-02
22	0.11002E+01	0.20010E+00	0.10194E+01	0.65791E-02	-	-	0.28907E-01	0.11892E-01
23	0.11002E+01	0.19998E+00	0.10181E+01	0.58049E-02	-	-	0.28636E-01	0.97391E-02
24	0.11002E+01	0.13317E+00	0.10124E+01	0.63782E-02	-	-	0.33583E-01	0.11880E-01
25	0.11002E+01	0.66603E-01	0.10063E+01	0.18678E-01	-	-	0.56768E-01	0.26852E-01
26	0.11002E+01	-0.85220E-04	0.91187E+00	0.71277E-01	-	-	0.10691E+00	0.68077E-01
27	0.11002E+01	-0.66774E-01	0.10014E+01	0.22620E-01	-	-	0.84337E-01	0.26427E-01
28	0.11002E+01	-0.13346E+00	0.10185E+01	0.69461E-02	-	-	0.63770E-01	0.10224E-01
29	0.11002E+01	-0.20015E+00	0.10228E+01	0.47450E-02	-	-	0.55707E-01	0.99129E-02
30	0.10997E+01	-0.20015E+00	0.10257E+01	0.63010E-02	-	-	0.43446E-01	0.10731E-01
31	0.10142E+01	-0.20015E+00	0.10316E+01	0.60924E-02	-	-	0.55661E-01	0.11861E-01
32	0.92820E+00	-0.20015E+00	0.10428E+01	0.79251E-02	-	-	0.41018E-01	0.34570E-01
33	0.84256E+00	-0.20015E+00	0.10635E+01	0.59998E-02	-	-	0.10821E-01	0.46884E-01
34	0.75704E+00	-0.20015E+00	0.10741E+01	0.72130E-02	-	-	-0.15070E-01	0.46831E-01
35	0.67104E+00	-0.20015E+00	0.10832E+01	0.75621E-02	-	-	-0.35022E-01	0.40779E-01
36	0.58552E+00	-0.20015E+00	0.10736E+01	0.63779E-02	-	-	-0.48761E-01	0.35846E-01
37	0.49976E+00	-0.20015E+00	0.10598E+01	0.75265E-02	-	-	-0.78826E-01	0.49599E-01

38	0.41412E+00	-0.20015E+00	0.10458E+01	0.66089E-02	-	-	-0.11593E+00	0.40992E-01
39	0.32848E+00	-0.20015E+00	0.10373E+01	0.63539E-02	-	-	-0.12809E+00	0.50464E-01
40	0.24272E+00	-0.20015E+00	0.10339E+01	0.54768E-02	-	-	-0.88836E-01	0.60144E-01
41	0.15696E+00	-0.20015E+00	0.10291E+01	0.59344E-02	-	-	-0.19760E-01	0.18561E-01
42	0.71326E-01	-0.20015E+00	0.10243E+01	0.55761E-02	-	-	-0.24892E-01	0.43574E-01
43	-0.14677E-01	-0.20015E+00	0.10214E+01	0.75560E-02	-	-	-0.49673E-05	0.19439E-01
44	-0.10032E+00	-0.20015E+00	0.10206E+01	0.54995E-02	-	-	0.59478E-02	0.11451E-01

I1 - 0.0026    I2 - 2.4420    I3 - -0.0526    I4 - -2.5108

Lift - -0.1188

Swept Tapered Tip

Inboard angle = 6.6 Tip angle = -5.8 Delta theta = -12.4

Circulation box no. 6 at y/c = -1.493

NPT	x/c	z/c	u/U	$\sigma_u$	v/U	$\sigma_v$	w/U	$\sigma_w$
1	-0.10019E+00	-0.20003E+00	0.10212E+01	0.78764E-02	-	-	0.79167E-02	0.22036E-01
2	-0.10019E+00	-0.15982E+00	0.10212E+01	0.67977E-02	-	-	0.11871E-01	0.17444E-01
3	-0.10019E+00	-0.11986E+00	0.10203E+01	0.74633E-02	-	-	0.85356E-02	0.17382E-01
4	-0.10019E+00	-0.79893E-01	0.10191E+01	0.80013E-02	-	-	-0.23903E-02	0.16720E-01
5	-0.10019E+00	-0.39928E-01	0.10201E+01	0.87025E-02	-	-	0.84102E-02	0.19134E-01
6	-0.10019E+00	0.15778E-03	0.10195E+01	0.10178E-01	-	-	0.11138E-01	0.16818E-01
7	-0.10019E+00	0.40123E-01	0.10170E+01	0.69088E-02	-	-	0.11241E-01	0.18889E-01
8	-0.10019E+00	0.80087E-01	0.10170E+01	0.93446E-02	-	-	0.11487E-01	0.21184E-01
9	-0.10019E+00	0.12017E+00	0.10170E+01	0.82212E-02	-	-	0.97906E-02	0.18151E-01
10	-0.10019E+00	0.16014E+00	0.10174E+01	0.71661E-02	-	-	0.98210E-02	0.17597E-01
11	-0.10019E+00	0.20010E+00	0.10180E+01	0.85356E-02	-	-	0.15422E-01	0.18054E-01
12	-0.99708E-01	0.20010E+00	0.10178E+01	0.78994E-02	-	-	0.97431E-02	0.20745E-01
13	-0.14070E-01	0.20010E+00	0.10163E+01	0.81045E-02	-	-	0.15472E-01	0.15257E-01
14	0.71690E-01	0.20010E+00	0.10152E+01	0.64598E-02	-	-	0.19545E-01	0.26378E-01
15	0.15733E+00	0.20010E+00	0.10208E+01	0.80493E-02	-	-	0.21406E-01	0.26288E-01
16	0.24309E+00	0.20010E+00	0.10167E+01	0.78102E-02	-	-	0.23803E-01	0.27540E-01
17	0.32885E+00	0.20010E+00	0.10166E+01	0.67538E-02	-	-	0.24033E-01	0.24242E-01
18	0.41437E+00	0.20010E+00	0.10169E+01	0.64557E-02	-	-	0.19111E-01	0.19169E-01
19	0.50013E+00	0.20010E+00	0.10177E+01	0.74752E-02	-	-	0.19837E-01	0.19858E-01
20	0.58613E+00	0.20010E+00	0.10151E+01	0.85153E-02	-	-	0.16378E-01	0.16620E-01
21	0.67177E+00	0.20010E+00	0.10228E+01	0.70297E-02	-	-	0.20881E-01	0.18010E-01
22	0.75728E+00	0.20010E+00	0.10303E+01	0.66860E-02	-	-	0.23818E-01	0.21030E-01
23	0.84292E+00	0.20010E+00	0.10330E+01	0.77832E-02	-	-	0.17710E-01	0.22294E-01
24	0.92868E+00	0.20010E+00	0.10270E+01	0.60143E-02	-	-	0.98842E-02	0.17693E-01
25	0.10146E+01	0.20010E+00	0.10237E+01	0.78792E-02	-	-	0.11671E-01	0.16782E-01
26	0.11002E+01	0.20010E+00	0.10195E+01	0.67672E-02	-	-	-0.19658E-02	0.18711E-01
27	0.11002E+01	0.19998E+00	0.10218E+01	0.73222E-02	-	-	0.12158E-02	0.17271E-01
28	0.11002E+01	0.15989E+00	0.10208E+01	0.66860E-02	-	-	0.17589E-02	0.20256E-01
29	0.11002E+01	0.11993E+00	0.10206E+01	0.69750E-02	-	-	-0.10601E-01	0.17890E-01
30	0.11002E+01	0.79844E-01	0.10224E+01	0.81639E-02	-	-	-0.30495E-01	0.19012E-01
31	0.11002E+01	0.39880E-01	0.10043E+01	0.36705E-01	-	-	-0.12812E+00	0.49492E-01
32	0.11002E+01	-0.85220E-04	0.95543E+00	0.54828E-01	-	-	-0.13452E+00	0.65805E-01
33	0.11002E+01	-0.40171E-01	0.10103E+01	0.17073E-01	-	-	-0.54069E-01	0.35864E-01
34	0.11002E+01	-0.80136E-01	0.10186E+01	0.94454E-02	-	-	-0.12703E-01	0.20665E-01
35	0.11002E+01	-0.12010E+00	0.10227E+01	0.80566E-02	-	-	0.12083E-01	0.18057E-01
36	0.11002E+01	-0.16007E+00	0.10246E+01	0.70685E-02	-	-	0.25795E-01	0.18497E-01
37	0.11002E+01	-0.20015E+00	0.10268E+01	0.89082E-02	-	-	0.29709E-01	0.20243E-01

38	0.10996E+01	-0.20015E+00	0.10275E+01	0.71546E-02	-	-	0.29374E-01	0.17699E-01
39	0.10142E+01	-0.20015E+00	0.10346E+01	0.65991E-02	-	-	0.29532E-01	0.41393E-01
40	0.92844E+00	-0.20015E+00	0.10435E+01	0.78312E-02	-	-	0.35080E-02	0.50571E-01
41	0.84256E+00	-0.20015E+00	0.10549E+01	0.68549E-02	-	-	-0.53702E-01	0.52978E-01
42	0.75692E+00	-0.20015E+00	0.10643E+01	0.71773E-02	-	-	-0.11087E+00	0.60025E-01
43	0.67128E+00	-0.20015E+00	0.10626E+01	0.86808E-02	-	-	-0.13162E+00	0.53083E-01
44	0.58564E+00	-0.20015E+00	0.10529E+01	0.62173E-02	-	-	-0.15311E+00	0.51698E-01
45	0.49988E+00	-0.20015E+00	0.10453E+01	0.87212E-02	-	-	-0.20940E+00	0.55153E-01
46	0.41388E+00	-0.20015E+00	0.10394E+01	0.73213E-02	-	-	-0.24308E+00	0.55176E-01
47	0.32836E+00	-0.20015E+00	0.10353E+01	0.59706E-02	-	-	-0.26421E+00	0.48314E-01
48	0.24260E+00	-0.20015E+00	0.10291E+01	0.58765E-02	-	-	-0.27517E+00	0.48606E-01
49	0.15684E+00	-0.20015E+00	0.10269E+01	0.70843E-02	-	-	-0.27533E+00	0.43853E-01
50	0.71204E-01	-0.20015E+00	0.10255E+01	0.67679E-02	-	-	-0.29030E+00	0.49606E-01
51	-0.14556E-01	-0.20015E+00	0.10212E+01	0.63959E-02	-	-	-0.26518E+00	0.38305E-01
52	-0.10019E+00	-0.20015E+00	0.10201E+01	0.62400E-02	-	-	-0.25348E+00	0.42461E-01

I1 - 0.0071 I2 - 2.4505 I3 - 0.0248 I4 - -2.4960

Lift - -0.0135

Rectangular Tip

Inboard angle = 6.6 Tip angle = -2.1 Delta theta = -8.7

Circulation box no. 1 at y/c = 1.002

NPT	x/c	z/c	u/U	$\sigma_u$	v/U	$\sigma_v$	w/U	$\sigma_w$
1	-0.10032E+00	-0.20003E+00	0.94204E+00	0.15056E-01	-	-	0.87320E-02	0.20109E-01
2	-0.10032E+00	-0.13322E+00	0.92446E+00	0.16909E-01	-	-	0.28898E-01	0.18001E-01
3	-0.10032E+00	-0.66531E-01	0.90908E+00	0.15168E-01	-	-	0.80099E-01	0.24361E-01
4	-0.10032E+00	0.15778E-03	0.93991E+00	0.13101E-01	-	-	0.13877E+00	0.22915E-01
5	-0.10032E+00	0.66846E-01	0.10063E+01	0.12474E-01	-	-	0.16097E+00	0.22127E-01
6	-0.10032E+00	0.13341E+00	0.10485E+01	0.13047E-01	-	-	0.13190E+00	0.18820E-01
7	-0.10032E+00	0.20010E+00	0.10730E+01	0.13933E-01	-	-	0.10349E+00	0.17905E-01
8	-0.99830E-01	0.20010E+00	0.10715E+01	0.12173E-01	-	-	0.10095E+00	0.19452E-01
9	-0.14191E-01	0.20010E+00	0.11205E+01	0.12026E-01	-	-	0.12416E+00	0.16695E-01
10	0.71569E-01	0.20010E+00	0.11764E+01	0.14641E-01	-	-	0.10391E+00	0.16313E-01
11	0.15721E+00	0.20010E+00	0.12188E+01	0.99055E-02	-	-	0.54101E-01	0.17191E-01
12	0.24297E+00	0.20010E+00	0.12194E+01	0.11935E-01	-	-	-0.10612E-01	0.16557E-01
13	0.32873E+00	0.20010E+00	0.12060E+01	0.10683E-01	-	-	-0.53043E-01	0.24830E-01
14	0.41437E+00	0.20010E+00	0.11803E+01	0.75483E-02	-	-	-0.79768E-01	0.12684E-01
15	0.50013E+00	0.20010E+00	0.11572E+01	0.11333E-01	-	-	-0.10077E+00	0.16211E-01
16	0.58601E+00	0.20010E+00	0.11316E+01	0.10577E-01	-	-	-0.11259E+00	0.21055E-01
17	0.67165E+00	0.20010E+00	0.11083E+01	0.10499E-01	-	-	-0.12269E+00	0.17858E-01
18	0.75728E+00	0.20010E+00	0.10876E+01	0.11927E-01	-	-	-0.12584E+00	0.19531E-01
19	0.84292E+00	0.20010E+00	0.10687E+01	0.13020E-01	-	-	-0.12396E+00	0.34622E-01
20	0.92880E+00	0.20010E+00	0.10578E+01	0.18313E-01	-	-	-0.11309E+00	0.32381E-01
21	0.10146E+01	0.20010E+00	0.10436E+01	0.14425E-01	-	-	-0.12328E+00	0.47766E-01
22	0.11001E+01	0.20010E+00	0.10380E+01	0.15391E-01	-	-	-0.92619E-01	0.17925E-01
23	0.11001E+01	0.19998E+00	0.10381E+01	0.13458E-01	-	-	-0.88968E-01	0.16503E-01
24	0.11001E+01	0.13317E+00	0.10332E+01	0.17786E-01	-	-	-0.97442E-01	0.13802E-01
25	0.11001E+01	0.66603E-01	0.10192E+01	0.13247E-01	-	-	-0.10186E+00	0.17793E-01
26	0.11001E+01	-0.85220E-04	0.10074E+01	0.11613E-01	-	-	-0.10077E+00	0.12579E-01
27	0.11001E+01	-0.66774E-01	0.99708E+00	0.14624E-01	-	-	-0.96520E-01	0.93966E-02
28	0.11001E+01	-0.13346E+00	0.98853E+00	0.19574E-01	-	-	-0.71370E-01	0.22850E-01
29	0.11001E+01	-0.20027E+00	0.99627E+00	0.14201E-01	-	-	-0.58827E-01	0.15698E-01
30	0.10996E+01	-0.20027E+00	0.99621E+00	0.15274E-01	-	-	-0.58438E-01	0.16632E-01
31	0.10141E+01	-0.20027E+00	0.98943E+00	0.14425E-01	-	-	-0.47267E-01	0.12739E-01
32	0.92844E+00	-0.20027E+00	0.99217E+00	0.13433E-01	-	-	-0.34663E-01	0.15666E-01
33	0.84268E+00	-0.20027E+00	0.10034E+01	0.14351E-01	-	-	-0.24099E-01	0.14643E-01
34	0.75704E+00	-0.20027E+00	0.10169E+01	0.12620E-01	-	-	-0.26021E-01	0.30000E-01
35	0.67128E+00	-0.20027E+00	0.10290E+01	0.13300E-01	-	-	-0.27822E-01	0.18812E-01
36	0.58564E+00	-0.20027E+00	0.10350E+01	0.11798E-01	-	-	-0.36179E-01	0.21905E-01
37	0.49964E+00	-0.20027E+00	0.10346E+01	0.13549E-01	-	-	-0.49376E-01	0.17221E-01

38	0.41400E+00	-0.20027E+00	0.10332E+01	0.14037E-01	-	-0.60955E-01	0.47715E-01
39	0.32824E+00	-0.20027E+00	0.10180E+01	0.14886E-01	-	-0.76608E-01	0.16125E-01
40	0.24248E+00	-0.20027E+00	0.99519E+00	0.15184E-01	-	-0.85482E-01	0.13528E-01
41	0.15696E+00	-0.20027E+00	0.96498E+00	0.15033E-01	-	-0.82886E-01	0.14373E-01
42	0.71326E-01	-0.20027E+00	0.93969E+00	0.19183E-01	-	-0.56338E-01	0.17733E-01
43	-0.14434E-01	-0.20027E+00	0.92869E+00	0.18328E-01	-	-0.25140E-01	0.22026E-01
44	-0.10007E+00	-0.20027E+00	0.94306E+00	0.17928E-01	-	0.64875E-02	0.25951E-01

I1 = 0.0797    I2 = 2.7148    I3 = 0.0721    I4 = -2.3906

Lift = 0.4760

Rectangular Tip

Inboard angle = 6.6 Tip angle = -2.1 Delta theta = -8.7

Circulation box no. 2 at y/c = 0.503

NPT	x/c	z/c	u/U	$\sigma_u$	v/U	$\sigma_v$	w/U	$\sigma_w$
1	-0.99344E-01	-0.30000E+00	0.97117E+00	0.13047E-01	-	-	-0.90642E-02	0.15357E-01
2	-0.99344E-01	-0.19991E+00	0.94967E+00	0.12903E-01	-	-	0.27440E-02	0.14927E-01
3	-0.99344E-01	-0.99936E-01	0.92336E+00	0.15208E-01	-	-	0.44259E-01	0.20313E-01
4	-0.99344E-01	0.15778E-03	0.94142E+00	0.12388E-01	-	-	0.12016E+00	0.18806E-01
5	-0.99344E-01	0.10025E+00	0.10200E+01	0.11209E-01	-	-	0.13027E+00	0.16900E-01
6	-0.99344E-01	0.20022E+00	0.10611E+01	0.10594E-01	-	-	0.98682E-01	0.16227E-01
7	-0.99344E-01	0.30020E+00	0.10720E+01	0.10822E-01	-	-	0.74539E-01	0.16351E-01
8	-0.10007E+00	0.30020E+00	0.10725E+01	0.12653E-01	-	-	0.65404E-01	0.17541E-01
9	-0.14070E-01	0.30020E+00	0.10960E+01	0.89835E-02	-	-	0.73182E-01	0.11980E-01
10	0.71690E-01	0.30020E+00	0.11217E+01	0.11612E-01	-	-	0.58933E-01	0.11287E-01
11	0.15733E+00	0.30020E+00	0.11439E+01	0.11788E-01	-	-	0.38606E-01	0.12500E-01
12	0.24309E+00	0.30020E+00	0.11571E+01	0.12427E-01	-	-	0.25497E-02	0.13243E-01
13	0.32885E+00	0.30020E+00	0.11538E+01	0.11095E-01	-	-	0.24874E-01	0.10939E-01
14	0.41461E+00	0.30020E+00	0.11408E+01	0.91972E-02	-	-	-0.24643E-01	0.12194E-01
15	0.50037E+00	0.30020E+00	0.11253E+01	0.95177E-02	-	-	-0.66822E-01	0.10714E-01
16	0.58613E+00	0.30020E+00	0.11083E+01	0.10944E-01	-	-	-0.83433E-01	0.10737E-01
17	0.67177E+00	0.30020E+00	0.10950E+01	0.10861E-01	-	-	-0.89073E-01	0.93724E-02
18	0.75740E+00	0.30020E+00	0.10812E+01	0.11125E-01	-	-	-0.89329E-01	0.10961E-01
19	0.84304E+00	0.30020E+00	0.10681E+01	0.12551E-01	-	-	-0.92432E-01	0.11058E-01
20	0.92880E+00	0.30020E+00	0.10563E+01	0.10517E-01	-	-	-0.88797E-01	0.10226E-01
21	0.10144E+01	0.30020E+00	0.10479E+01	0.12092E-01	-	-	-0.85203E-01	0.12402E-01
22	0.11001E+01	0.30020E+00	0.10411E+01	0.11355E-01	-	-	-0.75644E-01	0.10647E-01
23	0.11001E+01	0.29983E+00	0.10419E+01	0.13486E-01	-	-	-0.76638E-01	0.12950E-01
24	0.11001E+01	0.19986E+00	0.10337E+01	0.10808E-01	-	-	-0.89090E-01	0.11005E-01
25	0.11001E+01	0.99887E-01	0.10223E+01	0.13740E-01	-	-	-0.99209E-01	0.85744E-02
26	0.11001E+01	-0.85220E-04	0.10060E+01	0.14691E-01	-	-	-0.10773E+00	0.84848E-02
27	0.11001E+01	-0.10018E+00	0.94379E+00	0.37981E-01	-	-	-0.11241E+00	0.29753E-01
28	0.11001E+01	-0.20027E+00	0.99121E+00	0.10920E-01	-	-	-0.63074E-01	0.79595E-02
29	0.11001E+01	-0.30012E+00	0.10031E+01	0.13671E-01	-	-	-0.51696E-01	0.11253E-01
30	0.10995E+01	-0.30012E+00	0.10040E+01	0.14400E-01	-	-	-0.48831E-01	0.97279E-02
31	0.10142E+01	-0.30012E+00	0.10032E+01	0.13095E-01	-	-	-0.42106E-01	0.12496E-01
32	0.92844E+00	-0.30012E+00	0.10063E+01	0.15470E-01	-	-	-0.29826E-01	0.10103E-01
33	0.84244E+00	-0.30012E+00	0.10124E+01	0.11043E-01	-	-	-0.24921E-01	0.10539E-01
34	0.75692E+00	-0.30012E+00	0.10211E+01	0.13159E-01	-	-	-0.22919E-01	0.87967E-02
35	0.67116E+00	-0.30012E+00	0.10284E+01	0.13635E-01	-	-	-0.27308E-01	0.82478E-02
36	0.58552E+00	-0.30012E+00	0.10322E+01	0.13987E-01	-	-	-0.32055E-01	0.10079E-01
37	0.49976E+00	-0.30012E+00	0.10315E+01	0.12449E-01	-	-	-0.40064E-01	0.10707E-01

38	0.41400E+00	-0.30012E+00	0.10283E+01	0.13190E-01	-	-0.52321E-01	0.11631E-01
39	0.32836E+00	-0.30012E+00	0.10168E+01	0.12929E-01	-	-0.58184E-01	0.10738E-01
40	0.24248E+00	-0.30012E+00	0.10045E+01	0.14058E-01	-	-0.60256E-01	0.13186E-01
41	0.15684E+00	-0.30012E+00	0.99010E+00	0.15107E-01	-	-0.53772E-01	0.12040E-01
42	0.71083E-01	-0.30012E+00	0.97795E+00	0.18630E-01	-	-0.41071E-01	0.13396E-01
43	-0.14677E-01	-0.30012E+00	0.96829E+00	0.16690E-01	-	-0.20452E-01	0.14243E-01
44	-0.10007E+00	-0.30012E+00	0.97328E+00	0.12949E-01	-	-0.11943E-01	0.17349E-01

I1 = 0.0867    I2 = 2.6494    I3 = 0.1061    I4 = -2.4183

Lift = 0.4239



Rectangular Tip

Inboard angle = 6.6 Tip angle = -2.1 Delta theta = -8.7

Circulation box no. 3 at y/c = 0.503

NPT	x/c	z/c	u/U	$\sigma_u$	v/U	$\sigma_v$	w/U	$\sigma_w$
1	-0.99708E-01	-0.20003E+00	0.94597E+00	0.96522E-02	-	-	-0.40705E-02	0.17361E-01
2	-0.99708E-01	-0.13322E+00	0.92379E+00	0.12860E-01	-	-	0.23288E-01	0.21129E-01
3	-0.99708E-01	-0.66531E-01	0.90825E+00	0.12103E-01	-	-	0.67264E-01	0.22842E-01
4	-0.99708E-01	0.15778E-03	0.93214E+00	0.11105E-01	-	-	0.12231E+00	0.21435E-01
5	-0.99708E-01	0.66846E-01	0.99369E+00	0.97986E-02	-	-	0.14067E+00	0.23170E-01
6	-0.99708E-01	0.13341E+00	0.10358E+01	0.11107E-01	-	-	0.12054E+00	0.21542E-01
7	-0.99708E-01	0.20010E+00	0.10642E+01	0.98573E-02	-	-	0.10874E+00	0.16051E-01
8	-0.10032E+00	0.20010E+00	0.10610E+01	0.12594E-01	-	-	0.98505E-01	0.19353E-01
9	-0.14070E-01	0.20010E+00	0.11012E+01	0.13127E-01	-	-	0.11193E+00	0.20750E-01
10	0.71690E-01	0.20010E+00	0.11587E+01	0.13325E-01	-	-	0.10198E+00	0.16611E-01
11	0.15745E+00	0.20010E+00	0.11940E+01	0.70749E-02	-	-	0.51358E-01	0.17590E-01
12	0.24309E+00	0.20010E+00	0.11994E+01	0.11680E-01	-	-	-0.78855E-02	0.13815E-01
13	0.32897E+00	0.20010E+00	0.11835E+01	0.82819E-02	-	-	-0.50606E-01	0.13666E-01
14	0.41449E+00	0.20010E+00	0.11590E+01	0.81730E-02	-	-	-0.80763E-01	0.13709E-01
15	0.50025E+00	0.20010E+00	0.11374E+01	0.10786E-01	-	-	-0.10044E+00	0.10058E-01
16	0.58601E+00	0.20010E+00	0.11182E+01	0.10699E-01	-	-	-0.11084E+00	0.13502E-01
17	0.67152E+00	0.20010E+00	0.10949E+01	0.86357E-02	-	-	-0.11451E+00	0.11036E-01
18	0.75728E+00	0.20010E+00	0.10765E+01	0.78003E-02	-	-	-0.12281E+00	0.16143E-01
19	0.84292E+00	0.20010E+00	0.10615E+01	0.70289E-02	-	-	-0.11323E+00	0.12803E-01
20	0.92880E+00	0.20010E+00	0.10458E+01	0.76375E-02	-	-	-0.11114E+00	0.18317E-01
21	0.10144E+01	0.20010E+00	0.10361E+01	0.71606E-02	-	-	-0.10176E+00	0.15503E-01
22	0.11001E+01	0.20010E+00	0.10287E+01	0.69197E-02	-	-	-0.90020E-01	0.11970E-01
23	0.11001E+01	0.19998E+00	0.10326E+01	0.11279E-01	-	-	-0.86658E-01	0.11995E-01
24	0.11001E+01	0.13317E+00	0.10227E+01	0.75456E-02	-	-	-0.96047E-01	0.11318E-01
25	0.11001E+01	0.66603E-01	0.10140E+01	0.78003E-02	-	-	-0.10187E+00	0.13217E-01
26	0.11001E+01	-0.85220E-04	0.10040E+01	0.82721E-02	-	-	-0.10606E+00	0.95588E-02
27	0.11001E+01	-0.66774E-01	0.99081E+00	0.86517E-02	-	-	-0.10222E+00	0.12260E-01
28	0.11001E+01	-0.13346E+00	0.98705E+00	0.16876E-01	-	-	-0.77192E-01	0.17118E-01
29	0.11001E+01	-0.20015E+00	0.99079E+00	0.84618E-02	-	-	-0.63348E-01	0.93654E-02
30	0.10996E+01	-0.20015E+00	0.99313E+00	0.78296E-02	-	-	-0.63653E-01	0.77388E-02
31	0.10141E+01	-0.20015E+00	0.98390E+00	0.86214E-02	-	-	-0.53074E-01	0.77004E-02
32	0.92844E+00	-0.20015E+00	0.98806E+00	0.10746E-01	-	-	-0.34985E-01	0.15362E-01
33	0.84268E+00	-0.20015E+00	0.10052E+01	0.10137E-01	-	-	-0.20509E-01	0.10614E-01
34	0.75704E+00	-0.20015E+00	0.10179E+01	0.70590E-02	-	-	-0.18248E-01	0.10839E-01
35	0.67128E+00	-0.20015E+00	0.10296E+01	0.73729E-02	-	-	-0.21934E-01	0.12587E-01
36	0.58540E+00	-0.20015E+00	0.10399E+01	0.83201E-02	-	-	-0.31839E-01	0.12708E-01
37	0.49964E+00	-0.20015E+00	0.10415E+01	0.10429E-01	-	-	-0.48231E-01	0.16285E-01

38	0.41400E+00	-0.20015E+00	0.10393E+01	0.97407E-02	-	-	-0.64123E-01	0.14890E-01
39	0.32824E+00	-0.20015E+00	0.10299E+01	0.97376E-02	-	-	-0.76016E-01	0.11938E-01
40	0.24248E+00	-0.20015E+00	0.10067E+01	0.15608E-01	-	-	-0.85846E-01	0.13322E-01
41	0.15684E+00	-0.20015E+00	0.97961E+00	0.14583E-01	-	-	-0.83763E-01	0.12827E-01
42	0.71083E-01	-0.20015E+00	0.95142E+00	0.14481E-01	-	-	-0.65831E-01	0.12534E-01
43	-0.14677E-01	-0.20015E+00	0.94239E+00	0.14995E-01	-	-	-0.36203E-01	0.17637E-01
44	-0.10007E+00	-0.20015E+00	0.94740E+00	0.11818E-01	-	-	0.44478E-03	0.18811E-01

I1 = 0.0704 I2 = 2.6765 I3 = 0.0745 I4 = -2.4043

Lift = 0.4171

Rectangular Tip

Inboard angle = 6.6 Tip angle = -2.1 Delta theta = -8.7

Circulation box no. 4 at y/c = 0.104

NPT	x/c	z/c	u/U	$\sigma_u$	v/U	$\sigma_v$	w/U	$\sigma_w$
1	-0.10044E+00	-0.20015E+00	0.96497E+00	0.14013E-01	-	-	-0.72309E-02	0.12862E-01
2	-0.10044E+00	-0.15982E+00	0.95633E+00	0.18536E-01	-	-	0.60723E-03	0.16593E-01
3	-0.10044E+00	-0.11986E+00	0.94366E+00	0.16323E-01	-	-	0.98812E-02	0.16728E-01
4	-0.10044E+00	-0.79893E-01	0.93151E+00	0.17461E-01	-	-	0.30264E-01	0.16971E-01
5	-0.10044E+00	-0.39928E-01	0.92663E+00	0.14647E-01	-	-	0.55594E-01	0.21144E-01
6	-0.10044E+00	0.15778E-03	0.93886E+00	0.12962E-01	-	-	0.88023E-01	0.18810E-01
7	-0.10044E+00	0.40123E-01	0.96274E+00	0.12586E-01	-	-	0.10152E+00	0.21371E-01
8	-0.10044E+00	0.80087E-01	0.99054E+00	0.12533E-01	-	-	0.10794E+00	0.16989E-01
9	-0.10044E+00	0.12029E+00	0.10128E+01	0.14287E-01	-	-	0.10711E+00	0.18345E-01
10	-0.10044E+00	0.16026E+00	0.10316E+01	0.13987E-01	-	-	0.10954E+00	0.13693E-01
11	-0.10044E+00	0.20022E+00	0.10405E+01	0.12661E-01	-	-	0.10954E+00	0.16735E-01
12	-0.99708E-01	0.20022E+00	0.10390E+01	0.13323E-01	-	-	0.84131E-01	0.18313E-01
13	0.20064E-01	0.20022E+00	0.10876E+01	0.10955E-01	-	-	0.11159E+00	0.10959E-01
14	0.14020E+00	0.20022E+00	0.11487E+01	0.14810E-01	-	-	0.78160E-01	0.14146E-01
15	0.26009E+00	0.20022E+00	0.11660E+01	0.13182E-01	-	-	0.14831E-01	0.11969E-01
16	0.38023E+00	0.20022E+00	0.11563E+01	0.11351E-01	-	-	-0.31179E-01	0.13197E-01
17	0.50013E+00	0.20022E+00	0.11244E+01	0.10156E-01	-	-	-0.67767E-01	0.10204E-01
18	0.62014E+00	0.20022E+00	0.11005E+01	0.12353E-01	-	-	-0.83548E-01	0.10444E-01
19	0.74028E+00	0.20022E+00	0.10767E+01	0.10718E-01	-	-	-0.88454E-01	0.96390E-02
20	0.86017E+00	0.20022E+00	0.10510E+01	0.14154E-01	-	-	-0.81559E-01	0.10851E-01
21	0.98019E+00	0.20022E+00	0.10370E+01	0.14255E-01	-	-	-0.75250E-01	0.11174E-01
22	0.11002E+01	0.20022E+00	0.10270E+01	0.11398E-01	-	-	-0.61168E-01	0.93561E-02
23	0.11002E+01	0.19986E+00	0.10293E+01	0.13177E-01	-	-	-0.61591E-01	0.11278E-01
24	0.11002E+01	0.15977E+00	0.10246E+01	0.13357E-01	-	-	-0.69985E-01	0.10078E-01
25	0.11002E+01	0.11993E+00	0.10202E+01	0.12677E-01	-	-	-0.74150E-01	0.86659E-02
26	0.11002E+01	0.79844E-01	0.10146E+01	0.14708E-01	-	-	-0.88265E-01	0.10586E-01
27	0.11002E+01	0.39880E-01	0.10134E+01	0.15713E-01	-	-	-0.10665E+00	0.11762E-01
28	0.11002E+01	-0.85220E-04	0.99397E+00	0.28954E-01	-	-	-0.15112E+00	0.26562E-01
29	0.11002E+01	-0.40171E-01	0.97000E+00	0.41409E-01	-	-	-0.24503E+00	0.37362E-01
30	0.11002E+01	-0.80136E-01	0.97092E+00	0.40259E-01	-	-	-0.21443E+00	0.47105E-01
31	0.11002E+01	-0.12010E+00	0.78960E+00	0.50437E-01	-	-	-0.53563E-01	0.61637E-01
32	0.11002E+01	-0.16007E+00	0.86901E+00	0.64152E-01	-	-	-0.46760E-01	0.94075E-02
33	0.11002E+01	-0.20027E+00	0.98451E+00	0.25320E-01	-	-	-0.26686E-01	0.95858E-02
34	0.10996E+01	-0.20027E+00	0.10018E+01	0.98814E-02	-	-	-0.26652E-01	0.87883E-02
35	0.97958E+00	-0.20027E+00	0.99758E+00	0.10841E-01	-	-	-0.36693E-01	0.44095E-01
36	0.85993E+00	-0.20027E+00	0.10107E+01	0.12519E-01	-	-	0.11612E-01	0.10121E-01
37	0.73991E+00	-0.20027E+00	0.10347E+01	0.10576E-01	-	-	0.14615E-01	0.79503E-02

38	0.61978E+00	-0.20027E+00	0.10533E+01	0.10823E-01	-	0.34114E-02	0.12752E-01
39	0.49988E+00	-0.20027E+00	0.10604E+01	0.11087E-01	-	-0.13347E-01	0.18165E-01
40	0.37987E+00	-0.20027E+00	0.10602E+01	0.12168E-01	-	-0.34156E-01	0.37792E-01
41	0.25973E+00	-0.20027E+00	0.10439E+01	0.10648E-01	-	-0.64022E-01	0.92857E-02
42	0.13984E+00	-0.20027E+00	0.10099E+01	0.15095E-01	-	-0.71612E-01	0.11138E-01
43	0.19700E-01	-0.20027E+00	0.97350E+00	0.17868E-01	-	-0.46854E-01	0.14169E-01
44	-0.10007E+00	-0.20027E+00	0.96635E+00	0.14411E-01	-	-0.84441E-02	0.16321E-01

I1 - 0.0527    I2 - 2.6357    I3 - 0.0888    I4 - -2.4541

Lift - 0.3231

Rectangular Tip

Inboard angle = 6.6 Tip angle = -2.1 Delta theta = -8.7

Circulation box no. 5 at y/c = 0.054

NPT	x/c	z/c	u/U	$\sigma_u$	v/U	$\sigma_v$	w/U	$\sigma_w$
1	-0.10007E+00	-0.20003E+00	0.97128E+00	0.12629E-01	-	-	-0.13742E-01	0.25523E-01
2	-0.10007E+00	-0.15982E+00	0.95841E+00	0.15736E-01	-	-	-0.94202E-02	0.22821E-01
3	-0.10007E+00	-0.11986E+00	0.94215E+00	0.14838E-01	-	-	0.56269E-02	0.29290E-01
4	-0.10007E+00	-0.79893E-01	0.92631E+00	0.13262E-01	-	-	0.18321E-01	0.25298E-01
5	-0.10007E+00	-0.39928E-01	0.91972E+00	0.14661E-01	-	-	0.57199E-01	0.24895E-01
6	-0.10007E+00	0.15778E-03	0.93169E+00	0.15150E-01	-	-	0.86162E-01	0.28234E-01
7	-0.10007E+00	0.40123E-01	0.95772E+00	0.12695E-01	-	-	0.11389E+00	0.30733E-01
8	-0.10007E+00	0.80087E-01	0.98501E+00	0.12549E-01	-	-	0.11288E+00	0.23419E-01
9	-0.10007E+00	0.12017E+00	0.10407E+01	0.23254E+00	-	-	0.11595E+00	0.36787E-01
10	-0.10007E+00	0.16014E+00	0.10263E+01	0.12013E-01	-	-	0.10339E+00	0.21377E-01
11	-0.10007E+00	0.20010E+00	0.10394E+01	0.12294E-01	-	-	0.99359E-01	0.25838E-01
12	-0.99587E-01	0.20010E+00	0.10390E+01	0.12085E-01	-	-	0.98069E-01	0.25171E-01
13	0.20307E-01	0.20010E+00	0.10854E+01	0.10984E-01	-	-	0.11439E+00	0.20499E-01
14	0.14008E+00	0.20010E+00	0.11413E+01	0.12367E-01	-	-	0.85735E-01	0.25966E-01
15	0.26022E+00	0.20010E+00	0.11618E+01	0.11355E-01	-	-	0.25894E-01	0.21583E-01
16	0.38011E+00	0.20010E+00	0.11492E+01	0.83412E-02	-	-	-0.62726E-02	0.39367E-01
17	0.50013E+00	0.20010E+00	0.11256E+01	0.11412E-01	-	-	-0.27577E-01	0.46195E-01
18	0.62014E+00	0.20010E+00	0.10985E+01	0.11578E-01	-	-	-0.60040E-01	0.34289E-01
19	0.74028E+00	0.20010E+00	0.10716E+01	0.12249E-01	-	-	-0.69198E-01	0.28847E-01
20	0.86029E+00	0.20010E+00	0.10480E+01	0.71489E-02	-	-	-0.54599E-01	0.34270E-01
21	0.98019E+00	0.20010E+00	0.10323E+01	0.10847E-01	-	-	-0.44565E-01	0.42877E-01
22	0.11002E+01	0.20010E+00	0.10263E+01	0.10538E-01	-	-	-0.49378E-01	0.24553E-01
23	0.11002E+01	0.19998E+00	0.10271E+01	0.11322E-01	-	-	-0.44661E-01	0.20413E-01
24	0.11002E+01	0.15989E+00	0.10220E+01	0.11784E-01	-	-	-0.49606E-01	0.15200E-01
25	0.11002E+01	0.11993E+00	0.10171E+01	0.93046E-02	-	-	-0.54662E-01	0.16289E-01
26	0.11002E+01	0.79844E-01	0.10145E+01	0.11872E-01	-	-	-0.62876E-01	0.15112E-01
27	0.11002E+01	0.39880E-01	0.10096E+01	0.12126E-01	-	-	-0.80938E-01	0.20901E-01
28	0.11002E+01	-0.85220E-04	0.95557E+00	0.44564E-01	-	-	-0.14692E+00	0.50136E-01
29	0.11002E+01	-0.40171E-01	0.10064E+01	0.34118E-01	-	-	-0.17576E+00	0.49529E-01
30	0.11002E+01	-0.80136E-01	0.90477E+00	0.58761E-01	-	-	-0.18319E+00	0.67802E-01
31	0.11002E+01	-0.12010E+00	0.86355E+00	0.58091E-01	-	-	-0.37530E-01	0.53554E-01
32	0.11002E+01	-0.16007E+00	0.99920E+00	0.16654E-01	-	-	-0.14219E-01	0.17102E-01
33	0.11002E+01	-0.20027E+00	0.10059E+01	0.10505E-01	-	-	-0.27868E-03	0.16698E-01
34	0.10997E+01	-0.20027E+00	0.10061E+01	0.90180E-02	-	-	-0.17986E-04	0.15126E-01
35	0.97970E+00	-0.20027E+00	0.10009E+01	0.11592E-01	-	-	0.22681E-01	0.40406E-01
36	0.85981E+00	-0.20027E+00	0.10109E+01	0.72741E-02	-	-	0.34721E-01	0.34367E-01
37	0.73991E+00	-0.20027E+00	0.10341E+01	0.85481E-02	-	-	0.39141E-01	0.24081E-01

38	0.61990E+00	-0.20027E+00	0.10541E+01	0.90777E-02	-	0.32136E-01	0.29571E-01
39	0.49976E+00	-0.20027E+00	0.10626E+01	0.87722E-02	-	0.37684E-01	0.44174E-01
40	0.37987E+00	-0.20027E+00	0.10657E+01	0.71561E-02	-	0.37338E-01	0.56137E-01
41	0.25985E+00	-0.20027E+00	0.10526E+01	0.77831E-02	-	-0.30944E-01	0.34860E-01
42	0.13971E+00	-0.20027E+00	0.10214E+01	0.12405E-01	-	-0.62591E-01	0.17710E-01
43	0.19821E-01	-0.20027E+00	0.98141E+00	0.13151E-01	-	-0.46729E-01	0.29283E-01
44	-0.10019E+00	-0.20027E+00	0.97148E+00	0.11787E-01	-	-0.10535E-01	0.28431E-01

I1 = 0.0511    I2 = 2.6277    I3 = 0.0685    I4 = -2.4647

Lift = 0.2826

Rectangular Tip

Inboard angle = 6.6 Tip angle = -2.1 Delta theta = -8.7

Circulation box no. 6 at y/c = 0.003

NPT	x/c	z/c	u/U	$\sigma_u$	v/U	$\sigma_v$	w/U	$\sigma_w$
1	-0.10032E+00	-0.20003E+00	0.97364E+00	0.14186E-01	-	-	-0.13988E-01	0.19050E-01
2	-0.10032E+00	-0.15982E+00	0.95909E+00	0.15282E-01	-	-	-0.11777E-01	0.22488E-01
3	-0.10032E+00	-0.11986E+00	0.94387E+00	0.18009E-01	-	-	-0.56714E-04	0.21798E-01
4	-0.10032E+00	-0.79893E-01	0.92810E+00	0.15877E-01	-	-	0.20266E-01	0.24927E-01
5	-0.10032E+00	-0.39928E-01	0.92335E+00	0.20849E-01	-	-	0.50734E-01	0.12665E-01
6	-0.10032E+00	0.15778E-03	0.93332E+00	0.16199E-01	-	-	0.81413E-01	0.24263E-01
7	-0.10032E+00	0.40123E-01	0.95740E+00	0.12984E-01	-	-	0.10138E+00	0.24049E-01
8	-0.10032E+00	0.80087E-01	0.98279E+00	0.12662E-01	-	-	0.10650E+00	0.19982E-01
9	-0.10032E+00	0.12017E+00	0.10057E+01	0.13842E-01	-	-	0.10683E+00	0.20151E-01
10	-0.10032E+00	0.16014E+00	0.10220E+01	0.14408E-01	-	-	0.99543E-01	0.20493E-01
11	-0.10032E+00	0.20010E+00	0.10342E+01	0.11883E-01	-	-	0.96958E-01	0.19622E-01
12	-0.99708E-01	0.20010E+00	0.10314E+01	0.12115E-01	-	-	0.87163E-01	0.19495E-01
13	0.20064E-01	0.20010E+00	0.10765E+01	0.13558E-01	-	-	0.11218E+00	0.17415E-01
14	0.14008E+00	0.20010E+00	0.11338E+01	0.13107E-01	-	-	0.90924E-01	0.17840E-01
15	0.26022E+00	0.20010E+00	0.11540E+01	0.11180E-01	-	-	0.34892E-01	0.18568E-01
16	0.38011E+00	0.20010E+00	0.11431E+01	0.10870E-01	-	-	-0.15822E-01	0.14100E-01
17	0.50013E+00	0.20010E+00	0.11206E+01	0.10130E-01	-	-	-0.43344E-01	0.13535E-01
18	0.62026E+00	0.20010E+00	0.10958E+01	0.10102E-01	-	-	-0.57415E-01	0.18705E-01
19	0.74016E+00	0.20010E+00	0.10701E+01	0.99393E-02	-	-	-0.62025E-01	0.18892E-01
20	0.86017E+00	0.20010E+00	0.10444E+01	0.11285E-01	-	-	-0.61811E-01	0.17521E-01
21	0.98006E+00	0.20010E+00	0.10319E+01	0.14546E-01	-	-	-0.46055E-01	0.17293E-01
22	0.11001E+01	0.20010E+00	0.10220E+01	0.98657E-02	-	-	-0.36008E-01	0.15026E-01
23	0.11001E+01	0.19998E+00	0.10244E+01	0.12633E-01	-	-	-0.37040E-01	0.19315E-01
24	0.11001E+01	0.15989E+00	0.10203E+01	0.12057E-01	-	-	-0.31685E-01	0.15558E-01
25	0.11001E+01	0.11993E+00	0.10162E+01	0.11791E-01	-	-	-0.34089E-01	0.17459E-01
26	0.11001E+01	0.79844E-01	0.10085E+01	0.11869E-01	-	-	-0.29600E-01	0.16909E-01
27	0.11001E+01	0.39880E-01	0.10043E+01	0.12357E-01	-	-	-0.17335E-01	0.22321E-01
28	0.11001E+01	-0.85220E-04	0.97631E+00	0.36806E-01	-	-	0.49666E-01	0.43296E-01
29	0.11001E+01	-0.40171E-01	0.88857E+00	0.65114E-01	-	-	0.15552E+00	0.48365E-01
30	0.11001E+01	-0.80136E-01	0.85008E+00	0.43466E-01	-	-	0.10787E+00	0.51563E-01
31	0.11001E+01	-0.12010E+00	0.97543E+00	0.38716E-01	-	-	0.53732E-01	0.32111E-01
32	0.11001E+01	-0.16007E+00	0.10084E+01	0.12171E-01	-	-	0.44342E-01	0.16547E-01
33	0.11001E+01	-0.20015E+00	0.10087E+01	0.12835E-01	-	-	0.36058E-01	0.17350E-01
34	0.10996E+01	-0.20015E+00	0.10063E+01	0.10745E-01	-	-	0.34793E-01	0.20850E-01
35	0.97982E+00	-0.20015E+00	0.10058E+01	0.11482E-01	-	-	0.58246E-01	0.38931E-01
36	0.85993E+00	-0.20015E+00	0.10151E+01	0.12804E-01	-	-	0.63314E-01	0.20778E-01
37	0.73979E+00	-0.20015E+00	0.10367E+01	0.14106E-01	-	-	0.66894E-01	0.17796E-01

38	0.61990E+00	-0.20015E+00	0.10558E+01	0.10780E-01	-	0.60493E-01	0.23214E-01
39	0.49988E+00	-0.20015E+00	0.10672E+01	0.11204E-01	-	0.41351E-01	0.28039E-01
40	0.37962E+00	-0.20015E+00	0.10707E+01	0.11843E-01	-	0.17338E-01	0.53324E-01
41	0.25985E+00	-0.20015E+00	0.10640E+01	0.11738E-01	-	-0.26302E-01	0.15422E-01
42	0.13971E+00	-0.20015E+00	0.10325E+01	0.13274E-01	-	-0.49445E-01	0.15756E-01
43	0.19821E-01	-0.20015E+00	0.99121E+00	0.18985E-01	-	-0.51858E-01	0.20024E-01
44	-0.10019E+00	-0.20015E+00	0.97232E+00	0.13769E-01	-	-0.16565E-01	0.20503E-01

I1 = 0.0476    I2 = 2.6160    I3 = -0.0234    I4 = -2.4789

Lift = 0.1613



Rectangular Tip

Inboard angle = 6.6 Tip angle = -2.1 Delta theta = -8.7

Circulation box no. 7 at y/c = -0.021

NPT	x/c	z/c	u/U	$\sigma_u$	v/U	$\sigma_v$	w/U	$\sigma_w$
1	-0.10032E+00	-0.20003E+00	0.97863E+00	0.18757E-01	-	-	-0.12757E-01	0.22170E-01
2	-0.10032E+00	-0.15982E+00	0.95558E+00	0.95709E-02	-	-	-0.11615E-01	0.17749E-01
3	-0.10032E+00	-0.11986E+00	0.94164E+00	0.10890E-01	-	-	-0.42531E-02	0.21744E-01
4	-0.10032E+00	-0.79893E-01	0.92521E+00	0.11207E-01	-	-	0.14239E-01	0.25310E-01
5	-0.10032E+00	-0.39928E-01	0.91961E+00	0.11345E-01	-	-	0.49477E-01	0.24314E-01
6	-0.10032E+00	0.15778E-03	0.93250E+00	0.10587E-01	-	-	0.81355E-01	0.21805E-01
7	-0.10032E+00	0.40123E-01	0.95768E+00	0.10416E-01	-	-	0.10687E+00	0.21895E-01
8	-0.10032E+00	0.80087E-01	0.98138E+00	0.10085E-01	-	-	0.10388E+00	0.19641E-01
9	-0.10032E+00	0.12017E+00	0.10011E+01	0.95805E-02	-	-	0.10749E+00	0.20805E-01
10	-0.10032E+00	0.16014E+00	0.10198E+01	0.10167E-01	-	-	0.99372E-01	0.19259E-01
11	-0.10032E+00	0.20010E+00	0.10311E+01	0.10325E-01	-	-	0.93547E-01	0.20476E-01
12	-0.99708E-01	0.20010E+00	0.10315E+01	0.11269E-01	-	-	0.93169E-01	0.20524E-01
13	0.20064E-01	0.20010E+00	0.10700E+01	0.83553E-02	-	-	0.10964E+00	0.13626E-01
14	0.14020E+00	0.20010E+00	0.11253E+01	0.81807E-02	-	-	0.90669E-01	0.15356E-01
15	0.26022E+00	0.20010E+00	0.11514E+01	0.94810E-02	-	-	0.42178E-01	0.18459E-01
16	0.38011E+00	0.20010E+00	0.11395E+01	0.80182E-02	-	-	-0.28055E-02	0.18259E-01
17	0.50025E+00	0.20010E+00	0.11196E+01	0.89591E-02	-	-	-0.31549E-01	0.18862E-01
18	0.62014E+00	0.20010E+00	0.10936E+01	0.72077E-02	-	-	-0.47773E-01	0.23806E-01
19	0.74016E+00	0.20010E+00	0.10685E+01	0.80908E-02	-	-	-0.49815E-01	0.15992E-01
20	0.86029E+00	0.20010E+00	0.10458E+01	0.87062E-02	-	-	-0.53854E-01	0.15729E-01
21	0.98019E+00	0.20010E+00	0.10294E+01	0.84107E-02	-	-	-0.41630E-01	0.15726E-01
22	0.11002E+01	0.20010E+00	0.10218E+01	0.77812E-02	-	-	-0.35367E-01	0.16394E-01
23	0.11002E+01	0.19998E+00	0.10201E+01	0.80312E-02	-	-	-0.30545E-01	0.16799E-01
24	0.11002E+01	0.15989E+00	0.10167E+01	0.84262E-02	-	-	-0.29460E-01	0.11281E-01
25	0.11002E+01	0.11993E+00	0.10110E+01	0.80455E-02	-	-	-0.21906E-01	0.13658E-01
26	0.11002E+01	0.79844E-01	0.10056E+01	0.90516E-02	-	-	-0.14402E-01	0.17056E-01
27	0.11002E+01	0.39880E-01	0.99885E+00	0.98479E-02	-	-	0.70135E-02	0.14140E-01
28	0.11002E+01	-0.85220E-04	0.98111E+00	0.29604E-01	-	-	0.90246E-01	0.33020E-01
29	0.11002E+01	-0.40171E-01	0.99428E+00	0.18355E-01	-	-	0.25268E+00	0.32409E-01
30	0.11002E+01	-0.80136E-01	0.94957E+00	0.66064E-01	-	-	0.19362E+00	0.64220E-01
31	0.11002E+01	-0.12010E+00	0.10023E+01	0.11467E-01	-	-	0.10958E+00	0.27305E-01
32	0.11002E+01	-0.16007E+00	0.10049E+01	0.78556E-02	-	-	0.71256E-01	0.17570E-01
33	0.11002E+01	-0.20015E+00	0.10075E+01	0.80058E-02	-	-	0.53983E-01	0.16535E-01
34	0.10997E+01	-0.20015E+00	0.10096E+01	0.99785E-02	-	-	0.55244E-01	0.19053E-01
35	0.97970E+00	-0.20015E+00	0.10059E+01	0.10493E-01	-	-	0.48792E-01	0.46496E-01
36	0.85993E+00	-0.20015E+00	0.10128E+01	0.76942E-02	-	-	0.72060E-01	0.19730E-01
37	0.73991E+00	-0.20015E+00	0.10353E+01	0.66728E-02	-	-	0.80989E-01	0.22749E-01

38	0.61978E+00	-0.20015E+00	0.10559E+01	0.74830E-02	-	0.77148E-01	0.29203E-01
39	0.49988E+00	-0.20015E+00	0.10659E+01	0.92890E-02	-	0.67395E-01	0.47831E-01
40	0.37987E+00	-0.20015E+00	0.10771E+01	0.93147E-02	-	0.56035E-01	0.55376E-01
41	0.25961E+00	-0.20015E+00	0.10755E+01	0.73879E-02	-	-0.17117E-01	0.25393E-01
42	0.13984E+00	-0.20015E+00	0.10422E+01	0.14394E-01	-	-0.46433E-01	0.19296E-01
43	0.19821E-01	-0.20015E+00	0.99580E+00	0.14692E-01	-	-0.57570E-01	0.22133E-01
44	-0.10007E+00	-0.20015E+00	0.97486E+00	0.11599E-01	-	-0.22931E-01	0.21063E-01

I1 = 0.0466    I2 = 2.6094    I3 = -0.0524    I4 = -2.4859

Lift = 0.1178

Rectangular Tip

Inboard angle = 6.6 Tip angle = -2.1 Delta theta = -8.7

Circulation box no. 8 at y/c = -0.047

NPT	x/c	z/c	u/U	$\sigma_u$	v/U	$\sigma_v$	w/U	$\sigma_w$
1	-0.10032E+00	-0.20003E+00	0.97499E+00	0.12356E-01	-	-	-0.16938E-01	0.23911E-01
2	-0.10032E+00	-0.15982E+00	0.95956E+00	0.13203E-01	-	-	-0.18892E-01	0.21846E-01
3	-0.10032E+00	-0.11986E+00	0.94100E+00	0.12635E-01	-	-	-0.63990E-02	0.23636E-01
4	-0.10032E+00	-0.79893E-01	0.92446E+00	0.14300E-01	-	-	0.14843E-01	0.24340E-01
5	-0.10032E+00	-0.39928E-01	0.91931E+00	0.15212E-01	-	-	0.47865E-01	0.23043E-01
6	-0.10032E+00	0.15778E-03	0.93016E+00	0.13432E-01	-	-	0.78283E-01	0.22991E-01
7	-0.10032E+00	0.40123E-01	0.95502E+00	0.12868E-01	-	-	0.10138E+00	0.24968E-01
8	-0.10032E+00	0.80087E-01	0.98136E+00	0.10896E-01	-	-	0.10569E+00	0.20720E-01
9	-0.10032E+00	0.12017E+00	0.10034E+01	0.10948E-01	-	-	0.10704E+00	0.18833E-01
10	-0.10032E+00	0.16014E+00	0.10205E+01	0.12430E-01	-	-	0.97800E-01	0.20474E-01
11	-0.10032E+00	0.20010E+00	0.10295E+01	0.10604E-01	-	-	0.89067E-01	0.18097E-01
12	-0.99708E-01	0.20010E+00	0.10317E+01	0.1332E-01	-	-	0.91209E-01	0.19437E-01
13	0.20064E-01	0.20010E+00	0.10683E+01	0.11035E-01	-	-	0.11192E+00	0.18177E-01
14	0.14020E+00	0.20010E+00	0.11246E+01	0.11263E-01	-	-	0.93267E-01	0.14051E-01
15	0.26009E+00	0.20010E+00	0.11546E+01	0.11196E-01	-	-	0.48285E-01	0.16597E-01
16	0.38023E+00	0.20010E+00	0.11421E+01	0.10178E-01	-	-	0.19059E-02	0.20348E-01
17	0.50013E+00	0.20010E+00	0.11185E+01	0.74057E-02	-	-	-0.26459E-01	0.21467E-01
18	0.62014E+00	0.20010E+00	0.10952E+01	0.13455E-01	-	-	-0.48563E-01	0.14476E-01
19	0.74016E+00	0.20010E+00	0.10692E+01	0.10545E-01	-	-	-0.53957E-01	0.14443E-01
20	0.86017E+00	0.20010E+00	0.10463E+01	0.11129E-01	-	-	-0.44319E-01	0.24080E-01
21	0.98006E+00	0.20010E+00	0.10304E+01	0.10432E-01	-	-	-0.34465E-01	0.22711E-01
22	0.11001E+01	0.20010E+00	0.10240E+01	0.11257E-01	-	-	-0.24201E-01	0.15506E-01
23	0.11001E+01	0.19998E+00	0.10231E+01	0.10948E-01	-	-	-0.21598E-01	0.14998E-01
24	0.11001E+01	0.15989E+00	0.10182E+01	0.11878E-01	-	-	-0.21574E-01	0.14376E-01
25	0.11001E+01	0.11993E+00	0.10115E+01	0.11127E-01	-	-	-0.16500E-01	0.13933E-01
26	0.11001E+01	0.79844E-01	0.10066E+01	0.11284E-01	-	-	-0.38728E-02	0.12777E-01
27	0.11001E+01	0.39880E-01	0.99745E+00	0.11282E-01	-	-	0.20725E-01	0.14912E-01
28	0.11001E+01	-0.85220E-04	0.98406E+00	0.28812E-01	-	-	0.10174E+00	0.26798E-01
29	0.11001E+01	-0.40171E-01	0.99786E+00	0.11931E-01	-	-	0.23254E+00	0.28697E-01
30	0.11001E+01	-0.80136E-01	0.99670E+00	0.18016E-01	-	-	0.25964E+00	0.31908E-01
31	0.11001E+01	-0.12010E+00	0.10029E+01	0.12323E-01	-	-	0.13358E+00	0.16132E-01
32	0.11001E+01	-0.16007E+00	0.10069E+01	0.10146E-01	-	-	0.83725E-01	0.12994E-01
33	0.11001E+01	-0.20027E+00	0.10093E+01	0.95629E-02	-	-	0.61550E-01	0.15266E-01
34	0.10996E+01	-0.20027E+00	0.10074E+01	0.81303E-02	-	-	0.58902E-01	0.13049E-01
35	0.97982E+00	-0.20027E+00	0.10079E+01	0.10416E-01	-	-	0.74682E-01	0.27986E-01
36	0.85993E+00	-0.20027E+00	0.10173E+01	0.78772E-02	-	-	0.87657E-01	0.32705E-01
37	0.73979E+00	-0.20027E+00	0.10350E+01	0.81295E-02	-	-	0.96010E-01	0.46886E-01

38	0.61990E+00	-0.20027E+00	0.10576E+01	0.96347E-02	-	0.94778E-01	0.41951E-01
39	0.49988E+00	-0.20027E+00	0.10679E+01	0.11029E-01	-	0.95135E-01	0.55225E-01
40	0.37975E+00	-0.20027E+00	0.10766E+01	0.89474E-02	-	0.71966E-01	0.55549E-01
41	0.25985E+00	-0.20027E+00	0.10705E+01	0.14118E-01	-	0.45830E-02	0.37926E-01
42	0.13971E+00	-0.20027E+00	0.10468E+01	0.12548E-01	-	-0.40575E-01	0.19532E-01
43	0.19821E-01	-0.20027E+00	0.10008E+01	0.15853E-01	-	-0.48280E-01	0.26093E-01
44	-0.10019E+00	-0.20027E+00	0.97805E+00	0.12843E-01	-	-0.33527E-01	0.23435E-01

I1 - 0.0449    I2 - 2.6109    I3 - -0.0656    I4 - -2.4889

Lift = 0.1013

Rectangular Tip

Inboard angle = 6.6 Tip angle = -2.1 Delta theta = -8.7

Circulation box no. 9 at y/c = -0.097

NPT	x/c	z/c	u/U	$\sigma_u$	v/U	$\sigma_v$	w/U	$\sigma_w$
1	-0.10007E+00	-0.20003E+00	0.97544E+00	0.14736E-01	-	-	-0.18030E-01	0.15884E-01
2	-0.10007E+00	-0.15970E+00	0.96308E+00	0.14293E-01	-	-	-0.23099E-01	0.17387E-01
3	-0.10007E+00	-0.11974E+00	0.94495E+00	0.15437E-01	-	-	-0.18174E-02	0.19795E-01
4	-0.10007E+00	-0.79772E-01	0.93091E+00	0.18050E-01	-	-	0.20391E-01	0.20126E-01
5	-0.10007E+00	-0.39928E-01	0.92583E+00	0.17988E-01	-	-	0.39000E-01	0.16672E-01
6	-0.10007E+00	0.15778E-03	0.93625E+00	0.17433E-01	-	-	0.67563E-01	0.17804E-01
7	-0.10007E+00	0.40123E-01	0.95923E+00	0.14862E-01	-	-	0.93157E-01	0.21239E-01
8	-0.10007E+00	0.80087E-01	0.98020E+00	0.15014E-01	-	-	0.95691E-01	0.17566E-01
9	-0.10007E+00	0.12029E+00	0.10012E+01	0.13931E-01	-	-	0.99560E-01	0.16318E-01
10	-0.10007E+00	0.16014E+00	0.10154E+01	0.14888E-01	-	-	0.90264E-01	0.18241E-01
11	-0.10007E+00	0.20022E+00	0.10255E+01	0.13178E-01	-	-	0.83279E-01	0.15941E-01
12	-0.99934E-01	0.20022E+00	0.10263E+01	0.11987E-01	-	-	0.82346E-01	0.14777E-01
13	0.20307E-01	0.20022E+00	0.10605E+01	0.15190E-01	-	-	0.10900E+00	0.13701E-01
14	0.14008E+00	0.20022E+00	0.11155E+01	0.14676E-01	-	-	0.97018E-01	0.10944E-01
15	0.26022E+00	0.20022E+00	0.11532E+01	0.12897E-01	-	-	0.63517E-01	0.12676E-01
16	0.38011E+00	0.20022E+00	0.11401E+01	0.12390E-01	-	-	0.11113E-01	0.11227E-01
17	0.50013E+00	0.20022E+00	0.11235E+01	0.11239E-01	-	-	-0.20575E-01	0.92022E-02
18	0.62026E+00	0.20022E+00	0.10977E+01	0.10882E-01	-	-	-0.40199E-01	0.98378E-02
19	0.74040E+00	0.20022E+00	0.10724E+01	0.12192E-01	-	-	-0.48539E-01	0.10057E-01
20	0.86029E+00	0.20022E+00	0.10476E+01	0.11580E-01	-	-	-0.44433E-01	0.89796E-02
21	0.98019E+00	0.20022E+00	0.10283E+01	0.11651E-01	-	-	-0.32836E-01	0.91148E-02
22	0.11002E+01	0.20022E+00	0.10216E+01	0.11453E-01	-	-	-0.17918E-01	0.10224E-01
23	0.11002E+01	0.19986E+00	0.10236E+01	0.10934E-01	-	-	-0.16885E-01	0.81823E-02
24	0.11002E+01	0.15977E+00	0.10191E+01	0.14564E-01	-	-	-0.14820E-01	0.10919E-01
25	0.11002E+01	0.11993E+00	0.10101E+01	0.12555E-01	-	-	-0.82632E-02	0.87345E-02
26	0.11002E+01	0.79844E-01	0.10037E+01	0.11942E-01	-	-	-0.46312E-02	0.68236E-02
27	0.11002E+01	0.39880E-01	0.99221E+00	0.13779E-01	-	-	0.24227E-01	0.75104E-02
28	0.11002E+01	-0.85220E-04	0.89741E+00	0.54743E-01	-	-	0.97208E-01	0.47593E-01
29	0.11002E+01	-0.40171E-01	0.99218E+00	0.13053E-01	-	-	0.12251E+00	0.12837E-01
30	0.11002E+01	-0.80136E-01	0.99947E+00	0.13853E-01	-	-	0.13656E+00	0.13188E-01
31	0.11002E+01	-0.12010E+00	0.10019E+01	0.14328E-01	-	-	0.11812E+00	0.96083E-02
32	0.11002E+01	-0.16007E+00	0.10060E+01	0.12072E-01	-	-	0.93727E-01	0.71408E-02
33	0.11002E+01	-0.20027E+00	0.10102E+01	0.13388E-01	-	-	0.70964E-01	0.95613E-02
34	0.10997E+01	-0.20027E+00	0.10103E+01	0.13923E-01	-	-	0.71036E-01	0.83059E-02
35	0.97958E+00	-0.20027E+00	0.10080E+01	0.99667E-02	-	-	0.39292E-01	0.53337E-01
36	0.85993E+00	-0.20027E+00	0.10205E+01	0.12812E-01	-	-	0.89997E-01	0.85142E-02
37	0.73991E+00	-0.20027E+00	0.10408E+01	0.10361E-01	-	-	0.91270E-01	0.71566E-02

38	0.61978E+00	-0.20027E+00	0.10578E+01	0.12468E-01	-	0.77446E-01	0.92819E-02
39	0.49988E+00	-0.20027E+00	0.10729E+01	0.11413E-01	-	0.55059E-01	0.34601E-01
40	0.37987E+00	-0.20027E+00	0.10775E+01	0.95353E-02	-	0.27396E-01	0.38476E-01
41	0.25973E+00	-0.20027E+00	0.10794E+01	0.13726E-01	-	0.21041E-03	0.21046E-01
42	0.13984E+00	-0.20027E+00	0.10531E+01	0.14918E-01	-	-0.39392E-01	0.11493E-01
43	0.19700E-01	-0.20027E+00	0.10009E+01	0.19107E-01	-	-0.51313E-01	0.15518E-01
44	-0.10032E+00	-0.20027E+00	0.97856E+00	0.15072E-01	-	-0.22057E-01	0.18197E-01

I1 = 0.0408    I2 = 2.6081    I3 = -0.0490    I4 = -2.4972

Lift = 0.1027

Rectangular Tip

Inboard angle = 6.6 Tip angle = -2.1 Delta theta = -8.7  
 Circulation box no. 10 at y/c = -0.498

NPT	x/c	z/c	u/U	$\sigma_u$	v/U	$\sigma_v$	w/U	$\sigma_w$
1	-0.99708E-01	-0.29988E+00	0.10111E+01	0.12838E-01	-	-	-0.23661E-01	0.17197E-01
2	-0.99708E-01	-0.23987E+00	0.99590E+00	0.12389E-01	-	-	-0.21691E-01	0.19339E-01
3	-0.99708E-01	-0.17987E+00	0.98197E+00	0.13938E-01	-	-	-0.44086E-01	0.19877E-01
4	-0.99708E-01	-0.11986E+00	0.94973E+00	0.15593E-01	-	-	-0.36573E-01	0.22491E-01
5	-0.99708E-01	-0.59850E-01	0.91527E+00	0.14800E-01	-	-	-0.41749E-02	0.19576E-01
6	-0.99708E-01	0.15778E-03	0.91792E+00	0.14934E-01	-	-	0.49612E-01	0.20644E-01
7	-0.99708E-01	0.60165E-01	0.94997E+00	0.13647E-01	-	-	0.83475E-01	0.21373E-01
8	-0.99708E-01	0.12029E+00	0.98108E+00	0.12453E-01	-	-	0.88598E-01	0.18232E-01
9	-0.99708E-01	0.18030E+00	0.10019E+01	0.12550E-01	-	-	0.79967E-01	0.20929E-01
10	-0.99708E-01	0.24007E+00	0.10135E+01	0.12081E-01	-	-	0.75222E-01	0.13449E-01
11	-0.99708E-01	0.30020E+00	0.10255E+01	0.12997E-01	-	-	0.62621E-01	0.14529E-01
12	-0.10044E+00	0.30020E+00	0.10270E+01	0.12870E-01	-	-	0.66974E-01	0.15109E-01
13	-0.14070E-01	0.30020E+00	0.10395E+01	0.10807E-01	-	-	0.80892E-01	0.14518E-01
14	0.71690E-01	0.30020E+00	0.10550E+01	0.10870E-01	-	-	0.77461E-01	0.19762E-01
15	0.15721E+00	0.30020E+00	0.10781E+01	0.84036E-02	-	-	0.81098E-01	0.14866E-01
16	0.24297E+00	0.30020E+00	0.10923E+01	0.11024E-01	-	-	0.65979E-01	0.14906E-01
17	0.32873E+00	0.30020E+00	0.10910E+01	0.77996E-02	-	-	0.39207E-01	0.13446E-01
18	0.41437E+00	0.30020E+00	0.10940E+01	0.12859E-01	-	-	0.20332E-01	0.14941E-01
19	0.50013E+00	0.30020E+00	0.10833E+01	0.11854E-01	-	-	0.10125E-01	0.12675E-01
20	0.58588E+00	0.30020E+00	0.10754E+01	0.11719E-01	-	-	-0.17903E-02	0.14447E-01
21	0.67152E+00	0.30020E+00	0.10669E+01	0.10318E-01	-	-	-0.82934E-02	0.13442E-01
22	0.75728E+00	0.30020E+00	0.10562E+01	0.10543E-01	-	-	-0.87838E-02	0.12748E-01
23	0.84292E+00	0.30020E+00	0.10440E+01	0.11515E-01	-	-	-0.97977E-02	0.20010E-01
24	0.92868E+00	0.30020E+00	0.10359E+01	0.10857E-01	-	-	-0.64190E-02	0.12445E-01
25	0.10144E+01	0.30020E+00	0.10278E+01	0.11970E-01	-	-	-0.70072E-03	0.15496E-01
26	0.11001E+01	0.30020E+00	0.10255E+01	0.12929E-01	-	-	0.82311E-02	0.15260E-01
27	0.11001E+01	0.29983E+00	0.10237E+01	0.10860E-01	-	-	0.75753E-02	0.12432E-01
28	0.11001E+01	0.23982E+00	0.10183E+01	0.11665E-01	-	-	0.70693E-02	0.16114E-01
29	0.11001E+01	0.17994E+00	0.10120E+01	0.14391E-01	-	-	0.75749E-02	0.10819E-01
30	0.11001E+01	0.11993E+00	0.10031E+01	0.11424E-01	-	-	0.17704E-01	0.14629E-01
31	0.11001E+01	0.59922E-01	0.99149E+00	0.13017E-01	-	-	0.23850E-01	0.14490E-01
32	0.11001E+01	-0.85220E-04	0.90792E+00	0.64498E-01	-	-	0.40059E-01	0.46871E-01
33	0.11001E+01	-0.60215E-01	0.98896E+00	0.11828E-01	-	-	0.65255E-01	0.93976E-02
34	0.11001E+01	-0.12010E+00	0.99939E+00	0.93569E-02	-	-	0.66600E-01	0.11006E-01
35	0.11001E+01	-0.18023E+00	0.10057E+01	0.13058E-01	-	-	0.62011E-01	0.11587E-01
36	0.11001E+01	-0.24012E+00	0.10095E+01	0.95407E-02	-	-	0.60536E-01	0.11913E-01
37	0.11001E+01	-0.30024E+00	0.10136E+01	0.91040E-02	-	-	0.54776E-01	0.12821E-01

38	0.10996E+01	-0.30024E+00	0.10144E+01	0.97419E-02	-	0.53362E-01	0.11278E-01
39	0.10141E+01	-0.30024E+00	0.10129E+01	0.80821E-02	-	0.59249E-01	0.12047E-01
40	0.92832E+00	-0.30024E+00	0.10192E+01	0.98467E-02	-	0.71800E-01	0.10882E-01
41	0.84256E+00	-0.30024E+00	0.10291E+01	0.12076E-01	-	0.69650E-01	0.12154E-01
42	0.75692E+00	-0.30024E+00	0.10381E+01	0.11838E-01	-	0.70507E-01	0.12928E-01
43	0.67116E+00	-0.30024E+00	0.10461E+01	0.10140E-01	-	0.71529E-01	0.98568E-02
44	0.58552E+00	-0.30024E+00	0.10561E+01	0.92702E-02	-	0.65637E-01	0.10838E-01
45	0.49976E+00	-0.30024E+00	0.10628E+01	0.99301E-02	-	0.54027E-01	0.11422E-01
46	0.41400E+00	-0.30024E+00	0.10732E+01	0.10212E-01	-	0.37214E-01	0.11801E-01
47	0.32836E+00	-0.30024E+00	0.10784E+01	0.10675E-01	-	0.16755E-01	0.12868E-01
48	0.24248E+00	-0.30024E+00	0.10750E+01	0.99567E-02	-	0.41011E-02	0.13079E-01
49	0.15684E+00	-0.30024E+00	0.10609E+01	0.12700E-01	-	-0.10243E-01	0.15593E-01
50	0.71083E-01	-0.30024E+00	0.10524E+01	0.10685E-01	-	-0.29636E-01	0.16820E-01
51	-0.14434E-01	-0.30024E+00	0.10204E+01	0.10518E-01	-	-0.19167E-01	0.16126E-01
52	-0.10007E+00	-0.30024E+00	0.10119E+01	0.10867E-01	-	-0.22701E-01	0.18414E-01

I1 - 0.0356 I2 - 2.5481 I3 - -0.0459 I4 - -2.5084

Lift - 0.0294



Rectangular Tip

Inboard angle = 6.6 Tip angle = -2.1 Delta theta = -8.7

Circulation box no. 11 at y/c = -1.001

NPT	x/c	z/c	u/U	$\sigma_u$	v/U	$\sigma_v$	w/U	$\sigma_w$
1	-0.10044E+00	-0.30012E+00	0.10144E+01	0.93323E-02	-	-	-0.27877E-01	0.16482E-01
2	-0.10044E+00	-0.23987E+00	0.10041E+01	0.10352E-01	-	-	-0.33850E-01	0.19080E-01
3	-0.10044E+00	-0.17987E+00	0.98373E+00	0.10482E-01	-	-	-0.39226E-01	0.18994E-01
4	-0.10044E+00	-0.11986E+00	0.95104E+00	0.10466E-01	-	-	-0.52152E-01	0.19602E-01
5	-0.10044E+00	-0.59850E-01	0.91486E+00	0.11972E-01	-	-	-0.11440E-01	0.16700E-01
6	-0.10044E+00	0.15778E-03	0.91331E+00	0.12073E-01	-	-	0.31707E-01	0.18658E-01
7	-0.10044E+00	0.60165E-01	0.94211E+00	0.11494E-01	-	-	0.69167E-01	0.15571E-01
8	-0.10044E+00	0.12029E+00	0.96739E+00	0.10075E-01	-	-	0.72839E-01	0.16625E-01
9	-0.10044E+00	0.18030E+00	0.99504E+00	0.90206E-02	-	-	0.80728E-01	0.14721E-01
10	-0.10044E+00	0.24007E+00	0.10031E+01	0.98753E-02	-	-	0.63480E-01	0.17629E-01
11	-0.10044E+00	0.30020E+00	0.10165E+01	0.91677E-02	-	-	0.61697E-01	0.13318E-01
12	-0.99830E-01	0.30020E+00	0.10164E+01	0.74037E-02	-	-	0.68912E-01	0.14300E-01
13	0.20064E-01	0.30020E+00	0.10286E+01	0.78372E-02	-	-	0.70653E-01	0.97661E-02
14	0.14032E+00	0.30020E+00	0.10554E+01	0.97454E-02	-	-	0.66618E-01	0.12605E-01
15	0.26009E+00	0.30020E+00	0.10725E+01	0.81066E-02	-	-	0.57464E-01	0.11718E-01
16	0.38011E+00	0.30020E+00	0.10729E+01	0.84644E-02	-	-	0.28544E-01	0.14142E-01
17	0.50025E+00	0.30020E+00	0.10675E+01	0.99391E-02	-	-	0.16668E-01	0.14786E-01
18	0.62014E+00	0.30020E+00	0.10597E+01	0.91760E-02	-	-	0.38514E-02	0.14981E-01
19	0.74016E+00	0.30020E+00	0.10441E+01	0.84177E-02	-	-	-0.26149E-02	0.11081E-01
20	0.86029E+00	0.30020E+00	0.10328E+01	0.84918E-02	-	-	0.41329E-02	0.11971E-01
21	0.98006E+00	0.30020E+00	0.10220E+01	0.84531E-02	-	-	0.19704E-02	0.18487E-01
22	0.11001E+01	0.30020E+00	0.10171E+01	0.10266E-01	-	-	0.11196E-01	0.20602E-01
23	0.11001E+01	0.29983E+00	0.10169E+01	0.95778E-02	-	-	0.13288E-01	0.18470E-01
24	0.11001E+01	0.23982E+00	0.10119E+01	0.88546E-02	-	-	0.10540E-01	0.16406E-01
25	0.11001E+01	0.17994E+00	0.10054E+01	0.96935E-02	-	-	0.15401E-01	0.15187E-01
26	0.11001E+01	0.11993E+00	0.99880E+00	0.95918E-02	-	-	0.19505E-01	0.13675E-01
27	0.11001E+01	0.59922E-01	0.98846E+00	0.10164E-01	-	-	0.29344E-01	0.11897E-01
28	0.11001E+01	-0.85220E-04	0.85613E+00	0.58249E-01	-	-	0.40035E-01	0.44525E-01
29	0.11001E+01	-0.60093E-01	0.97969E+00	0.17838E-01	-	-	0.63595E-01	0.13637E-01
30	0.11001E+01	-0.12010E+00	0.99572E+00	0.94754E-02	-	-	0.66033E-01	0.16635E-01
31	0.11001E+01	-0.18023E+00	0.10036E+01	0.10679E-01	-	-	0.63183E-01	0.12979E-01
32	0.11001E+01	-0.24012E+00	0.10092E+01	0.10747E-01	-	-	0.60866E-01	0.12834E-01
33	0.11001E+01	-0.30024E+00	0.10115E+01	0.10221E-01	-	-	0.57241E-01	0.13546E-01
34	0.10996E+01	-0.30024E+00	0.10124E+01	0.95630E-02	-	-	0.49290E-01	0.12199E-01
35	0.97982E+00	-0.30024E+00	0.10156E+01	0.79658E-02	-	-	0.62462E-01	0.81231E-02
36	0.85993E+00	-0.30024E+00	0.10262E+01	0.99500E-02	-	-	0.73620E-01	0.11816E-01
37	0.73979E+00	-0.30024E+00	0.10341E+01	0.79054E-02	-	-	0.78331E-01	0.13029E-01

38	0.61990E+00	-0.30024E+00	0.10512E+01	0.10026E-01	-	0.68623E-01	0.10173E-01
39	0.49976E+00	-0.30024E+00	0.10609E+01	0.73190E-02	-	0.57552E-01	0.13403E-01
40	0.37987E+00	-0.30024E+00	0.10757E+01	0.81755E-02	-	0.34575E-01	0.13319E-01
41	0.25973E+00	-0.30024E+00	0.10803E+01	0.72813E-02	-	0.71952E-02	0.11394E-01
42	0.13984E+00	-0.30024E+00	0.10681E+01	0.10704E-01	-	-0.13081E-01	0.12927E-01
43	0.19700E-01	-0.30024E+00	0.10389E+01	0.97328E-02	-	-0.26050E-01	0.15901E-01
44	-0.10007E+00	-0.30024E+00	0.10129E+01	0.97131E-02	-	-0.20733E-01	0.16284E-01

I1 - 0.0224    I2 - 2.5131    I3 - -0.0481    I4 - -2.5110

Lift - -0.0235

Rectangular Tip

Inboard angle = 6.6 Tip angle = -2.1 Delta theta = -8.7

Circulation box no. 12 at y/c = -1.403

NPT	x/c	z/c	u/U	$\sigma_u$	v/U	$\sigma_v$	w/U	$\sigma_w$
1	-0.10032E+00	-0.20003E+00	0.10021E+01	0.64515E-02	-	-	-0.30400E-01	0.16975E-01
2	-0.10032E+00	-0.15982E+00	0.98772E+00	0.80857E-02	-	-	-0.29766E-01	0.15903E-01
3	-0.10032E+00	-0.11986E+00	0.96557E+00	0.73294E-02	-	-	-0.32201E-01	0.14801E-01
4	-0.10032E+00	-0.79893E-01	0.94318E+00	0.88700E-02	-	-	-0.15904E-01	0.18432E-01
5	-0.10032E+00	-0.39928E-01	0.92989E+00	0.92214E-02	-	-	0.74323E-02	0.17911E-01
6	-0.10032E+00	0.15778E-03	0.93599E+00	0.10467E-01	-	-	0.29221E-01	0.14882E-01
7	-0.10032E+00	0.40123E-01	0.95304E+00	0.75104E-02	-	-	0.49198E-01	0.15341E-01
8	-0.10032E+00	0.80087E-01	0.97136E+00	0.76317E-02	-	-	0.58410E-01	0.16776E-01
9	-0.10032E+00	0.12017E+00	0.98421E+00	0.65229E-02	-	-	0.57231E-01	0.16929E-01
10	-0.10032E+00	0.16014E+00	0.99592E+00	0.73627E-02	-	-	0.54303E-01	0.18649E-01
11	-0.10032E+00	0.20010E+00	0.10046E+01	0.66743E-02	-	-	0.53186E-01	0.14058E-01
12	-0.99830E-01	0.20010E+00	0.10050E+01	0.64419E-02	-	-	0.53099E-01	0.12664E-01
13	0.20064E-01	0.20010E+00	0.10159E+01	0.56235E-02	-	-	0.62323E-01	0.16594E-01
14	0.14020E+00	0.20010E+00	0.10541E+01	0.66307E-02	-	-	0.81053E-01	0.17863E-01
15	0.26022E+00	0.20010E+00	0.10677E+01	0.65756E-02	-	-	0.37389E-01	0.17378E-01
16	0.38011E+00	0.20010E+00	0.10683E+01	0.85189E-02	-	-	0.30010E-01	0.14527E-01
17	0.50025E+00	0.20010E+00	0.10615E+01	0.77117E-02	-	-	0.14564E-01	0.16049E-01
18	0.62014E+00	0.20010E+00	0.10502E+01	0.75604E-02	-	-	0.26044E-02	0.12644E-01
19	0.74016E+00	0.20010E+00	0.10402E+01	0.66688E-02	-	-	0.75005E-03	0.17345E-01
20	0.86029E+00	0.20010E+00	0.10253E+01	0.74172E-02	-	-	-0.20622E-02	0.14287E-01
21	0.98019E+00	0.20010E+00	0.10151E+01	0.67082E-02	-	-	0.44112E-02	0.12915E-01
22	0.11002E+01	0.20010E+00	0.10140E+01	0.55390E-02	-	-	0.23352E-01	0.16183E-01
23	0.11002E+01	0.19998E+00	0.10148E+01	0.69836E-02	-	-	0.18874E-01	0.12407E-01
24	0.11002E+01	0.15989E+00	0.10118E+01	0.72311E-02	-	-	0.14421E-01	0.14377E-01
25	0.11002E+01	0.11993E+00	0.10074E+01	0.87011E-02	-	-	0.22844E-01	0.13723E-01
26	0.11002E+01	0.7984E-01	0.99978E+00	0.16224E-01	-	-	0.26355E-01	0.16682E-01
27	0.11002E+01	0.39880E-01	0.98733E+00	0.27866E-01	-	-	0.30601E-01	0.20628E-01
28	0.11002E+01	-0.85220E-04	0.92194E+00	0.51220E-01	-	-	0.73855E-01	0.40332E-01
29	0.11002E+01	-0.4017E-01	0.99261E+00	0.69833E-02	-	-	0.78011E-01	0.13934E-01
30	0.11002E+01	-0.80136E-01	0.10006E+01	0.68617E-02	-	-	0.62947E-01	0.12110E-01
31	0.11002E+01	-0.12010E+00	0.10047E+01	0.59983E-02	-	-	0.58471E-01	0.12529E-01
32	0.11002E+01	-0.16007E+00	0.10091E+01	0.81759E-02	-	-	0.47128E-01	0.12828E-01
33	0.11002E+01	-0.20015E+00	0.10119E+01	0.57891E-02	-	-	0.46620E-01	0.13729E-01
34	0.10997E+01	-0.20015E+00	0.10116E+01	0.81195E-02	-	-	0.42332E-01	0.12188E-01
35	0.97970E+00	-0.20015E+00	0.10130E+01	0.78943E-02	-	-	0.25912E-01	0.43627E-01
36	0.85993E+00	-0.20015E+00	0.10227E+01	0.64326E-02	-	-	-0.22687E-02	0.49962E-01
37	0.73991E+00	-0.20015E+00	0.10350E+01	0.73750E-02	-	-	-0.37633E-01	0.61496E-01

38	0.61978E+00	-0.20015E+00	0.10484E+01	0.68807E-02	-	-	0.51339E-01	0.27652E-01
39	0.49988E+00	-0.20015E+00	0.10589E+01	0.72693E-02	-	-	0.18549E-01	0.53201E-01
40	0.37987E+00	-0.20015E+00	0.10694E+01	0.64301E-02	-	-	-0.21092E-01	0.52865E-01
41	0.25973E+00	-0.20015E+00	0.10778E+01	0.62195E-02	-	-	-0.50176E-01	0.52178E-01
42	0.13984E+00	-0.20015E+00	0.10827E+01	0.60745E-02	-	-	-0.24281E-01	0.24353E-01
43	0.19578E-01	-0.20015E+00	0.10462E+01	0.10484E-01	-	-	-0.47853E-01	0.27809E-01
44	-0.10007E+00	-0.20015E+00	0.10029E+01	0.93478E-02	-	-	-0.33443E-01	0.16477E-01

I1 = 0.0152    I2 = 2.4973    I3 = -0.0358    I4 = -2.5108

Lift = -0.0341

Rectangular Tip

Inboard angle = 6.6 Tip angle = -2.1 Delta theta = -8.7

Circulation box no. 13 at y/c = -1.483

NPT	x/c	z/c	u/U	$\sigma_u$	v/U	$\sigma_v$	w/U	$\sigma_w$
1	-0.10019E+00	-0.20003E+00	0.10089E+01	0.72293E-02	-	-	-0.16061E-01	0.16474E-01
2	-0.10019E+00	-0.15982E+00	0.10003E+01	0.68024E-02	-	-	-0.14645E-01	0.16898E-01
3	-0.10019E+00	-0.11986E+00	0.98741E+00	0.70662E-02	-	-	-0.15369E-01	0.16251E-01
4	-0.10019E+00	-0.79893E-01	0.97399E+00	0.64985E-02	-	-	-0.62784E-02	0.14575E-01
5	-0.10019E+00	-0.39928E-01	0.96745E+00	0.78543E-02	-	-	0.46657E-02	0.14899E-01
6	-0.10019E+00	0.15778E-03	0.97138E+00	0.12677E-01	-	-	0.24287E-01	0.16838E-01
7	-0.10019E+00	0.40123E-01	0.97710E+00	0.62118E-02	-	-	0.31018E-01	0.15843E-01
8	-0.10019E+00	0.80087E-01	0.98859E+00	0.68048E-02	-	-	0.41986E-01	0.16428E-01
9	-0.10019E+00	0.12017E+00	0.99738E+00	0.68474E-02	-	-	0.46610E-01	0.11719E-01
10	-0.10019E+00	0.16014E+00	0.10040E+01	0.66360E-02	-	-	0.41726E-01	0.15837E-01
11	-0.10019E+00	0.20010E+00	0.10096E+01	0.70739E-02	-	-	0.36587E-01	0.14101E-01
12	-0.99587E-01	0.20010E+00	0.10101E+01	0.62749E-02	-	-	0.47447E-01	0.16916E-01
13	0.20185E-01	0.20010E+00	0.10214E+01	0.76776E-02	-	-	0.58993E-01	0.15699E-01
14	0.14008E+00	0.20010E+00	0.10468E+01	0.72898E-02	-	-	0.53273E-01	0.19121E-01
15	0.26009E+00	0.20010E+00	0.10593E+01	0.71731E-02	-	-	0.43955E-01	0.16887E-01
16	0.38023E+00	0.20010E+00	0.10606E+01	0.73204E-02	-	-	0.23322E-01	0.16411E-01
17	0.50013E+00	0.20010E+00	0.10538E+01	0.66414E-02	-	-	0.43262E-02	0.13276E-01
18	0.62026E+00	0.20010E+00	0.10477E+01	0.83682E-02	-	-	0.77680E-02	0.14575E-01
19	0.74040E+00	0.20010E+00	0.10373E+01	0.60227E-02	-	-	0.92127E-02	0.14322E-01
20	0.86017E+00	0.20010E+00	0.10261E+01	0.73525E-02	-	-	0.59087E-02	0.14619E-01
21	0.98006E+00	0.20010E+00	0.10201E+01	0.63846E-02	-	-	-0.16625E-02	0.13292E-01
22	0.11001E+01	0.20010E+00	0.10182E+01	0.80117E-02	-	-	0.12389E-01	0.18388E-01
23	0.11001E+01	0.19998E+00	0.10166E+01	0.70700E-02	-	-	0.13112E-01	0.15313E-01
24	0.11001E+01	0.15989E+00	0.10151E+01	0.73107E-02	-	-	0.16482E-01	0.17020E-01
25	0.11001E+01	0.11993E+00	0.10121E+01	0.72420E-02	-	-	0.13017E-01	0.16973E-01
26	0.11001E+01	0.79844E-01	0.10029E+01	0.22019E-01	-	-	0.10699E-01	0.28261E-01
27	0.11001E+01	0.39880E-01	0.96473E+00	0.47267E-01	-	-	0.28241E-01	0.45388E-01
28	0.11001E+01	-0.85220E-04	0.96893E+00	0.49532E-01	-	-	-0.68992E-02	0.45508E-01
29	0.11001E+01	-0.40171E-01	0.10046E+01	0.82385E-02	-	-	-0.13673E-01	0.28051E-01
30	0.11001E+01	-0.80136E-01	0.10075E+01	0.58706E-02	-	-	0.30311E-01	0.16929E-01
31	0.11001E+01	-0.12010E+00	0.10111E+01	0.69351E-02	-	-	0.37599E-01	0.14715E-01
32	0.11001E+01	-0.16007E+00	0.10126E+01	0.69712E-02	-	-	0.40520E-01	0.13393E-01
33	0.11001E+01	-0.20015E+00	0.10145E+01	0.72645E-02	-	-	0.40736E-01	0.16909E-01
34	0.10995E+01	-0.20015E+00	0.10155E+01	0.62252E-02	-	-	0.43020E-01	0.18295E-01
35	0.97982E+00	-0.20015E+00	0.10155E+01	0.59123E-02	-	-	0.18798E-01	0.51465E-01
36	0.85993E+00	-0.20015E+00	0.10240E+01	0.65896E-02	-	-	-0.96254E-02	0.48712E-01
37	0.73979E+00	-0.20015E+00	0.10342E+01	0.68530E-02	-	-	-0.35855E-01	0.50637E-01

38	0.61990E+00	-0.20015E+00	0.10437E+01	0.54451E-02	-	-	0.95217E-02	0.40708E-01
39	0.49976E+00	-0.20015E+00	0.10535E+01	0.70651E-02	-	-	0.11423E-02	0.52178E-01
40	0.37987E+00	-0.20015E+00	0.10625E+01	0.80715E-02	-	-	-0.94821E-02	0.46333E-01
41	0.25985E+00	-0.20015E+00	0.10695E+01	0.70567E-02	-	-	-0.45868E-01	0.51025E-01
42	0.13971E+00	-0.20015E+00	0.10675E+01	0.72451E-02	-	-	-0.14763E-01	0.29981E-01
43	0.19700E-01	-0.20015E+00	0.10352E+01	0.75221E-02	-	-	-0.13984E-01	0.26428E-01
44	-0.10007E+00	-0.20015E+00	0.10071E+01	0.73302E-02	-	-	-0.13721E-01	0.15733E-01

I1 = 0.0134 I2 = 2.4926 I3 = -0.0146 I4 = -2.5000

Lift = -0.0086

Rectangular Tip

Inboard angle = 6.6 Tip angle = 7.3 Delta theta = 0.7

Circulation box no. 1 at  $y/c = 1.002$

NPT	x/c	z/c	u/U	$\sigma_u$	v/U	$\sigma_v$	w/U	$\sigma_w$
1	-0.10044E+00	-0.20003E+00	0.92688E+00	0.14619E-01	-	-	0.36830E-01	0.18812E-01
2	-0.10044E+00	-0.13322E+00	0.91099E+00	0.13276E-01	-	-	0.59892E-01	0.19886E-01
3	-0.10044E+00	-0.66531E-01	0.90484E+00	0.10467E-01	-	-	0.11676E+00	0.20954E-01
4	-0.10044E+00	0.15778E-03	0.94422E+00	0.78117E-02	-	-	0.17179E+00	0.19298E-01
5	-0.10044E+00	0.66846E-01	0.10129E+01	0.10356E-01	-	-	0.18575E+00	0.25658E-01
6	-0.10044E+00	0.13341E+00	0.10602E+01	0.93876E-02	-	-	0.16993E+00	0.17907E-01
7	-0.10044E+00	0.20010E+00	0.10871E+01	0.94420E-02	-	-	0.13360E+00	0.20543E-01
8	-0.99830E-01	0.20010E+00	0.10869E+01	0.10963E-01	-	-	0.12278E+00	0.15891E-01
9	-0.14070E-01	0.20010E+00	0.11383E+01	0.10033E-01	-	-	0.14778E+00	0.18159E-01
10	0.71690E-01	0.20010E+00	0.11979E+01	0.10486E-01	-	-	0.11857E+00	0.16586E-01
11	0.15733E+00	0.20010E+00	0.12458E+01	0.12015E-01	-	-	0.19450E-01	0.19450E-01
12	0.24309E+00	0.20010E+00	0.12441E+01	0.94439E-02	-	-	0.56602E-02	0.21947E-01
13	0.32885E+00	0.20010E+00	0.12294E+01	0.87014E-02	-	-	-0.45249E-01	0.19832E-01
14	0.41437E+00	0.20010E+00	0.11957E+01	0.10382E-01	-	-	-0.85200E-01	0.12645E-01
15	0.50013E+00	0.20010E+00	0.11664E+01	0.85782E-02	-	-	-0.10869E+00	0.15260E-01
16	0.58613E+00	0.20010E+00	0.11449E+01	0.81902E-02	-	-	-0.11938E+00	0.11504E-01
17	0.67177E+00	0.20010E+00	0.11206E+01	0.77807E-02	-	-	-0.12520E+00	0.16172E-01
18	0.75740E+00	0.20010E+00	0.10980E+01	0.58797E-02	-	-	-0.11816E+00	0.15849E-01
19	0.84304E+00	0.20010E+00	0.10754E+01	0.93573E-02	-	-	-0.15222E-01	0.15222E-01
20	0.92868E+00	0.20010E+00	0.10572E+01	0.71520E-02	-	-	-0.11179E+00	0.14860E-01
21	0.10147E+01	0.20010E+00	0.10468E+01	0.80614E-02	-	-	-0.10063E+00	0.12431E-01
22	0.11002E+01	0.20010E+00	0.10398E+01	0.92226E-02	-	-	-0.89604E-01	0.14357E-01
23	0.11002E+01	0.19998E+00	0.10413E+01	0.80435E-02	-	-	-0.94231E-01	0.13753E-01
24	0.11002E+01	0.13317E+00	0.10333E+01	0.11708E-01	-	-	-0.92497E-01	0.97613E-02
25	0.11002E+01	0.66603E-01	0.10187E+01	0.70207E-02	-	-	-0.99960E-01	0.10268E-01
26	0.11002E+01	-0.85220E-04	0.10066E+01	0.74153E-02	-	-	-0.10012E+00	0.90429E-02
27	0.11002E+01	-0.66774E-01	0.98881E+00	0.80913E-02	-	-	-0.93039E-01	0.10661E-01
28	0.11002E+01	-0.13346E+00	0.98660E+00	0.15208E-01	-	-	-0.65094E-01	0.16614E-01
29	0.11002E+01	-0.20015E+00	0.99015E+00	0.83356E-02	-	-	-0.55845E-01	0.10092E-01
30	0.10994E+01	-0.20015E+00	0.99310E+00	0.94102E-02	-	-	-0.55314E-01	0.91917E-02
31	0.10141E+01	-0.20015E+00	0.98715E+00	0.93640E-02	-	-	-0.45285E-01	0.12347E-01
32	0.92820E+00	-0.20015E+00	0.98547E+00	0.61447E-02	-	-	-0.31686E-01	0.10604E-01
33	0.84256E+00	-0.20015E+00	0.99103E+00	0.70143E-02	-	-	-0.22751E-01	0.11602E-01
34	0.75692E+00	-0.20015E+00	0.10045E+01	0.85688E-02	-	-	-0.24452E-01	0.13278E-01
35	0.67116E+00	-0.20015E+00	0.10105E+01	0.72453E-02	-	-	-0.28007E-01	0.13431E-01
36	0.58540E+00	-0.20015E+00	0.10178E+01	0.82812E-02	-	-	-0.38507E-01	0.84150E-02
37	0.49952E+00	-0.20015E+00	0.10187E+01	0.11847E-01	-	-	-0.51012E-01	0.10670E-01

38	0.41388E+00	-0.20015E+00	0.10096E+01	0.11883E-01	-	-	-0.65944E-01	0.17396E-01
39	0.32824E+00	-0.20015E+00	0.99141E+00	0.79659E-02	-	-	-0.75041E-01	0.15334E-01
40	0.24248E+00	-0.20015E+00	0.97047E+00	0.12746E-01	-	-	-0.78234E-01	0.10922E-01
41	0.15672E+00	-0.20015E+00	0.94005E+00	0.15231E-01	-	-	-0.69412E-01	0.11317E-01
42	0.71083E-01	-0.20015E+00	0.91403E+00	0.14590E-01	-	-	-0.39285E-01	0.13921E-01
43	-0.14677E-01	-0.20015E+00	0.90675E+00	0.12440E-01	-	-	-0.31942E-03	0.13161E-01
44	-0.10032E+00	-0.20015E+00	0.92819E+00	0.10456E-01	-	-	0.27834E-01	0.17899E-01

I1 = 0.1059    I2 = 2.7482    I3 = 0.0696    I4 = -2.3490

Lift = 0.5747



Rectangular Tip

Inboard angle = 6.6 Tip angle = 7.3 Delta theta = 0.7

Circulation box no. 2 at y/c = 0.503

NPT	x/c	z/c	u/U	$\sigma_u$	v/U	$\sigma_v$	w/U	$\sigma_w$
1	-0.10007E+00	-0.20015E+00	0.92946E+00	0.23427E-01	-	-	0.32971E-01	0.24772E-01
2	-0.10007E+00	-0.13322E+00	0.91717E+00	0.23221E-01	-	-	0.40792E-01	0.40772E-01
3	-0.10007E+00	-0.66410E-01	0.91048E+00	0.22777E-01	-	-	0.10310E+00	0.25635E-01
4	-0.10007E+00	0.15778E-03	0.93961E+00	0.14335E-01	-	-	0.16585E+00	0.24382E-01
5	-0.10007E+00	0.66968E-01	0.10096E+01	0.13168E-01	-	-	0.18236E+00	0.22926E-01
6	-0.10007E+00	0.13353E+00	0.10601E+01	0.14290E-01	-	-	0.16061E+00	0.27074E-01
7	-0.10007E+00	0.20022E+00	0.10831E+01	0.12321E-01	-	-	0.12589E+00	0.18852E-01
8	-0.99465E-01	0.20022E+00	0.10848E+01	0.13588E-01	-	-	0.12824E+00	0.17673E-01
9	-0.14191E-01	0.20022E+00	0.11311E+01	0.12528E-01	-	-	0.13519E+00	0.25388E-01
10	0.71690E-01	0.20022E+00	0.11935E+01	0.13521E-01	-	-	0.12397E+00	0.17925E-01
11	0.15733E+00	0.20022E+00	0.12367E+01	0.14012E-01	-	-	0.64312E-01	0.20778E-01
12	0.24321E+00	0.20022E+00	0.12428E+01	0.14144E-01	-	-	-0.44035E-03	0.17473E-01
13	0.32873E+00	0.20022E+00	0.12240E+01	0.14078E-01	-	-	-0.43567E-01	0.31994E-01
14	0.41437E+00	0.20022E+00	0.11961E+01	0.13634E-01	-	-	-0.74594E-01	0.35709E-01
15	0.50013E+00	0.20022E+00	0.11681E+01	0.12325E-01	-	-	-0.91534E-01	0.42850E-01
16	0.58588E+00	0.20022E+00	0.11434E+01	0.12421E-01	-	-	-0.11149E+00	0.31542E-01
17	0.67152E+00	0.20022E+00	0.11190E+01	0.13673E-01	-	-	-0.12480E+00	0.35520E-01
18	0.75728E+00	0.20022E+00	0.10989E+01	0.13145E-01	-	-	-0.12865E+00	0.27791E-01
19	0.84292E+00	0.20022E+00	0.10782E+01	0.13766E-01	-	-	-0.14906E+00	0.51222E-01
20	0.92868E+00	0.20022E+00	0.10636E+01	0.18631E-01	-	-	-0.16376E+00	0.50506E-01
21	0.10144E+01	0.20022E+00	0.10533E+01	0.22943E-01	-	-	-0.15292E+00	0.51998E-01
22	0.11001E+01	0.20022E+00	0.10426E+01	0.17348E-01	-	-	-0.13740E+00	0.49046E-01
23	0.11001E+01	0.19986E+00	0.10412E+01	0.17020E-01	-	-	-0.12082E+00	0.43741E-01
24	0.11001E+01	0.13317E+00	0.10311E+01	0.11667E-01	-	-	-0.95782E-01	0.10903E-01
25	0.11001E+01	0.66482E-01	0.10223E+01	0.17930E-01	-	-	-0.99806E-01	0.11208E-01
26	0.11001E+01	-0.85220E-04	0.10115E+01	0.17181E-01	-	-	-0.10316E+00	0.82154E-02
27	0.11001E+01	-0.66774E-01	0.99372E+00	0.13590E-01	-	-	-0.96139E-01	0.8080E-02
28	0.11001E+01	-0.13358E+00	0.98978E+00	0.19394E-01	-	-	-0.67842E-01	0.11804E-01
29	0.11001E+01	-0.20027E+00	0.99479E+00	0.18004E-01	-	-	-0.58837E-01	0.91714E-02
30	0.10996E+01	-0.20027E+00	0.99261E+00	0.15678E-01	-	-	-0.66814E-01	0.31953E-01
31	0.10141E+01	-0.20027E+00	0.98433E+00	0.16849E-01	-	-	-0.56214E-01	0.26875E-01
32	0.92832E+00	-0.20027E+00	0.98602E+00	0.18548E-01	-	-	-0.32917E-01	0.16803E-01
33	0.84256E+00	-0.20027E+00	0.99342E+00	0.13815E-01	-	-	-0.43112E-01	0.42533E-01
34	0.75692E+00	-0.20027E+00	0.10063E+01	0.14427E-01	-	-	-0.42724E-01	0.39235E-01
35	0.67116E+00	-0.20027E+00	0.10115E+01	0.13287E-01	-	-	-0.33732E-01	0.32876E-01
36	0.58552E+00	-0.20027E+00	0.10144E+01	0.14494E-01	-	-	-0.36005E-01	0.24266E-01
37	0.49976E+00	-0.20027E+00	0.10157E+01	0.16506E-01	-	-	-0.52607E-01	0.33141E-01

38	0.41400E+00	-0.20027E+00	0.10085E+01	0.11969E-01	-	-	-0.61784E-01	0.23714E-01
39	0.32836E+00	-0.20027E+00	0.99628E+00	0.15575E-01	-	-	-0.75602E-01	0.10023E-01
40	0.24260E+00	-0.20027E+00	0.97449E+00	0.17591E-01	-	-	-0.76474E-01	0.11680E-01
41	0.15672E+00	-0.20027E+00	0.94501E+00	0.19241E-01	-	-	-0.70097E-01	0.13936E-01
42	0.71326E-01	-0.20027E+00	0.92590E+00	0.24455E-01	-	-	-0.47701E-01	0.29635E-01
43	-0.14434E-01	-0.20027E+00	0.91503E+00	0.23300E-01	-	-	-0.46928E-01	0.49231E-01
44	-0.10007E+00	-0.20027E+00	0.93009E+00	0.19248E-01	-	-	-0.18284E-01	0.52448E-01

I1 = 0.0977    I2 = 2.7455    I3 = 0.0728    I4 = -2.3542

Lift = 0.5619

Rectangular Tip

Inboard angle = 6.6 Tip angle = 7.3 Delta theta = 0.7

Circulation box no. 3 at y/c = 0.104

NPT	x/c	z/c	u/U	$\sigma_u$	v/U	$\sigma_v$	w/U	$\sigma_w$
1	-0.10019E+00	-0.18132E+00	0.92626E+00	0.17039E-01	-	-	0.29706E-01	0.19452E-01
2	-0.10019E+00	-0.10747E+00	0.90995E+00	0.16438E-01	-	-	0.57900E-01	0.26167E-01
3	-0.10019E+00	0.27892E-03	0.93143E+00	0.14857E-01	-	-	0.14829E+00	0.26409E-01
4	-0.10019E+00	0.10790E+00	0.10310E+01	0.12640E-01	-	-	0.16844E+00	0.22620E-01
5	-0.10019E+00	0.18152E+00	0.10701E+01	0.13011E-01	-	-	0.14115E+00	0.18527E-01
6	-0.71648E-01	0.18152E+00	0.10821E+01	0.11533E-01	-	-	0.12765E+00	0.19384E-01
7	0.38528E-01	0.18152E+00	0.11661E+01	0.12395E-01	-	-	0.15191E+00	0.23504E-01
8	0.20009E+00	0.18152E+00	0.12535E+01	0.11658E-01	-	-	0.38781E-01	0.22808E-01
9	0.36165E+00	0.18152E+00	0.12177E+01	0.12387E-01	-	-	-0.50185E-01	0.29286E-01
10	0.47206E+00	0.18152E+00	0.11758E+01	0.97225E-02	-	-	-0.95658E-01	0.19984E-01
11	0.52843E+00	0.18152E+00	0.11612E+01	0.11435E-01	-	-	-0.10929E+00	0.22201E-01
12	0.63873E+00	0.18152E+00	0.11233E+01	0.11200E-01	-	-	-0.12377E+00	0.17733E-01
13	0.80028E+00	0.18152E+00	0.10816E+01	0.13247E-01	-	-	-0.12607E+00	0.19723E-01
14	0.96172E+00	0.18152E+00	0.10491E+01	0.13402E-01	-	-	-0.10760E+00	0.23929E-01
15	0.10721E+01	0.18152E+00	0.10358E+01	0.14849E-01	-	-	-0.93427E-01	0.18571E-01
16	0.10721E+01	0.18115E+00	0.10361E+01	0.14343E-01	-	-	-0.92051E-01	0.18373E-01
17	0.10721E+01	0.10742E+00	0.10244E+01	0.13714E-01	-	-	-0.10010E+00	0.21820E-01
18	0.10721E+01	-0.20709E-03	0.10003E+01	0.32683E-01	-	-	-0.13965E+00	0.30192E-01
19	0.10721E+01	-0.10795E+00	0.95046E+00	0.75943E-01	-	-	-0.63867E-01	0.50278E-01
20	0.10721E+01	-0.18144E+00	0.98421E+00	0.12896E-01	-	-	-0.63099E-01	0.18682E-01
21	0.10715E+01	-0.18144E+00	0.98472E+00	0.12300E-01	-	-	-0.59195E-01	0.20324E-01
22	0.96112E+00	-0.18144E+00	0.97634E+00	0.14615E-01	-	-	-0.13031E+00	0.61352E-01
23	0.79980E+00	-0.18144E+00	0.99356E+00	0.11514E-01	-	-	-0.16959E+00	0.57182E-01
24	0.63824E+00	-0.18144E+00	0.10096E+01	0.79176E-02	-	-	-0.18996E+00	0.50691E-01
25	0.52794E+00	-0.18144E+00	0.10176E+01	0.14859E-01	-	-	-0.27941E+00	0.65655E-01
26	0.47170E+00	-0.18144E+00	0.10143E+01	0.15793E-01	-	-	-0.31094E+00	0.51840E-01
27	0.36116E+00	-0.18144E+00	0.10034E+01	0.16979E-01	-	-	-0.34701E+00	0.51281E-01
28	0.19960E+00	-0.18144E+00	0.95569E+00	0.18451E-01	-	-	-0.36333E+00	0.50657E-01
29	0.38042E-01	-0.18144E+00	0.91204E+00	0.19437E-01	-	-	-0.37487E+00	0.50664E-01
30	-0.72013E-01	-0.18144E+00	0.91682E+00	0.19084E-01	-	-	-0.39254E+00	0.53661E-01

I1 = 0.0933 I2 = 2.7388 I3 = 0.0779 I4 = -2.3449

Lift = 0.5650

Rectangular Tip

Inboard angle = 6.6 Tip angle = 7.3 Delta theta = 0.7

Circulation box no. 4 at y/c = 0.102

NPT	x/c	z/c	u/U	$\sigma_u$	v/U	$\sigma_v$	w/U	$\sigma_w$
1	-0.99587E-01	-0.20015E+00	0.93420E+00	0.19900E-01	-	-	0.19384E-01	0.18092E-01
2	-0.99587E-01	-0.13310E+00	0.91429E+00	0.17851E-01	-	-	0.45168E-01	0.19908E-01
3	-0.99587E-01	-0.66410E-01	0.90094E+00	0.16627E-01	-	-	0.89133E-01	0.22592E-01
4	-0.99587E-01	0.27892E-03	0.92814E+00	0.16024E-01	-	-	0.15491E+00	0.25403E-01
5	-0.99587E-01	0.66968E-01	0.99648E+00	0.13452E-01	-	-	0.18109E+00	0.22709E-01
6	-0.99587E-01	0.13353E+00	0.10490E+01	0.13256E-01	-	-	0.15580E+00	0.23870E-01
7	-0.99587E-01	0.20022E+00	0.10777E+01	0.11243E-01	-	-	0.13529E+00	0.17717E-01
8	-0.10007E+00	0.20022E+00	0.10765E+01	0.12051E-01	-	-	0.13325E+00	0.17292E-01
9	-0.14191E-01	0.20022E+00	0.11267E+01	0.12929E-01	-	-	0.14661E+00	0.17700E-01
10	0.71569E-01	0.20022E+00	0.11935E+01	0.14597E-01	-	-	0.12382E+00	0.17500E-01
11	0.15721E+00	0.20022E+00	0.12302E+01	0.10439E-01	-	-	0.67416E-01	0.21618E-01
12	0.24297E+00	0.20022E+00	0.12299E+01	0.11867E-01	-	-	0.73480E-03	0.19188E-01
13	0.32873E+00	0.20022E+00	0.12196E+01	0.11269E-01	-	-	-0.42978E-01	0.17414E-01
14	0.41437E+00	0.20022E+00	0.11874E+01	0.11813E-01	-	-	-0.80961E-01	0.13541E-01
15	0.50025E+00	0.20022E+00	0.11561E+01	0.75178E-02	-	-	-0.10128E+00	0.14602E-01
16	0.58601E+00	0.20022E+00	0.11324E+01	0.10417E-01	-	-	-0.11909E+00	0.12476E-01
17	0.67165E+00	0.20022E+00	0.11099E+01	0.10529E-01	-	-	-0.12194E+00	0.13899E-01
18	0.75740E+00	0.20022E+00	0.10900E+01	0.10253E-01	-	-	-0.12203E+00	0.10580E-01
19	0.84304E+00	0.20022E+00	0.10694E+01	0.10369E-01	-	-	-0.11696E+00	0.15894E-01
20	0.92880E+00	0.20022E+00	0.10525E+01	0.11948E-01	-	-	-0.10822E+00	0.12957E-01
21	0.10146E+01	0.20022E+00	0.10409E+01	0.12872E-01	-	-	-0.10119E+00	0.13315E-01
22	0.11002E+01	0.20022E+00	0.10346E+01	0.13131E-01	-	-	-0.86670E-01	0.10878E-01
23	0.11002E+01	0.19986E+00	0.10350E+01	0.12075E-01	-	-	-0.90862E-01	0.14246E-01
24	0.11002E+01	0.13305E+00	0.10256E+01	0.13500E-01	-	-	-0.93869E-01	0.15567E-01
25	0.11002E+01	0.66482E-01	0.10149E+01	0.20767E-01	-	-	-0.10615E+00	0.19177E-01
26	0.11002E+01	-0.20709E-03	0.99313E+00	0.35673E-01	-	-	-0.13967E+00	0.28911E-01
27	0.11002E+01	-0.66896E-01	0.99027E+00	0.21365E-01	-	-	-0.11860E+00	0.19858E-01
28	0.11002E+01	-0.13358E+00	0.98903E+00	0.14024E-01	-	-	-0.70596E-01	0.12097E-01
29	0.11002E+01	-0.20027E+00	0.99021E+00	0.13943E-01	-	-	-0.57841E-01	0.11163E-01
30	0.10996E+01	-0.20027E+00	0.98849E+00	0.10310E-01	-	-	-0.57295E-01	0.95408E-02
31	0.10140E+01	-0.20027E+00	0.97977E+00	0.12260E-01	-	-	-0.51872E-01	0.12747E-01
32	0.92832E+00	-0.20027E+00	0.98178E+00	0.12204E-01	-	-	-0.74911E-01	0.51982E-01
33	0.84244E+00	-0.20027E+00	0.98953E+00	0.14256E-01	-	-	-0.13344E+00	0.54232E-01
34	0.75692E+00	-0.20027E+00	0.99933E+00	0.12169E-01	-	-	-0.10427E+00	0.57892E-01
35	0.67104E+00	-0.20027E+00	0.10112E+01	0.12543E-01	-	-	-0.95271E-01	0.52329E-01
36	0.58552E+00	-0.20027E+00	0.10108E+01	0.82453E-02	-	-	-0.87806E-01	0.52819E-01
37	0.49964E+00	-0.20027E+00	0.10121E+01	0.13685E-01	-	-	-0.93561E-01	0.48766E-01
38	0.41400E+00	-0.20027E+00	0.10080E+01	0.12620E-01	-	-	-0.98371E-01	0.45410E-01

39	0.32824E+00	-0.20027E+00	0.99536E+00	0.14944E-01	-	-0.69983E-01	0.16434E-01
40	0.24248E+00	-0.20027E+00	0.97609E+00	0.15242E-01	-	-0.74723E-01	0.15590E-01
41	0.15696E+00	-0.20027E+00	0.94706E+00	0.17163E-01	-	-0.66135E-01	0.15010E-01
42	0.71326E-01	-0.20027E+00	0.92203E+00	0.19565E-01	-	-0.39726E-01	0.17982E-01
43	-0.14434E-01	-0.20027E+00	0.91832E+00	0.14345E-01	-	-0.17199E-01	0.20891E-01
44	-0.10007E+00	-0.20027E+00	0.92969E+00	0.15713E-01	-	0.24647E-01	0.18547E-01

I1 = 0.0942    I2 = 2.7254    I3 = 0.0807    I4 = -2.3502

Lift = 0.5500

Rectangular Tip

Inboard angle = 6.6 Tip angle = 7.3 Delta theta = 0.7

Circulation box no. 5 at y/c = 0.102

NPT	x/c	z/c	u/U	$\sigma_u$	v/U	$\sigma_v$	w/U	$\sigma_w$
1	-0.10019E+00	-0.39985E+00	0.96480E+00	0.16425E-01	-	-	0.64046E-02	0.21718E-01
2	-0.10019E+00	-0.26648E+00	0.94738E+00	0.17018E-01	-	-	0.51703E-02	0.18065E-01
3	-0.10019E+00	-0.13310E+00	0.91354E+00	0.19201E-01	-	-	0.51391E-01	0.18286E-01
4	-0.10019E+00	0.27892E-03	0.93117E+00	0.13267E-01	-	-	0.15303E+00	0.23738E-01
5	-0.10019E+00	0.13353E+00	0.10445E+01	0.14246E-01	-	-	0.15763E+00	0.17889E-01
6	-0.10019E+00	0.26691E+00	0.10840E+01	0.10639E-01	-	-	0.97515E-01	0.15936E-01
7	-0.10019E+00	0.40029E+00	0.10910E+01	0.11101E-01	-	-	0.72096E-01	0.15651E-01
8	-0.99830E-01	0.40029E+00	0.10886E+01	0.11939E-01	-	-	0.64010E-01	0.16885E-01
9	-0.14070E-01	0.40029E+00	0.11074E+01	0.10531E-01	-	-	0.61986E-01	0.13231E-01
10	0.71690E-01	0.40029E+00	0.11277E+01	0.96810E-02	-	-	0.45137E-01	0.15474E-01
11	0.15745E+00	0.40029E+00	0.11435E+01	0.73190E-02	-	-	0.32382E-01	0.16091E-01
12	0.24297E+00	0.40029E+00	0.11476E+01	0.10520E-01	-	-	0.13670E-03	0.15769E-01
13	0.32873E+00	0.40029E+00	0.11484E+01	0.96004E-02	-	-	-0.12623E-01	0.17732E-01
14	0.41437E+00	0.40029E+00	0.11392E+01	0.10641E-01	-	-	-0.40328E-01	0.16799E-01
15	0.50013E+00	0.40029E+00	0.11303E+01	0.96611E-02	-	-	-0.48096E-01	0.15757E-01
16	0.58588E+00	0.40029E+00	0.11122E+01	0.92871E-02	-	-	-0.67983E-01	0.16686E-01
17	0.67152E+00	0.40029E+00	0.11006E+01	0.13366E-01	-	-	-0.75664E-01	0.15534E-01
18	0.75728E+00	0.40029E+00	0.10893E+01	0.11291E-01	-	-	-0.82201E-01	0.23067E-01
19	0.84292E+00	0.40029E+00	0.10747E+01	0.11690E-01	-	-	-0.80223E-01	0.17347E-01
20	0.92868E+00	0.40029E+00	0.10638E+01	0.10450E-01	-	-	-0.85445E-01	0.16856E-01
21	0.10144E+01	0.40029E+00	0.10584E+01	0.10395E-01	-	-	-0.73074E-01	0.24532E-01
22	0.11001E+01	0.40029E+00	0.10504E+01	0.11590E-01	-	-	-0.73771E-01	0.18886E-01
23	0.11001E+01	0.39992E+00	0.10520E+01	0.12325E-01	-	-	-0.73879E-01	0.19644E-01
24	0.11001E+01	0.26643E+00	0.10405E+01	0.12766E-01	-	-	-0.81304E-01	0.19259E-01
25	0.11001E+01	0.13305E+00	0.10272E+01	0.14216E-01	-	-	-0.91320E-01	0.18244E-01
26	0.11001E+01	-0.20709E-03	0.99305E+00	0.39700E-01	-	-	-0.13668E+00	0.34047E-01
27	0.11001E+01	-0.13358E+00	0.98735E+00	0.14500E-01	-	-	-0.72920E-01	0.19142E-01
28	0.11001E+01	-0.26696E+00	0.99306E+00	0.11381E-01	-	-	-0.52194E-01	0.19117E-01
29	0.11001E+01	-0.40022E+00	0.99903E+00	0.12837E-01	-	-	-0.43105E-01	0.16453E-01
30	0.10995E+01	-0.40022E+00	0.99980E+00	0.11278E-01	-	-	-0.42224E-01	0.17284E-01
31	0.10142E+01	-0.40022E+00	0.99937E+00	0.15048E-01	-	-	-0.39158E-01	0.17144E-01
32	0.92844E+00	-0.40022E+00	0.99678E+00	0.12444E-01	-	-	-0.39960E-01	0.17157E-01
33	0.84268E+00	-0.40022E+00	0.99719E+00	0.10190E-01	-	-	-0.36973E-01	0.18742E-01
34	0.75680E+00	-0.40022E+00	0.99720E+00	0.12857E-01	-	-	-0.34377E-01	0.20391E-01
35	0.67104E+00	-0.40022E+00	0.10004E+01	0.13318E-01	-	-	-0.31430E-01	0.19411E-01
36	0.58552E+00	-0.40022E+00	0.99710E+00	0.11329E-01	-	-	-0.30796E-01	0.16955E-01
37	0.49964E+00	-0.40022E+00	0.10001E+01	0.13205E-01	-	-	-0.33922E-01	0.18226E-01

38	0.41400E+00	-0.40022E+00	0.99532E+00	0.14384E-01	-	-0.40269E-01	0.16429E-01
39	0.32848E+00	-0.40022E+00	0.99002E+00	0.13349E-01	-	-0.37757E-01	0.18052E-01
40	0.24272E+00	-0.40022E+00	0.97906E+00	0.15612E-01	-	-0.34246E-01	0.18966E-01
41	0.15696E+00	-0.40022E+00	0.97537E+00	0.16377E-01	-	-0.34124E-01	0.16580E-01
42	0.71326E-01	-0.40022E+00	0.96539E+00	0.15454E-01	-	-0.18298E-01	0.21325E-01
43	-0.14434E-01	-0.40022E+00	0.95721E+00	0.11030E-01	-	-0.86719E-03	0.21544E-01
44	-0.10007E+00	-0.40022E+00	0.96415E+00	0.13862E-01	-	0.98170E-02	0.20473E-01

I1 - 0.1351 I2 - 2.6601 I3 - 0.1357 I4 - -2.3717

Lift - 0.5591

Rectangular Tip

Inboard angle = 6.6 Tip angle = 7.3 Delta theta = 0.7

Circulation box no. 6 at y/c = 0.054

NPT	x/c	z/c	u/U	$\sigma_u$	v/U	$\sigma_v$	w/U	$\sigma_w$
1	-0.10032E+00	-0.20003E+00	0.92977E+00	0.85554E-02	-	-	0.27272E-01	0.20958E-01
2	-0.10032E+00	-0.15982E+00	0.92196E+00	0.10216E-01	-	-	0.40714E-01	0.22166E-01
3	-0.10032E+00	-0.11986E+00	0.91341E+00	0.11450E-01	-	-	0.48562E-01	0.21941E-01
4	-0.10032E+00	-0.79893E-01	0.90636E+00	0.10928E-01	-	-	0.79076E-01	0.18319E-01
5	-0.10032E+00	-0.39928E-01	0.91190E+00	0.10430E-01	-	-	0.11405E+00	0.26383E-01
6	-0.10032E+00	0.27892E-03	0.93309E+00	0.76384E-02	-	-	0.16012E+00	0.27724E-01
7	-0.10032E+00	0.40123E-01	0.97190E+00	0.85839E-02	-	-	0.16572E+00	0.22665E-01
8	-0.10032E+00	0.80087E-01	0.10087E+01	0.83651E-02	-	-	0.17397E+00	0.26480E-01
9	-0.10032E+00	0.12017E+00	0.10374E+01	0.76232E-02	-	-	0.15920E+00	0.19420E-01
10	-0.10032E+00	0.16014E+00	0.10584E+01	0.91976E-02	-	-	0.14821E+00	0.25492E-01
11	-0.10032E+00	0.20010E+00	0.10729E+01	0.91565E-02	-	-	0.13121E+00	0.20085E-01
12	-0.99708E-01	0.20010E+00	0.10708E+01	0.91164E-02	-	-	0.12294E+00	0.21157E-01
13	-0.14070E-01	0.20010E+00	0.11139E+01	0.97090E-02	-	-	0.13312E+00	0.18391E-01
14	0.71690E-01	0.20010E+00	0.11803E+01	0.10261E-01	-	-	0.13164E+00	0.16959E-01
15	0.15733E+00	0.20010E+00	0.12210E+01	0.11510E-01	-	-	0.74086E-01	0.25942E-01
16	0.24309E+00	0.20010E+00	0.12308E+01	0.67941E-02	-	-	0.24926E-01	0.25441E-01
17	0.32885E+00	0.20010E+00	0.12131E+01	0.95099E-02	-	-	-0.30134E-01	0.25479E-01
18	0.41437E+00	0.20010E+00	0.11882E+01	0.10348E-01	-	-	-0.68399E-01	0.16765E-01
19	0.50013E+00	0.20010E+00	0.11582E+01	0.80756E-02	-	-	-0.90677E-01	0.16824E-01
20	0.58613E+00	0.20010E+00	0.11325E+01	0.66386E-02	-	-	-0.10119E+00	0.16974E-01
21	0.67177E+00	0.20010E+00	0.11087E+01	0.78339E-02	-	-	-0.10798E+00	0.18145E-01
22	0.75740E+00	0.20010E+00	0.10877E+01	0.94831E-02	-	-	-0.10771E+00	0.18345E-01
23	0.84304E+00	0.20010E+00	0.10678E+01	0.82345E-02	-	-	-0.10438E+00	0.18326E-01
24	0.92868E+00	0.20010E+00	0.10532E+01	0.99224E-02	-	-	-0.94486E-01	0.19487E-01
25	0.10147E+01	0.20010E+00	0.10410E+01	0.57888E-02	-	-	-0.88343E-01	0.12538E-01
26	0.11002E+01	0.20010E+00	0.10339E+01	0.70239E-02	-	-	-0.84571E-01	0.13362E-01
27	0.11002E+01	0.19998E+00	0.10324E+01	0.63324E-02	-	-	-0.79583E-01	0.16239E-01
28	0.11002E+01	0.15989E+00	0.10289E+01	0.11094E-01	-	-	-0.76925E-01	0.14496E-01
29	0.11002E+01	0.11993E+00	0.10242E+01	0.14853E-01	-	-	-0.72531E-01	0.23560E-01
30	0.11002E+01	0.79844E-01	0.99706E+00	0.44434E-01	-	-	-0.71373E-01	0.47133E-01
31	0.11002E+01	0.39880E-01	0.82189E+00	0.6981E-01	-	-	-0.42957E-01	0.75101E-01
32	0.11002E+01	-0.85220E-04	0.78691E+00	0.58171E-01	-	-	-0.30370E-01	0.81010E-01
33	0.11002E+01	-0.40171E-01	0.84800E+00	0.57147E-01	-	-	-0.40769E-01	0.67288E-01
34	0.11002E+01	-0.80136E-01	0.95533E+00	0.36360E-01	-	-	-0.77379E-01	0.34428E-01
35	0.11002E+01	-0.12010E+00	0.96797E+00	0.26346E-01	-	-	-0.53572E-01	0.27364E-01
36	0.11002E+01	-0.16007E+00	0.98507E+00	0.61099E-02	-	-	-0.55731E-01	0.10661E-01
37	0.11002E+01	-0.20015E+00	0.98812E+00	0.85377E-02	-	-	-0.50217E-01	0.16056E-01



38	0.10995E+01	-0.20015E+00	0.98813E+00	0.65601E-02	-	-0.51745E-01	0.15252E-01
39	0.10141E+01	-0.20015E+00	0.98079E+00	0.75046E-02	-	-0.41974E-01	0.16375E-01
40	0.92832E+00	-0.20015E+00	0.97950E+00	0.68352E-02	-	-0.28961E-01	0.44511E-01
41	0.84256E+00	-0.20015E+00	0.98667E+00	0.76851E-02	-	-0.12298E-01	0.26896E-01
42	0.75680E+00	-0.20015E+00	0.99939E+00	0.59869E-02	-	-0.11035E-01	0.15059E-01
43	0.67104E+00	-0.20015E+00	0.10116E+01	0.65845E-02	-	-0.11153E-01	0.23065E-01
44	0.58552E+00	-0.20015E+00	0.10142E+01	0.66801E-02	-	0.17731E-02	0.40459E-01
45	0.49976E+00	-0.20015E+00	0.10089E+01	0.60729E-02	-	-0.93679E-03	0.51252E-01
46	0.41400E+00	-0.20015E+00	0.10117E+01	0.10688E-01	-	0.80209E-02	0.52032E-01
47	0.32836E+00	-0.20015E+00	0.99848E+00	0.10033E-01	-	0.37019E-02	0.55669E-01
48	0.24260E+00	-0.20015E+00	0.98081E+00	0.13150E-01	-	-0.56196E-01	0.27798E-01
49	0.15684E+00	-0.20015E+00	0.94641E+00	0.13043E-01	-	-0.61569E-01	0.18486E-01
50	0.71204E-01	-0.20015E+00	0.92296E+00	0.12814E-01	-	-0.37886E-01	0.19975E-01
51	-0.14556E-01	-0.20015E+00	0.91568E+00	0.10431E-01	-	-0.87156E-02	0.30905E-01
52	-0.10019E+00	-0.20015E+00	0.93496E+00	0.65752E-02	-	0.25540E-01	0.22888E-01

I1 - 0.0945 I2 - 2.7169 I3 - 0.0479 I4 - -2.3505

Lift - 0.5088

Rectangular Tip

Inboard angle = 6.6 Tip angle = 7.3 Delta theta = 0.7

Circulation box no. 7 at y/c = 0.003

NPT	x/c	z/c	u/U	$\sigma_u$	v/U	$\sigma_v$	w/U	$\sigma_w$
1	-0.10019E+00	-0.20003E+00	0.93169E+00	0.97249E-02	-	-	0.22749E-01	0.20162E-01
2	-0.10019E+00	-0.15982E+00	0.91839E+00	0.10657E-01	-	-	0.46863E-01	0.22806E-01
3	-0.10019E+00	-0.11986E+00	0.90950E+00	0.10621E-01	-	-	0.59426E-01	0.23431E-01
4	-0.10019E+00	-0.79893E-01	0.90437E+00	0.95288E-02	-	-	0.79846E-01	0.24986E-01
5	-0.10019E+00	-0.39928E-01	0.90935E+00	0.10269E-01	-	-	0.11353E+00	0.27520E-01
6	-0.10019E+00	0.15778E-03	0.93264E+00	0.80916E-02	-	-	0.15422E+00	0.21201E-01
7	-0.10019E+00	0.40123E-01	0.97088E+00	0.73114E-02	-	-	0.17020E+00	0.23278E-01
8	-0.10019E+00	0.80087E-01	0.10074E+01	0.89334E-02	-	-	0.16880E+00	0.22838E-01
9	-0.10019E+00	0.12017E+00	0.10376E+01	0.94085E-02	-	-	0.16328E+00	0.21943E-01
10	-0.10019E+00	0.16026E+00	0.10577E+01	0.89406E-02	-	-	0.13961E+00	0.19439E-01
11	-0.10019E+00	0.20010E+00	0.10699E+01	0.98151E-02	-	-	0.13377E+00	0.19452E-01
12	-0.99587E-01	0.20010E+00	0.10751E+01	0.13515E-01	-	-	0.13118E+00	0.16400E-01
13	-0.14070E-01	0.20010E+00	0.11132E+01	0.10944E-01	-	-	0.13601E+00	0.15093E-01
14	0.71690E-01	0.20010E+00	0.11756E+01	0.15447E-01	-	-	0.12770E+00	0.15787E-01
15	0.15733E+00	0.20010E+00	0.12222E+01	0.10172E-01	-	-	0.77564E-01	0.20369E-01
16	0.24309E+00	0.20010E+00	0.12276E+01	0.10511E-01	-	-	0.17782E-01	0.18384E-01
17	0.32885E+00	0.20010E+00	0.12140E+01	0.95051E-02	-	-	-0.31979E-01	0.20526E-01
18	0.41449E+00	0.20010E+00	0.11903E+01	0.10916E-01	-	-	-0.69538E-01	0.12811E-01
19	0.50025E+00	0.20010E+00	0.11644E+01	0.12676E-01	-	-	-0.87138E-01	0.17151E-01
20	0.58588E+00	0.20010E+00	0.11379E+01	0.19937E-01	-	-	-0.10271E+00	0.14447E-01
21	0.67165E+00	0.20010E+00	0.11086E+01	0.12154E-01	-	-	-0.11042E+00	0.14069E-01
22	0.75753E+00	0.20010E+00	0.10869E+01	0.75280E-02	-	-	-0.11035E+00	0.15838E-01
23	0.84316E+00	0.20010E+00	0.10670E+01	0.91372E-02	-	-	-0.10557E+00	0.14390E-01
24	0.92868E+00	0.20010E+00	0.10525E+01	0.76852E-02	-	-	-0.98737E-01	0.14997E-01
25	0.10146E+01	0.20010E+00	0.10402E+01	0.10779E-01	-	-	-0.94513E-01	0.13164E-01
26	0.11003E+01	0.20010E+00	0.10330E+01	0.10547E-01	-	-	-0.84068E-01	0.11891E-01
27	0.11003E+01	0.19998E+00	0.10353E+01	0.10266E-01	-	-	-0.81973E-01	0.12986E-01
28	0.11003E+01	0.15989E+00	0.10268E+01	0.81716E-02	-	-	-0.82084E-01	0.16832E-01
29	0.11003E+01	0.11993E+00	0.10254E+01	0.13354E-01	-	-	-0.74136E-01	0.17148E-01
30	0.11003E+01	0.79844E-01	0.10060E+01	0.39673E-01	-	-	-0.64980E-01	0.48094E-01
31	0.11003E+01	0.39880E-01	0.87078E+00	0.74358E-01	-	-	-0.31147E-01	0.78279E-01
32	0.11003E+01	-0.85220E-04	0.82238E+00	0.61583E-01	-	-	0.19208E-01	0.87219E-01
33	0.11003E+01	-0.40171E-01	0.89818E+00	0.53758E-01	-	-	0.59894E-02	0.69163E-01
34	0.11003E+01	-0.80136E-01	0.95472E+00	0.32115E-01	-	-	-0.18411E-01	0.51560E-01
35	0.11003E+01	-0.12010E+00	0.98207E+00	0.17353E-01	-	-	-0.37880E-01	0.17986E-01
36	0.11003E+01	-0.16007E+00	0.98457E+00	0.99786E-02	-	-	-0.45889E-01	0.17122E-01
37	0.11003E+01	-0.20027E+00	0.98662E+00	0.81102E-02	-	-	-0.42484E-01	0.17269E-01

38	0.10996E+01	-0.20027E+00	0.98820E+00	0.89970E-02	-	-	-0.49577E-01	0.10471E-01
39	0.10141E+01	-0.20027E+00	0.98179E+00	0.90454E-02	-	-	-0.41582E-01	0.12644E-01
40	0.92832E+00	-0.20027E+00	0.98071E+00	0.86566E-02	-	-	-0.12361E-01	0.35253E-01
41	0.84231E+00	-0.20027E+00	0.98909E+00	0.80781E-02	-	-	0.28091E-02	0.40613E-01
42	0.75680E+00	-0.20027E+00	0.99734E+00	0.82266E-02	-	-	0.14223E-01	0.41359E-01
43	0.67116E+00	-0.20027E+00	0.10106E+01	0.69269E-02	-	-	0.15300E-01	0.47817E-01
44	0.58552E+00	-0.20027E+00	0.10125E+01	0.63097E-02	-	-	0.25264E-01	0.57807E-01
45	0.49976E+00	-0.20027E+00	0.10156E+01	0.76700E-02	-	-	0.35434E-01	0.54486E-01
46	0.41400E+00	-0.20027E+00	0.10122E+01	0.78382E-02	-	-	0.36142E-01	0.50593E-01
47	0.32836E+00	-0.20027E+00	0.99686E+00	0.13878E-01	-	-	0.46286E-01	0.50808E-01
48	0.24260E+00	-0.20027E+00	0.98071E+00	0.10301E-01	-	-	-0.41524E-01	0.45667E-01
49	0.15696E+00	-0.20027E+00	0.94985E+00	0.10819E-01	-	-	-0.56631E-01	0.19913E-01
50	0.71204E-01	-0.20027E+00	0.93282E+00	0.10582E-01	-	-	-0.43938E-01	0.26363E-01
51	-0.14799E-01	-0.20027E+00	0.91615E+00	0.11723E-01	-	-	-0.14287E-01	0.24926E-01
52	-0.10044E+00	-0.20027E+00	0.92942E+00	0.77847E-02	-	-	0.16329E-01	0.39469E-01

I1 = 0.0940 I2 = 2.7181 I3 = 0.0311 I4 = -2.3537

Lift = 0.4896

Rectangular Tip

Inboard angle = 6.6 Tip angle = 7.3 Delta theta = 0.7

Circulation box no. 8 at y/c = -0.047

NPT	x/c	z/c	u/U	$\sigma_u$	v/U	$\sigma_v$	w/U	$\sigma_w$
1	-0.10044E+00	-0.20003E+00	0.92920E+00	0.10108E-01	-	-	0.37791E-01	0.37734E-01
2	-0.10044E+00	-0.15982E+00	0.91817E+00	0.11431E-01	-	-	0.63756E-01	0.42423E-01
3	-0.10044E+00	-0.11986E+00	0.90880E+00	0.12093E-01	-	-	0.63559E-01	0.33152E-01
4	-0.10044E+00	-0.79893E-01	0.90065E+00	0.11475E-01	-	-	0.81394E-01	0.26477E-01
5	-0.10044E+00	-0.39928E-01	0.90897E+00	0.10388E-01	-	-	0.11511E+00	0.23929E-01
6	-0.10044E+00	0.15778E-03	0.93121E+00	0.92696E-02	-	-	0.14782E+00	0.24660E-01
7	-0.10044E+00	0.40123E-01	0.97589E+00	0.29923E-01	-	-	0.16563E+00	0.24910E-01
8	-0.10044E+00	0.80087E-01	0.10171E+01	0.27957E-01	-	-	0.16993E+00	0.25161E-01
9	-0.10044E+00	0.12017E+00	0.10449E+01	0.24108E-01	-	-	0.15893E+00	0.24620E-01
10	-0.10044E+00	0.16014E+00	0.10696E+01	0.26244E-01	-	-	0.14368E+00	0.21782E-01
11	-0.10044E+00	0.20010E+00	0.10751E+01	0.19507E-01	-	-	0.12886E+00	0.20088E-01
12	-0.99708E-01	0.20010E+00	0.10786E+01	0.20857E-01	-	-	0.12867E+00	0.20501E-01
13	-0.14191E-01	0.20010E+00	0.11193E+01	0.21029E-01	-	-	0.14731E+00	0.24837E-01
14	0.71933E-01	0.20010E+00	0.11766E+01	0.20086E-01	-	-	0.13203E+00	0.22715E-01
15	0.15745E+00	0.20010E+00	0.12205E+01	0.19371E-01	-	-	0.76745E-01	0.19401E-01
16	0.24321E+00	0.20010E+00	0.12283E+01	0.16470E-01	-	-	0.19658E-01	0.22537E-01
17	0.32897E+00	0.20010E+00	0.12149E+01	0.16175E-01	-	-	-0.29384E-01	0.29272E-01
18	0.41461E+00	0.20010E+00	0.11860E+01	0.15156E-01	-	-	-0.69116E-01	0.19694E-01
19	0.50037E+00	0.20010E+00	0.11632E+01	0.20531E-01	-	-	-0.91338E-01	0.19829E-01
20	0.58601E+00	0.20010E+00	0.11399E+01	0.27466E-01	-	-	-0.10374E+00	0.20191E-01
21	0.67165E+00	0.20010E+00	0.11210E+01	0.29464E-01	-	-	-0.11003E+00	0.19453E-01
22	0.75740E+00	0.20010E+00	0.11088E+01	0.33993E-01	-	-	-0.11344E+00	0.21805E-01
23	0.84304E+00	0.20010E+00	0.10889E+01	0.35006E-01	-	-	-0.10458E+00	0.23746E-01
24	0.92892E+00	0.20010E+00	0.10560E+01	0.19566E-01	-	-	-0.92818E-01	0.31515E-01
25	0.10147E+01	0.20010E+00	0.10452E+01	0.15240E-01	-	-	-0.91514E-01	0.21927E-01
26	0.11002E+01	0.20010E+00	0.10373E+01	0.19037E-01	-	-	-0.82487E-01	0.23192E-01
27	0.11002E+01	0.19988E+00	0.10384E+01	0.19863E-01	-	-	-0.79425E-01	0.20239E-01
28	0.11002E+01	0.15989E+00	0.10306E+01	0.14709E-01	-	-	-0.82155E-01	0.19940E-01
29	0.11002E+01	0.11993E+00	0.10218E+01	0.78116E-02	-	-	-0.86037E-01	0.19079E-01
30	0.11002E+01	0.79844E-01	0.10152E+01	0.14793E-01	-	-	-0.92452E-01	0.22175E-01
31	0.11002E+01	0.39880E-01	0.10031E+01	0.29410E-01	-	-	-0.11832E+00	0.33019E-01
32	0.11002E+01	-0.85220E-04	0.98610E+00	0.33649E-01	-	-	-0.14027E+00	0.35781E-01
33	0.11002E+01	-0.40171E-01	0.98432E+00	0.22155E-01	-	-	-0.12122E+00	0.29558E-01
34	0.11002E+01	-0.80136E-01	0.98178E+00	0.13769E-01	-	-	-0.88326E-01	0.19211E-01
35	0.11002E+01	-0.12010E+00	0.96770E+00	0.32787E-01	-	-	-0.47512E-01	0.37365E-01
36	0.11002E+01	-0.16019E+00	0.98186E+00	0.61295E-02	-	-	-0.45288E-01	0.18512E-01
37	0.11002E+01	-0.20015E+00	0.98651E+00	0.66945E-02	-	-	-0.37728E-01	0.30546E-01

38	0.10994E+01	-0.20015E+00	0.98725E+00	0.62316E-02	-	-	-0.41290E-01	0.23478E-01
39	0.10141E+01	-0.20015E+00	0.98084E+00	0.82369E-02	-	-	-0.22477E-01	0.36518E-01
40	0.92832E+00	-0.20015E+00	0.98529E+00	0.91701E-02	-	-	-0.36263E-01	0.56913E-01
41	0.84256E+00	-0.20015E+00	0.98976E+00	0.98704E-02	-	-	-0.47233E-01	0.53163E-01
42	0.75692E+00	-0.20015E+00	0.10001E+01	0.98711E-02	-	-	-0.58622E-01	0.47091E-01
43	0.67092E+00	-0.20015E+00	0.10080E+01	0.13086E-01	-	-	-0.72964E-01	0.53787E-01
44	0.58540E+00	-0.20015E+00	0.10131E+01	0.97117E-02	-	-	-0.97112E-01	0.51674E-01
45	0.49964E+00	-0.20015E+00	0.10205E+01	0.12367E-01	-	-	-0.12363E+00	0.56065E-01
46	0.41400E+00	-0.20015E+00	0.10108E+01	0.73837E-02	-	-	-0.13945E+00	0.53269E-01
47	0.32836E+00	-0.20015E+00	0.99285E+00	0.12123E-01	-	-	-0.16024E+00	0.55130E-01
48	0.24260E+00	-0.20015E+00	0.97592E+00	0.13561E-01	-	-	-0.15735E+00	0.54997E-01
49	0.15684E+00	-0.20015E+00	0.95290E+00	0.18593E-01	-	-	-0.13636E+00	0.53550E-01
50	0.71204E-01	-0.20015E+00	0.92064E+00	0.17181E-01	-	-	-0.15942E+00	0.52418E-01
51	-0.14556E-01	-0.20015E+00	0.91870E+00	0.13863E-01	-	-	-0.17571E+00	0.58687E-01
52	-0.10019E+00	-0.20015E+00	0.92884E+00	0.13756E-01	-	-	-0.19331E+00	0.52626E-01

I1 = 0.0960 I2 = 2.7314 I3 = 0.0709 I4 = -2.3533

Lift = 0.5449

Rectangular Tip

Inboard angle = 6.6 Tip angle = 7.3 Delta theta = 0.7

Circulation box no. 9 at y/c = -0.097

NPT	x/c	z/c	u/U	$\sigma_u$	v/U	$\sigma_v$	w/U	$\sigma_w$
1	-0.99830E-01	-0.19991E+00	0.93048E+00	0.13737E-01	-	-	0.16549E-01	0.19329E-01
2	-0.99830E-01	-0.13322E+00	0.91297E+00	0.17501E-01	-	-	0.51843E-01	0.16060E-01
3	-0.99830E-01	-0.66410E-01	0.89880E+00	0.16278E-01	-	-	0.92884E-01	0.22182E-01
4	-0.99830E-01	0.27892E-03	0.92432E+00	0.16157E-01	-	-	0.15124E+00	0.22501E-01
5	-0.99830E-01	0.66968E-01	0.99106E+00	0.13215E-01	-	-	0.18738E+00	0.19541E-01
6	-0.99830E-01	0.13353E+00	0.10433E+01	0.13364E-01	-	-	0.15797E+00	0.21752E-01
7	-0.99830E-01	0.20010E+00	0.10718E+01	0.11137E-01	-	-	0.13092E+00	0.17772E-01
8	-0.10032E+00	0.20010E+00	0.10743E+01	0.11314E-01	-	-	0.14822E+00	0.20746E-01
9	-0.14191E-01	0.20010E+00	0.11175E+01	0.94424E-02	-	-	0.14477E+00	0.13753E-01
10	0.71569E-01	0.20010E+00	0.11946E+01	0.13402E-01	-	-	0.13951E+00	0.17862E-01
11	0.15721E+00	0.20010E+00	0.12266E+01	0.10936E-01	-	-	0.72090E-01	0.19615E-01
12	0.24297E+00	0.20010E+00	0.12411E+01	0.91609E-02	-	-	0.10136E-01	0.15839E-01
13	0.32885E+00	0.20010E+00	0.12202E+01	0.11342E-01	-	-	-0.42233E-01	0.17709E-01
14	0.41449E+00	0.20010E+00	0.11897E+01	0.12187E-01	-	-	-0.81335E-01	0.14574E-01
15	0.50025E+00	0.20010E+00	0.11608E+01	0.10952E-01	-	-	-0.10335E+00	0.14293E-01
16	0.58601E+00	0.20010E+00	0.11322E+01	0.11794E-01	-	-	-0.11897E+00	0.15416E-01
17	0.67165E+00	0.20010E+00	0.11107E+01	0.11437E-01	-	-	-0.11954E+00	0.13101E-01
18	0.75740E+00	0.20010E+00	0.10869E+01	0.12286E-01	-	-	-0.12264E+00	0.13421E-01
19	0.84304E+00	0.20010E+00	0.10671E+01	0.13373E-01	-	-	-0.11756E+00	0.13939E-01
20	0.92880E+00	0.20010E+00	0.10516E+01	0.12785E-01	-	-	-0.11166E+00	0.15072E-01
21	0.10146E+01	0.20010E+00	0.10397E+01	0.11327E-01	-	-	-0.95399E-01	0.16129E-01
22	0.11001E+01	0.20010E+00	0.10324E+01	0.11532E-01	-	-	-0.93373E-01	0.15098E-01
23	0.11001E+01	0.19986E+00	0.10315E+01	0.10642E-01	-	-	-0.94573E-01	0.14262E-01
24	0.11001E+01	0.13305E+00	0.10251E+01	0.14793E-01	-	-	-0.97893E-01	0.15422E-01
25	0.11001E+01	0.66603E-01	0.10149E+01	0.15046E-01	-	-	-0.10869E+00	0.13797E-01
26	0.11001E+01	-0.85220E-04	0.99933E+00	0.20732E-01	-	-	-0.13119E+00	0.17320E-01
27	0.11001E+01	-0.66774E-01	0.98299E+00	0.15574E-01	-	-	-0.10855E+00	0.14788E-01
28	0.11001E+01	-0.13345E+00	0.97951E+00	0.15827E-01	-	-	-0.65931E-01	0.15824E-01
29	0.11001E+01	-0.20027E+00	0.98520E+00	0.10071E-01	-	-	-0.53773E-01	0.74217E-02
30	0.10995E+01	-0.20027E+00	0.98807E+00	0.10288E-01	-	-	-0.54040E-01	0.14437E-01
31	0.10140E+01	-0.20027E+00	0.98403E+00	0.13160E-01	-	-	-0.44369E-01	0.14280E-01
32	0.92832E+00	-0.20027E+00	0.98583E+00	0.12391E-01	-	-	-0.35159E-01	0.20553E-01
33	0.84256E+00	-0.20027E+00	0.99048E+00	0.11208E-01	-	-	-0.28295E-01	0.19820E-01
34	0.75692E+00	-0.20027E+00	0.10005E+01	0.13022E-01	-	-	-0.27406E-01	0.21319E-01
35	0.67116E+00	-0.20027E+00	0.10079E+01	0.13850E-01	-	-	-0.27205E-01	0.19310E-01
36	0.58552E+00	-0.20027E+00	0.10121E+01	0.11571E-01	-	-	-0.28924E-01	0.21166E-01
37	0.49976E+00	-0.20027E+00	0.10145E+01	0.10881E-01	-	-	-0.45784E-01	0.21879E-01

38	0.41400E+00	-0.20027E+00	0.10063E+01	0.14340E-01	-	-0.59056E-01	0.31356E-01
39	0.32836E+00	-0.20027E+00	0.99647E+00	0.13922E-01	-	-0.90525E-01	0.48316E-01
40	0.24248E+00	-0.20027E+00	0.97910E+00	0.16367E-01	-	-0.77989E-01	0.18222E-01
41	0.15672E+00	-0.20027E+00	0.95020E+00	0.18448E-01	-	-0.67922E-01	0.15131E-01
42	0.71083E-01	-0.20027E+00	0.93092E+00	0.18875E-01	-	-0.49382E-01	0.16848E-01
43	-0.14434E-01	-0.20027E+00	0.91441E+00	0.17992E-01	-	-0.82486E-02	0.19084E-01
44	-0.10007E+00	-0.20027E+00	0.92858E+00	0.15684E-01	-	0.24553E-01	0.18380E-01

I1 - 0.0957    I2 - 2.7239    I3 - 0.0784    I4 - -2.3530

Lift - 0.5449

Rectangular Tip

Inboard angle = 6.6 Tip angle = 7.3 Delta theta = 0.7

Circulation box no. 10 at y/c = -0.498

NPT	x/c	z/c	u/U	$\sigma_u$	v/U	$\sigma_v$	w/U	$\sigma_w$
1	-0.10007E+00	-0.20015E+00	0.92948E+00	0.12937E-01	-	-	0.95585E-02	0.16957E-01
2	-0.10007E+00	-0.13322E+00	0.91162E+00	0.14903E-01	-	-	0.28447E-01	0.21142E-01
3	-0.10007E+00	-0.66531E-01	0.89524E+00	0.16953E-01	-	-	0.74843E-01	0.21658E-01
4	-0.10007E+00	0.15778E-03	0.91406E+00	0.13186E-01	-	-	0.14228E+00	0.24882E-01
5	-0.10007E+00	0.66846E-01	0.98084E+00	0.11546E-01	-	-	0.17971E+00	0.23246E-01
6	-0.10007E+00	0.13353E+00	0.10320E+01	0.11999E-01	-	-	0.15129E+00	0.17372E-01
7	-0.10007E+00	0.20010E+00	0.10642E+01	0.95803E-02	-	-	0.12948E+00	0.19822E-01
8	-0.99344E-01	0.20010E+00	0.10682E+01	0.99796E-02	-	-	0.14377E+00	0.19816E-01
9	-0.14070E-01	0.20010E+00	0.11177E+01	0.12219E-01	-	-	0.15052E+00	0.15156E-01
10	0.71690E-01	0.20010E+00	0.11879E+01	0.13977E-01	-	-	0.12828E+00	0.15676E-01
11	0.15745E+00	0.20010E+00	0.12334E+01	0.11518E-01	-	-	0.63568E-01	0.22257E-01
12	0.24321E+00	0.20010E+00	0.12297E+01	0.88953E-02	-	-	-0.90350E-02	0.19154E-01
13	0.32873E+00	0.20010E+00	0.12049E+01	0.10185E-01	-	-	-0.61776E-01	0.16076E-01
14	0.41437E+00	0.20010E+00	0.11808E+01	0.10865E-01	-	-	-0.91778E-01	0.11958E-01
15	0.50013E+00	0.20010E+00	0.11472E+01	0.99815E-02	-	-	-0.11563E+00	0.12890E-01
16	0.58588E+00	0.20010E+00	0.11229E+01	0.99754E-02	-	-	-0.12086E+00	0.14839E-01
17	0.67152E+00	0.20010E+00	0.10991E+01	0.95294E-02	-	-	-0.12758E+00	0.13039E-01
18	0.75728E+00	0.20010E+00	0.10732E+01	0.78488E-02	-	-	-0.13296E+00	0.13714E-01
19	0.84292E+00	0.20010E+00	0.10600E+01	0.95486E-02	-	-	-0.12557E+00	0.14146E-01
20	0.92868E+00	0.20010E+00	0.10429E+01	0.11541E-01	-	-	-0.11130E+00	0.15107E-01
21	0.10144E+01	0.20010E+00	0.10335E+01	0.11469E-01	-	-	-0.10668E+00	0.14448E-01
22	0.11003E+01	0.20010E+00	0.10275E+01	0.11038E-01	-	-	-0.95068E-01	0.11893E-01
23	0.11003E+01	0.19986E+00	0.10265E+01	0.11467E-01	-	-	-0.96741E-01	0.12915E-01
24	0.11003E+01	0.13305E+00	0.10174E+01	0.99650E-02	-	-	-0.10585E+00	0.14080E-01
25	0.11003E+01	0.66603E-01	0.10080E+01	0.12434E-01	-	-	-0.10514E+00	0.14977E-01
26	0.11003E+01	-0.85220E-04	0.99420E+00	0.12289E-01	-	-	-0.11068E+00	0.11028E-01
27	0.11003E+01	-0.66774E-01	0.97866E+00	0.12170E-01	-	-	-0.10550E+00	0.11817E-01
28	0.11003E+01	-0.13346E+00	0.97790E+00	0.16121E-01	-	-	-0.74356E-01	0.14728E-01
29	0.11003E+01	-0.20027E+00	0.98373E+00	0.95315E-02	-	-	-0.63516E-01	0.10732E-01
30	0.10996E+01	-0.20027E+00	0.98552E+00	0.12246E-01	-	-	-0.62833E-01	0.85860E-02
31	0.10141E+01	-0.20027E+00	0.98218E+00	0.11286E-01	-	-	-0.51486E-01	0.10420E-01
32	0.92844E+00	-0.20027E+00	0.98674E+00	0.12412E-01	-	-	-0.62007E-01	0.43666E-01
33	0.84268E+00	-0.20027E+00	0.99321E+00	0.12306E-01	-	-	-0.13491E+00	0.59676E-01
34	0.75704E+00	-0.20027E+00	0.10024E+01	0.10174E-01	-	-	-0.15849E+00	0.55241E-01
35	0.67128E+00	-0.20027E+00	0.10120E+01	0.11200E-01	-	-	-0.18383E+00	0.54501E-01
36	0.58564E+00	-0.20027E+00	0.10139E+01	0.12288E-01	-	-	-0.19392E+00	0.48732E-01
37	0.49988E+00	-0.20027E+00	0.10157E+01	0.79600E-02	-	-	-0.19473E+00	0.52974E-01



38	0.41412E+00	-0.20027E+00	0.10125E+01	0.11182E-01	-	-	-0.16762E+00	0.55692E-01
39	0.32848E+00	-0.20027E+00	0.10036E+01	0.14803E-01	-	-	-0.12854E+00	0.52349E-01
40	0.24260E+00	-0.20027E+00	0.98119E+00	0.13024E-01	-	-	-0.11170E+00	0.37519E-01
41	0.15696E+00	-0.20027E+00	0.95237E+00	0.16774E-01	-	-	-0.10949E+00	0.44828E-01
42	0.71204E-01	-0.20027E+00	0.92744E+00	0.17648E-01	-	-	-0.54469E-01	0.17638E-01
43	-0.14556E-01	-0.20027E+00	0.91623E+00	0.15774E-01	-	-	-0.15395E-01	0.17211E-01
44	-0.10019E+00	-0.20027E+00	0.92458E+00	0.11146E-01	-	-	0.25411E-01	0.15037E-01

I1 - 0.0861 I2 - 2.7059 I3 - 0.0776 I4 - -2.3577

Lift - 0.5118

Rectangular Tip

Inboard angle = 6.6 Tip angle = 7.3 Delta theta = 0.7

Circulation box no. 11 at y/c = -1.001

NPT	x/c	z/c	u/U	$\sigma_u$	v/U	$\sigma_v$	w/U	$\sigma_w$
1	-0.10032E+00	-0.20015E+00	0.93845E+00	0.1034E-01	-	-	0.13924E-02	0.16658E-01
2	-0.10032E+00	-0.13310E+00	0.91840E+00	0.11162E-01	-	-	0.17532E-01	0.15188E-01
3	-0.10032E+00	-0.66531E-01	0.89923E+00	0.11811E-01	-	-	0.57806E-01	0.17852E-01
4	-0.10032E+00	0.15778E-03	0.92399E+00	0.31939E-01	-	-	0.11596E+00	0.22516E-01
5	-0.10032E+00	0.66846E-01	0.96835E+00	0.96521E-02	-	-	0.15562E+00	0.20154E-01
6	-0.10032E+00	0.13353E+00	0.10172E+01	0.82908E-02	-	-	0.13304E+00	0.15100E-01
7	-0.10032E+00	0.20010E+00	0.10485E+01	0.81883E-02	-	-	0.11819E+00	0.14554E-01
8	-0.99708E-01	0.20010E+00	0.10480E+01	0.91290E-02	-	-	0.10917E+00	0.13513E-01
9	-0.14191E-01	0.20010E+00	0.10918E+01	0.74127E-02	-	-	0.13254E+00	0.12151E-01
10	0.71569E-01	0.20010E+00	0.11598E+01	0.11343E-01	-	-	0.11575E+00	0.17573E-01
11	0.15721E+00	0.20010E+00	0.12038E+01	0.93619E-02	-	-	0.53927E-01	0.16873E-01
12	0.24297E+00	0.20010E+00	0.12028E+01	0.13807E-01	-	-	-0.66455E-02	0.17254E-01
13	0.32885E+00	0.20010E+00	0.11791E+01	0.81318E-02	-	-	-0.58065E-01	0.13559E-01
14	0.41449E+00	0.20010E+00	0.11506E+01	0.89997E-02	-	-	-0.88061E-01	0.12599E-01
15	0.50025E+00	0.20010E+00	0.11250E+01	0.72488E-02	-	-	-0.10759E+00	0.97327E-02
16	0.58601E+00	0.20010E+00	0.10991E+01	0.68504E-02	-	-	-0.11428E+00	0.10593E-01
17	0.67165E+00	0.20010E+00	0.10798E+01	0.79827E-02	-	-	-0.12313E+00	0.14883E-01
18	0.75740E+00	0.20010E+00	0.10617E+01	0.10111E-01	-	-	-0.11732E+00	0.13995E-01
19	0.84304E+00	0.20010E+00	0.10460E+01	0.10897E-01	-	-	-0.11373E+00	0.13154E-01
20	0.92880E+00	0.20010E+00	0.10346E+01	0.93836E-02	-	-	-0.10666E+00	0.12486E-01
21	0.10146E+01	0.20010E+00	0.10275E+01	0.64912E-02	-	-	-0.10043E+00	0.11738E-01
22	0.11001E+01	0.20010E+00	0.10233E+01	0.74674E-02	-	-	-0.88177E-01	0.12018E-01
23	0.11001E+01	0.19986E+00	0.10231E+01	0.90592E-02	-	-	-0.87043E-01	0.13423E-01
24	0.11001E+01	0.13305E+00	0.10149E+01	0.76087E-02	-	-	-0.99069E-01	0.11224E-01
25	0.11001E+01	0.66603E-01	0.10034E+01	0.78516E-02	-	-	-0.10481E+00	0.12208E-01
26	0.11001E+01	-0.85220E-04	0.99295E+00	0.10135E-01	-	-	-0.11049E+00	0.12480E-01
27	0.11001E+01	-0.66774E-01	0.97664E+00	0.95203E-02	-	-	-0.10737E+00	0.12523E-01
28	0.11001E+01	-0.13346E+00	0.97625E+00	0.85141E-02	-	-	-0.75526E-01	0.10956E-01
29	0.11001E+01	-0.20027E+00	0.98838E+00	0.70442E-02	-	-	-0.61403E-01	0.80721E-02
30	0.10995E+01	-0.20027E+00	0.98756E+00	0.75150E-02	-	-	-0.57905E-01	0.10018E-01
31	0.10140E+01	-0.20027E+00	0.98547E+00	0.80542E-02	-	-	-0.41187E-01	0.98958E-02
32	0.92820E+00	-0.20027E+00	0.98998E+00	0.78263E-02	-	-	-0.70364E-01	0.43321E-01
33	0.84256E+00	-0.20027E+00	0.99845E+00	0.78754E-02	-	-	-0.11003E+00	0.50118E-01
34	0.75692E+00	-0.20027E+00	0.10066E+01	0.88747E-02	-	-	-0.14575E+00	0.50031E-01
35	0.67116E+00	-0.20027E+00	0.10172E+01	0.78661E-02	-	-	-0.21038E+00	0.51941E-01
36	0.58552E+00	-0.20027E+00	0.10200E+01	0.78810E-02	-	-	-0.24400E+00	0.49829E-01
37	0.49976E+00	-0.20027E+00	0.10276E+01	0.77962E-02	-	-	-0.27429E+00	0.43056E-01

38	0.41400E+00	-0.20027E+00	0.10202E+01	0.69794E-02	-	-0.25621E+00	0.57817E-01
39	0.32836E+00	-0.20027E+00	0.10135E+01	0.96403E-02	-	-0.20835E+00	0.74691E-01
40	0.24260E+00	-0.20027E+00	0.99901E+00	0.11437E-01	-	-0.21955E+00	0.50490E-01
41	0.15684E+00	-0.20027E+00	0.96940E+00	0.97510E-02	-	-0.19655E+00	0.58942E-01
42	0.71083E-01	-0.20027E+00	0.94367E+00	0.13037E-01	-	-0.11108E+00	0.53225E-01
43	-0.14677E-01	-0.20027E+00	0.93322E+00	0.11045E-01	-	-0.34300E-01	0.14878E-01
44	-0.10032E+00	-0.20027E+00	0.93929E+00	0.99120E-02	-	0.29527E-02	0.13491E-01

I1 - 0.0717 I2 - 2.6572 I3 - 0.0761 I4 - -2.3809

Lift - 0.4241

Rectangular Tip

Inboard angle = 6.6 Tip angle = 7.3 Delta theta = 0.7  
 Circulation box no. 12 at y/c = -1.302

NPT	x/c	z/c	u/U	$\sigma_u$	v/U	$\sigma_v$	w/U	$\sigma_w$
1	-0.10044E+00	-0.20015E+00	0.95985E+00	0.96540E-02	-	-	0.11699E-01	0.16864E-01
2	-0.10044E+00	-0.13322E+00	0.94232E+00	0.97053E-02	-	-	0.87808E-02	0.12272E-01
3	-0.10044E+00	-0.66531E-01	0.92011E+00	0.95047E-02	-	-	0.23836E-01	0.13073E-01
4	-0.10044E+00	0.15778E-03	0.92169E+00	0.18087E-01	-	-	0.87197E-01	0.17729E-01
5	-0.10044E+00	0.66846E-01	0.96245E+00	0.92681E-02	-	-	0.12102E+00	0.18131E-01
6	-0.10044E+00	0.13353E+00	0.10073E+01	0.76064E-02	-	-	0.11444E+00	0.16304E-01
7	-0.10044E+00	0.20022E+00	0.10372E+01	0.78010E-02	-	-	0.10534E+00	0.15389E-01
8	-0.99708E-01	0.20022E+00	0.10327E+01	0.71871E-02	-	-	0.87275E-01	0.12821E-01
9	-0.14070E-01	0.20022E+00	0.10674E+01	0.92050E-02	-	-	0.10695E+00	0.12965E-01
10	0.71690E-01	0.20022E+00	0.11135E+01	0.10775E-01	-	-	0.10141E+00	0.13404E-01
11	0.15745E+00	0.20022E+00	0.11514E+01	0.70693E-02	-	-	0.57304E-01	0.18332E-01
12	0.24321E+00	0.20022E+00	0.11554E+01	0.96384E-02	-	-	0.70710E-02	0.17215E-01
13	0.32897E+00	0.20022E+00	0.11414E+01	0.77917E-02	-	-	-0.36717E-01	0.11623E-01
14	0.41437E+00	0.20022E+00	0.11192E+01	0.67107E-02	-	-	-0.53689E-01	0.13120E-01
15	0.50013E+00	0.20022E+00	0.10991E+01	0.63067E-02	-	-	-0.77502E-01	0.10498E-01
16	0.58588E+00	0.20022E+00	0.10839E+01	0.70056E-02	-	-	-0.78420E-01	0.16901E-01
17	0.67152E+00	0.20022E+00	0.10655E+01	0.85908E-02	-	-	-0.80267E-01	0.91593E-02
18	0.75728E+00	0.20022E+00	0.10534E+01	0.10660E-01	-	-	-0.83313E-01	0.12104E-01
19	0.84292E+00	0.20022E+00	0.10415E+01	0.92222E-02	-	-	-0.80656E-01	0.10756E-01
20	0.92892E+00	0.20022E+00	0.10341E+01	0.77286E-02	-	-	-0.74690E-01	0.93270E-02
21	0.10147E+01	0.20022E+00	0.10273E+01	0.98722E-02	-	-	-0.63250E-01	0.12496E-01
22	0.11002E+01	0.20022E+00	0.10226E+01	0.85839E-02	-	-	-0.55329E-01	0.12494E-01
23	0.11002E+01	0.19986E+00	0.10224E+01	0.85712E-02	-	-	-0.57438E-01	0.12474E-01
24	0.11002E+01	0.13305E+00	0.10147E+01	0.75002E-02	-	-	-0.79217E-01	0.11570E-01
25	0.11002E+01	0.56603E-01	0.10095E+01	0.90848E-02	-	-	-0.11456E+00	0.77911E-02
26	0.11002E+01	-0.85220E-04	0.10019E+01	0.94101E-02	-	-	-0.15539E+00	0.11693E-01
27	0.11002E+01	-0.66774E-01	0.98663E+00	0.19965E-01	-	-	-0.13742E+00	0.23247E-01
28	0.11002E+01	-0.13346E+00	0.98978E+00	0.79965E-02	-	-	-0.65412E-01	0.10098E-01
29	0.11002E+01	-0.20027E+00	0.99866E+00	0.10667E-01	-	-	-0.31764E-01	0.91379E-02
30	0.10996E+01	-0.20027E+00	0.99824E+00	0.71435E-02	-	-	-0.33881E-01	0.91697E-02
31	0.10141E+01	-0.20027E+00	0.99609E+00	0.73422E-02	-	-	-0.15757E-01	0.93324E-02
32	0.92832E+00	-0.20027E+00	0.10013E+01	0.74700E-02	-	-	-0.22795E-01	0.33051E-01
33	0.84268E+00	-0.20027E+00	0.10087E+01	0.67610E-02	-	-	-0.41492E-01	0.41935E-01
34	0.75704E+00	-0.20027E+00	0.10145E+01	0.89392E-02	-	-	-0.87460E-01	0.47936E-01
35	0.67128E+00	-0.20027E+00	0.10209E+01	0.62983E-02	-	-	-0.10781E+00	0.46980E-01
36	0.58564E+00	-0.20027E+00	0.10285E+01	0.79413E-02	-	-	-0.13829E+00	0.54464E-01
37	0.49988E+00	-0.20027E+00	0.10339E+01	0.71966E-02	-	-	-0.18437E+00	0.48428E-01

38	0.41388E+00	-0.20027E+00	0.10334E+01	0.70824E-02	-	-	-0.22824E+00	0.50955E-01
39	0.32848E+00	-0.20027E+00	0.10247E+01	0.80507E-02	-	-	-0.24747E+00	0.42410E-01
40	0.24272E+00	-0.20027E+00	0.10091E+01	0.12678E-01	-	-	-0.24805E+00	0.48884E-01
41	0.15696E+00	-0.20027E+00	0.98928E+00	0.85049E-02	-	-	-0.21476E+00	0.66074E-01
42	0.71326E-01	-0.20027E+00	0.96750E+00	0.11905E-01	-	-	-0.23181E+00	0.44048E-01
43	-0.14556E-01	-0.20027E+00	0.95677E+00	0.10820E-01	-	-	-0.62397E-01	0.61454E-01
44	-0.10019E+00	-0.20027E+00	0.96388E+00	0.11244E-01	-	-	0.24885E-02	0.15856E-01

I1 - 0.0555 I2 - 2.6028 I3 - 0.0797 I4 - -2.4110

Lift - 0.3270

Rectangular Tip

Inboard angle = 6.6 Tip angle = 7.3 Delta theta = 0.7

Circulation box no. 13 at y/c = -1.403

NPT	x/c	z/c	u/U	$\sigma_u$	v/U	$\sigma_v$	w/U	$\sigma_w$
1	-0.10019E+00	-0.20015E+00	0.97548E+00	0.89084E-02	-	-	0.11776E-01	0.12077E-01
2	-0.10019E+00	-0.15970E+00	0.96763E+00	0.96955E-02	-	-	0.84972E-02	0.16089E-01
3	-0.10019E+00	-0.11974E+00	0.95636E+00	0.81763E-02	-	-	0.23771E-01	0.15793E-01
4	-0.10019E+00	-0.79772E-01	0.94436E+00	0.98620E-02	-	-	0.34182E-01	0.13854E-01
5	-0.10019E+00	-0.39928E-01	0.93500E+00	0.77002E-02	-	-	0.45861E-01	0.14207E-01
6	-0.10019E+00	0.15778E-03	0.93907E+00	0.15769E-01	-	-	0.63205E-01	0.10973E-01
7	-0.10019E+00	0.40123E-01	0.95403E+00	0.80325E-02	-	-	0.92103E-01	0.14337E-01
8	-0.10019E+00	0.80208E-01	0.97881E+00	0.79262E-02	-	-	0.10571E+00	0.18795E-01
9	-0.10019E+00	0.12017E+00	0.10032E+01	0.77154E-02	-	-	0.10508E+00	0.14980E-01
10	-0.10019E+00	0.16026E+00	0.10211E+01	0.92899E-02	-	-	0.96120E-01	0.14488E-01
11	-0.10019E+00	0.20010E+00	0.10287E+01	0.81535E-02	-	-	0.83773E-01	0.15589E-01
12	-0.99465E-01	0.20010E+00	0.10313E+01	0.64500E-02	-	-	0.94318E-01	0.14295E-01
13	0.20185E-01	0.20010E+00	0.10718E+01	0.74264E-02	-	-	0.10196E+00	0.97068E-02
14	0.14008E+00	0.20010E+00	0.11274E+01	0.95173E-02	-	-	0.71651E-01	0.21683E-01
15	0.26022E+00	0.20010E+00	0.11282E+01	0.94041E-02	-	-	0.11605E-01	0.16662E-01
16	0.38011E+00	0.20010E+00	0.11070E+01	0.81239E-02	-	-	-0.22897E-01	0.14335E-01
17	0.50025E+00	0.20010E+00	0.10851E+01	0.83392E-01	-	-	-0.42848E-01	0.10662E-01
18	0.62014E+00	0.20010E+00	0.10668E+01	0.8764E-02	-	-	-0.46923E-01	0.16183E-01
19	0.74016E+00	0.20010E+00	0.10480E+01	0.67110E-02	-	-	-0.47555E-01	0.10152E-01
20	0.86029E+00	0.20010E+00	0.10373E+01	0.98011E-02	-	-	-0.33982E-01	0.11057E-01
21	0.98031E+00	0.20010E+00	0.10285E+01	0.87851E-02	-	-	-0.31548E-01	0.11034E-01
22	0.11001E+01	0.20010E+00	0.10196E+01	0.80365E-02	-	-	-0.28504E-01	0.13078E-01
23	0.11001E+01	0.19986E+00	0.10232E+01	0.91262E-02	-	-	-0.23282E-01	0.12104E-01
24	0.11001E+01	0.15977E+00	0.10199E+01	0.81306E-02	-	-	-0.30634E-01	0.11009E-01
25	0.11001E+01	0.11993E+00	0.10134E+01	0.86814E-02	-	-	-0.35093E-01	0.12396E-01
26	0.11001E+01	0.79844E-01	0.10126E+01	0.84192E-02	-	-	-0.59502E-01	0.15624E-01
27	0.11001E+01	0.39880E-01	0.10089E+01	0.10291E-01	-	-	-0.10385E+00	0.20716E-01
28	0.11001E+01	-0.85220E-04	0.10127E+01	0.13406E-01	-	-	-0.21554E+00	0.35538E-01
29	0.11001E+01	-0.40171E-01	0.10119E+01	0.50607E-01	-	-	-0.32817E+00	0.77016E-01
30	0.11001E+01	-0.80136E-01	0.10102E+01	0.19041E-01	-	-	-0.21142E+00	0.24090E-01
31	0.11001E+01	-0.12010E+00	0.10072E+01	0.10682E-01	-	-	-0.31195E-01	0.21209E-01
32	0.11001E+01	-0.16007E+00	0.10065E+01	0.73959E-02	-	-	-0.24416E-02	0.10987E-01
33	0.11001E+01	-0.20027E+00	0.10080E+01	0.81178E-02	-	-	0.15176E-01	0.12119E-01
34	0.10995E+01	-0.20027E+00	0.10066E+01	0.82386E-02	-	-	0.15091E-01	0.13371E-01
35	0.97970E+00	-0.20027E+00	0.10071E+01	0.78582E-02	-	-	-0.33516E-01	0.50686E-01
36	0.85968E+00	-0.20027E+00	0.10139E+01	0.69789E-02	-	-	-0.71733E-01	0.52676E-01
37	0.73991E+00	-0.20027E+00	0.10250E+01	0.76115E-02	-	-	-0.10730E+00	0.46860E-01

38	0.61978E+00	-0.20027E+00	0.10304E+01	0.67067E-02	-	-0.58202E-01	0.58462E-01
39	0.49964E+00	-0.20027E+00	0.10375E+01	0.81788E-02	-	-0.10059E+00	0.49705E-01
40	0.37975E+00	-0.20027E+00	0.10311E+01	0.89102E-02	-	-0.14789E+00	0.48720E-01
41	0.25961E+00	-0.20027E+00	0.10191E+01	0.89105E-02	-	-0.18956E+00	0.46916E-01
42	0.13971E+00	-0.20027E+00	0.99963E+00	0.88838E-02	-	-0.16913E+00	0.57625E-01
43	0.19578E-01	-0.20027E+00	0.97782E+00	0.89198E-02	-	-0.80662E-01	0.66070E-01
44	-0.10019E+00	-0.20027E+00	0.97271E+00	0.79941E-02	-	0.58341E-02	0.17901E-01

I1 - 0.0496 I2 - 2.5739 I3 - 0.0822 I4 - -2.4316

Lift - 0.2741

Rectangular Tip

Inboard angle = 6.6 Tip angle = 7.3 Delta theta = 0.7

Circulation box no. 14 at y/c = -1.452

NPT	x/c	z/c	u/U	$\sigma_u$	v/U	$\sigma_v$	w/U	$\sigma_w$
1	-0.10019E+00	-0.20015E+00	0.98279E+00	0.78533E-02	-	-	0.11679E-01	0.17000E-01
2	-0.10019E+00	-0.15982E+00	0.97738E+00	0.74456E-02	-	-	0.17905E-01	0.16757E-01
3	-0.10019E+00	-0.11986E+00	0.96761E+00	0.83599E-02	-	-	0.21691E-01	0.18924E-01
4	-0.10019E+00	-0.79893E-01	0.95777E+00	0.90164E-02	-	-	0.30057E-01	0.16202E-01
5	-0.10019E+00	-0.39807E-01	0.94946E+00	0.88721E-02	-	-	0.46962E-01	0.20103E-01
6	-0.10019E+00	0.27892E-03	0.95412E+00	0.15222E-01	-	-	0.69683E-01	0.19196E-01
7	-0.10019E+00	0.40244E-01	0.96861E+00	0.86536E-02	-	-	0.85307E-01	0.20360E-01
8	-0.10019E+00	0.80208E-01	0.98932E+00	0.71199E-02	-	-	0.94137E-01	0.20712E-01
9	-0.10019E+00	0.12029E+00	0.10098E+01	0.75239E-02	-	-	0.95326E-01	0.19197E-01
10	-0.10019E+00	0.16026E+00	0.10239E+01	0.76555E-02	-	-	0.85956E-01	0.18895E-01
11	-0.10019E+00	0.20022E+00	0.10343E+01	0.82473E-02	-	-	0.83555E-01	0.18216E-01
12	-0.99587E-01	0.20022E+00	0.10384E+01	0.82779E-02	-	-	0.85439E-01	0.17927E-01
13	0.20185E-01	0.20022E+00	0.10693E+01	0.98623E-02	-	-	0.10115E+00	0.19789E-01
14	0.14008E+00	0.20022E+00	0.11158E+01	0.98916E-02	-	-	0.87961E-01	0.28600E-01
15	0.26034E+00	0.20022E+00	0.11172E+01	0.10277E-01	-	-	0.34353E-01	0.20505E-01
16	0.38011E+00	0.20022E+00	0.11006E+01	0.11364E-01	-	-	-0.42694E-03	0.17141E-01
17	0.50013E+00	0.20022E+00	0.10811E+01	0.10057E-01	-	-	-0.13567E-01	0.17451E-01
18	0.62014E+00	0.20022E+00	0.10626E+01	0.10780E-01	-	-	-0.24508E-01	0.17147E-01
19	0.74028E+00	0.20022E+00	0.10516E+01	0.79517E-02	-	-	-0.18577E-01	0.12768E-01
20	0.86017E+00	0.20022E+00	0.10384E+01	0.88529E-02	-	-	-0.12283E-01	0.18011E-01
21	0.98006E+00	0.20022E+00	0.10297E+01	0.10041E-01	-	-	-0.11743E-01	0.18816E-01
22	0.11002E+01	0.20022E+00	0.10235E+01	0.79671E-02	-	-	0.63956E-02	0.16493E-01
23	0.11002E+01	0.19986E+00	0.10220E+01	0.84072E-02	-	-	0.28940E-02	0.16074E-01
24	0.11002E+01	0.15989E+00	0.10199E+01	0.10090E-01	-	-	0.34200E-02	0.19718E-01
25	0.11002E+01	0.11993E+00	0.10160E+01	0.86225E-02	-	-	0.10034E-01	0.18684E-01
26	0.11002E+01	0.79844E-01	0.10131E+01	0.88763E-02	-	-	0.11013E-01	0.19990E-01
27	0.11002E+01	0.39758E-01	0.10079E+01	0.10116E-01	-	-	0.23305E-01	0.31081E-01
28	0.11002E+01	-0.85220E-04	0.10015E+01	0.22166E-01	-	-	-0.75910E-02	0.61093E-01
29	0.11002E+01	-0.40293E-01	0.10716E+01	0.46996E-01	-	-	-0.11676E+00	0.67250E-01
30	0.11002E+01	-0.80258E-01	0.99050E+00	0.43242E-01	-	-	0.16066E+00	0.70776E-01
31	0.11002E+01	-0.12010E+00	0.10229E+01	0.85562E-02	-	-	0.66656E-01	0.25599E-01
32	0.11002E+01	-0.16019E+00	0.10155E+01	0.83103E-02	-	-	0.57233E-01	0.17512E-01
33	0.11002E+01	-0.20027E+00	0.10137E+01	0.77609E-02	-	-	0.48545E-01	0.14927E-01
34	0.10996E+01	-0.20027E+00	0.10164E+01	0.69665E-02	-	-	0.49076E-01	0.14813E-01
35	0.97970E+00	-0.20027E+00	0.10078E+01	0.76562E-02	-	-	0.36887E-01	0.48902E-01
36	0.85993E+00	-0.20027E+00	0.10184E+01	0.11671E-01	-	-	-0.11963E-01	0.55691E-01
37	0.73979E+00	-0.20027E+00	0.10266E+01	0.11927E-01	-	-	-0.63284E-01	0.51373E-01



38	0.61990E+00	-0.20027E+00	0.10352E+01	0.11069E-01	-	-0.16776E-01	0.46367E-01
39	0.49988E+00	-0.20027E+00	0.10373E+01	0.10321E-01	-	-0.67531E-01	0.57387E-01
40	0.37987E+00	-0.20027E+00	0.10360E+01	0.11270E-01	-	-0.11392E+00	0.51941E-01
41	0.25973E+00	-0.20027E+00	0.10278E+01	0.11450E-01	-	-0.15652E+00	0.53830E-01
42	0.13984E+00	-0.20027E+00	0.10107E+01	0.11614E-01	-	-0.11662E+00	0.54812E-01
43	0.19700E-01	-0.20027E+00	0.99184E+00	0.12171E-01	-	-0.85788E-01	0.53953E-01
44	-0.10007E+00	-0.20027E+00	0.98446E+00	0.11113E-01	-	0.10387E-01	0.29963E-01

I1 - 0.0476    I2 - 2.5674    I3 - -0.0244    I4 - -2.4454

Lift - 0.1451

Rectangular Tip

Inboard angle = 6.6 Tip angle = 7.3 Delta theta = 0.7

Circulation box no. 15 at y/c = -1.483

NPT	x/c	z/c	u/U	$\sigma_u$	v/U	$\sigma_v$	w/U	$\sigma_w$
1	-0.10019E+00	-0.20015E+00	0.98734E+00	0.99251E-02	-	-	0.18589E-01	0.16355E-01
2	-0.10019E+00	-0.15970E+00	0.98349E+00	0.80671E-02	-	-	0.20279E-01	0.13621E-01
3	-0.10019E+00	-0.11974E+00	0.97754E+00	0.85916E-02	-	-	0.26062E-01	0.16358E-01
4	-0.10019E+00	-0.79772E-01	0.97171E+00	0.91124E-02	-	-	0.37446E-01	0.17539E-01
5	-0.10019E+00	-0.39928E-01	0.96873E+00	0.79549E-02	-	-	0.42978E-01	0.16505E-01
6	-0.10019E+00	0.15778E-03	0.97007E+00	0.12278E-01	-	-	0.63932E-01	0.19971E-01
7	-0.10019E+00	0.40123E-01	0.98116E+00	0.77683E-02	-	-	0.70463E-01	0.15081E-01
8	-0.10019E+00	0.80087E-01	0.99713E+00	0.73271E-02	-	-	0.77484E-01	0.16437E-01
9	-0.10019E+00	0.12017E+00	0.10117E+01	0.72831E-02	-	-	0.79400E-01	0.15706E-01
10	-0.10019E+00	0.16014E+00	0.10240E+01	0.88782E-02	-	-	0.80626E-01	0.15970E-01
11	-0.10019E+00	0.20010E+00	0.10331E+01	0.85668E-02	-	-	0.68152E-01	0.15867E-01
12	-0.99465E-01	0.20010E+00	0.10308E+01	0.83050E-02	-	-	0.62151E-01	0.14211E-01
13	0.20307E-01	0.20010E+00	0.10621E+01	0.73970E-02	-	-	0.81945E-01	0.14771E-01
14	0.14008E+00	0.20010E+00	0.10990E+01	0.97703E-02	-	-	0.77624E-01	0.23387E-01
15	0.26034E+00	0.20010E+00	0.11033E+01	0.90223E-02	-	-	0.34831E-01	0.16421E-01
16	0.38011E+00	0.20010E+00	0.10957E+01	0.67859E-02	-	-	0.19987E-01	0.16981E-01
17	0.50037E+00	0.20010E+00	0.10756E+01	0.80783E-02	-	-	0.24730E-02	0.95457E-02
18	0.62014E+00	0.20010E+00	0.10605E+01	0.79851E-02	-	-	-0.83189E-02	0.14800E-01
19	0.74028E+00	0.20010E+00	0.10495E+01	0.74083E-02	-	-	-0.20193E-02	0.16324E-01
20	0.86029E+00	0.20010E+00	0.10364E+01	0.74185E-02	-	-	0.63629E-02	0.16629E-01
21	0.98006E+00	0.20010E+00	0.10278E+01	0.10471E-01	-	-	0.98077E-02	0.13239E-01
22	0.11001E+01	0.20010E+00	0.10225E+01	0.78602E-02	-	-	0.26962E-01	0.16405E-01
23	0.11001E+01	0.19986E+00	0.10227E+01	0.87102E-02	-	-	0.12250E-01	0.14538E-01
24	0.11001E+01	0.15977E+00	0.10196E+01	0.78644E-02	-	-	0.24388E-01	0.14359E-01
25	0.11001E+01	0.11993E+00	0.10144E+01	0.75693E-02	-	-	0.42692E-01	0.18347E-01
26	0.11001E+01	0.79844E-01	0.10122E+01	0.92237E-02	-	-	0.67772E-01	0.18948E-01
27	0.11001E+01	0.39880E-01	0.10043E+01	0.92802E-02	-	-	0.11624E+00	0.29088E-01
28	0.11001E+01	-0.85220E-04	0.98899E+00	0.18371E-01	-	-	0.27856E+00	0.44687E-01
29	0.11001E+01	-0.40171E-01	0.98983E+00	0.53525E-01	-	-	0.38992E+00	0.52787E-01
30	0.11001E+01	-0.80136E-01	0.92369E+00	0.59418E-01	-	-	0.28398E+00	0.79207E-01
31	0.11001E+01	-0.16007E+00	0.10253E+01	0.10098E-01	-	-	0.13160E+00	0.17638E-01
32	0.11001E+01	-0.16007E+00	0.10171E+01	0.85282E-02	-	-	0.93288E-01	0.14746E-01
33	0.11001E+01	-0.20015E+00	0.10149E+01	0.72081E-02	-	-	0.71907E-01	0.13868E-01
34	0.10995E+01	-0.20015E+00	0.10145E+01	0.64603E-02	-	-	0.70344E-01	0.12317E-01
35	0.97982E+00	-0.20015E+00	0.10109E+01	0.77440E-02	-	-	0.61470E-01	0.43988E-01
36	0.85981E+00	-0.20015E+00	0.10191E+01	0.74388E-02	-	-	0.37148E-01	0.53013E-01
37	0.73967E+00	-0.20015E+00	0.10318E+01	0.80699E-02	-	-	-0.10084E-01	0.50738E-01

38	0.61978E+00	-0.20015E+00	0.10347E+01	0.75783E-02	-	0.57777E-01	0.13383E-01
39	0.49964E+00	-0.20015E+00	0.10381E+01	0.71541E-02	-	0.45620E-01	0.46629E-01
40	0.37987E+00	-0.20015E+00	0.10364E+01	0.71522E-02	-	0.26212E-01	0.48637E-01
41	0.25973E+00	-0.20015E+00	0.10261E+01	0.84391E-02	-	0.63146E-02	0.47862E-01
42	0.13984E+00	-0.20015E+00	0.10105E+01	0.83373E-02	-	0.10221E-01	0.21339E-01
43	0.19700E-01	-0.20015E+00	0.99375E+00	0.95433E-02	-	-0.22090E-02	0.18575E-01
44	-0.10007E+00	-0.20015E+00	0.99050E+00	0.81525E-02	-	0.53817E-02	0.10753E-01

I1 = 0.0438    I2 = 2.5528    I3 = -0.1183    I4 = -2.4487

Lift = 0.0296

0.3

Rectangular Tip

Inboard angle = 6.6 Tip angle = 7.3 Delta theta = 0.7

Circulation box no. 16 at  $y/c = -1.503$

NPT	x/c	z/c	u/U	$\sigma_u$	v/U	$\sigma_v$	w/U	$\sigma_w$
1	-0.10007E+00	-0.20003E+00	0.99200E+00	0.68963E-02	-	-	0.13628E-01	0.14347E-01
2	-0.10007E+00	-0.15970E+00	0.98728E+00	0.72617E-02	-	-	0.22023E-01	0.15766E-01
3	-0.10007E+00	-0.11974E+00	0.98317E+00	0.83751E-02	-	-	0.33350E-01	0.18349E-01
4	-0.10007E+00	-0.79772E-01	0.97930E+00	0.87108E-02	-	-	0.37429E-01	0.12780E-01
5	-0.10007E+00	-0.39928E-01	0.97644E+00	0.72464E-02	-	-	0.44532E-01	0.16999E-01
6	-0.10007E+00	0.15778E-03	0.98046E+00	0.12542E-01	-	-	0.61814E-01	0.15908E-01
7	-0.10007E+00	0.40123E-01	0.98917E+00	0.82487E-02	-	-	0.70166E-01	0.16140E-01
8	-0.10007E+00	0.80087E-01	0.10021E+01	0.82936E-02	-	-	0.78438E-01	0.16531E-01
9	-0.10007E+00	0.12017E+00	0.10162E+01	0.81493E-02	-	-	0.76094E-01	0.16530E-01
10	-0.10007E+00	0.16014E+00	0.10251E+01	0.74464E-02	-	-	0.77765E-01	0.13505E-01
11	-0.10007E+00	0.20010E+00	0.10326E+01	0.70795E-02	-	-	0.68306E-01	0.16046E-01
12	-0.99344E-01	0.20010E+00	0.10293E+01	0.81048E-02	-	-	0.57130E-01	0.11672E-01
13	0.20428E-01	0.20010E+00	0.10601E+01	0.63624E-02	-	-	0.84404E-01	0.14768E-01
14	0.14020E+00	0.20010E+00	0.10883E+01	0.74288E-02	-	-	0.72168E-01	0.34684E-01
15	0.26034E+00	0.20010E+00	0.10953E+01	0.71684E-02	-	-	0.40040E-01	0.18137E-01
16	0.38023E+00	0.20010E+00	0.10879E+01	0.78760E-02	-	-	0.20996E-01	0.14252E-01
17	0.50037E+00	0.20010E+00	0.10727E+01	0.74266E-02	-	-	0.15094E-01	0.15142E-01
18	0.62014E+00	0.20010E+00	0.10602E+01	0.79797E-02	-	-	0.14167E-01	0.15291E-01
19	0.74028E+00	0.20010E+00	0.10466E+01	0.85405E-02	-	-	0.15340E-02	0.15411E-01
20	0.86041E+00	0.20010E+00	0.10336E+01	0.83390E-02	-	-	0.70009E-02	0.11779E-01
21	0.98006E+00	0.20010E+00	0.10269E+01	0.79835E-02	-	-	0.19513E-01	0.12775E-01
22	0.11001E+01	0.20010E+00	0.10180E+01	0.75811E-02	-	-	0.31725E-01	0.16238E-01
23	0.11001E+01	0.19986E+00	0.10227E+01	0.74677E-02	-	-	0.24478E-01	0.17038E-01
24	0.11001E+01	0.15977E+00	0.10189E+01	0.82854E-02	-	-	0.34440E-01	0.16501E-01
25	0.11001E+01	0.11993E+00	0.10143E+01	0.80725E-02	-	-	0.60198E-01	0.16391E-01
26	0.11001E+01	0.79844E-01	0.10107E+01	0.92169E-02	-	-	0.90407E-01	0.25158E-01
27	0.11001E+01	0.39880E-01	0.10043E+01	0.97708E-02	-	-	0.15262E+00	0.27515E-01
28	0.11001E+01	-0.85220E-04	0.99237E+00	0.11314E-01	-	-	0.30705E+00	0.45219E-01
29	0.11001E+01	-0.40171E-01	0.94973E+00	0.53530E-01	-	-	0.38289E+00	0.53592E-01
30	0.11001E+01	-0.80136E-01	0.95892E+00	0.59606E-01	-	-	0.19502E+00	0.66448E-01
31	0.11001E+01	-0.12010E+00	0.10210E+01	0.98556E-02	-	-	0.14572E+00	0.17690E-01
32	0.11001E+01	-0.16007E+00	0.10182E+01	0.82277E-02	-	-	0.10844E+00	0.13743E-01
33	0.11001E+01	-0.20027E+00	0.10131E+01	0.79319E-02	-	-	0.88769E-01	0.12154E-01
34	0.10995E+01	-0.20027E+00	0.10148E+01	0.79021E-02	-	-	0.82435E-01	0.14294E-01
35	0.97982E+00	-0.20027E+00	0.10146E+01	0.10350E-01	-	-	0.82218E-01	0.43189E-01
36	0.85981E+00	-0.20027E+00	0.10214E+01	0.77380E-02	-	-	0.64743E-01	0.44195E-01
37	0.73967E+00	-0.20027E+00	0.10318E+01	0.72616E-02	-	-	0.36040E-01	0.45036E-01

38	0.61990E+00	-0.20027E+00	0.10353E+01	0.81304E-02	-	0.63058E-01	0.17198E-01
39	0.49976E+00	-0.20027E+00	0.10340E+01	0.80035E-02	-	0.53078E-01	0.41667E-01
40	0.37950E+00	-0.20027E+00	0.10328E+01	0.78876E-02	-	0.33056E-01	0.47126E-01
41	0.25973E+00	-0.20027E+00	0.10272E+01	0.82044E-02	-	-0.13120E-01	0.50949E-01
42	0.13959E+00	-0.20027E+00	0.10130E+01	0.69816E-02	-	0.36897E-02	0.27840E-01
43	0.19700E-01	-0.20027E+00	0.99437E+00	0.85048E-02	-	0.11116E-01	0.17872E-01
44	-0.10032E+00	-0.20027E+00	0.98994E+00	0.75219E-02	-	0.24481E-01	0.14683E-01

I1 - 0.0437    I2 - 2.5435    I3 - -0.1210    I4 - -2.4494

Lift - 0.0168

Rectangular Tip

Inboard angle = 6.6 Tip angle = 7.3 Delta theta = 0.7

Circulation box no. 17 at y/c = -1.503

NPT	x/c	z/c	u/U	$\sigma_u$	v/U	$\sigma_v$	w/U	$\sigma_w$
1	-0.10044E+00	-0.20003E+00	0.99170E+00	0.73236E-02	-	-	0.24164E-01	0.22691E-01
2	-0.10044E+00	-0.15982E+00	0.98658E+00	0.59391E-02	-	-	0.22465E-01	0.15368E-01
3	-0.10044E+00	-0.11986E+00	0.98232E+00	0.6306E-02	-	-	0.24832E-01	0.18694E-01
4	-0.10044E+00	-0.79893E-01	0.97549E+00	0.67684E-02	-	-	0.39121E-01	0.23137E-01
5	-0.10044E+00	-0.39807E-01	0.97340E+00	0.73246E-02	-	-	0.43662E-01	0.20962E-01
6	-0.10044E+00	0.15778E-03	0.97738E+00	0.10770E-01	-	-	0.66458E-01	0.21980E-01
7	-0.10044E+00	0.40244E-01	0.98662E+00	0.66296E-02	-	-	0.80037E-01	0.23013E-01
8	-0.10044E+00	0.80208E-01	0.10023E+01	0.68531E-02	-	-	0.85558E-01	0.21288E-01
9	-0.10044E+00	0.12029E+00	0.10150E+01	0.73281E-02	-	-	0.82603E-01	0.23932E-01
10	-0.10044E+00	0.16026E+00	0.10264E+01	0.69549E-02	-	-	0.77247E-01	0.20353E-01
11	-0.10044E+00	0.20022E+00	0.10337E+01	0.93323E-02	-	-	0.69664E-01	0.21450E-01
12	-0.99708E-01	0.20022E+00	0.10332E+01	0.69028E-02	-	-	0.63168E-01	0.15742E-01
13	0.20064E-01	0.20022E+00	0.10588E+01	0.82919E-02	-	-	0.74053E-01	0.19599E-01
14	0.14020E+00	0.20022E+00	0.10979E+01	0.92016E-02	-	-	0.91104E-01	0.34025E-01
15	0.26009E+00	0.20022E+00	0.11026E+01	0.90903E-02	-	-	0.48687E-01	0.26736E-01
16	0.38023E+00	0.20022E+00	0.10889E+01	0.90534E-02	-	-	0.27462E-01	0.19470E-01
17	0.50013E+00	0.20022E+00	0.10726E+01	0.94260E-02	-	-	0.14139E-01	0.20889E-01
18	0.62026E+00	0.20022E+00	0.10622E+01	0.73952E-02	-	-	0.95065E-02	0.17833E-01
19	0.74016E+00	0.20022E+00	0.10472E+01	0.70837E-02	-	-	-0.60978E-04	0.17121E-01
20	0.86017E+00	0.20022E+00	0.10375E+01	0.70383E-02	-	-	0.19594E-01	0.14993E-01
21	0.98019E+00	0.20022E+00	0.10293E+01	0.79837E-02	-	-	0.18216E-01	0.20407E-01
22	0.11001E+01	0.20022E+00	0.10229E+01	0.85407E-02	-	-	0.32770E-01	0.20446E-01
23	0.11001E+01	0.19886E+00	0.10241E+01	0.74503E-02	-	-	0.31966E-01	0.20946E-01
24	0.11001E+01	0.15989E+00	0.10203E+01	0.73927E-02	-	-	0.34532E-01	0.20058E-01
25	0.11001E+01	0.11993E+00	0.10173E+01	0.77861E-02	-	-	0.50823E-01	0.22918E-01
26	0.11001E+01	0.79844E-01	0.10121E+01	0.79903E-02	-	-	0.85646E-01	0.23903E-01
27	0.11001E+01	0.39758E-01	0.10045E+01	0.95426E-02	-	-	0.15348E+00	0.29901E-01
28	0.11001E+01	-0.85220E-04	0.99243E+00	0.12227E-01	-	-	0.29474E+00	0.41301E-01
29	0.11001E+01	-0.40293E-01	0.96345E+00	0.52594E-01	-	-	0.37483E+00	0.49980E-01
30	0.11001E+01	-0.80258E-01	0.95076E+00	0.63909E-01	-	-	0.22950E+00	0.74735E-01
31	0.11001E+01	-0.12010E+00	0.10251E+01	0.94352E-02	-	-	0.15256E+00	0.23961E-01
32	0.11001E+01	-0.16019E+00	0.10191E+01	0.74824E-02	-	-	0.11011E+00	0.22714E-01
33	0.11001E+01	-0.20027E+00	0.10163E+01	0.77215E-02	-	-	0.85239E-01	0.20422E-01
34	0.10996E+01	-0.20027E+00	0.10156E+01	0.68416E-02	-	-	0.83534E-01	0.19787E-01
35	0.97982E+00	-0.20027E+00	0.10126E+01	0.86047E-02	-	-	0.43537E-01	0.46516E-01
36	0.85981E+00	-0.20027E+00	0.10234E+01	0.79829E-02	-	-	0.32014E-02	0.57324E-01
37	0.73991E+00	-0.20027E+00	0.10278E+01	0.78314E-02	-	-	-0.39893E-01	0.42992E-01

38	0.61990E+00	-0.20027E+00	0.10330E+01	0.81052E-02	-	-	-0.23290E-01	0.48090E-01
39	0.49988E+00	-0.20027E+00	0.10403E+01	0.62805E-02	-	-	-0.64407E-01	0.50155E-01
40	0.37987E+00	-0.20027E+00	0.10373E+01	0.84215E-02	-	-	-0.99401E-01	0.58897E-01
41	0.25961E+00	-0.20027E+00	0.10308E+01	0.75689E-02	-	-	-0.13835E+00	0.53581E-01
42	0.13984E+00	-0.20027E+00	0.10151E+01	0.65646E-02	-	-	-0.10901E+00	0.55763E-01
43	0.19578E-01	-0.20027E+00	0.99897E+00	0.78563E-02	-	-	-0.75261E-01	0.48198E-01
44	-0.10007E+00	-0.20027E+00	0.99095E+00	0.67335E-02	-	-	0.43720E-02	0.24654E-01

I1 - 0.0459 I2 - 2.5497 I3 - -0.1226 I4 - -2.4533

Lift - 0.0196

**Appendix C**

**Wake Velocity Survey**



Inboard angle = 6.6 Tip angle = 7.3 Delta theta = 0.7

Scan plane no. 1 at x/c = 1.050

NPT	y/c	z/c	u/u	$\sigma_u$	v/u	$\sigma_v$	w/u	$\sigma_w$
1	-0.20029E+01	-0.49995E+00	0.10215E+01	0.10024E-01	-0.54715E-01	0.98494E-01	0.35506E-01	0.13944E-01
2	-0.20029E+01	-0.24983E+00	0.10228E+01	0.88769E-02	-0.39073E-01	0.93553E-01	0.41852E-01	0.12630E-01
3	-0.20029E+01	0.15778E-03	0.10275E+01	0.75883E-02	-0.52923E-02	0.94365E-01	0.38996E-01	0.14398E-01
4	-0.20029E+01	0.25015E+00	0.10297E+01	0.79048E-02	0.15130E-01	0.89670E-01	0.34050E-01	0.12931E-01
5	-0.20029E+01	0.50014E+00	0.10327E+01	0.86705E-02	-0.51038E-02	0.97186E-01	0.23477E-01	0.13026E-01
6	-0.17529E+01	0.50002E+00	0.10361E+01	0.89293E-02	0.31897E-01	0.85882E-01	0.12246E-01	0.11591E-01
7	-0.17529E+01	0.24991E+00	0.10335E+01	0.85273E-02	0.28540E-01	0.11581E+00	0.36145E-01	0.17448E-01
8	-0.17529E+01	-0.85220E-04	0.10288E+01	0.90367E-02	-0.26133E-02	0.10435E+00	0.78705E-01	0.15326E-01
9	-0.17529E+01	-0.25008E+00	0.10206E+01	0.83760E-02	-0.48293E-01	0.10100E+00	0.59061E-01	0.14247E-01
10	-0.17529E+01	-0.50007E+00	0.10185E+01	0.81383E-02	-0.73401E-01	0.97651E-01	0.44931E-01	0.13288E-01
11	-0.15031E+01	-0.49995E+00	0.10167E+01	0.92250E-02	-0.69547E-01	0.10277E+00	0.23083E-01	0.13852E-01
12	-0.15031E+01	-0.24983E+00	0.10166E+01	0.91983E-02	-0.12776E+00	0.18798E+00	0.85716E-01	0.13781E-01
13	-0.15031E+01	0.15778E-03	0.10151E+01	0.10242E-01	0.14884E+00	0.18798E+00	0.85716E-01	0.23527E-01
14	-0.15031E+01	0.25015E+00	0.10379E+01	0.10141E-01	0.76389E-01	0.11187E+00	0.13472E-01	0.15529E-01
15	-0.15031E+01	0.50014E+00	0.10407E+01	0.10417E-01	0.14921E-01	0.12252E+00	0.12981E-01	0.19435E-01
16	-0.12541E+01	0.50002E+00	0.10444E+01	0.11416E-01	0.44676E-01	0.10113E+00	-0.16951E-01	0.13831E-01
17	-0.12541E+01	0.24991E+00	0.10427E+01	0.99249E-02	0.80821E-01	0.12012E+00	-0.35861E-01	0.15410E-01
18	-0.12541E+01	-0.85220E-04	0.10126E+01	0.93502E-02	0.10624E+00	0.99902E-01	-0.94593E-01	0.15119E-01
19	-0.12541E+01	-0.25008E+00	0.10018E+01	0.10865E-01	-0.10187E+00	0.90439E-01	-0.22258E-01	0.11882E-01
20	-0.12541E+01	-0.50007E+00	0.10105E+01	0.11510E-01	-0.85486E-01	0.10913E+00	-0.76276E-03	0.12487E-01
21	-0.10008E+01	-0.49995E+00	0.10043E+01	0.11739E-01	-0.70213E-01	0.10951E+00	-0.18132E-01	0.14460E-01
22	-0.10008E+01	-0.24983E+00	0.99165E+00	0.12292E-01	-0.71898E-01	0.98334E-01	-0.41913E-01	0.13880E-01
23	-0.10008E+01	0.15778E-03	0.10017E+01	0.10947E-01	0.69829E-01	0.99280E-01	-0.11103E+00	0.13140E-01
24	-0.10008E+01	0.25015E+00	0.10388E+01	0.11524E-01	0.79248E-01	0.11711E+00	-0.66794E-01	0.15256E-01
25	-0.10008E+01	0.50014E+00	0.10460E+01	0.11983E-01	0.42921E-01	0.12507E+00	-0.33731E-01	0.17416E-01
26	-0.75006E+00	0.50002E+00	0.10494E+01	0.13356E-01	0.43305E-01	0.98121E-01	-0.47998E-01	0.11504E-01
27	-0.75006E+00	0.24991E+00	0.10374E+01	0.13818E-01	0.65856E-01	0.12005E+00	-0.81316E-01	0.15885E-01
28	-0.75006E+00	-0.85220E-04	0.10003E+01	0.14479E-01	0.68161E-01	0.76894E-01	-0.12094E+00	0.99857E-02
29	-0.75006E+00	-0.25008E+00	0.98901E+00	0.12298E-01	-0.31207E-01	0.88192E-01	-0.52074E-01	0.10575E-01
30	-0.75006E+00	-0.50007E+00	0.10024E+01	0.14343E-01	-0.65452E-01	0.10434E+00	-0.28514E-01	0.13159E-01
31	-0.49800E+00	-0.49995E+00	0.10022E+01	0.13908E-01	-0.54979E-01	0.11291E+00	-0.32755E-01	0.15168E-01
32	-0.49800E+00	-0.24983E+00	0.99027E+00	0.14993E-01	-0.30923E-01	0.89924E-01	-0.46950E-01	0.13158E-01
33	-0.49800E+00	0.15778E-03	0.99376E+00	0.14370E-01	0.27065E-01	0.10071E+00	-0.11488E+00	0.14507E-01
34	-0.49800E+00	0.25015E+00	0.10363E+01	0.13093E-01	0.58749E-01	0.10825E+00	-0.89132E-01	0.12881E-01
35	-0.49800E+00	0.50014E+00	0.10506E+01	0.13411E-01	0.12075E-01	0.12641E+00	-0.53177E-01	0.18337E-01
36	-0.24719E+00	0.50002E+00	0.10562E+01	0.17424E-01	0.15941E-01	0.11975E+00	-0.60289E-01	0.16645E-01
37	-0.24719E+00	0.24991E+00	0.10395E+01	0.14775E-01	0.37546E-01	0.12208E+00	-0.89596E-01	0.16795E-01

38	-0.24719E+00	0.10038E+01	0.21558E-01	0.28719E-01	0.94278E-01	-0.11943E+00	0.13433E-01
39	-0.24719E+00	0.99070E+00	0.14304E-01	-0.12646E-01	0.97364E-01	-0.48267E-01	0.14632E-01
40	-0.24719E+00	0.10022E+01	0.15039E-01	-0.39200E-01	0.11688E+00	-0.36301E-01	0.15677E-01
41	0.32079E-02	0.10054E+01	0.18447E-01	-0.31022E-01	0.10600E+00	-0.38822E-01	0.14047E-01
42	0.32079E-02	0.99017E+00	0.17129E-01	-0.29841E-01	0.96440E-01	-0.44639E-01	0.13694E-01
43	0.32079E-02	0.91536E+00	0.64756E-01	-0.17562E+00	0.78425E+00	0.23780E-01	0.83956E-01
44	0.32079E-02	0.10300E+01	0.23721E-01	0.26642E-01	0.15714E+00	-0.82899E-01	0.21313E-01
45	0.32079E-02	0.10575E+01	0.19069E-01	0.83962E-02	0.15490E+00	-0.63186E-01	0.19760E-01
46	0.25423E+00	0.10605E+01	0.18551E-01	0.16621E-01	0.16320E+00	-0.67777E-01	0.22089E-01
47	0.25423E+00	0.10486E+01	0.22101E-01	0.39788E-01	0.14030E+00	-0.95179E-01	0.18674E-01
48	0.25423E+00	0.10104E+01	0.22160E-01	0.26363E-01	0.11230E+00	-0.12417E+00	0.16037E-01
49	-0.25008E+00	0.99266E+00	0.20218E-01	-0.93995E-02	0.12638E+00	-0.56776E-01	0.17997E-01
50	-0.25008E+00	0.10016E+01	0.15848E-01	-0.31694E-01	0.11951E+00	-0.41075E-01	0.15765E-01
51	0.50314E+00	0.10058E+01	0.19080E-01	-0.24539E-01	0.15691E+00	-0.41146E-01	0.25051E-01
52	0.50314E+00	0.98977E+00	0.14676E-01	-0.26724E-01	0.14240E+00	-0.53651E-01	0.17092E-01
53	0.50314E+00	0.10030E+01	0.14509E-01	0.17816E-01	0.10259E+00	-0.11556E+00	0.11020E-01
54	0.50314E+00	0.10452E+01	0.13238E-01	0.20803E-01	0.17868E+00	-0.95254E-01	0.23696E-01
55	0.50314E+00	0.10586E+01	0.12425E-01	-0.28958E-01	0.25137E+00	-0.67266E-01	0.34652E-01
56	0.75313E+00	0.10628E+01	0.15822E-01	-0.14824E+00	0.31714E+00	-0.66583E-01	0.22964E-01
57	0.75313E+00	0.10491E+01	0.17181E-01	0.11423E-01	0.21994E+00	-0.98427E-01	0.27768E-01
58	0.75313E+00	0.10028E+01	0.14822E-01	-0.19312E-02	0.15663E+00	-0.11252E+00	0.18880E-01
59	0.75313E+00	0.99209E+00	0.15953E-01	-0.26505E-01	0.17116E+00	-0.50151E-01	0.21474E-01
60	-0.49995E+00	0.10039E+01	0.16119E-01	-0.53818E-01	0.15201E+00	-0.39382E-01	0.16378E-01
61	-0.50007E+00	0.10025E+01	0.13471E-01	-0.64942E-01	0.14790E+00	-0.38126E-01	0.13506E-01
62	0.10015E+01	0.99107E+00	0.14057E-01	-0.36333E-01	0.15966E+00	-0.50405E-01	0.16204E-01
63	0.10015E+01	0.10055E+01	0.15590E-01	-0.86554E-02	0.14383E+00	-0.11214E+00	0.14726E-01
64	0.10015E+01	0.10510E+01	0.14806E-01	-0.62490E-02	0.20238E+00	-0.93370E-01	0.25476E-01
65	0.10015E+01	0.10661E+01	0.14768E-01	-0.32925E-01	0.19736E+00	-0.67973E-01	0.24041E-01

Inboard angle = 6.6 Tip angle = 2.3 Delta theta = -4.3

Scan plane no. 1 at x/c = 1.050

NPT	y/c	z/c	u/U	$\sigma_u$	v/U	$\sigma_v$	w/U	$\sigma_w$
1	-0.20029E+01	-0.49982E+00	0.10229E+01	0.85276E-02	-0.60267E-01	0.12308E+00	0.27098E-01	0.16041E-01
2	-0.20029E+01	-0.24983E+00	0.10226E+01	0.72665E-02	-0.62981E-01	0.14204E+00	0.28165E-01	0.19929E-01
3	-0.20029E+01	0.15778E-03	0.10259E+01	0.71529E-02	-0.40780E-01	0.13662E+00	0.26178E-01	0.18948E-01
4	-0.20029E+01	0.25015E+00	0.10278E+01	0.74570E-02	-0.12295E-01	0.11968E+00	0.18736E-01	0.16624E-01
5	-0.20029E+01	0.50014E+00	0.10283E+01	0.66777E-02	-0.18038E-01	0.13628E+00	0.18498E-01	0.19160E-01
6	-0.17529E+01	0.50002E+00	0.10311E+01	0.71019E-02	0.12391E-01	0.10120E+00	0.14016E-01	0.15720E-01
7	-0.17529E+01	0.24991E+00	0.10284E+01	0.76447E-02	0.91294E-02	0.96443E-01	0.27056E-01	0.14487E-01
8	-0.17529E+01	-0.85220E-04	0.10256E+01	0.78213E-02	-0.25620E-01	0.11213E+00	0.43269E-01	0.16841E-01
9	-0.17529E+01	-0.25008E+00	0.10236E+01	0.79448E-02	-0.45720E-01	0.11703E+00	0.37738E-01	0.16824E-01
10	-0.17529E+01	-0.50007E+00	0.10205E+01	0.64616E-02	-0.36044E-01	0.10410E+00	0.18781E-01	0.16698E-01
11	-0.15031E+01	-0.49995E+00	0.10200E+01	0.87036E-02	-0.60739E-01	0.10379E+00	0.28494E-01	0.15685E-01
12	-0.15031E+01	-0.24983E+00	0.10187E+01	0.79908E-02	-0.62673E-01	0.10760E+00	0.41391E-01	0.17462E-01
13	-0.15031E+01	0.15778E-03	0.10056E+01	0.90176E-02	0.29119E-01	0.22463E+00	0.11452E+00	0.31387E-01
14	-0.15031E+01	0.25015E+00	0.10314E+01	0.80875E-02	0.27072E-01	0.13417E+00	0.17603E-01	0.22637E-01
15	-0.15031E+01	0.50014E+00	0.10338E+01	0.83458E-02	0.10271E-01	0.11689E+00	0.14165E-01	0.17763E-01
16	-0.12526E+01	0.50002E+00	0.10378E+01	0.10264E-01	0.20518E-01	0.12135E+00	0.21024E-03	0.17131E-01
17	-0.12526E+01	0.24978E+00	0.10322E+01	0.78949E-02	0.41514E-01	0.10402E+00	-0.10959E-01	0.13884E-01
18	-0.12526E+01	-0.25008E+00	0.10127E+01	0.99076E-02	0.53490E-01	0.10428E+00	-0.41629E-01	0.15619E-01
19	-0.12526E+01	-0.50007E+00	0.10179E+01	0.91978E-02	-0.66860E-01	0.10308E+00	-0.13043E-01	0.15835E-01
20	-0.12526E+01	-0.49995E+00	0.10159E+01	0.11233E-01	-0.30691E-01	0.10756E+00	0.19535E-01	0.15241E-01
21	-0.10008E+01	-0.49995E+00	0.10043E+01	0.99540E-02	-0.45356E-01	0.12341E+00	0.35009E-02	0.18514E-01
22	-0.10008E+01	-0.24983E+00	0.10043E+01	0.99540E-02	-0.45356E-01	0.13999E+00	0.56410E-02	0.24349E-01
23	-0.10008E+01	0.15778E-03	0.98810E+00	0.11001E-01	-0.20020E-02	0.15955E+00	-0.43302E-01	0.29778E-01
24	-0.10008E+01	0.25015E+00	0.10308E+01	0.10958E-01	0.38547E-01	0.13217E+00	-0.29479E-01	0.18259E-01
25	-0.10008E+01	0.50014E+00	0.10393E+01	0.10029E-01	0.33746E-01	0.12737E+00	-0.16218E-01	0.19230E-01
26	-0.75006E+00	0.50002E+00	0.10406E+01	0.99777E-02	0.28240E-01	0.10870E+00	-0.23065E-01	0.14526E-01
27	-0.75006E+00	0.24991E+00	0.10300E+01	0.10846E-01	0.54352E-01	0.10436E+00	-0.41825E-01	0.13129E-01
28	-0.75006E+00	-0.85220E-04	0.98978E+00	0.15373E-01	0.34698E-01	0.78434E-01	-0.57700E-01	0.87861E-02
29	-0.75006E+00	-0.25020E+00	0.10028E+01	0.12022E-01	-0.54851E-01	0.97557E-01	0.56977E-02	0.12012E-01
30	-0.75006E+00	-0.50007E+00	0.10129E+01	0.99312E-02	-0.49903E-01	0.11251E+00	0.27195E-02	0.14849E-01
31	-0.49800E+00	-0.49995E+00	0.10133E+01	0.14295E-01	-0.53774E-01	0.11201E+00	0.20852E-02	0.15035E-01
32	-0.49800E+00	-0.24983E+00	0.10020E+01	0.12152E-01	-0.38040E-01	0.93884E-01	0.54150E-02	0.12063E-01
33	-0.49800E+00	0.15778E-03	0.98389E+00	0.14483E-01	0.29122E-01	0.77962E-01	-0.47327E-01	0.10472E-01
34	-0.49800E+00	0.25015E+00	0.10297E+01	0.11863E-01	0.41593E-01	0.10709E+00	-0.44517E-01	0.13304E-01
35	-0.49800E+00	0.50014E+00	0.10415E+01	0.14105E-01	0.33494E-01	0.10973E+00	-0.35956E-01	0.13077E-01
36	-0.24719E+00	0.50002E+00	0.10455E+01	0.12195E-01	0.22659E-01	0.13219E+00	-0.39690E-01	0.18166E-01
37	-0.24719E+00	0.24991E+00	0.10332E+01	0.16394E-01	0.39775E-01	0.11129E+00	-0.49384E-01	0.15698E-01

38	-0.24719E+00	-0.85220E-04	0.98939E+00	0.19092E-01	0.33673E-01	0.88101E-01	-0.46376E-01	0.11313E-01
39	-0.24719E+00	-0.25020E+00	0.10003E+01	0.14074E-01	-0.56557E-01	0.89556E-01	0.77331E-02	0.11460E-01
40	-0.24719E+00	-0.50007E+00	0.10118E+01	0.12203E-01	-0.63343E-01	0.12075E+00	-0.23173E-02	0.14960E-01
41	0.32079E-02	-0.49995E+00	0.10165E+01	0.19518E-01	-0.69368E-01	0.11977E+00	-0.15464E-01	0.14791E-01
42	0.32079E-02	-0.24983E+00	0.10034E+01	0.16177E-01	-0.90660E-01	0.11602E+00	-0.87262E-02	0.14678E-01
43	0.32079E-02	0.15778E-03	0.10023E+01	0.22488E-01	0.17051E+00	0.33896E+00	-0.74922E-01	0.21794E-01
44	0.32079E-02	0.25027E+00	0.10404E+01	0.20962E-01	0.40712E-01	0.14984E+00	-0.66730E-01	0.17376E-01
45	0.32079E-02	0.50014E+00	0.10553E+01	0.21523E-01	0.10470E-01	0.17410E+00	-0.49555E-01	0.23353E-01
46	0.25423E+00	0.50002E+00	0.10549E+01	0.16254E-01	0.27332E-01	0.17847E+00	-0.61485E-01	0.27850E-01
47	0.25423E+00	0.24991E+00	0.10446E+01	0.18442E-01	0.47684E-01	0.13886E+00	-0.86085E-01	0.19003E-01
48	0.25423E+00	-0.85220E-04	0.10110E+01	0.17290E-01	0.48092E-01	0.86048E-01	-0.11971E+00	0.10813E-01
49	0.25423E+00	-0.25008E+00	0.99711E+00	0.14100E-01	-0.51386E-01	0.11946E+00	-0.51072E-01	0.18908E-01
50	0.25423E+00	-0.50007E+00	0.10094E+01	0.14100E-01	-0.44292E-01	0.11721E+00	-0.31634E-01	0.13910E-01
51	0.50314E+00	-0.49995E+00	0.10148E+01	0.21967E-01	-0.55820E-01	0.12685E+00	-0.37410E-01	0.16514E-01
52	0.50314E+00	-0.24983E+00	0.99926E+00	0.21570E-01	-0.34848E-01	0.13329E+00	-0.52622E-01	0.20167E-01
53	0.50314E+00	0.15778E-03	0.10061E+01	0.17922E-01	0.17033E-01	0.13959E+00	-0.11307E+00	0.22807E-01
54	0.50314E+00	0.25015E+00	0.10487E+01	0.25386E-01	0.52950E-01	0.20058E+00	-0.96642E-01	0.33134E-01
55	0.50314E+00	0.50014E+00	0.10595E+01	0.16627E-01	0.68525E-01	0.23394E+00	-0.79623E-01	0.40145E-01
56	0.75313E+00	0.50002E+00	0.10848E+01	0.38313E-01	0.63963E-02	0.23775E+00	-0.76091E-01	0.31321E-01
57	0.75313E+00	0.24991E+00	0.11139E+01	0.49785E-01	0.97176E-02	0.14936E+00	-0.93263E-01	0.16789E-01
58	0.75313E+00	-0.85220E-04	0.10099E+01	0.20912E-01	0.22590E-01	0.12912E+00	-0.11555E+00	0.14180E-01
59	0.75313E+00	-0.25020E+00	0.10050E+01	0.25436E-01	-0.37800E-01	0.18491E+00	-0.52170E-01	0.27109E-01
60	0.75313E+00	-0.50007E+00	0.10087E+01	0.15834E-01	-0.46802E-01	0.12664E+00	-0.41232E-01	0.13599E-01
61	0.10015E+01	-0.49995E+00	0.10117E+01	0.17552E-01	-0.41615E-01	0.13068E+00	-0.43448E-01	0.15254E-01
62	0.10015E+01	-0.24983E+00	0.10115E+01	0.31756E-01	-0.41152E-01	0.13506E+00	-0.50049E-01	0.15459E-01
63	0.10015E+01	0.15778E-03	0.10095E+01	0.17049E-01	-0.33350E-02	0.11039E+00	-0.11218E+00	0.12604E-01
64	0.10015E+01	0.25015E+00	0.10503E+01	0.19418E-01	0.85524E-02	0.17999E+00	-0.94327E-01	0.21229E-01
65	0.10015E+01	0.50014E+00	0.10649E+01	0.19245E-01	0.93948E-01	0.26902E+00	-0.94808E-01	0.43431E-01

Inboard angle = 6.6 Tip angle = -2.1 Delta theta = -8.7

Scan plane no. 1 at x/c = 1.050

NPT	y/c	z/c	u/U	$\sigma_u$	v/U	$\sigma_v$	w/U	$\sigma_w$
1	-0.20029E+01	-0.49995E+00	0.10242E+01	0.72605E-02	-0.40967E-01	0.10626E+00	0.11610E-01	0.14813E-01
2	-0.20029E+01	-0.24983E+00	0.10232E+01	0.65888E-02	-0.29094E-01	0.93619E-01	0.83939E-02	0.13519E-01
3	-0.20029E+01	0.15778E-03	0.10260E+01	0.58537E-02	-0.37590E-01	0.10352E+00	0.19257E-01	0.14871E-01
4	-0.20029E+01	0.25015E+00	0.10262E+01	0.73672E-02	-0.92559E-02	0.11047E+00	0.22814E-02	0.14336E-01
5	-0.20029E+01	0.50014E+00	0.10261E+01	0.71611E-02	-0.23236E-01	0.11804E+00	0.74042E-02	0.16595E-01
6	-0.17529E+01	0.50002E+00	0.10266E+01	0.72054E-02	-0.72359E-02	0.98565E-01	0.90603E-02	0.14127E-01
7	-0.17529E+01	0.24978E+00	0.10268E+01	0.73482E-02	-0.13423E-01	0.10668E+00	0.10435E-01	0.16190E-01
8	-0.17529E+01	-0.85220E-04	0.10261E+01	0.75279E-02	-0.16596E-01	0.11026E+00	0.57868E-02	0.15390E-01
9	-0.17529E+01	-0.25008E+00	0.10250E+01	0.73104E-02	-0.64980E-02	0.93522E-01	0.11113E-01	0.14152E-01
10	-0.17529E+01	-0.50007E+00	0.10238E+01	0.72938E-02	-0.23371E-01	0.11026E+00	0.10435E-01	0.15390E-01
11	-0.15031E+01	-0.49995E+00	0.10247E+01	0.72229E-02	-0.31507E-01	0.97674E-01	0.16562E-01	0.12847E-01
12	-0.15031E+01	-0.24983E+00	0.10232E+01	0.77205E-02	-0.16013E-01	0.76591E-01	0.28597E-01	0.10780E-01
13	-0.15031E+01	0.15778E-03	0.10055E+01	0.14165E-01	-0.70695E-01	0.35745E+00	-0.30312E-01	0.43100E-01
14	-0.15031E+01	0.25015E+00	0.10248E+01	0.66342E-02	-0.39359E-02	0.10973E+00	0.11786E-01	0.15141E-01
15	-0.15031E+01	0.50014E+00	0.10282E+01	0.72096E-02	-0.70144E-02	0.96801E-01	0.17988E-01	0.14271E-01
16	-0.12526E+01	0.50002E+00	0.10296E+01	0.87805E-02	-0.52879E-02	0.10134E+00	0.16195E-01	0.13757E-01
17	-0.12526E+01	0.24991E+00	0.10224E+01	0.10348E-01	0.27562E-02	0.85009E-01	0.81132E-02	0.11274E-01
18	-0.12526E+01	-0.85220E-04	0.82057E+00	0.64663E-01	-0.17614E+00	0.43517E+00	0.37520E-01	0.57628E-01
19	-0.12526E+01	-0.25008E+00	0.92664E+00	0.69914E-01	-0.23739E-01	0.72915E-01	0.43193E-01	0.93098E-02
20	-0.12526E+01	-0.50007E+00	0.10212E+01	0.10055E-01	-0.26825E-01	0.93014E-01	0.30742E-01	0.12180E-01
21	-0.10008E+01	-0.49995E+00	0.10222E+01	0.82753E-02	-0.32836E-01	0.81206E-01	0.36390E-01	0.10878E-01
22	-0.10008E+01	-0.24983E+00	0.10132E+01	0.96484E-02	-0.27901E-01	0.81796E-01	0.51695E-01	0.98972E-02
23	-0.10008E+01	0.15778E-03	0.61098E+00	0.45658E-01	-0.17949E+00	0.42290E+00	0.34646E-01	0.52602E-01
24	-0.10008E+01	0.25015E+00	0.10211E+01	0.82800E-02	0.16873E-01	0.81132E-01	0.10104E-01	0.11694E-01
25	-0.10008E+01	0.50014E+00	0.10310E+01	0.10375E-01	-0.56592E-02	0.11343E+00	0.14226E-01	0.15676E-01
26	-0.75006E+00	0.50002E+00	0.10328E+01	0.10217E-01	0.41112E-02	0.12068E+00	0.12563E-01	0.16741E-01
27	-0.75006E+00	0.24991E+00	0.10193E+01	0.10445E-01	0.29833E-01	0.88928E-01	0.86701E-02	0.11353E-01
28	-0.75006E+00	-0.85220E-04	0.66842E+00	0.49646E-01	-0.71514E-01	0.46327E+00	0.40232E-01	0.56801E-01
29	-0.75006E+00	-0.25008E+00	0.10117E+01	0.11630E-01	-0.36671E-01	0.84282E-01	0.58447E-01	0.10918E-01
30	-0.75006E+00	-0.50007E+00	0.10215E+01	0.10521E-01	-0.38327E-01	0.99571E-01	0.39893E-01	0.13789E-01
31	-0.49800E+00	-0.49995E+00	0.10204E+01	0.12088E-01	-0.53716E-01	0.82653E-01	0.36401E-01	0.10486E-01
32	-0.49800E+00	-0.24983E+00	0.10117E+01	0.11634E-01	-0.57138E-01	0.91592E-01	0.61316E-01	0.10971E-01
33	-0.49800E+00	0.27892E-03	0.62710E+00	0.48471E-01	-0.14381E+00	0.44623E+00	0.51391E-01	0.54393E-01
34	-0.49800E+00	0.25015E+00	0.10224E+01	0.10979E-01	0.27168E-01	0.92182E-01	0.64779E-02	0.12490E-01
35	-0.49800E+00	0.50014E+00	0.10330E+01	0.95666E-02	0.18837E-01	0.10288E+00	-0.14913E-02	0.13828E-01
36	-0.24719E+00	0.50002E+00	0.10384E+01	0.12633E-01	0.30915E-01	0.10160E+00	-0.96014E-02	0.13401E-01
37	-0.24719E+00	0.24991E+00	0.10244E+01	0.11561E-01	0.57775E-01	0.81701E-01	-0.96319E-02	0.11062E-01

38	-0.24719E+00	-0.85220E-04	0.79282E+00	0.53590E-01	-0.25292E-02	0.37749E+00	0.60069E-01	0.51173E-01
39	-0.24719E+00	-0.25020E+00	0.10136E+01	0.12370E-01	-0.85261E-01	0.93919E-01	0.64281E-01	0.12232E-01
40	-0.24719E+00	-0.50007E+00	0.10206E+01	0.11609E-01	-0.80188E-01	0.10560E+00	0.28155E-01	0.13219E-01
41	0.32079E-02	0.49006E+00	0.10344E+01	0.13693E-01	0.29462E-01	0.10830E+00	-0.31090E-01	0.14973E-01
42	0.32079E-02	0.23982E+00	0.10327E+01	0.14870E-01	0.59179E-01	0.10779E+00	-0.40776E-01	0.15239E-01
43	0.32079E-02	-0.10289E-01	0.99623E+00	0.18157E-01	-0.17134E+00	0.40996E+00	0.61204E-01	0.34303E-01
44	0.32079E-02	-0.26016E+00	0.10116E+01	0.14359E-01	-0.17096E+00	0.10408E+00	0.25621E-01	0.14233E-01
45	0.32079E-02	-0.51015E+00	0.10195E+01	0.12785E-01	-0.87483E-01	0.11717E+00	0.74132E-02	0.14596E-01
46	0.25423E+00	-0.51003E+00	0.10164E+01	0.13815E-01	-0.89195E-01	0.10301E+00	-0.15950E-01	0.14674E-01
47	0.25423E+00	-0.25992E+00	0.10017E+01	0.14306E-01	-0.96428E-01	0.10818E+00	-0.40599E-01	0.14648E-01
48	0.25423E+00	-0.99243E-02	0.10014E+01	0.13746E-01	0.61904E-01	0.95101E-01	-0.12883E+00	0.14984E-01
49	0.25423E+00	0.24007E+00	0.10367E+01	0.15520E-01	0.78218E-01	0.13472E+00	-0.86569E-01	0.20650E-01
50	0.25423E+00	0.49030E+00	0.10522E+01	0.22624E-01	0.19451E-01	0.12431E+00	-0.51890E-01	0.16187E-01
51	0.50314E+00	0.49006E+00	0.10540E+01	0.16335E-01	0.24953E-01	0.14771E+00	-0.64694E-01	0.20343E-01
52	0.50314E+00	0.23982E+00	0.10411E+01	0.15430E-01	0.50209E-01	0.12763E+00	-0.93068E-01	0.19125E-01
53	0.50314E+00	-0.10289E-01	0.10024E+01	0.15541E-01	0.49330E-01	0.94256E-01	-0.12044E+00	0.13935E-01
54	0.50314E+00	-0.26028E+00	0.10003E+01	0.17842E-01	0.95226E-01	0.24027E+00	-0.90324E-01	0.47635E-01
55	0.50314E+00	-0.51027E+00	0.10141E+01	0.13654E-01	-0.68720E-01	0.11615E+00	-0.32230E-01	0.16383E-01
56	0.75313E+00	-0.51003E+00	0.10192E+01	0.20909E-01	-0.56802E-01	0.15656E+00	-0.39297E-01	0.24700E-01
57	0.75313E+00	-0.25992E+00	0.10282E+01	0.41030E-01	-0.42076E-01	0.18706E+00	-0.54853E-01	0.34346E-01
58	0.75313E+00	-0.99243E-02	0.10067E+01	0.18816E-01	0.16751E-01	0.14099E+00	-0.11401E+00	0.23452E-01
59	0.75313E+00	0.24019E+00	0.10466E+01	0.21813E-01	0.34609E-01	0.14531E+00	-0.96353E-01	0.22091E-01
60	0.75313E+00	0.49018E+00	0.10642E+01	0.26876E-01	0.22741E-01	0.21194E+00	-0.73592E-01	0.32144E-01
61	0.10015E+01	0.49006E+00	0.10714E+01	0.29122E-01	0.31657E-02	0.17276E+00	-0.71648E-01	0.26810E-01
62	0.10015E+01	0.23982E+00	0.10679E+01	0.35118E-01	0.74124E-02	0.27116E+00	-0.95394E-01	0.44356E-01
63	0.10015E+01	-0.10167E-01	0.10059E+01	0.17848E-01	-0.24427E-02	0.31578E+00	-0.11802E+00	0.51717E-01
64	0.10015E+01	-0.26016E+00	0.10044E+01	0.22544E-01	-0.18858E-01	0.25140E+00	-0.64468E-01	0.33925E-01
65	0.10015E+01	-0.51027E+00	0.10127E+01	0.16516E-01	-0.78718E-01	0.15948E+00	-0.40169E-01	0.13135E-01

Inboard angle = 6.6 Tip angle = -5.8 Delta theta = -12.4

Scan plane no. 1 at x/c = 1.050

NPT	y/c	z/c	u/U	$\sigma_u$	v/U	$\sigma_v$	w/U	$\sigma_w$
1	-0.20029E+01	-0.49995E+00	0.10261E+01	0.68032E-02	-0.23851E-01	0.93443E-01	0.10322E-01	0.12979E-01
2	-0.20029E+01	-0.24983E+00	0.10265E+01	0.61632E-02	-0.28453E-01	0.97786E-01	0.93824E-02	0.13314E-01
3	-0.20029E+01	0.15778E-03	0.10274E+01	0.56517E-02	-0.36861E-01	0.83299E-01	-0.68906E-03	0.11656E-01
4	-0.20029E+01	0.25027E+00	0.10256E+01	0.69974E-02	-0.41413E-01	0.85200E-01	-0.36566E-02	0.13468E-01
5	-0.20029E+01	0.50014E+00	0.10250E+01	0.72486E-02	-0.23656E-01	0.87984E-01	0.14762E-02	0.12743E-01
6	-0.17529E+01	0.50002E+00	0.10254E+01	0.70489E-02	-0.31846E-01	0.83319E-01	0.13831E-01	0.11754E-01
7	-0.17529E+01	0.24991E+00	0.10255E+01	0.68777E-02	-0.40288E-01	0.93980E-01	-0.43081E-02	0.13573E-01
8	-0.17529E+01	-0.20709E-03	0.10279E+01	0.66933E-02	-0.27187E-01	0.10216E+00	-0.20077E-01	0.13747E-01
9	-0.17529E+01	-0.25008E+00	0.10298E+01	0.63914E-02	-0.42061E-02	0.91918E-01	-0.45684E-02	0.12839E-01
10	-0.17529E+01	-0.50007E+00	0.10301E+01	0.61183E-02	-0.34456E-01	0.10104E+00	0.15643E-01	0.13956E-01
11	-0.15031E+01	-0.49995E+00	0.10300E+01	0.72818E-02	-0.12044E-01	0.92491E-01	0.28064E-01	0.12271E-01
12	-0.15031E+01	-0.24983E+00	0.10307E+01	0.71684E-02	0.22203E-01	0.97319E-01	0.29286E-01	0.12424E-01
13	-0.15031E+01	0.15778E-03	0.10065E+01	0.23610E-01	0.19870E+00	0.42050E+00	-0.17963E+00	0.50793E-01
14	-0.15031E+01	0.25027E+00	0.10235E+01	0.68829E-02	-0.35727E-01	0.10656E+00	0.56797E-02	0.15431E-01
15	-0.15031E+01	0.50014E+00	0.10253E+01	0.63217E-02	-0.37111E-01	0.85198E-01	0.25103E-01	0.11013E-01
16	-0.12526E+01	-0.50002E+00	0.10226E+01	0.87437E-02	-0.28642E-01	0.91645E-01	0.34122E-01	0.11259E-01
17	-0.12526E+01	0.24991E+00	0.10157E+01	0.74025E-02	-0.39063E-01	0.78322E-01	0.44482E-01	0.94779E-02
18	-0.12526E+01	-0.85220E-04	0.97668E+00	0.25097E-01	-0.25958E-01	0.23444E+00	0.14646E+00	0.30297E-01
19	-0.12526E+01	-0.25008E+00	0.10231E+01	0.83837E-02	0.15086E-01	0.72909E-01	0.78211E-01	0.92285E-02
20	-0.12526E+01	-0.50007E+00	0.10300E+01	0.74461E-02	-0.15101E-01	0.89678E-01	0.49334E-01	0.11647E-01
21	-0.10008E+01	-0.49995E+00	0.10318E+01	0.10272E-01	-0.21457E-01	0.88951E-01	0.60585E-01	0.11589E-01
22	-0.10008E+01	-0.24983E+00	0.10195E+01	0.80164E-02	-0.21360E-01	0.93529E-01	0.96846E-01	0.10238E-01
23	-0.10008E+01	0.15778E-03	0.97704E+00	0.14487E-01	-0.22553E-01	0.12893E+00	0.12694E+00	0.16065E-01
24	-0.10008E+01	0.25015E+00	0.10092E+01	0.74743E-02	-0.14659E-01	0.89506E-01	0.51217E-01	0.10588E-01
25	-0.10008E+01	0.50014E+00	0.10210E+01	0.77515E-02	-0.15624E-01	0.10151E+00	0.38961E-01	0.11759E-01
26	-0.75006E+00	-0.50002E+00	0.10226E+01	0.10264E-01	0.14488E-02	0.10726E+00	0.41032E-01	0.12193E-01
27	-0.75006E+00	0.24991E+00	0.10084E+01	0.80428E-02	0.15617E-01	0.77702E-01	0.53965E-01	0.93312E-02
28	-0.75006E+00	-0.85220E-04	0.97888E+00	0.88425E-02	-0.24759E-01	0.73466E-01	0.12897E+00	0.61140E-02
29	-0.75006E+00	-0.25008E+00	0.10165E+01	0.71097E-02	-0.45059E-01	0.86257E-01	0.10248E+00	0.10697E-01
30	-0.75006E+00	-0.50007E+00	0.10274E+01	0.79721E-02	-0.42304E-01	0.97078E-01	0.67727E-01	0.12183E-01
31	-0.49800E+00	-0.49995E+00	0.10269E+01	0.87579E-02	-0.75641E-01	0.10851E+00	0.71759E-01	0.12542E-01
32	-0.49800E+00	-0.24983E+00	0.10165E+01	0.83406E-02	-0.78820E-01	0.11343E+00	0.10793E+00	0.11580E-01
33	-0.49800E+00	0.15778E-03	0.97953E+00	0.95683E-02	-0.65542E-01	0.94206E-01	0.13760E+00	0.73525E-02
34	-0.49800E+00	0.25015E+00	0.10077E+01	0.79843E-02	0.30792E-01	0.10071E+00	0.54351E-01	0.10982E-01
35	-0.49800E+00	0.50014E+00	0.10242E+01	0.83868E-02	0.11406E-01	0.11301E+00	0.33657E-01	0.11607E-01
36	-0.24719E+00	0.50002E+00	0.10304E+01	0.88210E-02	0.17630E-01	0.10327E+00	0.19170E-01	0.10981E-01
37	-0.24719E+00	0.24991E+00	0.10128E+01	0.87281E-02	0.72494E-01	0.87245E-01	0.39306E-01	0.96141E-02

38	-0.24719E+00	0.98515E+00	0.10768E-01	-0.44668E-01	0.84550E-01	0.15447E+00	0.73746E-02
39	-0.24719E+00	0.10165E+01	0.90010E-02	-0.11995E+00	0.85967E-01	0.11147E+00	0.96011E-02
40	-0.24719E+00	0.10242E+01	0.81092E-02	-0.10898E+00	0.11476E+00	0.59095E-01	0.13737E-01
41	0.32079E-02	0.10236E+01	0.11516E-01	-0.12594E+00	0.10592E+00	0.30288E-01	0.12434E-01
42	0.32079E-02	0.10112E+01	0.94911E-02	-0.23593E+00	0.99696E-01	0.52942E-01	0.10537E-01
43	0.32079E-02	0.98527E+00	0.44836E-01	-0.34808E+00	0.50818E+00	0.64820E-01	0.74735E-01
44	0.32079E-02	0.10222E+01	0.99114E-02	0.71327E-01	0.11777E+00	-0.21514E-01	0.11785E-01
45	0.32079E-02	0.10361E+01	0.89813E-02	0.17791E-01	0.13538E+00	-0.11305E-01	0.12604E-01
46	0.50002E+00	0.10432E+01	0.11715E-01	0.16369E-01	0.13364E+00	-0.39749E-01	0.13027E-01
47	0.25423E+00	0.10323E+01	0.94474E-02	0.61857E-01	0.10499E+00	-0.79713E-01	0.12360E-01
48	0.25423E+00	0.10068E+01	0.11122E-01	0.87989E-01	0.83454E-01	-0.14772E+00	0.10005E-01
49	0.25423E+00	0.10024E+01	0.12549E-01	-0.12197E+00	0.92689E-01	-0.36121E-01	0.11245E-01
50	0.25423E+00	0.10197E+01	0.10341E-01	-0.10395E+00	0.10109E+00	-0.79231E-02	0.11894E-01
51	0.50314E+00	0.10155E+01	0.12146E-01	-0.82606E-01	0.11915E+00	-0.27957E-01	0.14391E-01
52	0.50314E+00	0.99914E+00	0.12652E-01	-0.83358E-01	0.10652E+00	-0.51678E-01	0.13361E-01
53	0.50314E+00	0.10024E+01	0.10377E-01	0.34352E-01	0.12115E+00	-0.12114E+00	0.15169E-01
54	0.50314E+00	0.10361E+01	0.90293E-02	0.53703E-01	0.12273E+00	-0.92484E-01	0.13621E-01
55	0.50014E+00	0.10474E+01	0.85280E-02	0.43681E-02	0.16410E+00	-0.55923E-01	0.13831E-01
56	0.50002E+00	0.10540E+01	0.15119E-01	-0.21575E-01	0.21609E+00	-0.66082E-01	0.14591E-01
57	0.75313E+00	0.10423E+01	0.14739E-01	0.28979E-01	0.12428E+00	-0.94336E-01	0.15127E-01
58	0.75313E+00	0.10083E+01	0.16608E-01	0.30646E-01	0.10192E+00	-0.11815E+00	0.13186E-01
59	-0.20709E-03	0.99876E+00	0.14905E-01	-0.61405E-01	0.11862E+00	-0.54277E-01	0.15278E-01
60	-0.25008E+00	0.10140E+01	0.12214E-01	-0.66768E-01	0.11304E+00	-0.36856E-01	0.13793E-01
61	-0.50007E+00	0.10119E+01	0.11092E-01	-0.60846E-01	0.11952E+00	-0.39768E-01	0.15275E-01
62	-0.49995E+00	0.99766E+00	0.12814E-01	-0.65386E-01	0.13261E+00	-0.51120E-01	0.17340E-01
63	0.15778E-03	0.10051E+01	0.12467E-01	0.14494E-01	0.12514E+00	-0.11569E+00	0.16940E-01
64	0.25015E+00	0.10428E+01	0.99867E-02	0.16616E-01	0.13214E+00	-0.96059E-01	0.14322E-01
65	0.50014E+00	0.10551E+01	0.10464E-01	-0.36686E-01	0.18937E+00	-0.68953E-01	0.15509E-01